

SÍNTESI d'ÀCIDS CIANOCARBOXÍLICS:
HIDROCARBOXILACIÓ i DEUTERIOCARBOXILACIÓ
CATALÍTICA SELECTIVA.
DESENVOLUPAMENT de FOSFINES i COMPLEXOS
de PAL·LADI i PLATÍ



ANNEX
TESI DOCTORAL

Oriol Vallcorba Valls

2010

Annex

1 Caracterització dels productes d'hidrocarboxilació de substrats nitrogenats	3
1.1 Àcid 3-ciano-2-metilpropanoic (A2 β) i àcid 4-cianobutanoic (A2 γ), barreja amb proporció 82:18.	3
1.2 3-ciano-3-metilpropanoat de metil (A2 β Me) i 4-cianobutanoat de metil (A2 γ Me), barreja amb proporció 82:18.	6
1.3 Sal d'isotiouroni de l'àcid 4-cianobutanoic	8
1.4 3-ciano-2-metilpropanoat de benzil (A2 β Bn)	9
1.6 4-cianobutanoat de benzil (A2 γ Bn)	12
3 Espectroscòpia de masses (SIM) dels productes A2γBn i A2βBn	15
3.1 Càlcul del grau d'incorporació de deuteri	15
4 Espectres de 2H RMN dels productes A2γBn i A2βBn	18
5 Caracterització dels productes d'hidrocarboxilació de substrats vinilarènics i propenilarènics	25
5.1 Àcid 2-fenilpropionic (A1 α)	25
5.2 Àcid 3-fenilpropionic (A7 β)	26
6 Espectroscòpia de masses (SIM) dels àcids A1α i A1β	27
6.1 Càlcul del grau d'incorporació de deuteri	27
7 Espectres de 2H-RMN dels productes d'hidrocarboxilació A1α i A1β	30
8 Caracterització d'intermedis i productes a la síntesi de difosfines benzíliques	34
8.1 Síntesi de la DPEMephos (L33)	34
2-(2-formilfenoxi)benzaldehyd (I11)	34
{2-[2-(hidroximetil)fenoxi]fenil}metanol (I12)	36
1-(bromometil)-2-[2-(bromometil)fenoxi]benzè (I10)	38
(2-[2-{1,1-difenilfosfinometil}fenoxi]benzil)difenilfosfina (DPEMephos, L33)	41
8.2 Síntesi de la XantMephos (L34)	45
9,9-dimetil-9H-xantè (I13)	45
9,9-dimetil-9H-xantè-4,5-dicarbaldèhid (I14)	46
[5-(hidroximetil)-9,9-dimetil-9H-4-xantenil]metanol (I15)	48
4,5-di(bromometil)-9,9-dimetil-9H-xantè (I16)	50
([5-{1,1-difenilfosfinometil}-9,9-dimetil-9H-4-xantenil]metil)difenilfosfina (XantMephos, L34)	52
8.3 Síntesi de la DBFMephos (L35)	55
Dibenzo[b,d]furan-4,6-dicarbaldèid (I18)	55
6-hidroximetildibenzo[b,d]furan-4-ilmetanol (I19)	57
4,6-di(bromometil)dibenzo[b,d]furà (I20)	59
4,6-bis((diphenylphosphino)methyl)dibenzo[b,d]furan (DBFMephos, L35)	61
8.4 Altres intermedis en la modificació de la DPEphos	65
(oxibis(2,1-fenilè))bis(trimetilsilà) (I8)	65
9 Caracterització d'intermedis i productes a la síntesi de monofosfines benzíliques	67
9.1 Intermedis	67
Difenilmetilfosfina-P-borà (L42b)	67
Etildifenilfosfina-P-borà (L53b)	68

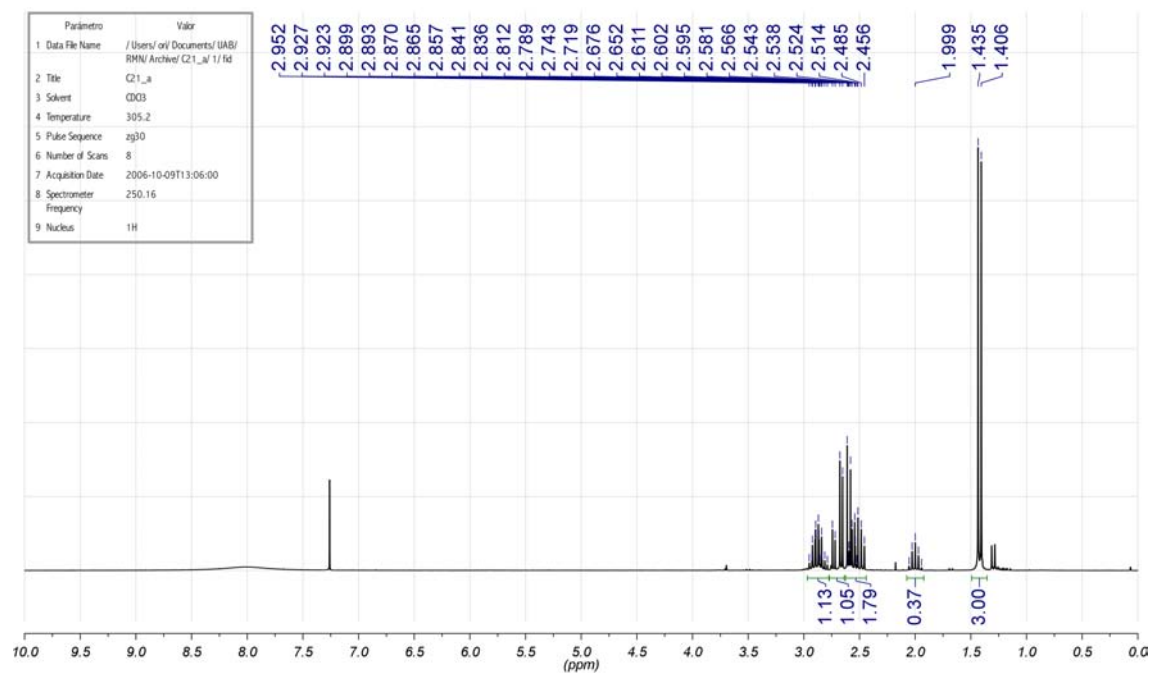
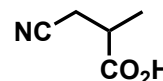
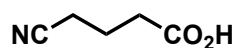
Difenil[(1,1,1-tributylestannil)metil]fosfina-P-borà (L42b-Sn)	69
9.2 Productes	71
Benzildifenilfosfina-P-bora (L43b)	71
Difenil[3-(trifluorometil)benzil]fosfina-P-borà (L44b)	73
Difenil[4-(trifluorometil)benzil]fosfina-P-borà (L45b)	75
[3,5-bis(trifluorometil)benzil]difenilfosfina-P-borà (L46b)	77
(3,5-dimetilbenzil)difenilfosfina-P-borà (L47b)	79
(naftalen-2-ilmetil)difenilfosfina-P-borà (L48b)	81
10 Caracterització d'intermedis i productes a la síntesi de monofosfines quirals	83
10.1 Síntesi de l'(R)-(+)-BINPO (L28)	83
Òxid de difenilfosfina (L19(O))	83
(S)-(-)-2,2'-bis(trifluorometansulfoniloxi)-1,1'-binaftil (I36)	85
Òxid de (S)-(-)-2-difenilfosfino-2'-difenilfosfinil-1,1'binaftalè (BINPO, L28)	86
10.2 Síntesi de l'(R)-(+)-Metilbinap (BINAP(Me), L29)	89
Difenilfosfina (L19)	89
(R)-(+)-2,2'-bis(difenilfosfino)-1,1'-binaftil (BINAP, L18)	91
Iodur de (R)-(+)-Metilbinap (BINAP(Me)I, L29a)	92
Hexafluorofosfat de (R)-(+)-Metilbinap (BINAP(Me)PF ₆ , L29b)	95
11 Caracterització dels complexos metàl·lics	98
11.1 DPEMephos amb Pd i Pt	98
[PdCl ₂ (DPEMephos)] (C32)	98
[Pd(CN) ₂ (DPEMephos)] (C34)	101
[Pd(13CN) ₂ (DPEMephos)] (C34m)	103
[PtCl ₂ (DPEMephos)] (C33)	107
[Pt(CN) ₂ (DPEMephos)] (C35)	113
[Pt(13CN) ₂ (DPEMephos)] (C35m)	115
11.2 XantMephos amb Pd i Pt	118
[PdCl ₂ (XantMephos)] (C36)	118
[Pd(CN) ₂ (XantMephos)] (C38)	123
[Pd(13CN) ₂ (XantMephos)] (C38m)	125
[PtCl ₂ (XantMephos)] (C37)	129
[Pt(CN) ₂ (XantMephos)] (C39)	131
[Pt(13CN) ₂ (XantMephos)] (C39m)	134
11.3 DBFMephos amb Pd i Pt	136
[PdCl ₂ (DBFMephos)] (C40)	136
[Pd(CN) ₂ (DBFMephos)] (C42)	137
[Pd(13CN) ₂ (DBFMephos)] (C42m)	139
[PtCl ₂ (DBFMephos)] (C41)	142
[Pt(CN) ₂ (DBFMephos)] (C43)	143
[Pt(13CN) ₂ (DBFMephos)] (C43m)	145
12 Dades cristal·logràfiques	147
12.1 CIF de la estructura cristal·lina de [(DPEMephos)Pd(CN) ₂] (C34)	147
12.2 CIF de la estructura cristal·lina de [(XantMephos)Pd(CN) ₂] ₂ (C38)	153

ANNEX

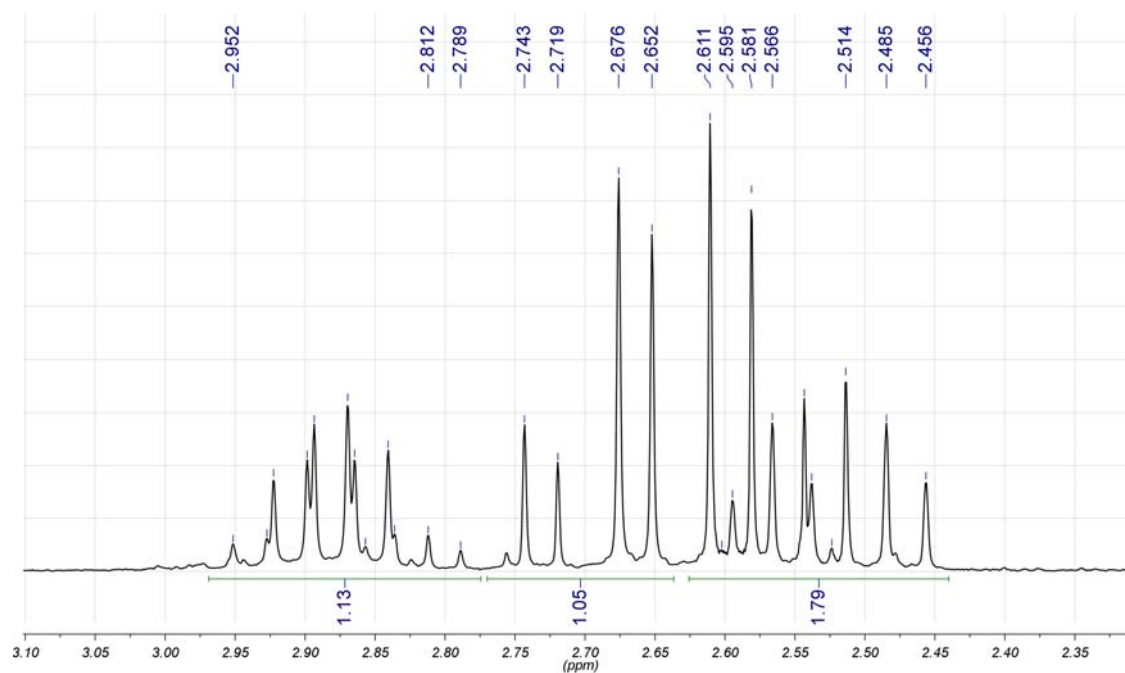
1 Caracterització dels productes d'hidrocarboxilació de substrats nitrogenats

1.1 Àcid 3-ciano-2-metilpropanoic (A2 β) i àcid 4-cianobutanoic (A2 γ), barreja amb proporció 82:18.

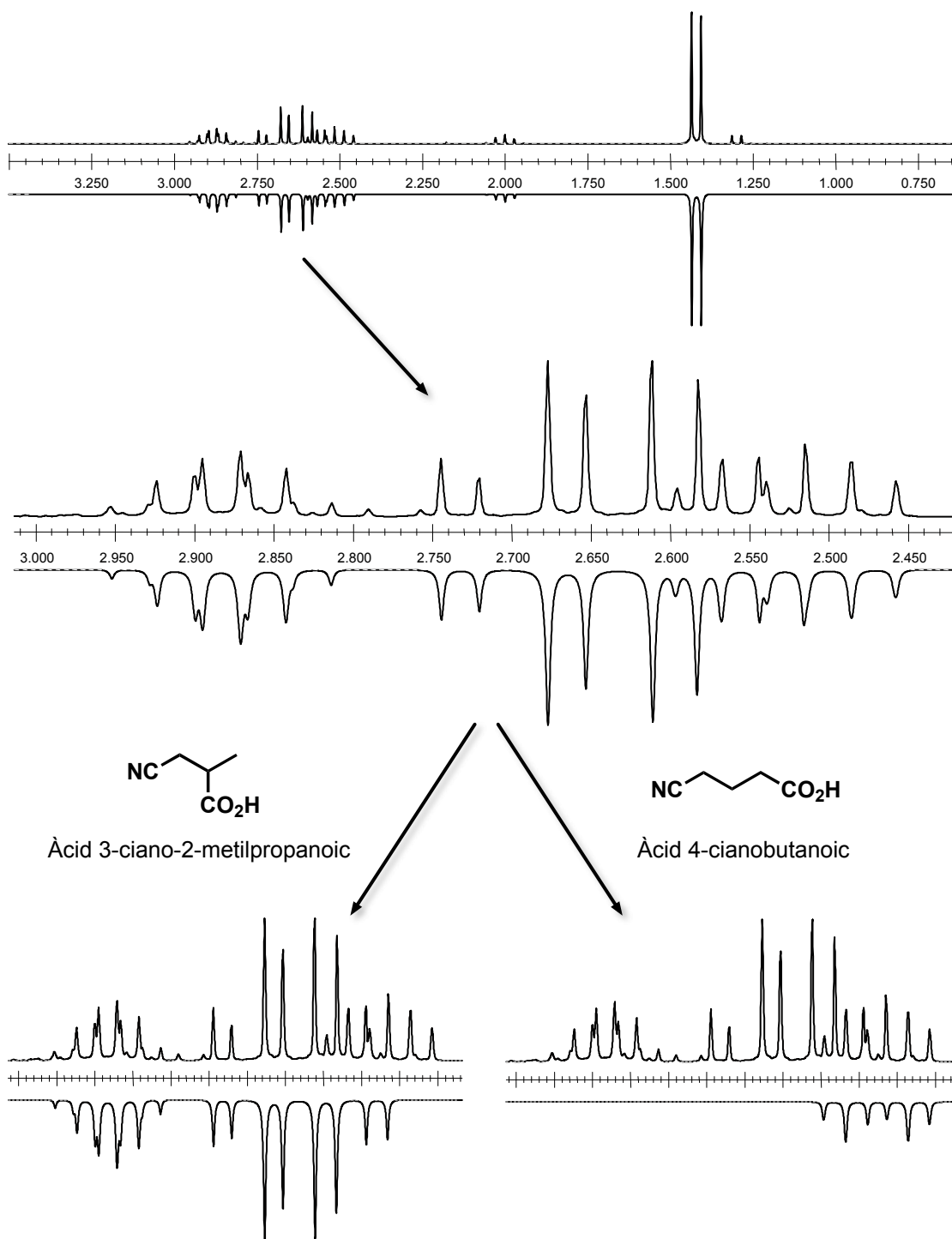
^1H -RMN (250 MHz, rt, CDCl_3):



Ampliació de la zona δ 2.30 – 3.10:



Simulació de l'espectre anterior (barreja A1 β i A1 γ amb proporció 82:18) utilitzant el programa gMNR 4.0:



Àcid 3-ciano-2-metilpropanoic:

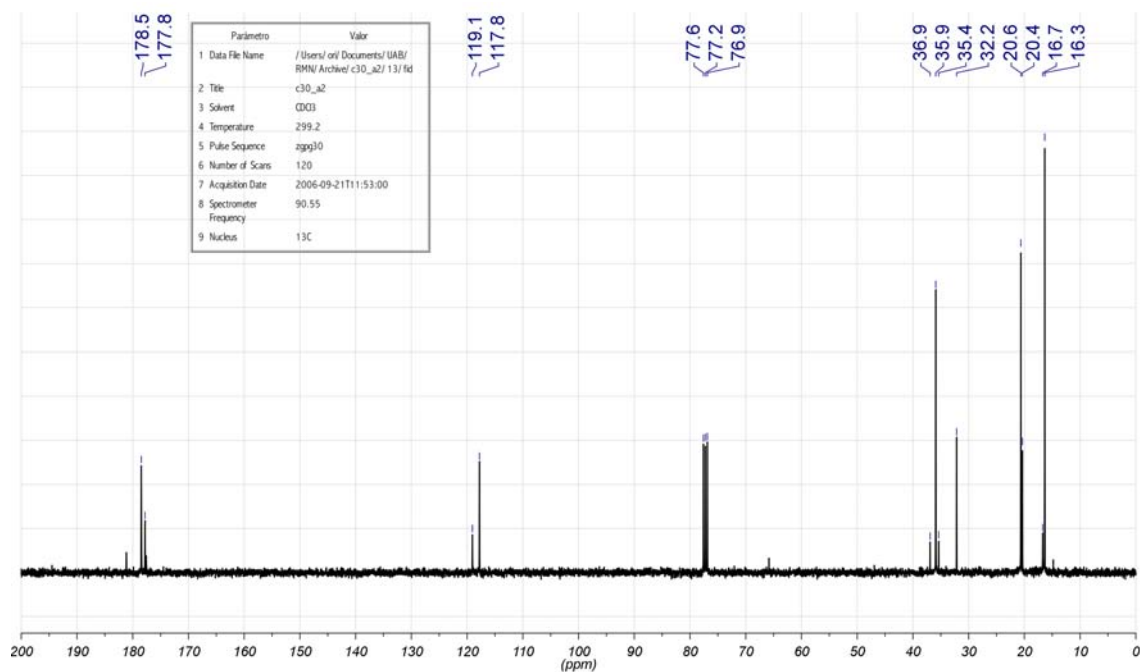
	Nucli	n	δ	J1	J2	J3
1	1H	3	1.421			
			met			

2	1H	1	2.881	7.25		
			c	Jmc		
3	1H	1	2.691	0.00	5.73	
			a	Jam	Jac	
4	1H	1	2.573	0.00	7.25	16.76
			b	Jbm	Jbc	Jba

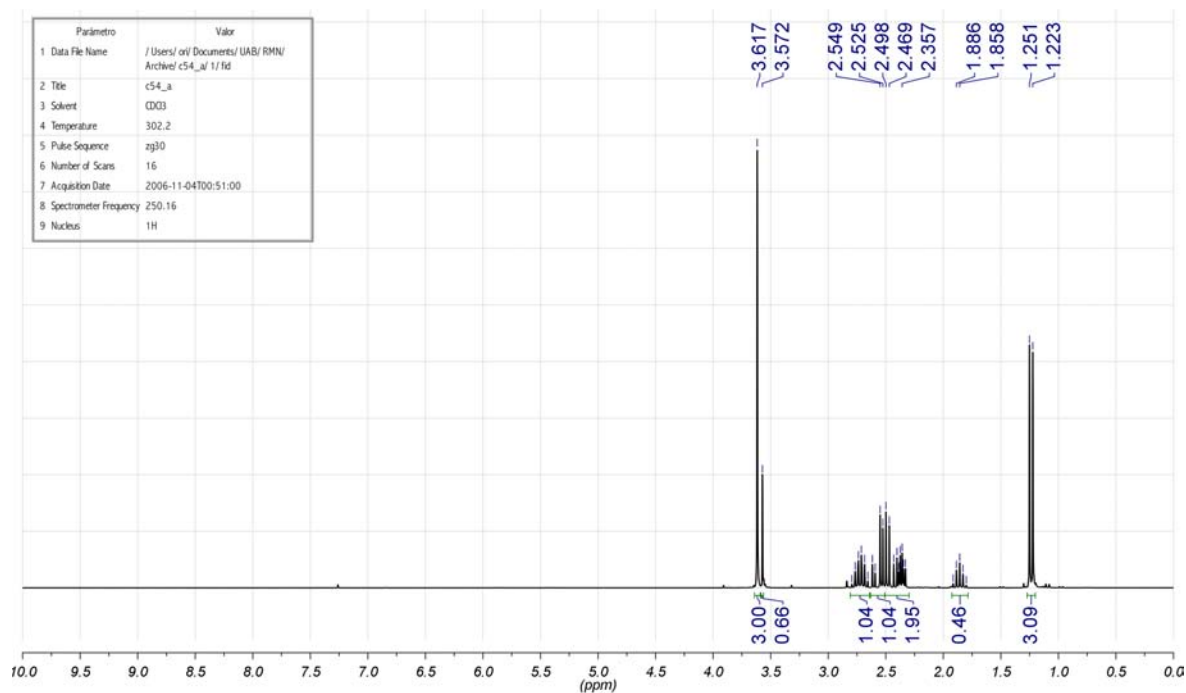
Àcid 4-cianobutanoic:

	Nucli	n	δ	J1	J2
1	1H	2	2.567		
			alfa		
2	1H	2	2.001	7.25	
			beta	Jbeal	
3	1H	2	2.485	0.00	7.00
			gamma	Jgaal	Jgabe

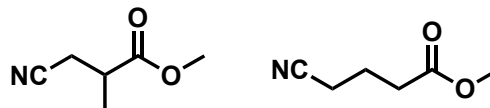
$^{13}\text{C}\{^1\text{H}\}$ -RMN (63 MHz, rt, CDCl_3):



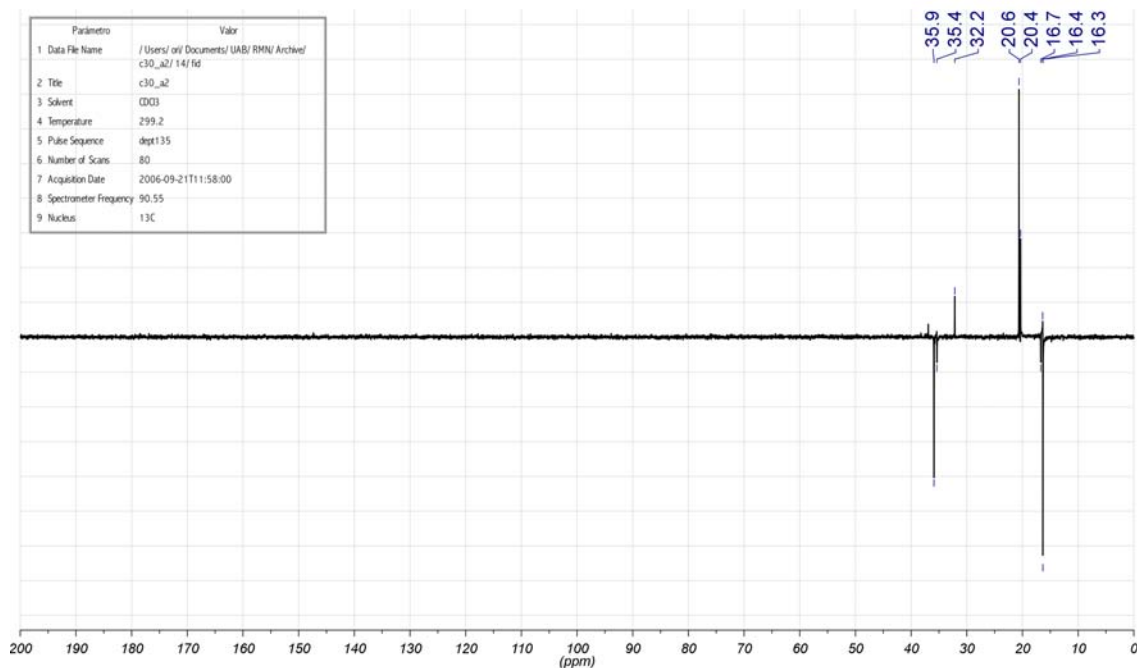
$^{13}\text{C}\{^1\text{H}\}$ RMN DEPT 135 (63 MHz, rt, CDCl_3):



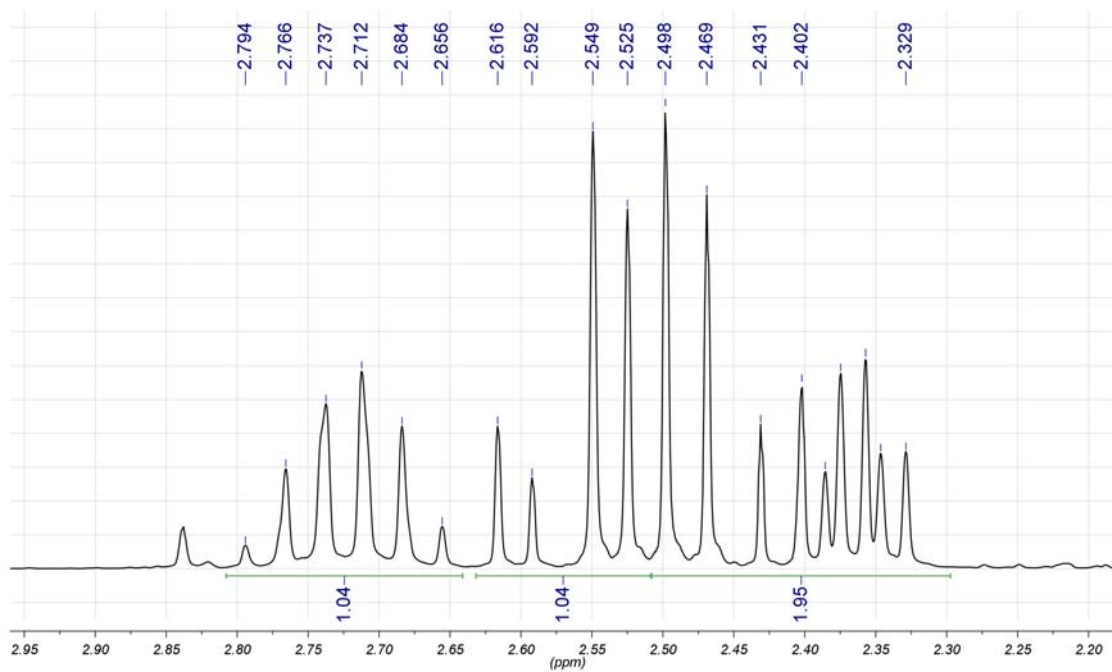
1.2 3-ciano-3-metilpropanoat de metil ($\text{A2}\beta\text{Me}$) i 4-cianobutanoat de metil ($\text{A2}\gamma\text{Me}$), barreja amb proporció 82:18.



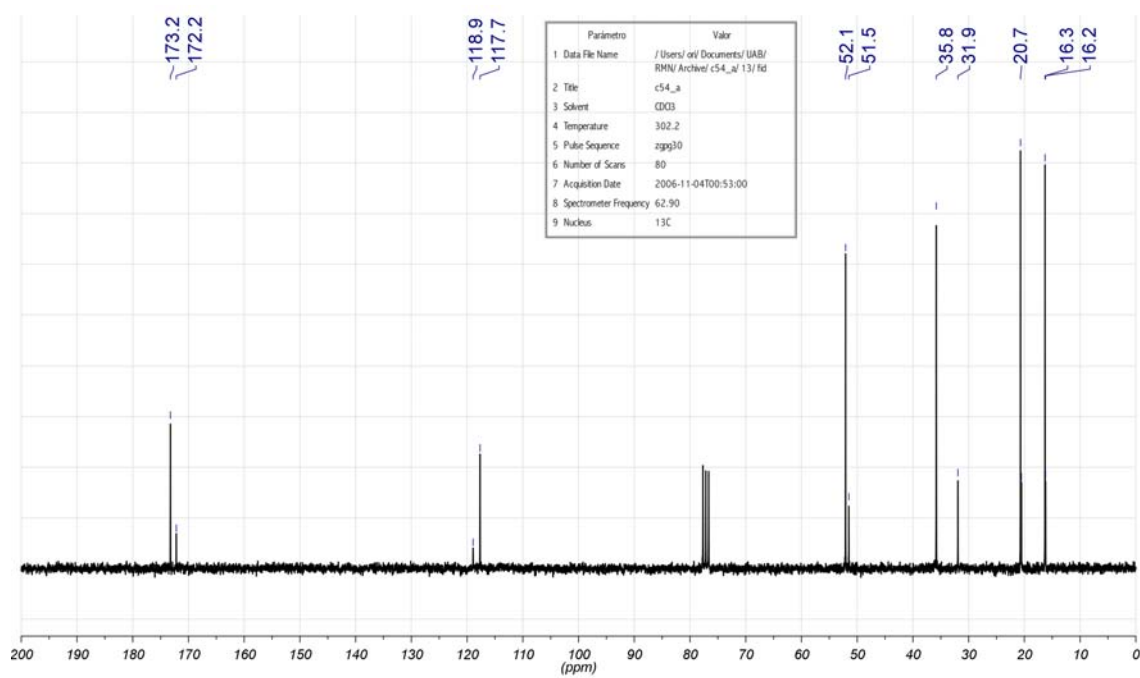
^{13}C RMN (250 MHz, rt, CDCl_3):



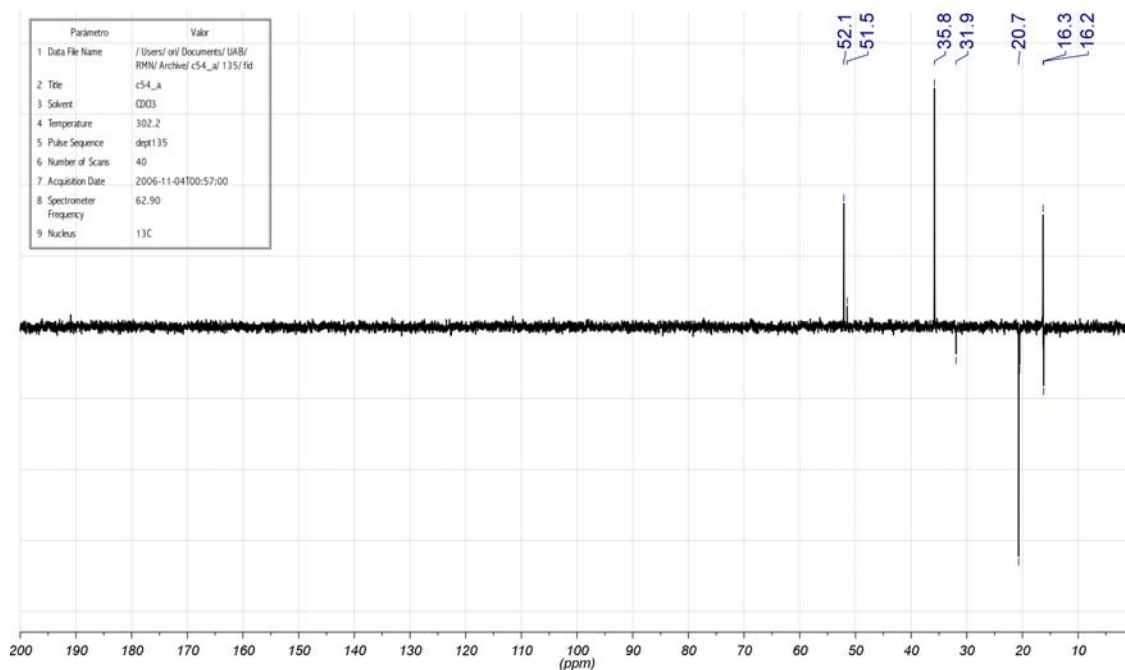
Ampliació de la zona δ 2.15 – 2.95:



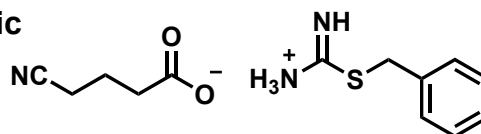
$^{13}\text{C}\{^1\text{H}\}$ RMN (63 MHz, rt, CDCl_3):



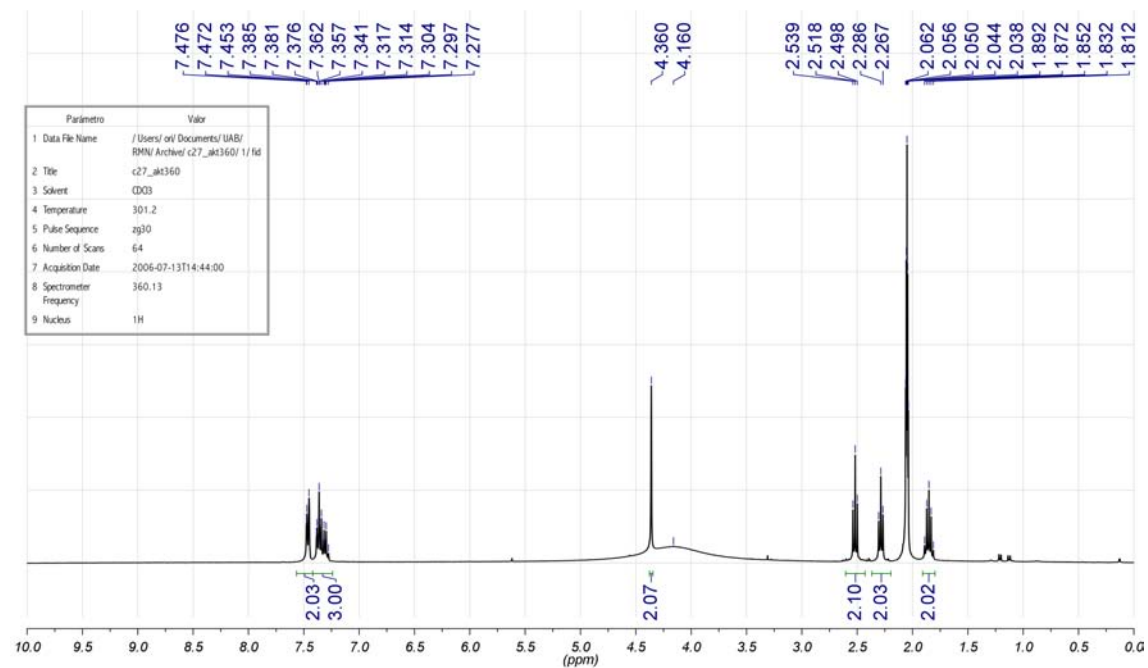
$^{13}\text{C}\{^1\text{H}\}$ RMN DEPT 135 (63 MHz, rt, CDCl_3):



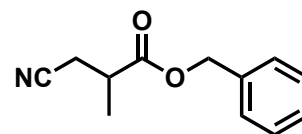
1.3 Sal d'isotiouroni de l'àcid 4-cianobutanoic



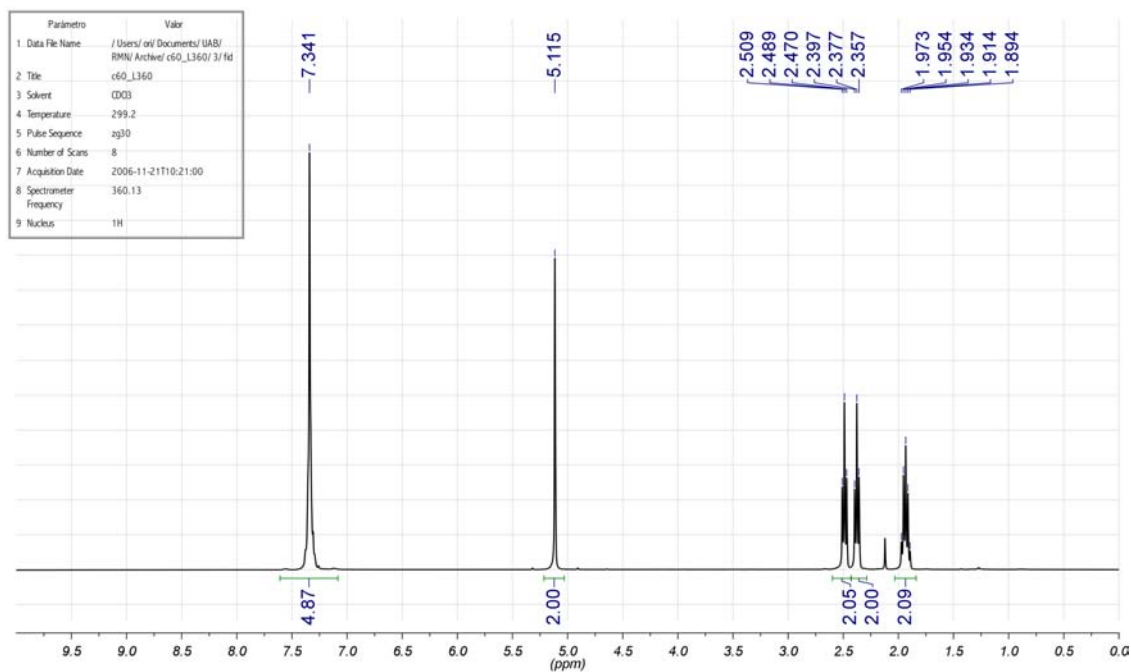
^1H RMN (360 Mhz, rt, Acetona- d_6):



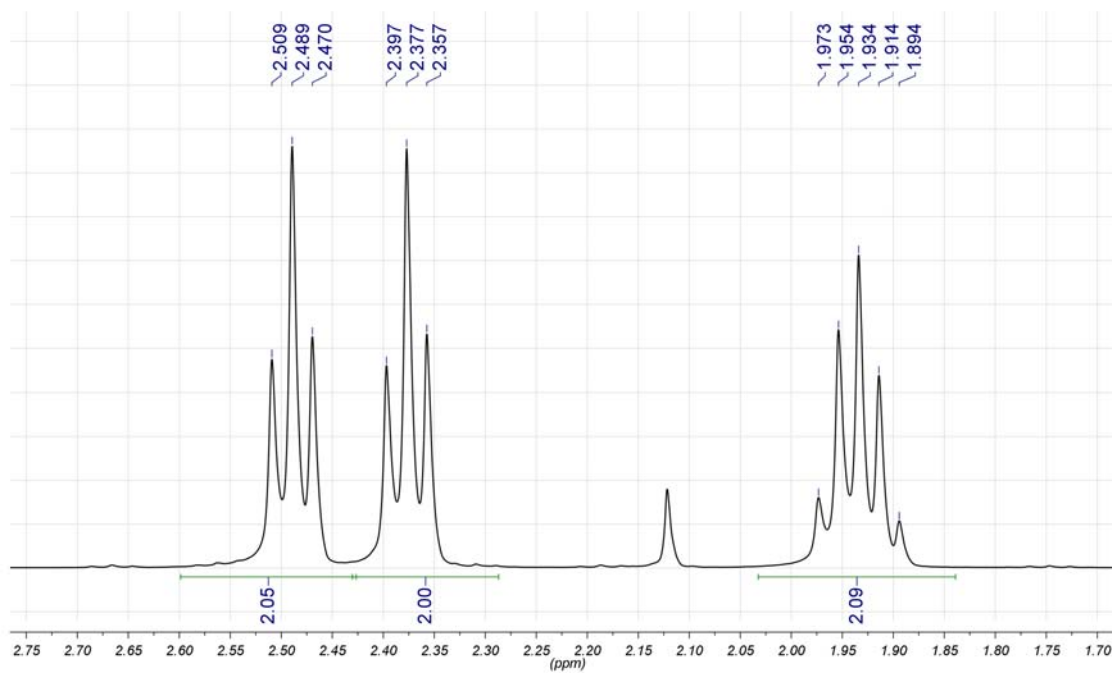
1.4 3-ciano-2-metilpropanoat de benzil (A2βBn)

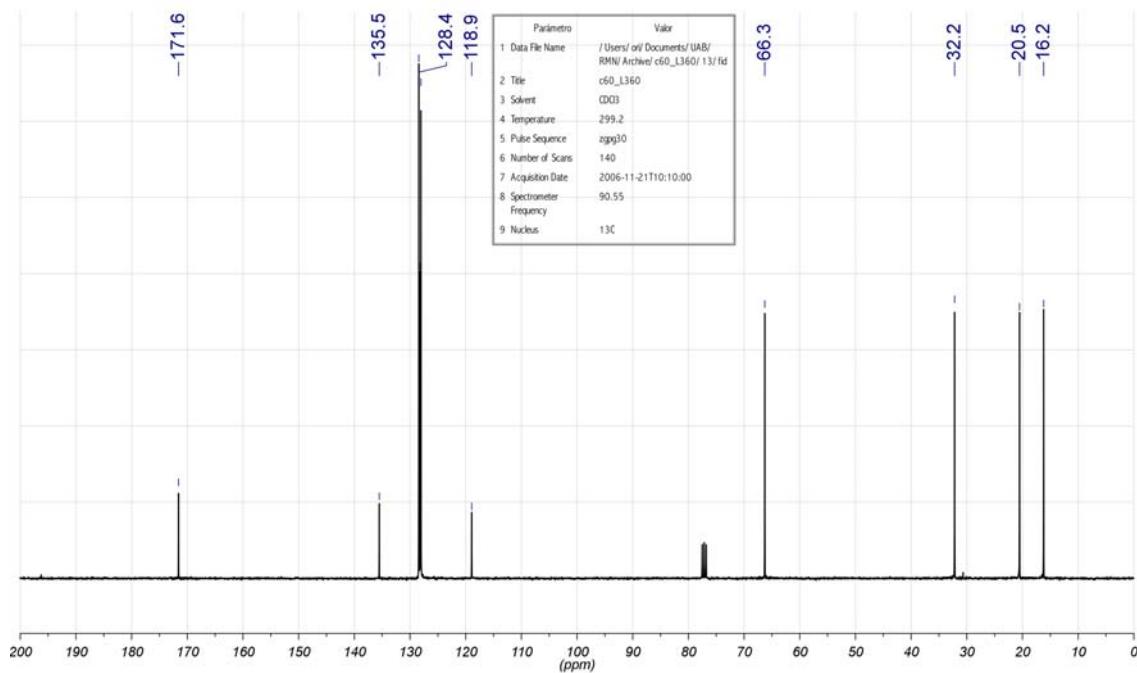
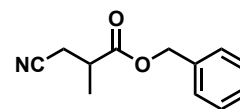
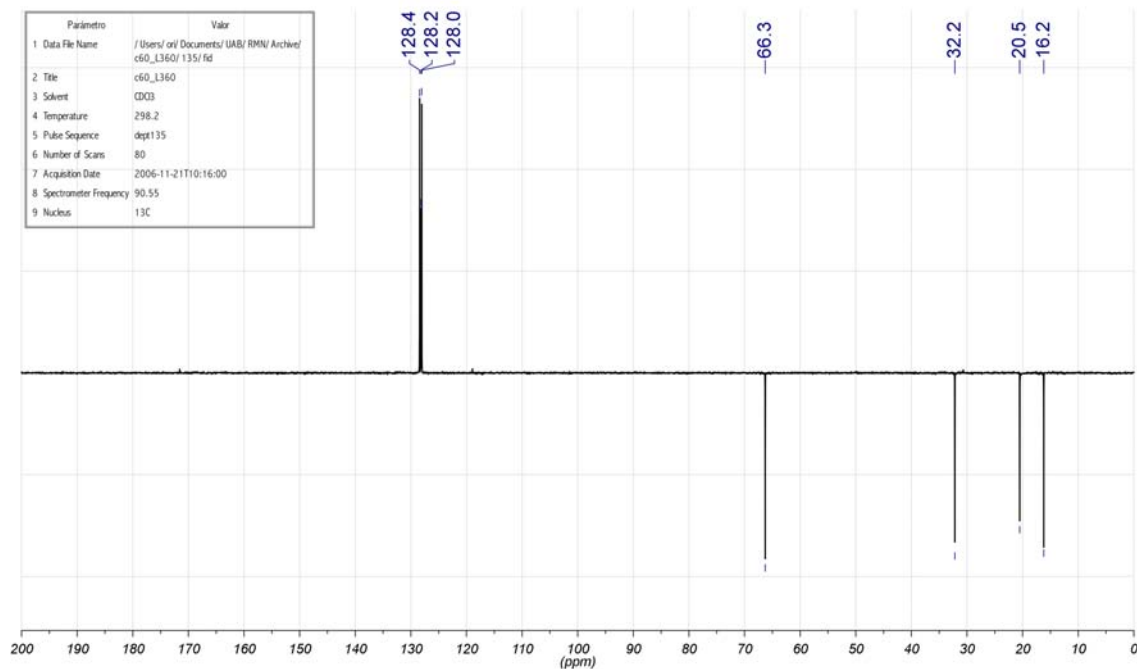
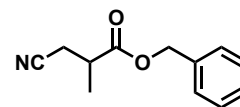


^1H RMN (360 Mhz, rt, CDCl_3):

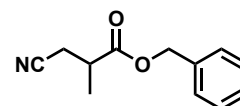


Ampliació de la zona δ 2.35 – 3.05:



$^{13}\text{C}\{^1\text{H}\}$ RMN (90 MHz, rt, CDCl_3): $^{13}\text{C}\{^1\text{H}\}$ RMN DEPT 135 (90 MHz, rt, CDCl_3):

HRMS (ESI+):

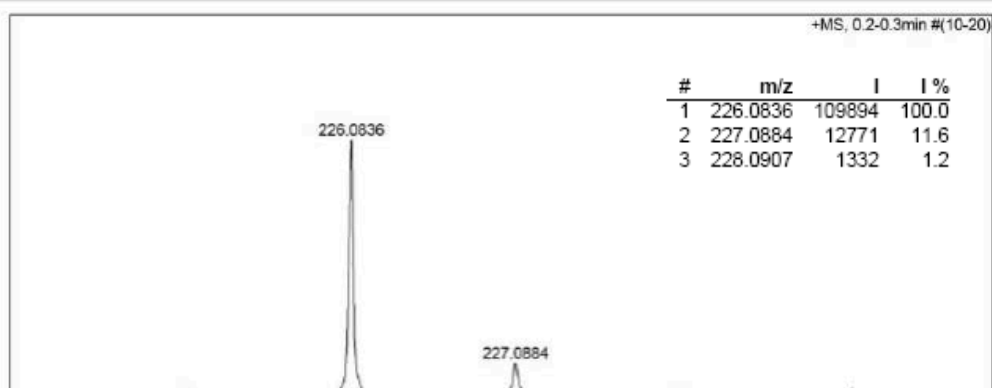


Analysis Info
 Analysis Name D:\temp\29-11-06-000010.D
 Method QTOF-FI2-ESIpos-100-600-focusoff_SAQ.m
 Sample Name
 Comment C56-aR (6EM302-1) // ESI+. Dó ca 2ppm en MeOH. // O. VALLCORBA.

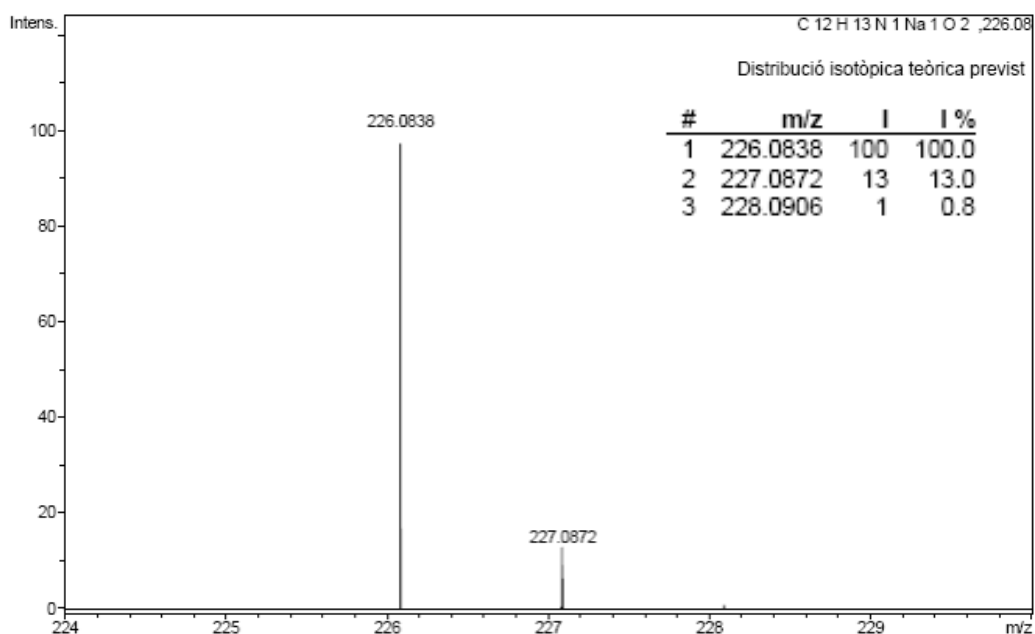
Acquisition Date 29/11/2006 12:27:36
 Operator SAQ
 Instrument / Ser# micrOTOF-Q 28

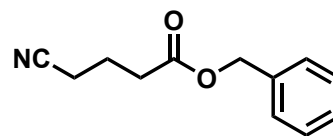
Acquisition Parameter

Source Type	ESI	Ion Polarity	Positive	Set Nebulizer	2.0 Bar
Focus	Not active	Set Capillary	4500 V	Set Dry Heater	180 °C
Scan Begin	50 m/z	Set End Plate Offset	-500 V	Set Dry Gas	7.0 l/min
Scan End	900 m/z	Set Collision Cell RF	145.0 Vpp	Set Divert Valve	Waste

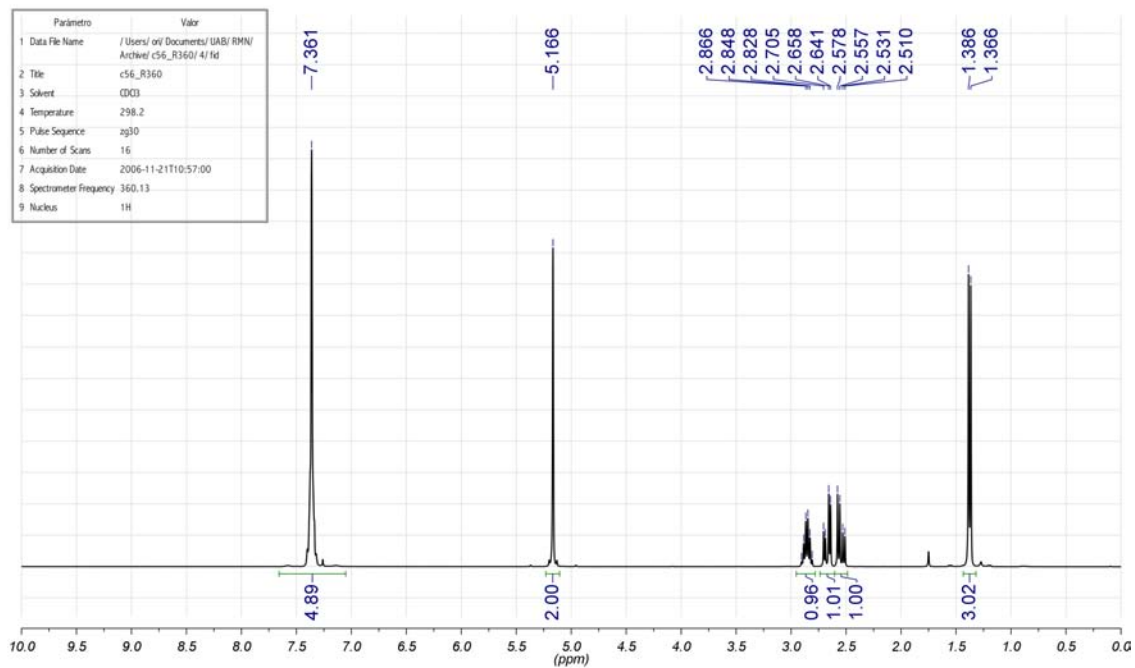


Sum Formula	Sigma	m/z	Err [ppm]	Mean Err [ppm]	Err [mDa]	rdb	N Rule	e ⁻
C 8 H 9 N 7 Na 1	0.002	226.0812	-10.90	-12.15	-2.46	7.50	ok	even
C 9 H 12 N 3 O 4	0.003	226.0822	-6.17	-7.15	-1.40	5.50	ok	even
C 10 H 8 N 7	0.011	226.0836	-0.26	-1.69	-0.06	10.50	ok	even
C 12 H 13 N 1 Na 1 O 2	0.011	226.0838	0.98	0.14	0.22	6.50	ok	even

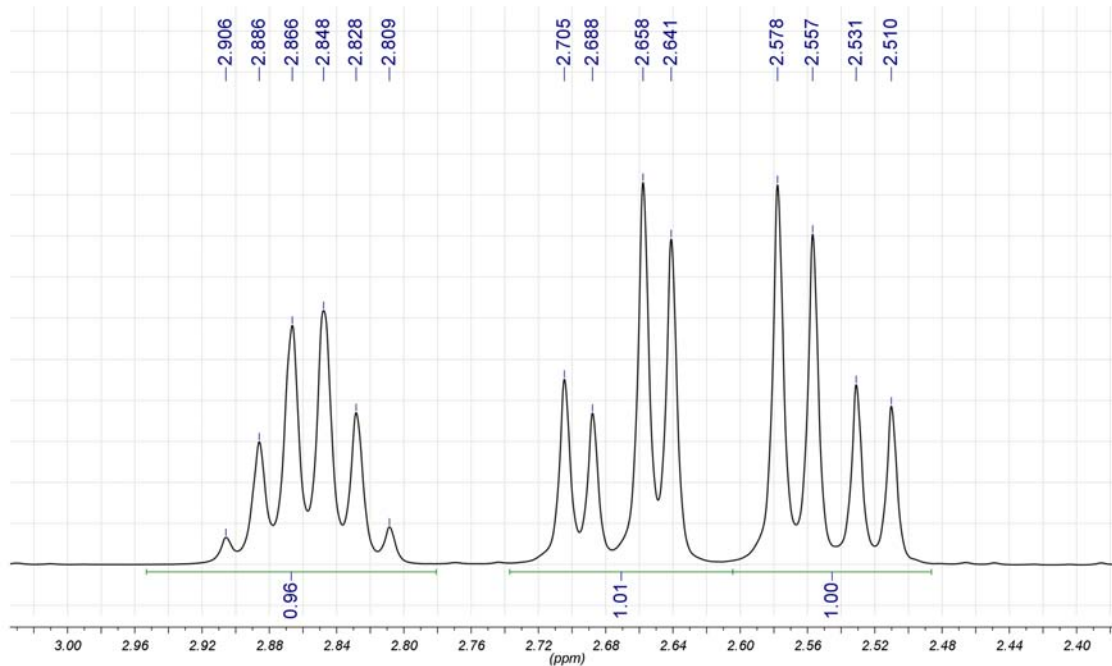


1.6 4-cianobutanoat de benzil (A2 γ Bn)

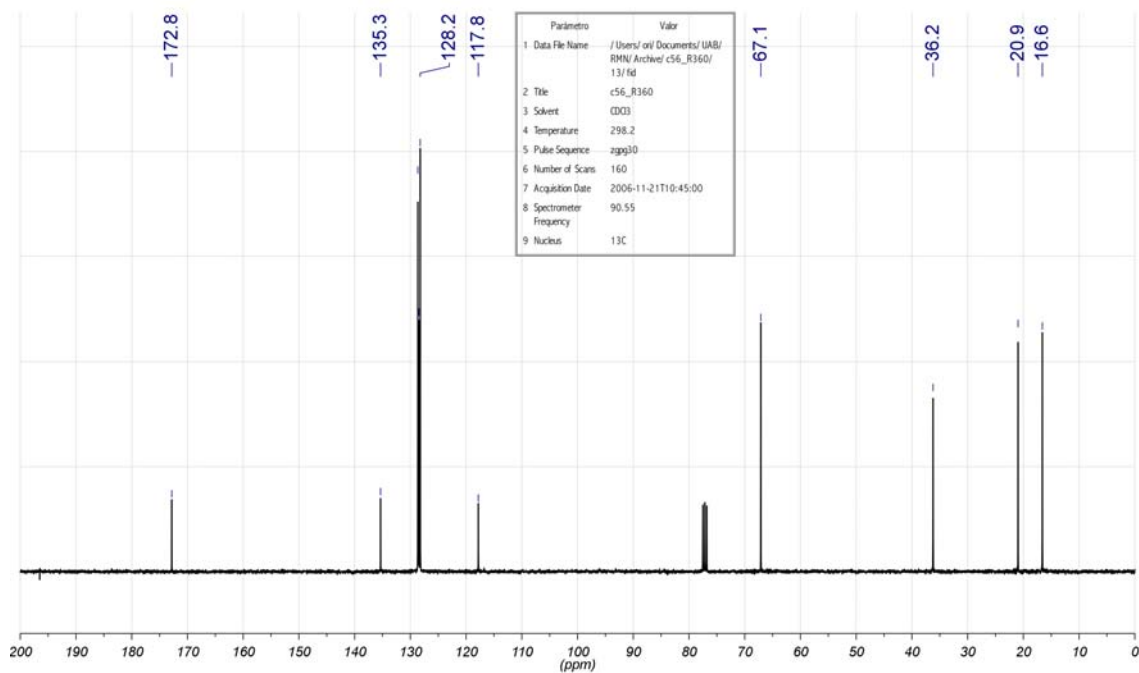
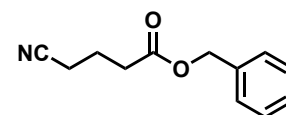
^1H RMN (360 MHz, rt, CDCl_3):



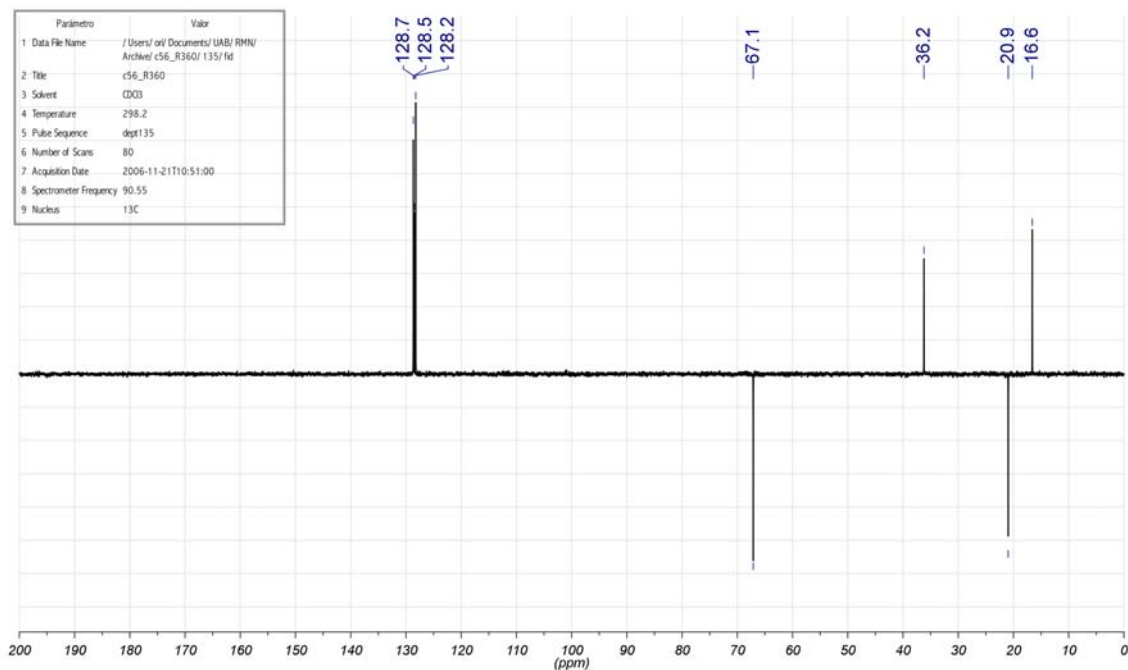
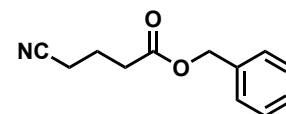
Ampliació de la zona δ 1.70 – 2.75:



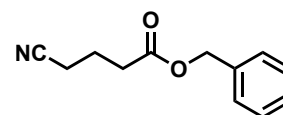
$^{13}\text{C}\{^1\text{H}\}$ RMN (90 MHz, rt, CDCl_3):



$^{13}\text{C}\{^1\text{H}\}$ RMN DEPT 135 (90 MHz, rt, CDCl_3):



HRMS (ESI+):

**Analysis Info**

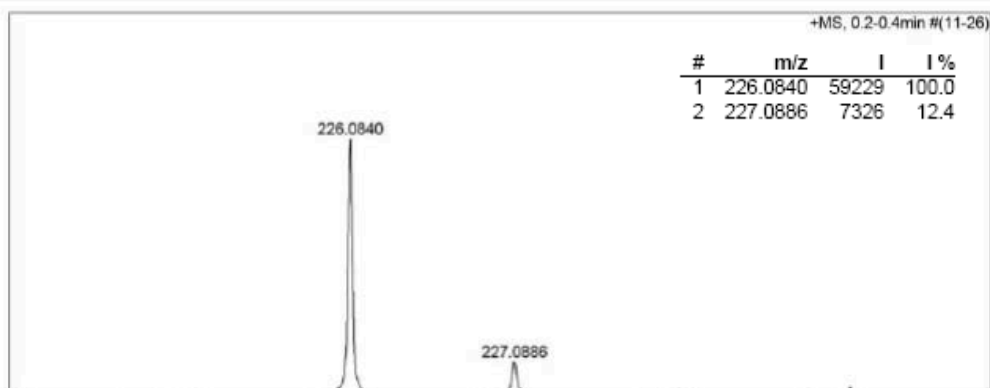
Analysis Name D:\temp\29-11-06-000004.D
 Method QTOF-FI2-ESIpos-100-600-focusoff_SAQ.m
 Sample Name
 Comment C60-aL (6EM302-2) // ESI+. Dó ca 2ppm en MeOH. // O. VALLCORBA.

Acquisition Date 29/11/2006 11:39:08

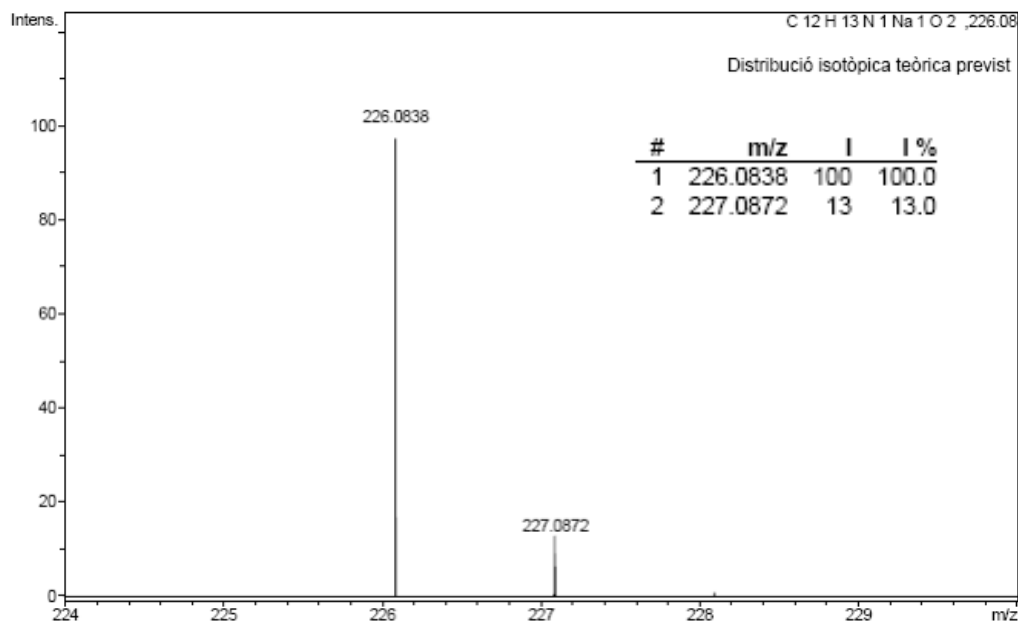
Operator SAQ
 Instrument / Ser# micrOTOF-Q 28

Acquisition Parameter

Source Type	ESI	Ion Polarity	Positive	Set Nebulizer	2.0 Bar
Focus	Not active	Set Capillary	4500 V	Set Dry Heater	180 °C
Scan Begin	50 m/z	Set End Plate Offset	-500 V	Set Dry Gas	7.0 l/min
Scan End	900 m/z	Set Collision Cell RF	145.0 Vpp	Set Divert Valve	Waste



Sum Formula	Sigma	m/z	Err [ppm]	Mean Err [ppm]	Err [mDa]	rdb	N Rule	e ⁻
C 10 H 8 N 7	0.008	226.0836	-1.91	-3.11	-0.43	10.50	ok	even
C 12 H 13 N 1 Na 1 O 2	0.010	226.0838	-0.67	-1.35	-0.15	6.50	ok	even
C 9 H 12 N 3 O 4	0.011	226.0822	-7.82	-8.71	-1.77	5.50	ok	even
C 14 H 12 N 1 O 2	0.021	226.0863	9.97	9.11	2.25	9.50	ok	even



3 Espectroscòpia de masses (SIM) dels productes A2 γ Bn i A2 β Bn

A la taula a continuació (taula A-1) es mostren les abundàncies absolutes per pes molecular de cada parella de productes de reacció. Es mostra el número d'experiment (Exp), si es tracta de l'èster ramificat (A2 β Bn) o el lineal (A2 γ Bn) i l'abundància per cada pic de massa (M(X), on X és el pes molecular). Aquestes dades han estat enregistrades per GC-MS mitjançant la tècnica Single Ion Monitoring (SIM) utilitzant el rang 200 – 210 com a zona d'observació.

Taula A-1. Resultats dels CG-MS SIM pels productes de deuteriocarboxilació del cianur d'al·lil.

Exp	Èster	M(202)	M(203)	M(204)	M(205)	M(206)	M(207)	M(208)
ebzB	A2 β Bn	17	1000	135	12	1	0	0
	A2 γ Bn	7	1000	135	12	1	1	0
11	A2 β Bn	10	582	1000	423	97	13	1
	A2 γ Bn	5	621	1000	463	109	15	2
16	A2 β Bn	5	257	1000	662	218	28	3
	A2 γ Bn	3	283	1000	602	182	23	2
17	A2 β Bn	4	230	1000	310	49	6	1
	A2 γ Bn	2	269	1000	309	47	6	1
24	A2 β Bn	5	297	1000	179	23	3	0
	A2 γ Bn	2	312	1000	168	19	3	1
27	A2 β Bn	3	187	1000	382	85	12	2
	A2 γ Bn	2	220	1000	219	30	4	1
30	A2 β Bn	5	257	1000	150	16	2	0
	A2 γ Bn	2	278	1000	143	15	3	0

3.1 Càlcul del grau d'incorporació de deuteri

Amb aquestes dades s'ha calculat el grau de deuteració per cadascun dels productes. Anomenarem als isotopòmers segons el nombre d'àtoms de deuteri incorporat com a dn, on n indica aquest nombre. El pes molecular dels èsters no deuterats és de M = 203, i aquest pes augmentarà en una unitat per cada deuteri incorporat. No obstant, cal destacar que els pics M+1, M+2, M+n, no provenen únicament degut a la incorporació de deuteri sinó que també afecta la quantitat de ¹³C natural a la molècula. Als àcids

estudiats, degut a que no tenen un nombre massa elevat de carbonis, l'efecte del ^{13}C natural és despreciable a partir de valors superiors a $M+2$.

A partir de la mostra no deuterada *ebzB* s'obté la distribució isotòpica natural del producte (presència ^{13}C), i es pot calcular la relació entre un pic M i un pic $M+1$ i $M+2$. En aquest estudi, etiquetarem aquestes relacions com a k_1 i k_2 , que correspondran a:

$$k_1 = \frac{I(M+1)}{I(M)} = \frac{I(204)}{I(203)} = 0.135 \quad k_2 = \frac{I(M+2)}{I(M)} = \frac{I(205)}{I(203)} = 0.012$$

Seguidament ja es poden calcular les quantitats de d_0 , d_1 i d_2 com:

$$\begin{aligned} I(M) &= Q(d_0) \\ I(M+1) &= I(M) \cdot k_1 + Q(d_1) \\ I(M+2) &= I(M) \cdot k_2 + I(M+1) \cdot k_1 + Q(d_2) \end{aligned}$$

Així, s'obtenen les quantitats de producte sense incorporació de deuteri ($Q(d_0)$), amb la incorporació d'un sol deuteri ($Q(d_1)$) i amb la incorporació de dos deuteris ($Q(d_2)$), que es poden normalitzar i expressar com un percentatge. La incorporació de dos deuteris és la màxima que s'observa als àcids estudiats però seguiria anàlogament el mateix raonament per calcular productes amb major deuteració. També es pot calcular el grau de deuteració (que expressarem com a \bar{d}) com la mesura de mols de deuteri per mol de producte:

$$\bar{d} = \frac{\%d_1 + 2 \cdot (\%d_2)}{100}$$

Els graus de deuteració obtinguts són:

Exp. 11	PPh ₃ , DCI, P/Pd=2, 60 bar CO, 80 °C (C _A = 96%)	
	A2βBn (84%)	A2γBn (16%)
d ₀ =	32,62 %	33,43 %
d ₁ =	51,64 %	49,32 %
d ₂ =	15,75 %	17,25 %
\bar{d} =	0.83	0.84

Exp. 16	PPh ₃ , pTsOD, P/Pd=2, 60 bar CO, 80 °C (C _A = 95%)	
	A2βBn (76%)	A2γBn (24%)
d ₀ =	14,72 %	16,57 %
d ₁ =	55,28 %	56,30 %
d ₂ =	30,00 %	27,14 %
\bar{d} =	1.15	1.10

Exp. 17	PPh ₃ , LiCl, P/Pd=2, 60 bar CO, 80 °C (C _A = 51%)	
	A2βBn (81%)	A2γBn (19%)
d0 =	16,77 %	19,17 %
d1 =	70,66 %	68,67 %
d2 =	12,56 %	12,17 %
\bar{d} =	0.96	0.93

Exp. 24	DPEphos, pTsOD, P/Pd=2, 60 bar CO, 100 °C (C _A = 86%)	
	A2βBn (11%)	A2γBn (89%)
d0 =	22,89 %	24,02 %
d1 =	73,99 %	73,73 %
d2 =	3,12 %	2,25 %
\bar{d} =	0.80	0.78

Exp. 27	DPEphos, DCl, P/Pd=2, 60 bar CO, 100 °C (C _A = 70%)	
	A2βBn (6%)	A2γBn (94%)
d0 =	13,30 %	17,30 %
d1 =	69,30 %	76,30 %
d2 =	17,40 %	6,40 %
\bar{d} =	0.95	0.89

Exp. 30	DPEphos, no acid, P/Pd=2, 60 bar CO, 100 °C (C _A = 68%)	
	A2βBn (26%)	A2γBn (74%)
d0 =	20,82 %	22,33 %
d1 =	78,21 %	77,30 %
d2 =	0,97 %	0,37 %
\bar{d} =	0,80	0,78

4 Espectres de ^2H RMN dels productes $\text{A2}\gamma\text{Bn}$ i $\text{A2}\beta\text{Bn}$

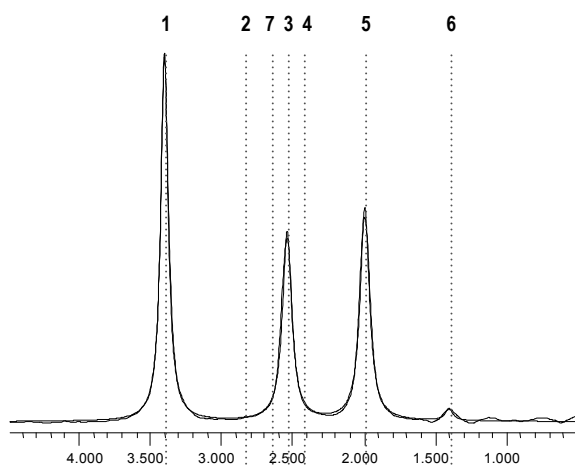
Les quantitats afegides de producte i patró a cada tub de RMN es mostren a la taula a continuació (taula A-2). Les dades més importants que serveixen per la posterior quantificació són els mmol d'acenaftè- d_{10} (a- d_{10}) i els mmol d'èster afegits. Amb aquestes dades i la integral de l'espectre es pot obtenir la relació integral/deuteri i quantificar en valor absolut el nombre de deuteris exactes en cada posició de la molècula. A la taula es mostra l'experiment i producte als quals correspon cada fila i la quantitat de deuteri que conté l'èster afegit, que només s'utilitza per saber la quantitat aproximada d'acenaftè- d_{10} que hem d'afegir per no provocar una gran diferència d'intensitats entre producte i patró en el futur espectre de ressonància. Aquesta quantitat s'ha obtingut multiplicant la quantitat estequiomètrica del patró (considerant els 4 deuteris alquilics) per un factor de 0.8 (es mostren els valors de pes reals, per això la relació no és exacta).

Taula A-2. Quantitats afegides a la preparació dels tubs per ^2H -RMN.

Exp	producte	\bar{d} (MS)	mg èster	mmol èster	mmol "D" èster (MS)	mg a- d_{10}	mmol a- d_{10}	mmol "D" a- d_{10}
11	$\text{A2}\gamma\text{Bn}$	0.839	95.1	0.469	0.373	12.2	0.074	0.297
	$\text{A2}\beta\text{Bn}$	0.831	100.8	0.497	0.392	12.9	0.079	0.314
16	$\text{A2}\gamma\text{Bn}$	1.106	94.2	0.464	0.487	15.5	0.094	0.377
	$\text{A2}\beta\text{Bn}$	1.153	95.7	0.471	0.516	15.9	0.097	0.387
17	$\text{A2}\gamma\text{Bn}$	0.930	39.0	0.192	0.170	5.6	0.034	0.136
	$\text{A2}\beta\text{Bn}$	0.959	99.6	0.491	0.446	14.6	0.089	0.355
24	$\text{A2}\gamma\text{Bn}$	0.782	95.6	0.471	0.350	11.7	0.071	0.285
	$\text{A2}\beta\text{Bn}$	0.802	89.5	0.441	0.336	10.8	0.066	0.263
27	$\text{A2}\gamma\text{Bn}$	0.951	96.7	0.476	0.430	13.4	0.082	0.326
	$\text{A2}\beta\text{Bn}$	0.891	47.0	0.232	0.196	6.1	0.037	0.149
30	$\text{A2}\gamma\text{Bn}$	0.780	99.9	0.492	0.365	11.9	0.072	0.290
	$\text{A2}\beta\text{Bn}$	0.802	99.9	0.492	0.375	12.3	0.075	0.299

Es mostren els mg d'èster que s'han afegit a cada tub i l'estimació dels mmol de deuteri que conté (a partir del MS-SIM) i així poder afegir una quantitat d'acenaftè que contingui una proporció de deuteri aproximadament 0.8 vegades la del èster.

A continuació es mostren els espectres de ^2H -RMN (registrats a 77 MHz) superposats amb la simulació dels mateixos mitjançant el programa *gNMR v5.0.A2*. Es mostren ordenats per reacció catalítica, amb l'espectre de l'èster lineal i del ramificat per cada reacció.

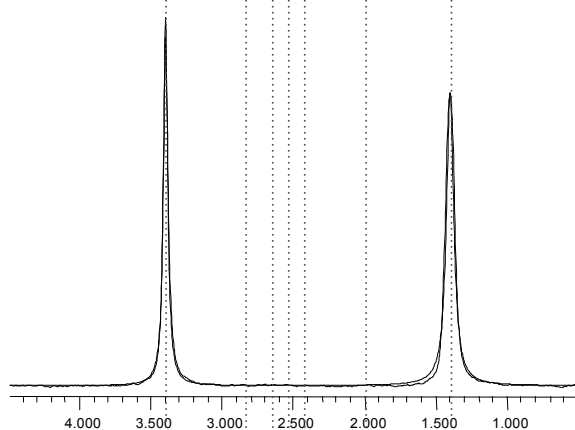
**Exp 11 (92.2% de A2 γ Bn per GC)**

Pic 1
 $\delta = 3.410$, $w = 4.73$ Hz, Integral Simulada = 1.000
 Integral Experim. = 1.000

Pic 3
 $\delta = 2.549$, $w = 5.93$ Hz, Integral Simulada = 0.644
 Integral Experim. = 0.661

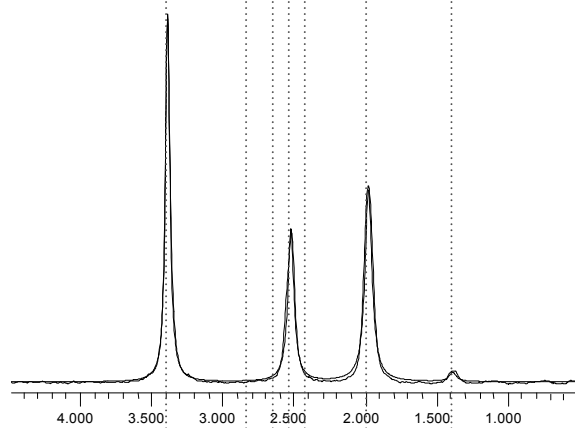
Pic 5
 $\delta = 2.004$, $w = 5.99$ Hz, Integral Simulada = 0.732
 Integral Experim. = 0.714

Pic 6
 $\delta = 1.396$, $w = 4.80$ Hz, Integral Simulada = 0.034
 Integral Experim. = 0.035

**Exp 11 (99.6% de A2 β Bn per GC)**

Pic 1
 $\delta = 3.410$, $w = 2.75$ Hz, Integral Simulada = 1.000
 Integral Experim. = 1.000

Pic 6
 $\delta = 1.413$, $w = 4.60$ Hz, Integral Simulada = 1.330
 Integral Experim. = 1.324

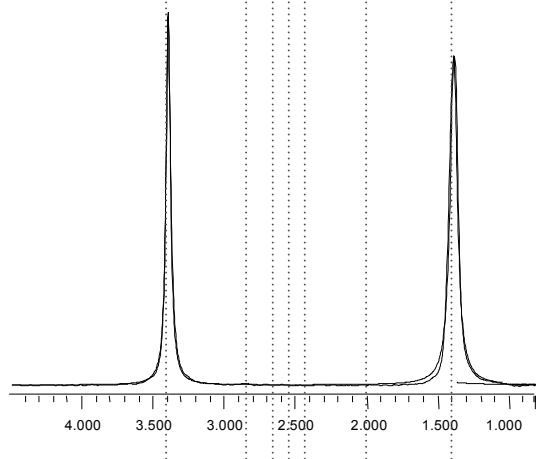
**Exp 16 (93.3% de A2 γ Bn per GC)**

Pic 1
 $\delta = 3.410$, $w = 2.80$ Hz, Intensidad per Simulación = 1.000
 Intensidad per Integración = 1.000

Pic 3
 $\delta = 2.546$, $w = 3.92$ Hz, Integral Simulada = 0.580
 Integral Experim. = 0.587

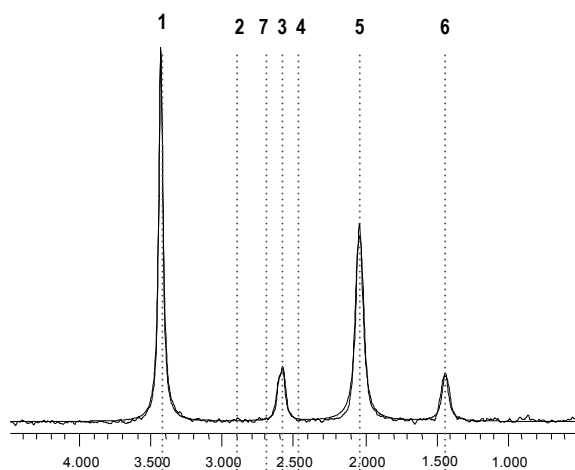
Pic 5
 $\delta = 2.001$, $w = 4.50$ Hz, Integral Simulada = 0.835
 Integral Experim. = 0.816

Pic 6
 $\delta = 1.410$, $w = 4.80$ Hz, Integral Simulada = 0.042
 Integral Experim. = 0.046

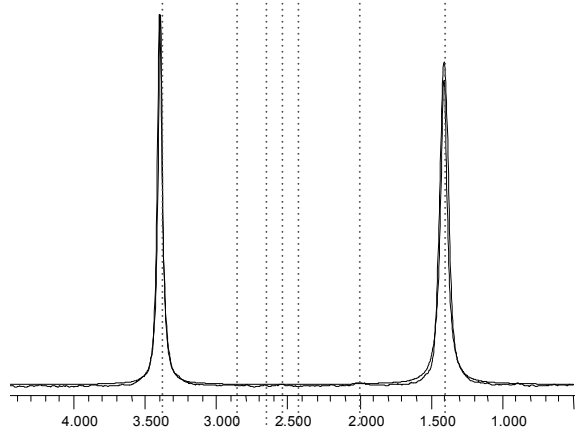
**Exp 16 (98.3% de A2 β Bn per GC)**

Pic 1
 $\delta = 3.410$, $w = 2.83$ Hz, Integral Simulada = 1.000
 Integral Experim. = 1.000

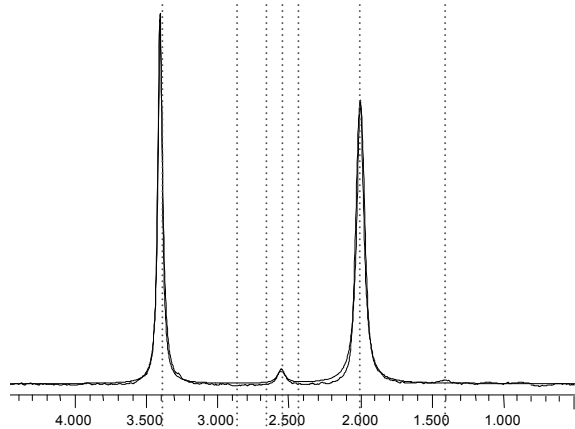
Pic 6
 $\delta = 1.407$, $w = 4.60$ Hz, Integral Simulada = 1.450
 Integral Experim. = 1.412

**Exp 17 (75.8% de A2 γ Bn per GC)**

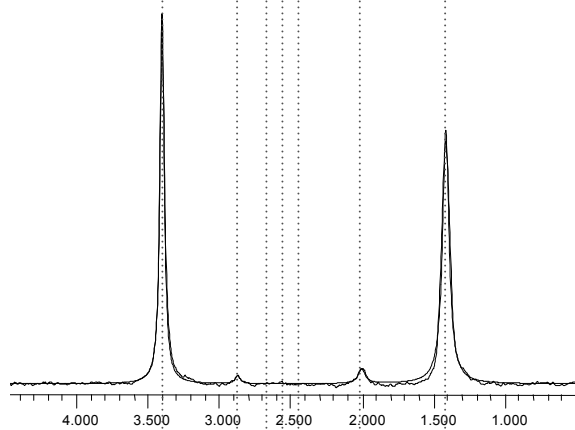
Pic 1	$\delta = 3.410$, $w = 2.66$ Hz,	Integral Simulada = 1.000
		Integral Experim. = 1.000
Pic 3	$\delta = 2.582$, $w = 2.56$ Hz,	Integral Simulada = 0.203
		Integral Experim. = 0.231
Pic 5	$\delta = 2.018$, $w = 4.41$ Hz,	Integral Simulada = 0.881
		Integral Experim. = 0.826
Pic 6	$\delta = 1.417$, $w = 3.93$ Hz,	Integral Simulada = 0.192
		Integral Experim. = 0.202

**Exp 17 (99.4% de A2 β Bn per GC)**

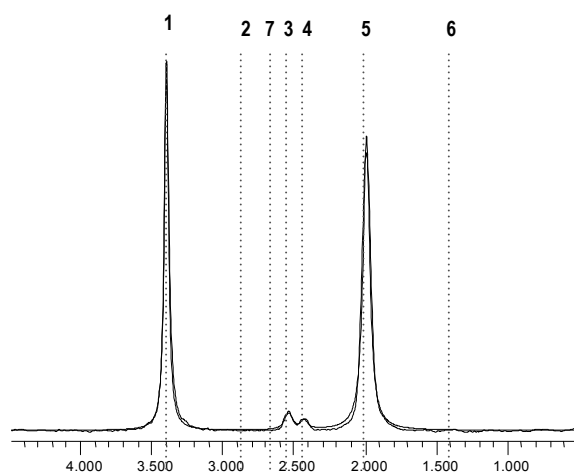
Pic 1	$\delta = 3.410$, $w = 2.72$ Hz,	Integral Simulada = 1.000
		Integral Experim. = 1.000
Pic 6	$\delta = 1.420$, $w = 4.30$ Hz,	Integral Simulada = 1.300
		Integral Experim. = 1.381

**Exp 24 (98.0% de A2 γ Bn per GC)**

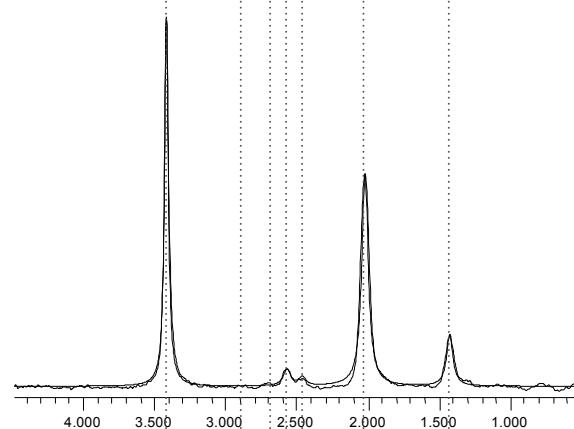
Pic 1	$\delta = 3.410$, $w = 2.67$ Hz,	Integral Simulada = 1.000
		Integral Experim. = 1.000
Pic 3	$\delta = 2.561$, $w = 4.60$ Hz,	Integral Simulada = 0.065
		Integral Experim. = 0.044
Pic 5	$\delta = 2.0097$, $w = 4.26$ Hz,	Integral Simulada = 1.290
		Integral Experim. = 1.228

**Exp 24 (95.7% de A2 β Bn per GC)**

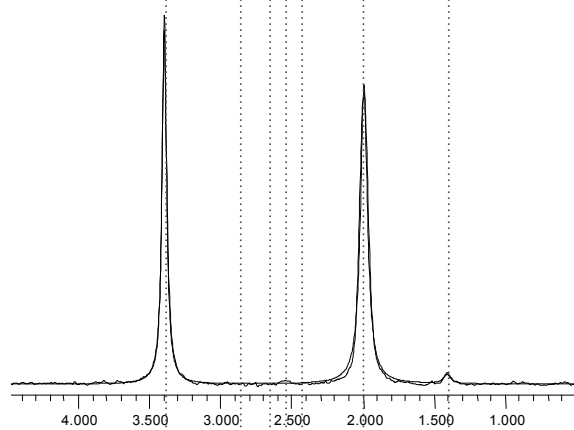
Pic 1	$\delta = 3.410$, $w = 2.66$ Hz,	Integral Simulada = 1.000
		Integral Experim. = 1.000
Pic 2	$\delta = 2.880$, $w = 3.00$ Hz,	Integral Simulada = 0.025
		Integral Experim. = 0.018
Pic 5	$\delta = 2.012$, $w = 4.50$ Hz,	Integral Simulada = 0.065
		Integral Experim. = 0.047
Pic 6	$\delta = 1.423$, $w = 4.26$ Hz,	Integral Simulada = 1.100
		Integral Experim. = 1.023

**Exp 27 (98.7% de A2 γ Bn per GC)**

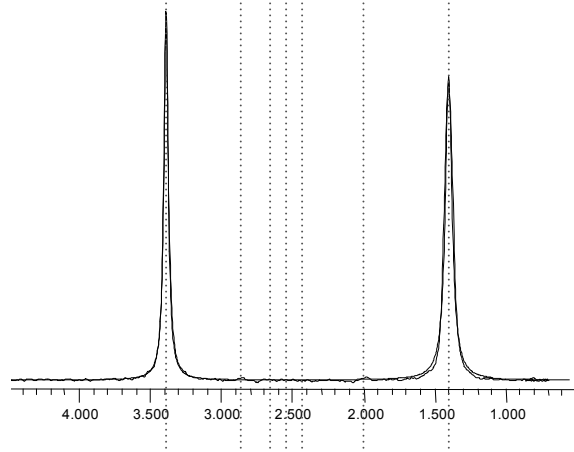
Pic 1	δ = 3.410, w= 2.60 Hz,	Integral Simulada = 1.000 Integral Experim. = 1.000
Pic 3	δ = 2.551, w= 4.60 Hz,	Integral Simulada = 0.085 Integral Experim. = 0.064
Pic 4	δ = 2.442, w= 4.27 Hz,	Integral Simulada = 0.040 Integral Experim. = 0.041
Pic 5	δ = 2.005, w= 4.26 Hz,	Integral Simulada = 1.301 Integral Experim. = 1.185

**Exp 27 (17.0% de A2 β Bn per GC)**

Pic 1	δ = 3.410, w= 2.45 Hz,	Integral Simulada = 1.000 Integral Experim. = 1.000
Pic 3	δ = 2.563, w= 4.60 Hz,	Integral Simulada = 0.085 Integral Experim. = 0.068
Pic 4	δ = 2.455, w= 4.27 Hz,	Integral Simulada = 0.040 Integral Experim. = 0.026
Pic 5	δ = 2.014, w= 4.11 Hz,	Integral Simulada = 0.967 Integral Experim. = 0.971
Pic 6	δ = 1.419, w= 4.00 Hz,	Integral Simulada = 0.228 Integral Experim. = 0.229

**Exp 30 (95.6% de A2 γ Bn per GC)**

Pic 1	δ = 3.410, w= 2.84 Hz,	Integral Simulada = 1.000 Integral Experim. = 1.000
Pic 5	δ = 2.007, w= 4.52 Hz,	Integral Simulada = 1.290 Integral Experim. = 1.282
Pic 6	δ = 1.422, w= 4.00 Hz,	Integral Simulada = 0.040 Integral Experim. = 0.038

**Exp 30 (99.0% de A2 β Bn per GC)**

Pic 1	δ = 3.410, w= 2.71 Hz,	Integral Simulada = 1.000 Integral Experim. = 1.000
Pic 6	δ = 1.424, w= 4.30 Hz,	Integral Simulada = 1.300 Integral Experim. = 1.287

Taula A-3. Resum de la quantificació dels espectres de ^2H .

Exp	producte	\bar{d} (MS)	integral exp èster (total)	integral sim èster (total)	\bar{d} (RMN exp)	\bar{d} (RMN sim)	$\Delta\bar{d}$ RMN sim-exp	$\Delta\bar{d}$ MS-RMNexp
11	A2 γ Bn	0.8382	1.410	1.410	0.894	0.894	0.000	-0.056
	A2 β Bn	0.8314	1.324	1.330	0.837	0.841	0.004	-0.006
16	A2 γ Bn	1.1058	1.449	1.457	1.178	1.185	0.006	-0.073
	A2 β Bn	1.1528	1.412	1.450	1.159	1.191	0.031	-0.007
17	A2 γ Bn	0.9301	1.259	1.275	0.893	0.905	0.011	0.037
	A2 β Bn	0.9578	1.381	1.300	1.001	0.942	-0.059	-0.043
24	A2 γ Bn	0.7823	1.272	1.355	0.769	0.820	0.050	0.013
	A2 β Bn	0.8023	1.088	1.190	0.649	0.710	0.061	0.153
27	A2 γ Bn	0.951	1.290	1.426	0.884	0.976	0.093	0.067
	A2 β Bn	0.891	1.294	1.320	0.830	0.846	0.016	0.061
30	A2 γ Bn	0.7804	1.320	1.330	0.777	0.783	0.006	0.003
	A2 β Bn	0.8015	1.287	1.300	0.783	0.791	0.008	0.018

Es mostren les intensitats dels espectres experimentals per integració i la intensitat obtinguda de la simulació, ambdues com la suma dels pics de l'èster. A partir de les intensitats i dels mmol (taula A-2) es calculen els graus de deuteració i les diferències entre els valors obtinguts (integració experimental, intensitat simulada, MS-SIM)

S'observa incorporació significativa de deuteri a la posició 6 de **A2 β Bn** i a les posicions 3 i 5 de **A2 γ Bn**. A la taula A-4 es presenten els graus de deuteració a aquestes posicions. Al integrar el pic 1 del patró com a valor de referència 1.00, es pot obtenir directament el valor de mmol de D per unitat d'integració a partir dels mmol d'acenaftè- d_{10} considerant que treballem amb els 4 deuteris alquílics. A la taula, els mmol d'èster es refereixen solament al producte d'interès (A2 β Bn o A1 γ Bn) pel que s'estudia la deuteració, per això s'han corregit els mmol totals que hem afegit per pesada al tub segons les pureses determinades per GC.

Taula A-4. Graus de deuteració per posició a la molècula.

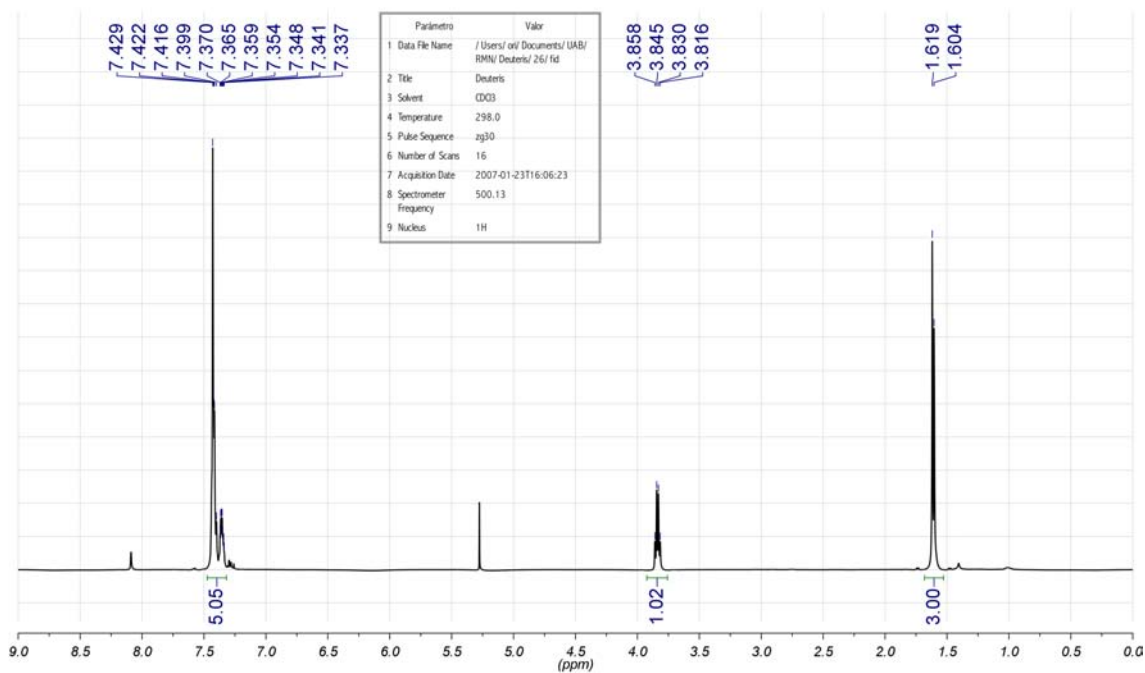
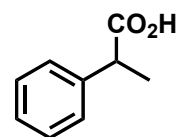
Exp	producte	mmol èster	mmol D pic 1	\bar{d} pic 2	\bar{d} pic 3	\bar{d} pic 4	\bar{d} pic 5	\bar{d} pic 6	\bar{d} pic 7
11	A1 γ Bn	0.432	0,297	-	0.454	-	0.491	-	-
	A1 β Bn	0.495	0,314	-	-	-	-	0.839	-
16	A1 γ Bn	0.439	0,377	-	0.516	-	0.720	-	-
	A1 β Bn	0.463	0,387	-	-	-	-	1.179	-
17	A1 γ Bn	0.146	0,136	-	0.215	-	0.769	-	-
	A1 β Bn	0.488	0,355	-	-	-	-	1.004	-
24	A1 γ Bn	0.462	0,285	-	0.028	-	0.757	-	-
	A1 β Bn	0.430	0,263	0.011	-	-	-	0.626	-
27	A1 γ Bn	0.470	0,326	-	0.045	0.028	0.822	-	-
	A1 β Bn	0.039	0,149	-	-	-	-	0.875	-
30	A1 γ Bn	0.470	0,290	-	-	-	0.791	-	-
	A1 β Bn	0.442	0,299	-	-	-	-	0.870	-

\bar{d} posició calculada com: $\frac{\text{Integral experimental del pic} \cdot \text{mmol D pic 1}}{\text{mmol èster}}$

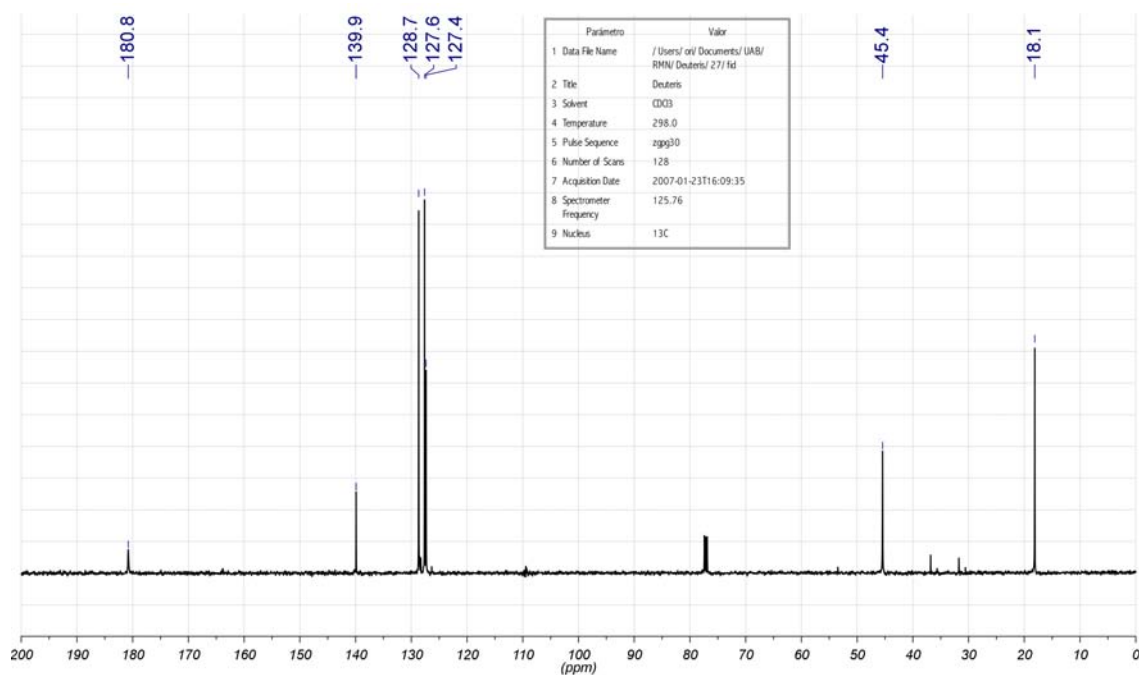
5 Caracterització dels productes d'hidrocarboxilació de substrats vinilarènics i propenilarènics

5.1 Àcid 2-fenilpropionic (A1 α)

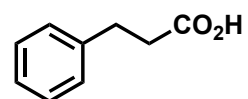
^1H -RMN (500 MHz, rt, CDCl_3):



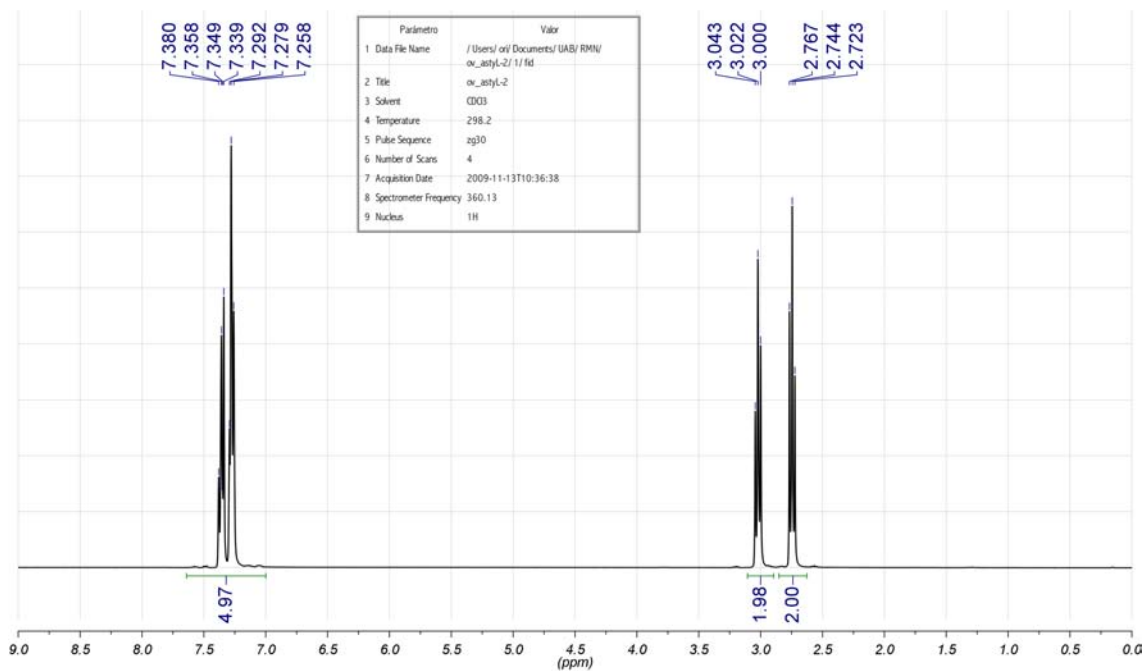
$^{13}\text{C}\{^1\text{H}\}$ -RMN (126 MHz, rt, CDCl_3):



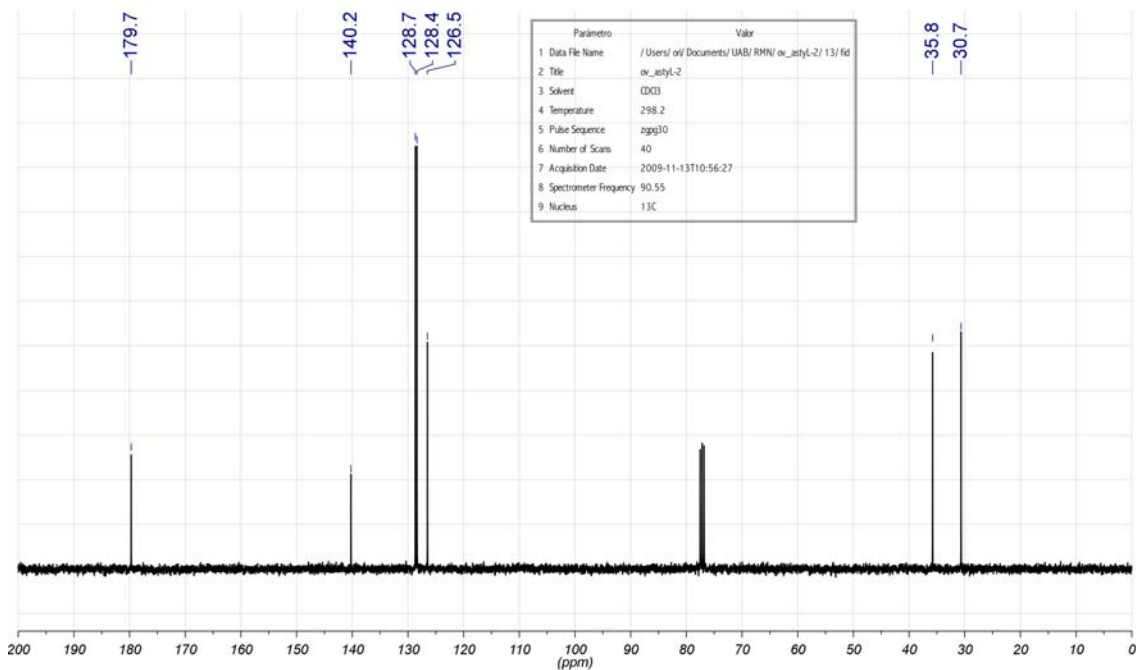
5.2 Àcid 3-fenilpropionic (A7β)



^1H -RMN (360 MHz, rt, CDCl_3):



$^{13}\text{C}\{^1\text{H}\}$ -RMN (91 MHz, rt, CDCl_3):



6 Espectroscòpia de masses (SIM) dels àcids A1 α i A1 β .

A les taules a continuació es mostren les abundàncies absolutes per pes molecular tant pels productes d'hidrocarboxilació de l'estirè (taula A-5), com per l'estirè sobrant a les reaccions de baixa conversió (taula A-6). Es mostra el número d'experiment (Exp), de quin producte es tracta, i l'abundància per cada pic de massa (M(X), on X és el pes molecular). Aquestes dades han estat enregistrades per GC-MS mitjançant la tècnica Single Ion Monitoring (SIM) utilitzant el rang 90 – 120 com a zona d'observació per l'estirè i 140 – 164 per als productes de deuteriocarboxilació.

Taula A-5. Resultats dels CG-MS SIM pels productes de deuteriocarboxilació de l'estirè

Exp	Prod.	M(150)	M(151)	M(152)	M(153)	M(154)
31	A1 α	709	1000	366	108	14
	A1 β	559	1000	341	83	10
39	A1 α	267	1000	775	103	15
40	A1 α	421	1000	476	88	14
41	A1 α	199	1000	635	81	10
42*	A1 α	1000	109	12	0	0
* Experiment no deuterat						

Taula A-6. Resultats dels CG-MS SIM per l'estirè sobrant a les reaccions de baixa conversió

Exp	M(101)	M(102)	M(103)	M(104)	M(105)	M(106)
39	9	80	476	1000	110	6
40	8	78	468	1000	163	15
42*	8	77	466	1000	89	3
* Experiment no deuterat						

6.1 Càlcul del grau d'incorporació de deuteri

S'ha seguit exactament el mateix procediment de càlcul pel grau d'incorporació de deuteri en aquests productes que el seguit pel cas del cianur d'al·lil (apartat 3.1 d'aquest annex). La nomenclatura pels isotopòmers també és equivalent, del tipus **dn**, on n és el nombre de deuteris incorporats per la molècula.

A partir de la mostra no deuterada (exp. 42) s'obté la distribució isotòpica natural (presència ^{13}C) dels àcids productes i de l'estirè, i aleshores es calcula la relació entre el

pic M i un pic M+1 i M+2. Etiquetarem aquestes relacions com a k_1 i k_2 , que correspondran a:

$$\begin{aligned} \text{Àcids A1}\alpha \text{ i A1}\beta: \quad k_1 &= \frac{I(M+1)}{I(M)} = \frac{I(151)}{I(150)} = 0.109 & k_2 &= \frac{I(M+2)}{I(M)} = \frac{I(152)}{I(150)} = 0.012 \\ \text{Estirè:} \quad k_1 &= \frac{I(M+1)}{I(M)} = \frac{I(105)}{I(104)} = 0.089 & k_2 &= \frac{I(M+2)}{I(M)} = \frac{I(152)}{I(150)} = 0.003 \end{aligned}$$

Aleshores ja es poden calcular les quantitats de d_0 , d_1 i d_2 com:

$$\begin{aligned} I(M) &= Q(d_0) \\ I(M+1) &= I(M) \cdot k_1 + Q(d_1) \\ I(M+2) &= I(M) \cdot k_2 + I(M+1) \cdot k_1 + Q(d_2) \end{aligned}$$

D'aquesta forma s'obtenen les quantitats de producte sense incorporació de deuteri ($Q(d_0)$), amb la incorporació d'un sol deuteri ($Q(d_1)$) i amb la incorporació de dos deuteris ($Q(d_2)$), que es poden normalitzar i expressar com a percentatge. La incorporació de dos deuteris és la màxima que s'observa als àcids estudiats però es seguiria anàlogament el mateix raonament per calcular productes amb major deuteració. També es pot calcular el grau de deuteració (\bar{d}) com la mesura de mols de deuteri per mol de producte:

$$\bar{d} = \frac{\%d_1 + 2 \cdot (\%d_2)}{100}$$

Graus de deuteració obtinguts:

Exp. 31	L=(S)-(-)-BINPO, [P]/[Pd]= 3, P _{CO} = 60 bar, T= 100 °C (C _A = 76%)		
	A1 α (69%)	A1 β (31%)	Estirè sobrant
d_0	37.71 %	32.44 %	-
d_1	49.08 %	54.49 %	-
d_2	13.22 %	13.07 %	-
\bar{d}	0.75	0.80	-

Exp. 39	L=(S)-(-)-BINPO, [P]/[Pd]= 3, P _{CO} = 60 bar, T= 50 °C (C _A = 2%)		
	A1 α (100%)	A1 β (0%)	Estirè sobrant
<i>d</i> 0	14.05 %	-	97.95 %
<i>d</i> 1	51.08 %	-	2.05 %
<i>d</i> 2	34.87 %	-	-
\bar{d}	1.20	-	0.02

Exp. 40	L=(S)-(-)-BINPO, [P]/[Pd]= 3, P _{CO} = 15 bar, T= 50 °C (C _A = 5%)		
	A1 α (98%)	A1 β (2%)	Estirè sobrant
<i>d</i> 0	24.24 %	-	93.1 %
<i>d</i> 1	59.93 %	-	6.90 %
<i>d</i> 2	20.84 %	-	-
\bar{d}	0.97	-	0.07

Exp. 41	L=(S)-(-)-BINPO, [P]/[Pd]= 3, P _{CO} = 60 bar, T= 80 °C (C _A = 41%)		
	A1 α (99%)	A1 β (1%)	Estirè sobrant
<i>d</i> 0	11.70 %	-	-
<i>d</i> 1	57.52 %	-	-
<i>d</i> 2	30.78 %	-	-
\bar{d}	1.18	-	-

7 Espectres de ^2H -RMN dels productes d'hidrocarboxilació A1 α i A1 β

Les quantitats afegides de producte i patró a cada tub de RMN es mostren a la taula a continuació (taula A-7). Les dades més importants que serveixen per la posterior quantificació són els mmol d'acenaftè- d_{10} (a- d_{10}) i els mmol d'àcid afegits. Amb aquestes dades i la integral de l'espectre es pot obtenir la relació integral/deuteri i quantificar en valor absolut el nombre de deuteris exactes en cada posició de la molècula. A la taula es mostra l'experiment i producte als quals correspon cada fila i la quantitat de deuteri que conté l'èster afegit, que només s'utilitza per saber la quantitat aproximada d'acenaftè- d_{10} que hem d'afegir per no provocar una gran diferència d'intensitats entre producte i patró en el futur espectre de ressonància. Aquesta quantitat s'ha obtingut multiplicant la quantitat estequiomètrica del patró (considerant els 4 deuteris alquílics) per un factor de 0.8 (es mostren els valors de pes reals, per això la relació no és exacta).

Taula A-7. Quantitats de producte i patró afegides a la preparació dels tubs de ^2H -RMN.

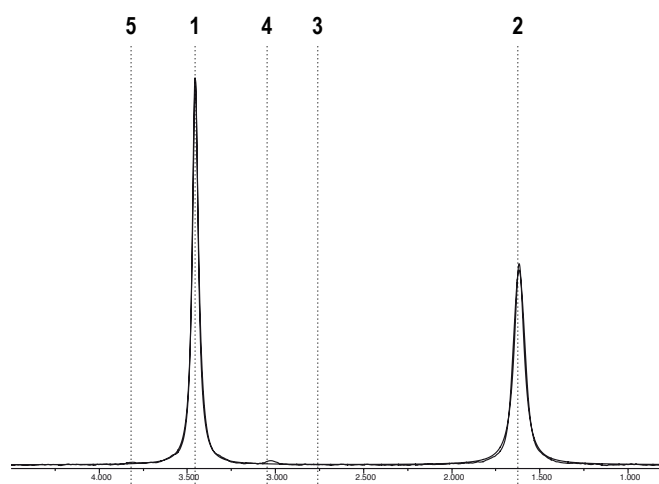
Exp	prod.	\bar{d} (MS)	mg acid	mmol acid	mmol "D" acid (MS)	mg a- d_{10}	mmol a- d_{10}	mmol "D" a- d_{10}
41	A1 α	1.18	107.9	0.718	0.848	30.4	0.185	0.740
31 ^a	A1 α	0.75	110.1	0.506	0.379	16.8	0.102	0.409
	A1 β	0.80		0.227	0.162			

Es mostren els mg d'àcid que s'han afegit a cada tub i l'estimació dels mmol de deuteri que conté (a partir del MS-SIM) i així poder afegir una quantitat d'acenaftè que contingui una proporció de deuteri aproximadament 0.8 vegades la del èster.

^a Per calcular els mmol de cada àcid a aquest experiment s'ha fet a partir de la regioselectivitat de la reacció, ja que es tracta de la mescla d'àcids.

A la pàgina següent es mostren els espectres de ^2H -RMN (registrats a 77 MHz) de les dues reaccions, superposats amb la simulació dels mateixos mitjançant el programa *gNMR v4.0*.

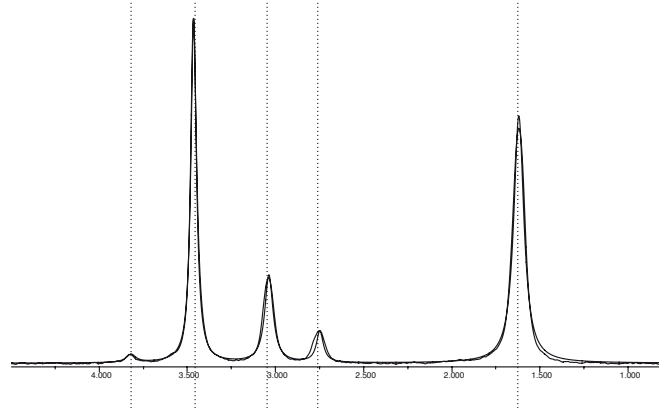
Com es pot observar, de cadascun dels pics es dona informació del desplaçament químic, de l'amplada del pic (extreta de la simulació) i de la integral experimental mitjançant el programa d'edició d'espectres *TopSpin* de *Bruker*, i l'obtinguda a la simulació mitjançant el programa *gNMR v5.0.6* (integral simulada).

**Exp. 41** (Estirè/BINPO P60, T80)

Pic 1:

 $\delta = 3.455$, $w = 3.01$ Hz, Integral Simulada = 1.000
 Integral Experim. = 1.000

Pic 2:

 $\delta = 1.618$, $w = 5.11$ Hz, Integral Simulada = 0.884
 Integral Experim. = 0.874
**Exp. 31** (Estirè/BINPO P60, T100)

Pic 1:

 $\delta = 3.465$, $w = 2.92$ Hz, Integral Simulada = 1.000
 Integral Experim. = 1.000

Pic 2:

 $\delta = 1.620$, $w = 5.29$ Hz, Integral Simulada = 1.298
 Integral Experim. = 1.191

Pic 3:

 $\delta = 2.749$, $w = 3.60$ Hz, Integral Simulada = 0.111
 Integral Experim. = 0.147

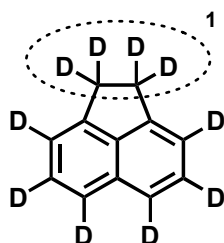
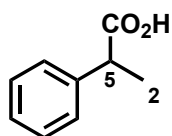
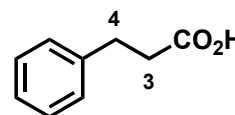
Pic 4:

 $\delta = 3.038$, $w = 4.33$ Hz, Integral Simulada = 0.375
 Integral Experim. = 0.390

Pic 5:

 $\delta = 3.820$, $w = 5.00$ Hz, Integral Simulada = 0.038
 Integral Experim. = 0.022

Per l'assignació dels pics observats, el desplaçament químic dels deuteris coincideix amb el desplaçament químic dels protons als espectres ^1H -RMN dels productes no deuterats. En conseqüència, l'assignació dels pics 1-5 dels espectres ^2H -RMN és la següent:

Acenafte- d_{10} Àcid 2-fenilpropionic (A1 α)Àcid 3-fenilpropionic (A1 β)

Els deuteris aromàtics de l'acenaftè- d_{10} també donen senyal als espectres (3 senyals a $\delta = 7.681, 7.525$ i 7.368) però han quedat fora del rang mostrat als espectres anteriors degut a que no s'han utilitzat per la quantificació.

A continuació s'exposa una taula resum de la deuteració (taula A-8). A la taula es mostra la integració total dels deuteris dels àcids (tant amb les dades experimentals com amb les provinents de les simulacions, expressades com *integral exp* i *integral sim*), que ens permet calcular el grau de deuteració mitjançant RMN (\bar{d} RMN exp i \bar{d} RMN sim). Si es comparen els valors de \bar{d} obtinguts amb les dades experimentals i simulades ($\Delta\bar{d}$ RMN sim-exp) s'observa que són gaire diferents, indicant que la integració experimental és prou bona (no hi ha solapaments de pics). Si s'agafa la integració experimental i es compara amb els valors de \bar{d} obtinguts a partir de l'espectroscòpia de masses ($\Delta\bar{d}$ MS-RMNexp), la diferència és una mica superior.

Taula A-8. Resum de la quantificació dels espectres de ^2H -RMN.

Exp	prod.	\bar{d} (MS)	Int. exp. acid (total)	Int. sim. acid (total)	\bar{d} (RMN exp.)	\bar{d} (RMN sim.)	$\Delta\bar{d}$ RMN sim-exp	$\Delta\bar{d}$ MS-RMN _{exp}
41	A1α	1.18	0.874	0.884	0.900	0.911	0.010	0.280
31 ^a	A1α	0.75	1.213	1.336	1.022	1.080	0.058	-0.272
	A1β	0.80	0.537	0.486	0.967	0.875	-0.092	-0.167

Es mostren les intensitats dels espectres experimentals per integració i la intensitat obtinguda de la simulació, ambdues com la suma dels pics de l'àcid en qüestió. A partir de les intensitats i dels mmol (taula A-7) es calculen els graus de deuteració i les diferències entre els valors obtinguts (integració experimental, intensitat simulada, MS-SIM)

^a A l'experiment 31 els càlculs per els dos àcids es fan a partir de la regioselectivitat de la reacció.

Als espectres de ^2H -RMN es pot observar que la incorporació a l'àcid ramificat **A1 α** es troba principalment al metil (pic 2) mentre que per l'àcid lineal **A1 β** s'observa incorporació als dos metilens (pics 3 i 4), essent una mica superior al metilè en α al fenil. A la taula A-9 es presenten els graus de deuteració per posició. Al integrar el pic 1 del patró com a valor de referència 1.00, es pot obtenir directament el valor de mmol de D per unitat d'integració a partir dels mmol d'acenaftè- d_{10} considerant que treballem amb els 4 deuteris alquilics.

Taula A-9. Graus de deuteració per posició als productes.

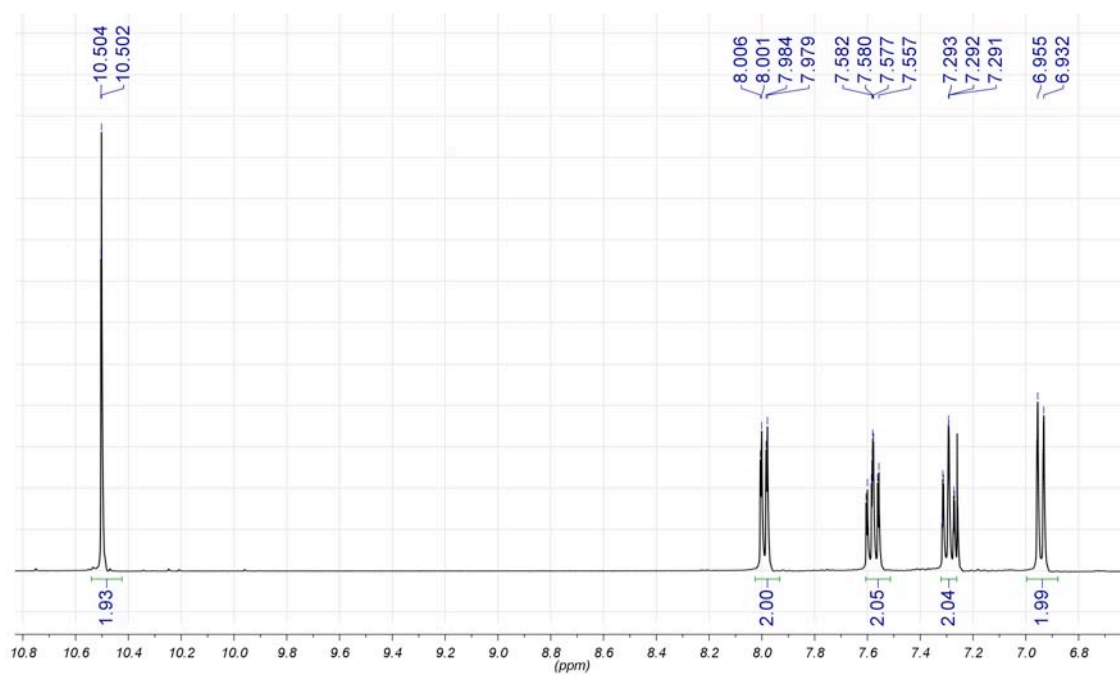
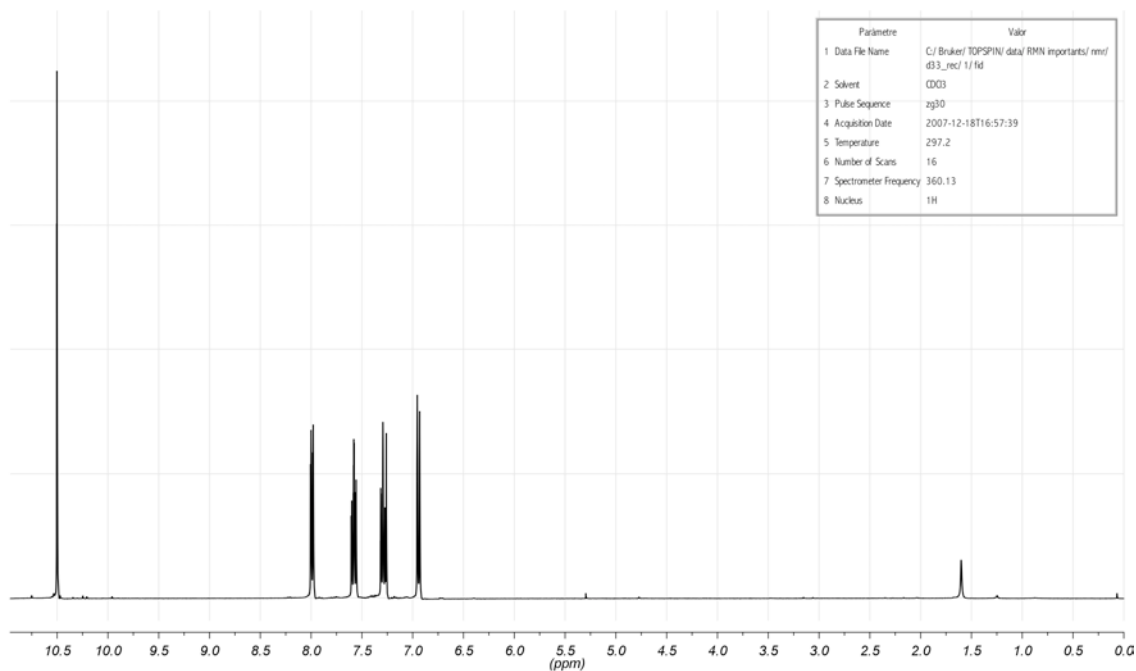
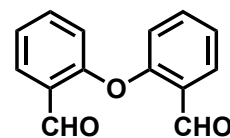
Exp	producte	mmol àcid	mmol D pic 1	\bar{d} pic 2	\bar{d} pic 3	\bar{d} pic 4	\bar{d} pic 5
31	A1α	0.718	0.740	0.900	-	-	-
41	A1α	0.506	0.409	0.963	-	-	0.040
	A1β	0.227		-	0.265	0.702	-
\bar{d} a la posició calculada com:			$\frac{\text{Integral experimental del pic} \cdot \text{mmol D pic 1}}{\text{mmol àcid}}$				

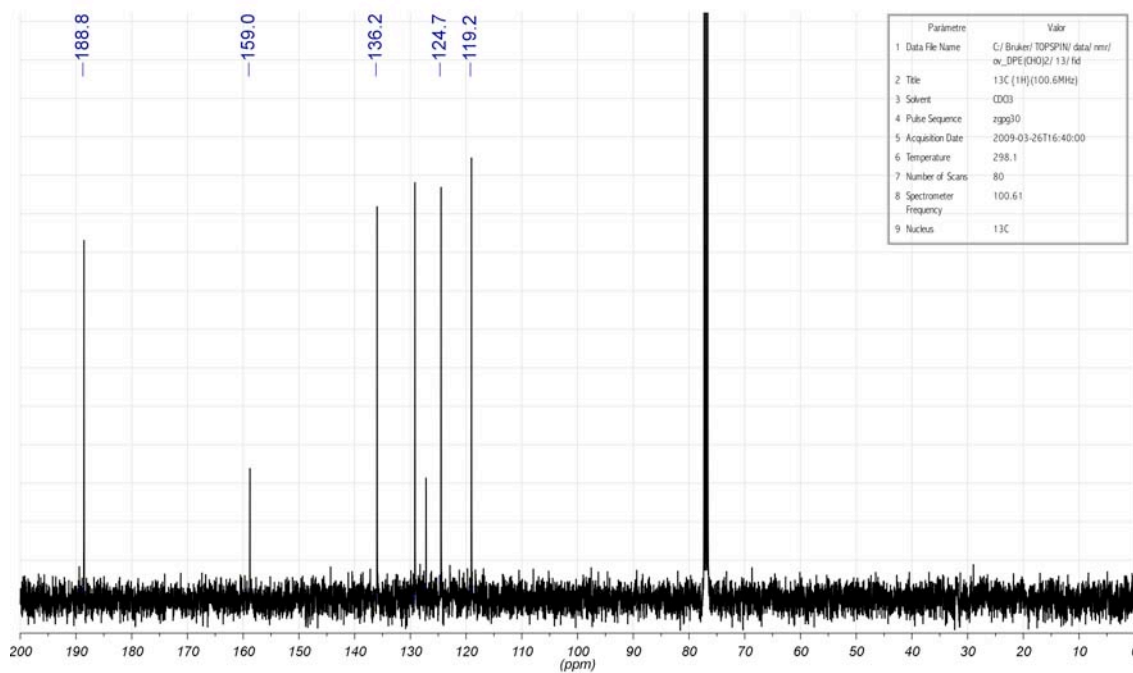
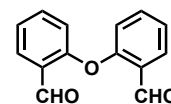
8 Caracterització d'intermedis i productes a la síntesi de difosfines benzíliques

8.1 Síntesi de la DPEMephos (L33)

2-(2-formilfenoxi)benzaldehyd (I11)

^1H RMN (360 MHz, rt, CDCl_3):



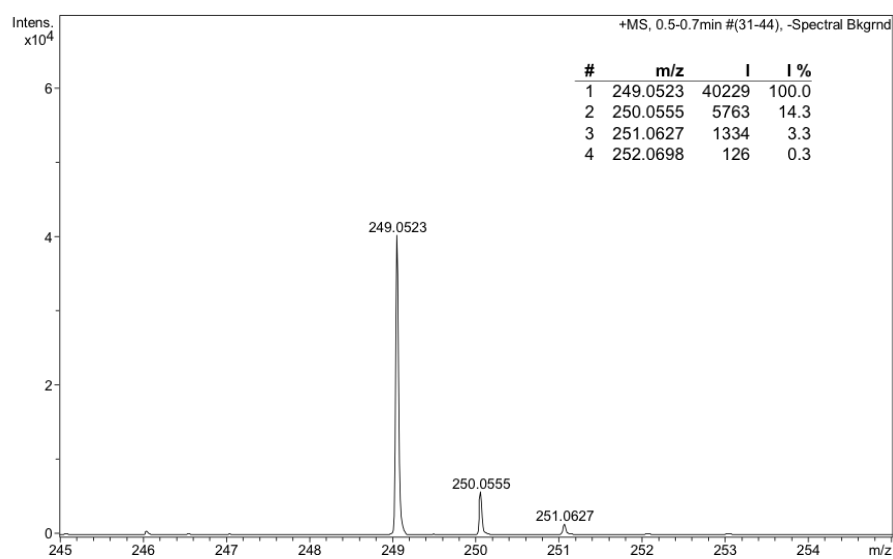
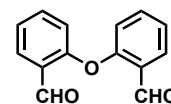
$^{13}\text{C}\{^1\text{H}\}$ RMN (101 MHz, rt, CDCl_3):

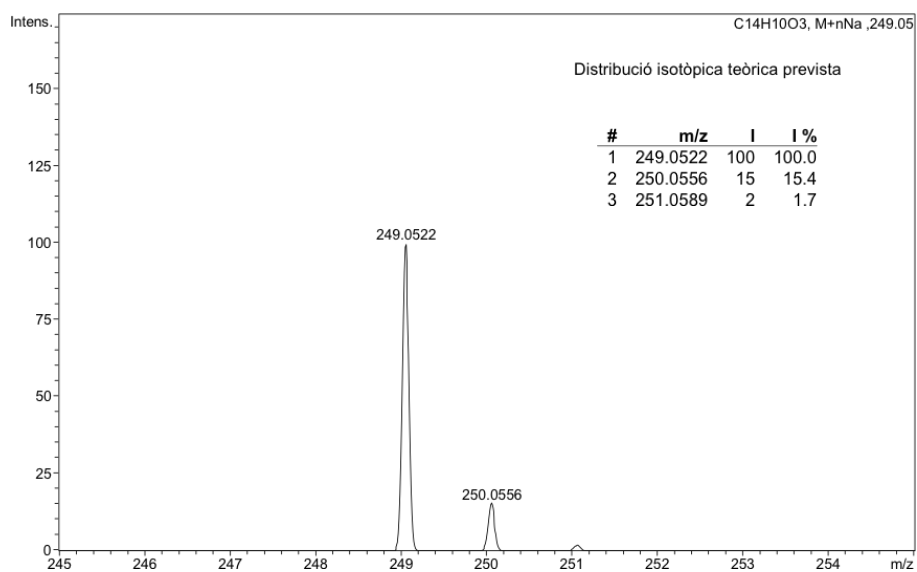
HRMS (ESI+):

Analysis Info

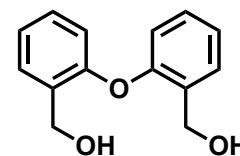
Analysis Name: OV-DPE1(09EM117)_1-C,5_01_1889.d
 Method: esipos100-600_fi_02-02-09.m
 Sample Name: OV-DPE1(09EM117)
 Comment: AER. ESI+. Dó ca 2 ppm en MeOH // O. VALLCORBA

Acquisition Date: 18/03/2009 12:18:45
 Operator: SAQ
 Instrument: micrOTOF-Q

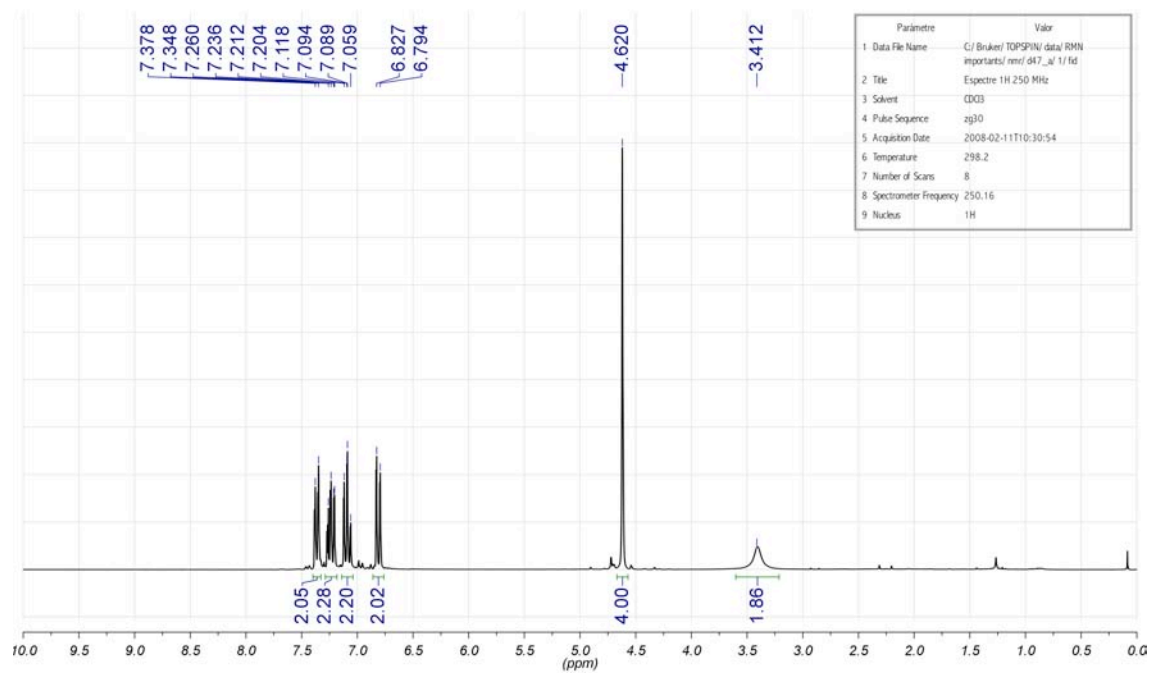


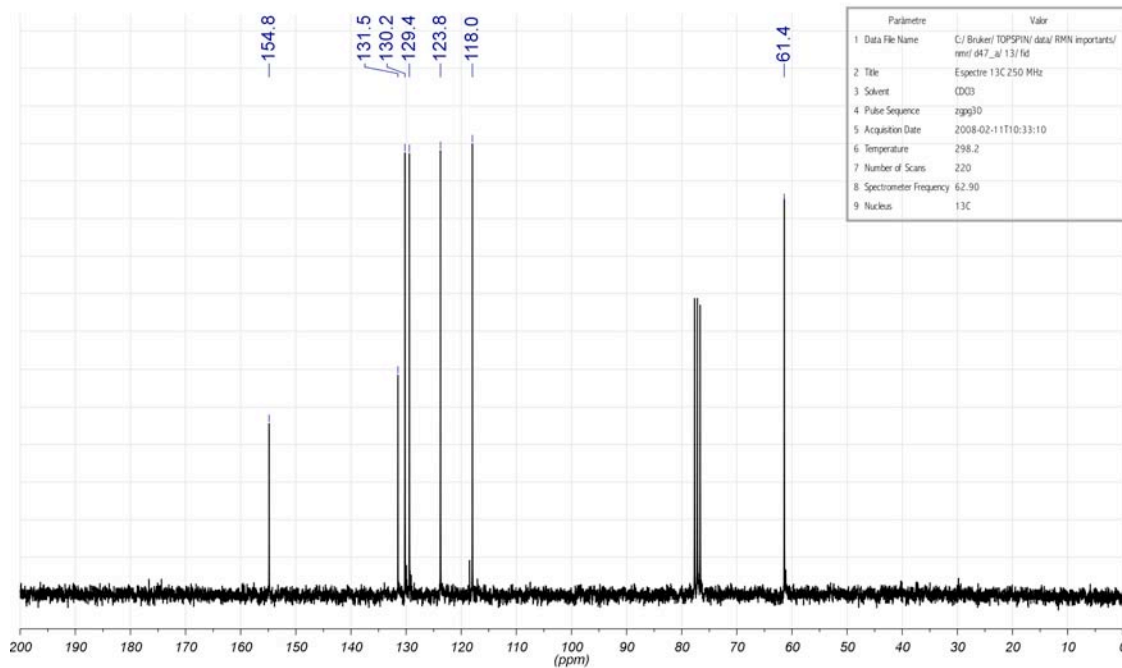
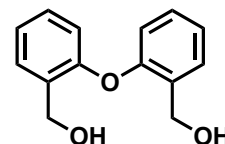


{2-[2-(hidroximetil)fenoxi]fenil}metanol (I12)



¹H RMN (250 MHz, rt, CDCl₃):

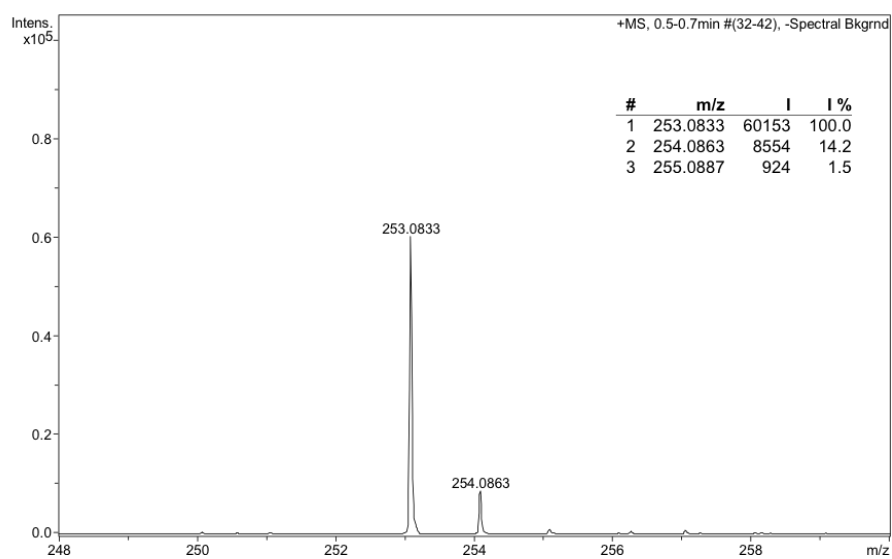
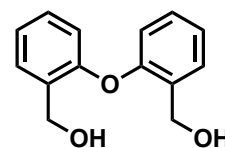


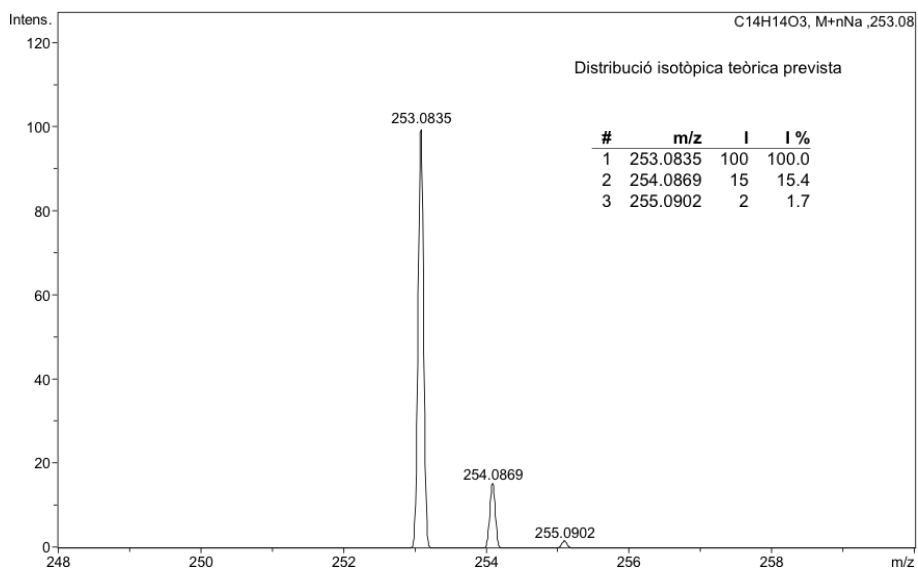
$^{13}\text{C}\{^1\text{H}\}$ RMN (63 MHz, rt, CDCl_3):

HRMS (ESI+):

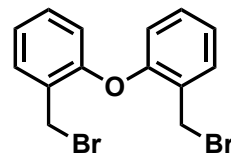
Analysis Info
 Analysis Name: OV-DPE2(09EM118)_1-C,6_01_1890.d
 Method: esipos100-600_fi_02-02-09.m
 Sample Name: OV-DPE2(09EM118)
 Comment: AER. ESI+. Dó ca 2 ppm en MeOH // O. VALLCORBA

Acquisition Date: 18/03/2009 12:25:29
 Operator: SAQ
 Instrument: micrOTOF-Q

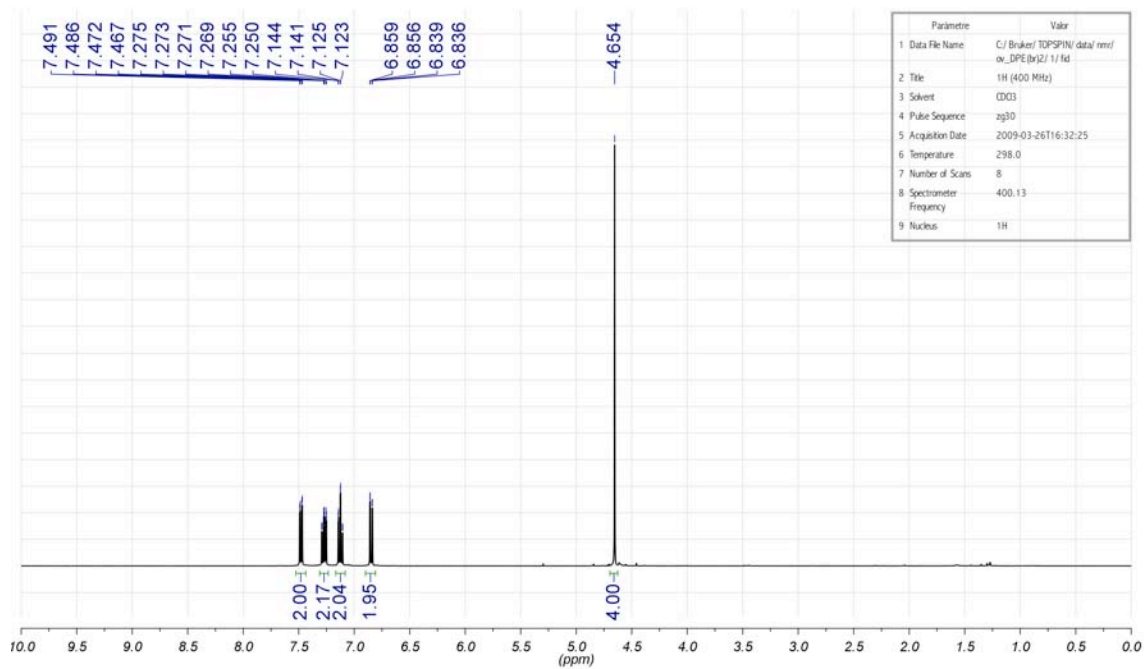


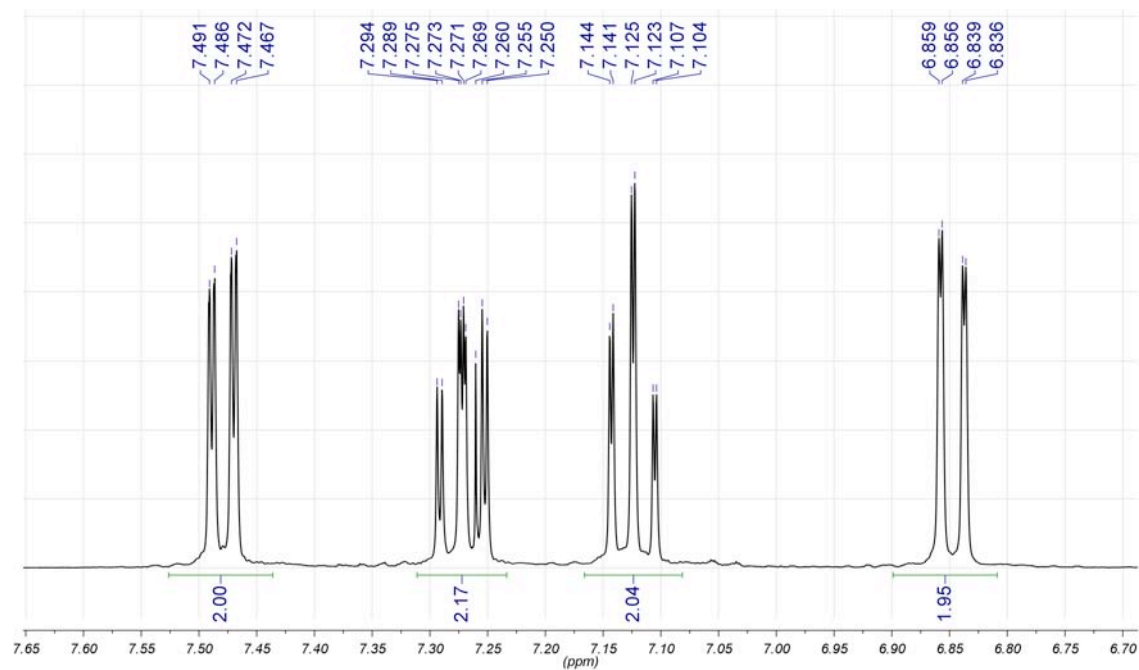


1-(bromometil)-2-[2-(bromometil)fenoxi]benzè (I10)

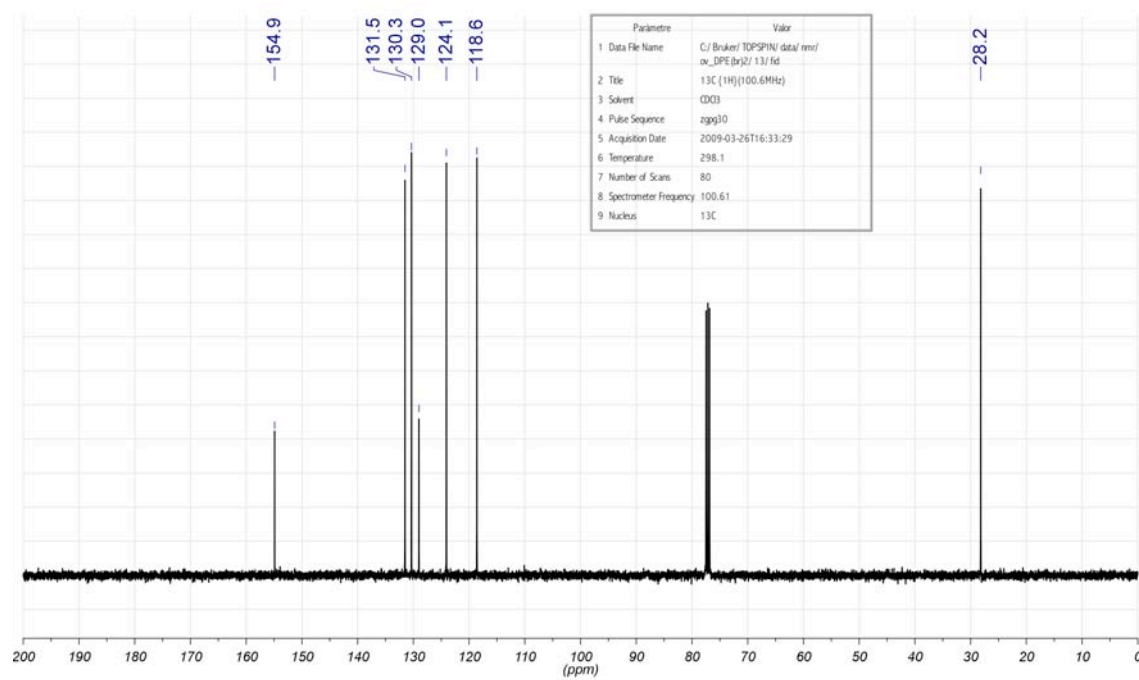
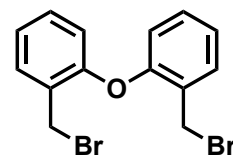


^1H RMN (400 MHz, rt, CDCl_3):

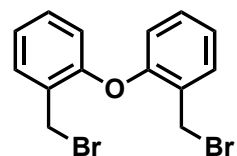




$^{13}\text{C}\{^1\text{H}\}$ RMN (101 MHz, rt, CDCl_3):

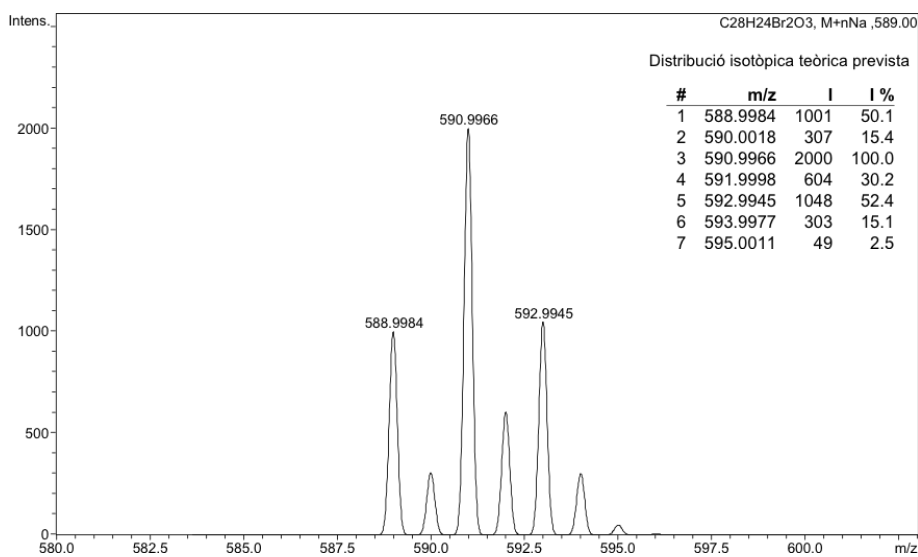
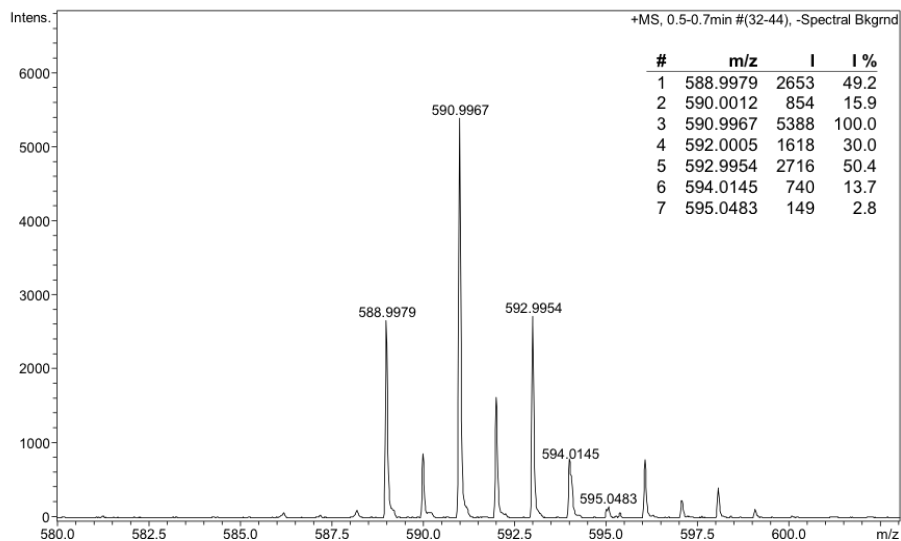


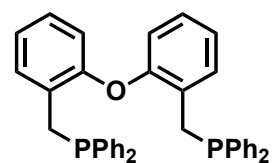
HRMS (ESI+):



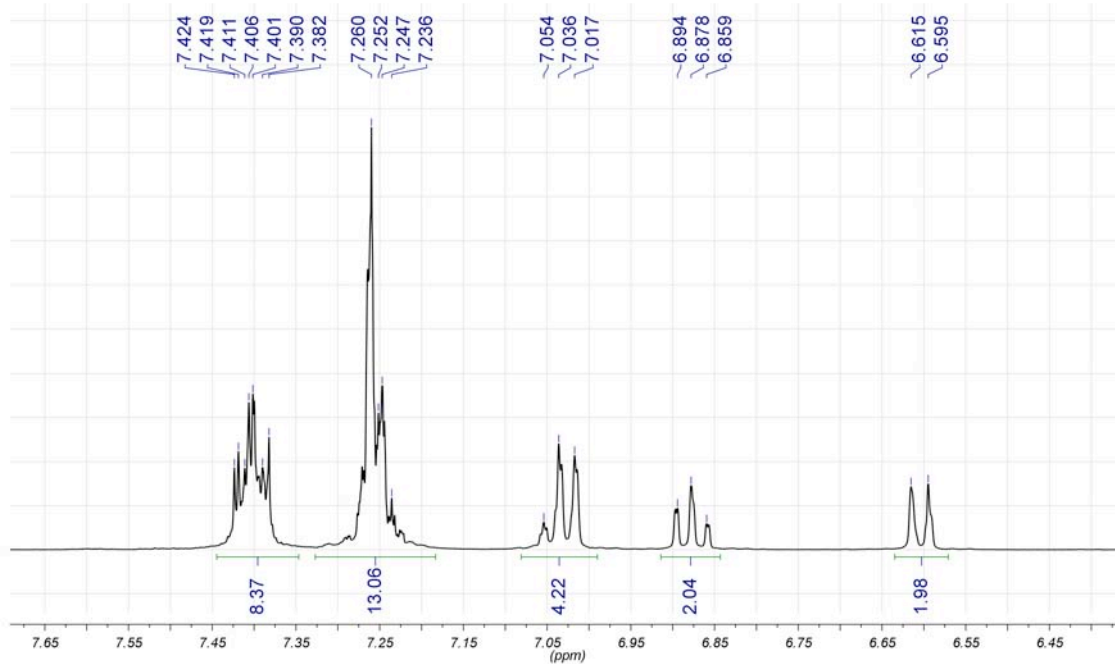
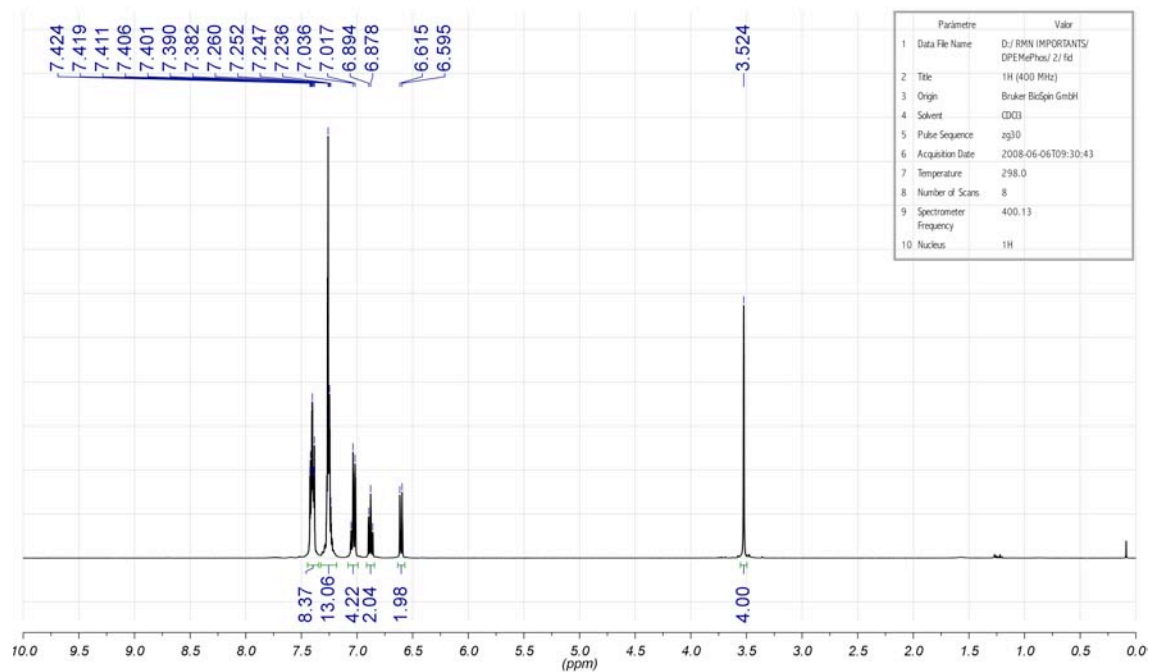
Analysis Info

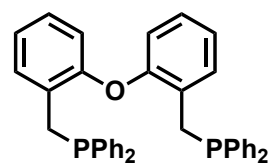
Analysis Name OV-DPE3(09EM119)_1-E,6_01_1908.d Acquisition Date 18/03/2009 17:45:13
 Method esipos100-600_fi_02-02-09.m Operator SAQ
 Sample Name OV-DPE3(09EM119) Instrument micrOTOF-Q
 Comment AER. ESI+. Dó ca 10 ppm en Acetona:MeOH (1:1). // O. VALLCORBA



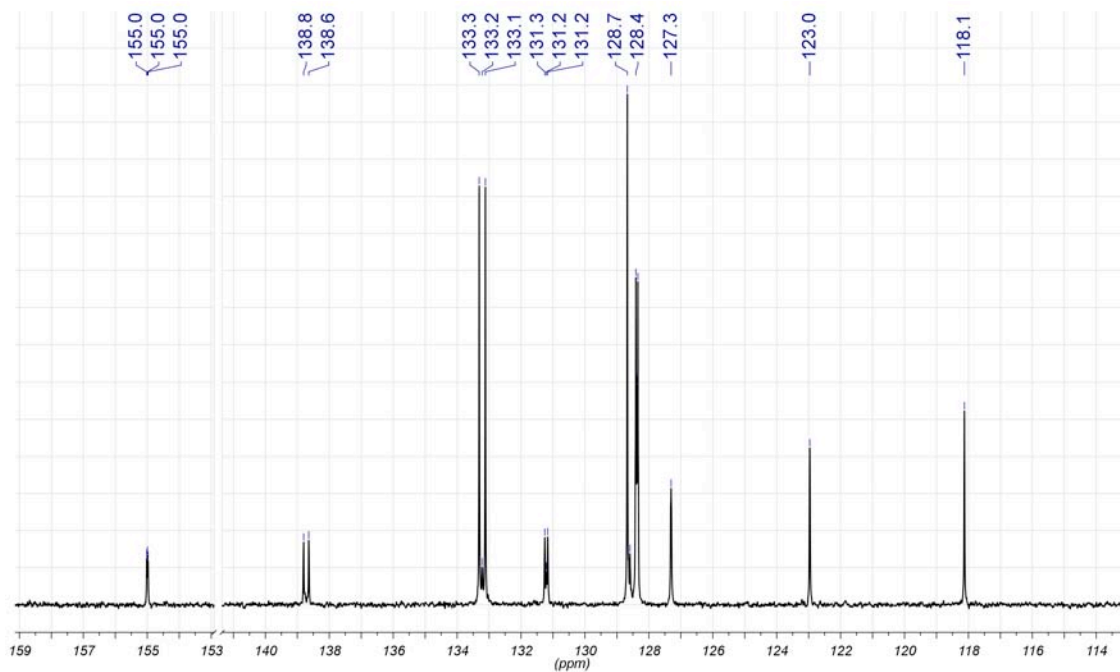
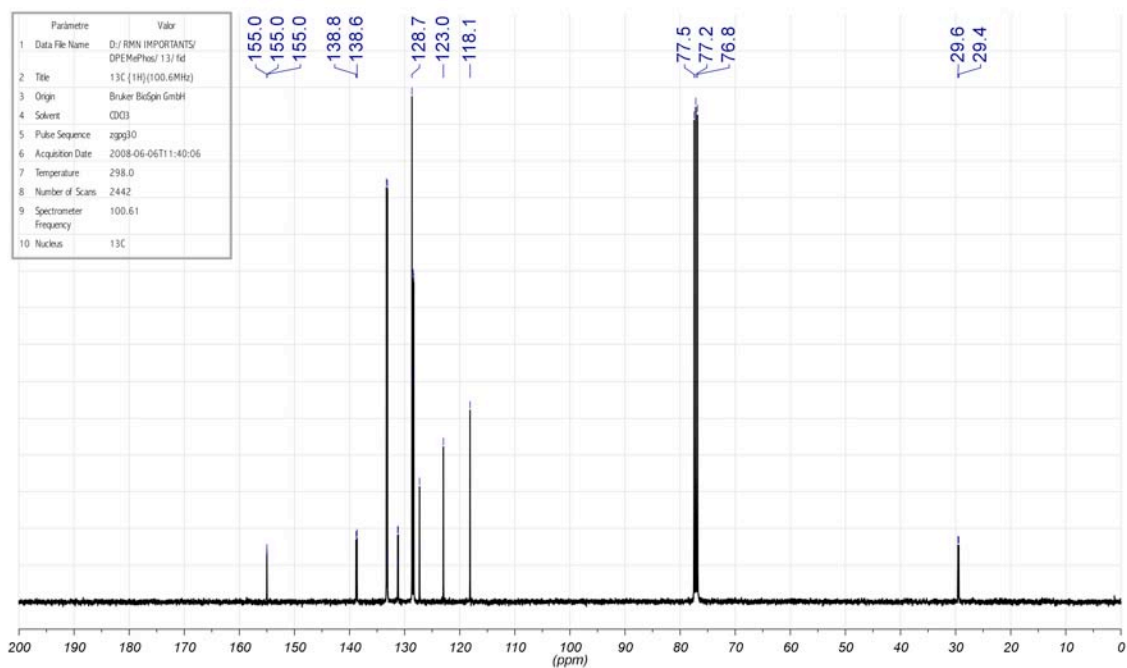
(2-[2-{1,1-difenilfosfinometil}fenoxy]benzil)difenilfosfina (DPEMephos, L33)

¹H RMN (400 MHz, rt, CDCl₃):

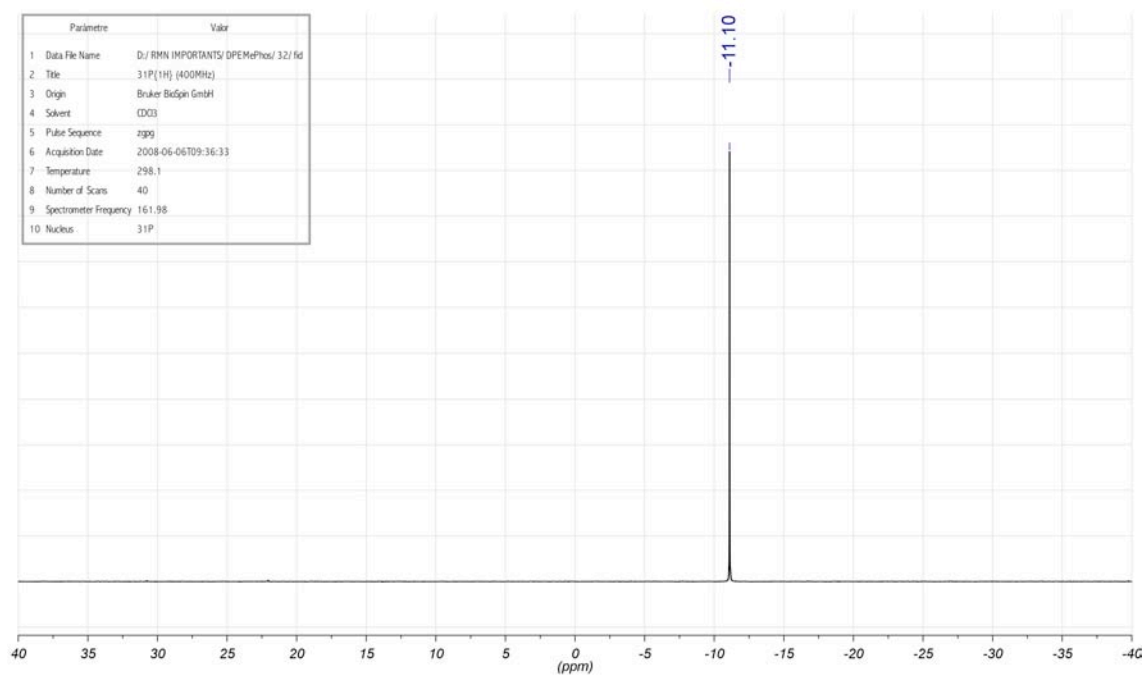
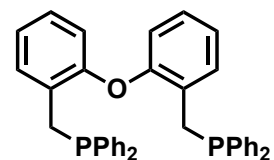




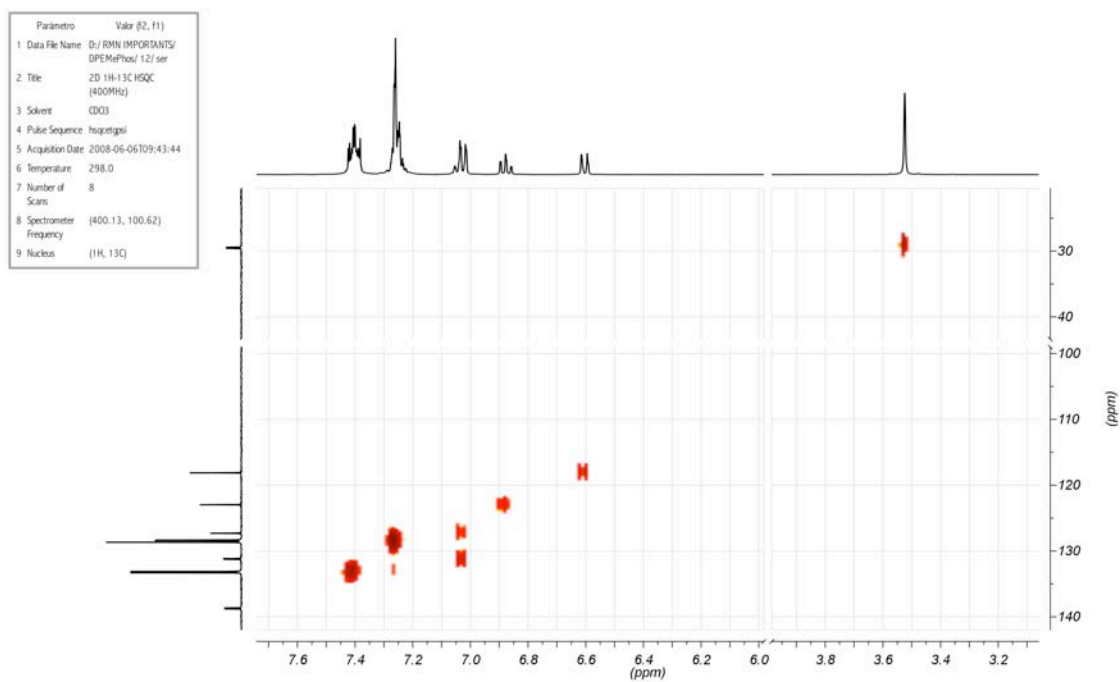
$^{13}\text{C}\{^1\text{H}\}$ RMN (101 MHz, rt, CDCl_3):



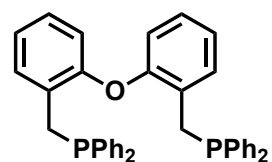
$^{31}\text{P}\{^1\text{H}\}$ RMN (162 MHz, rt, CDCl_3):



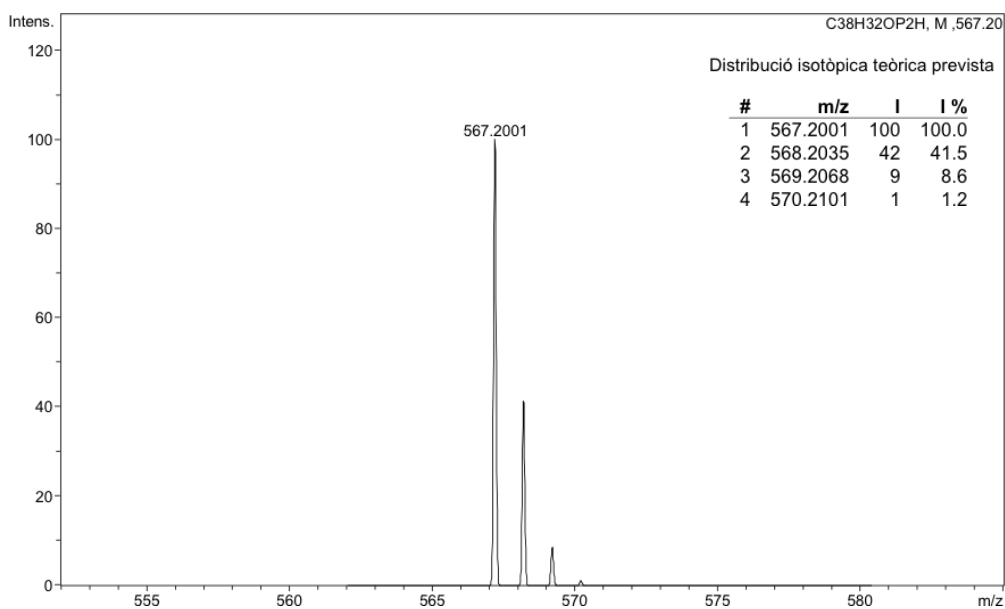
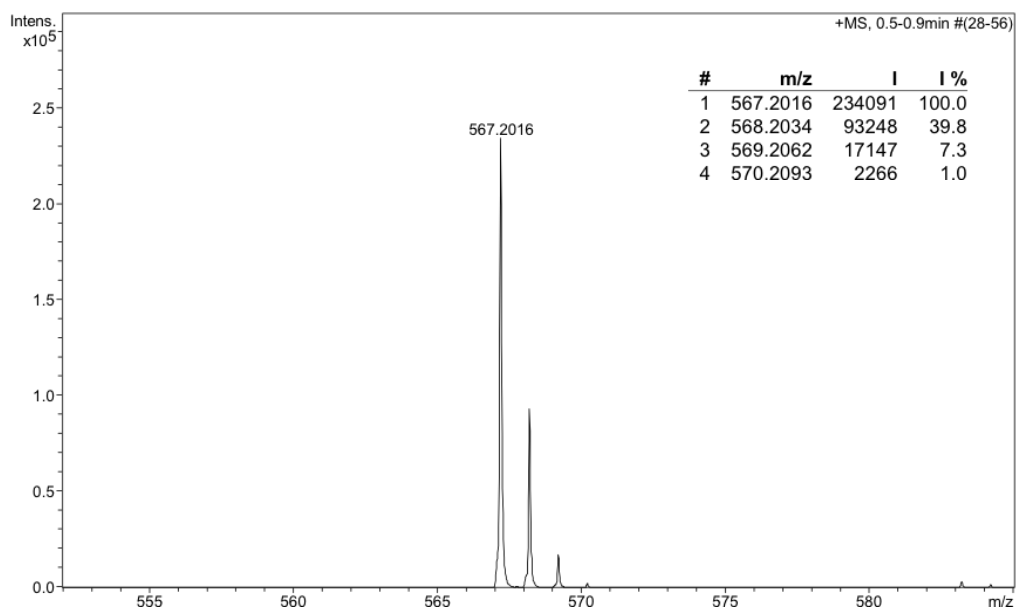
Espectre de correlació ^1H - ^{13}C (HSQC):



HRMS (ESI+):

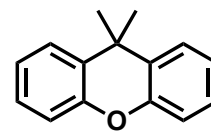
**Analysis Info**

Analysis Name	ds6 (8EM-144)_1-B.8_01_132.d	Acquisition Date	09/05/2008 12:36:52
Method	ESIpos100-600_FI-HS_MeOH_29-4-08.m	Operator	SAQ
Sample Name	ds6 (8EM-144)	Instrument	micrOTOF-Q
Comment	ESI+. AER. Dó ca 2ppm en MeOH. // O. VALLCORBA		

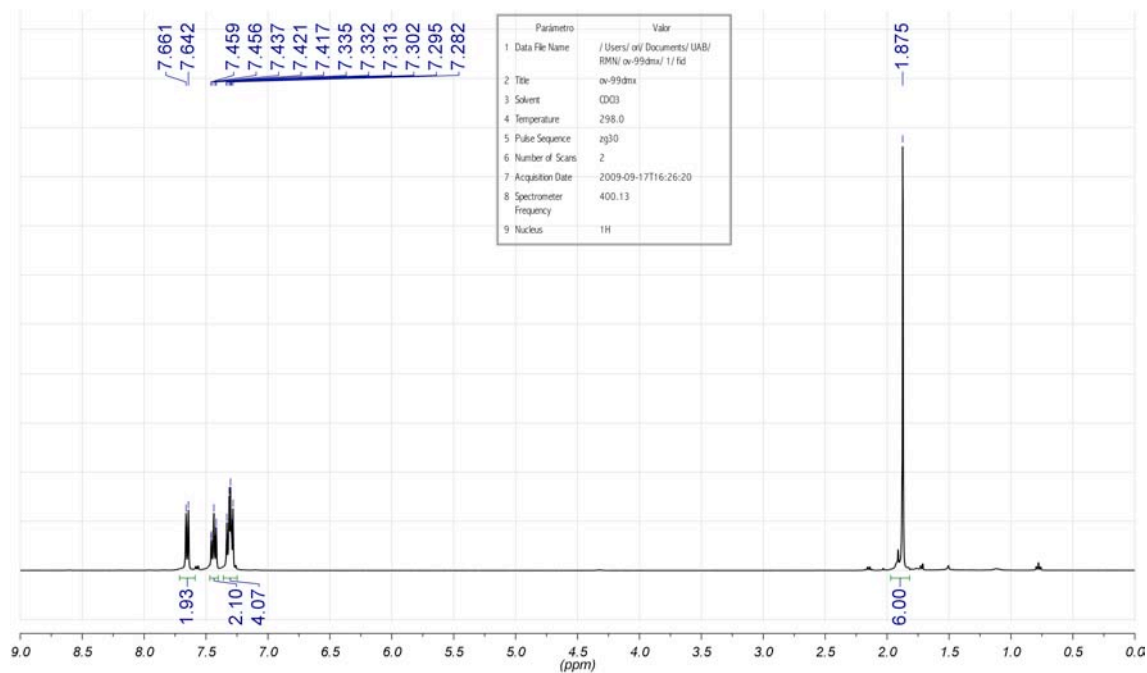


8.2 Síntesi de la XantMephos (L34)

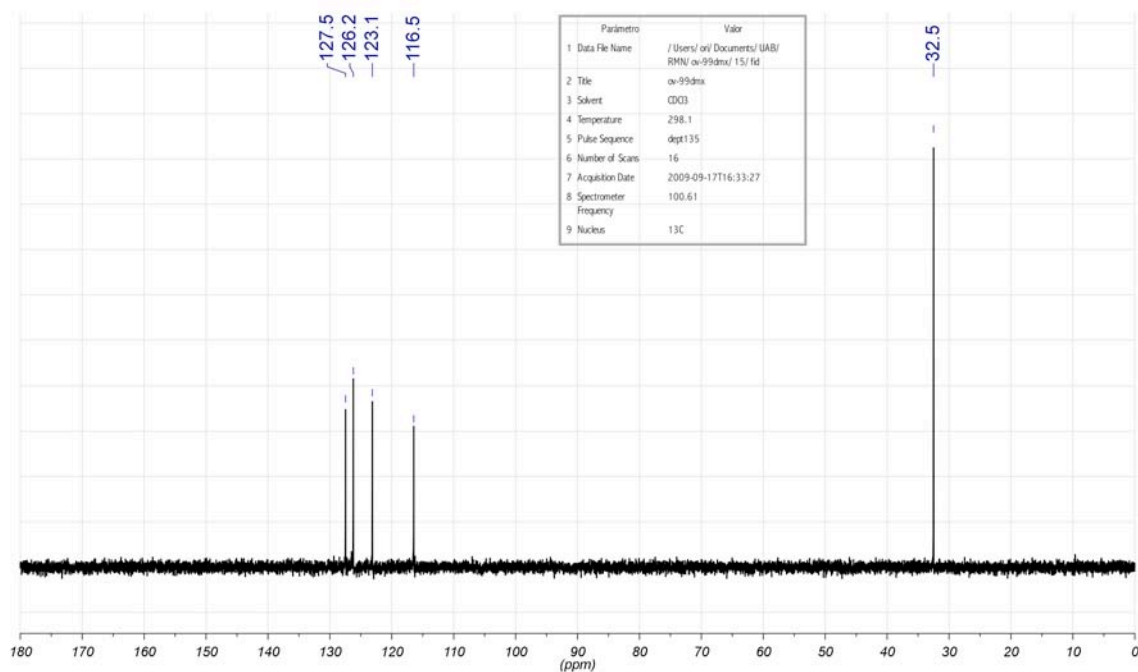
9,9-dimetil-9H-xantè (I13)

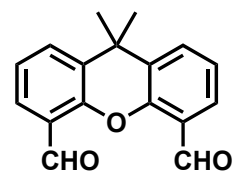
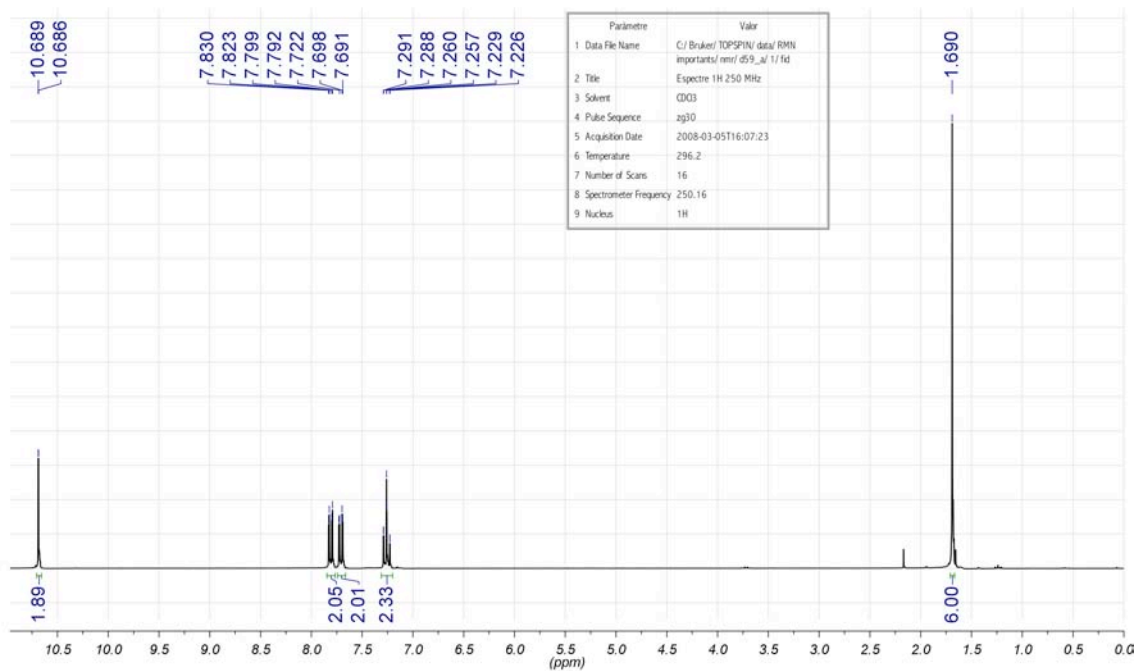
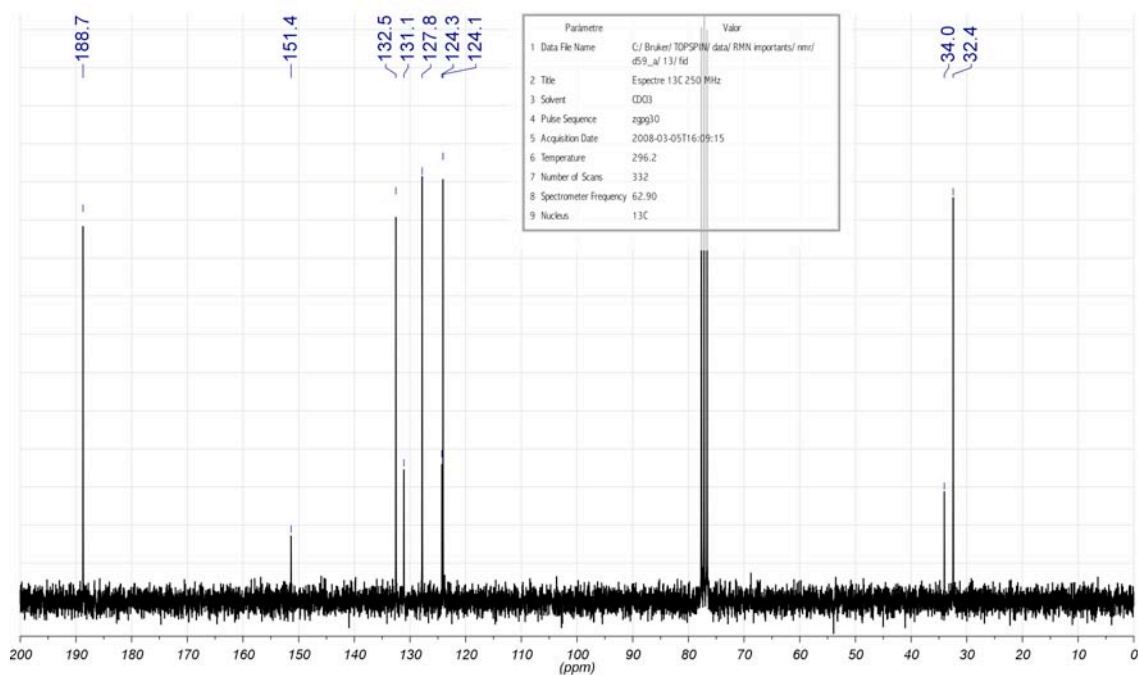


^1H RMN (400 MHz, rt, CDCl_3):

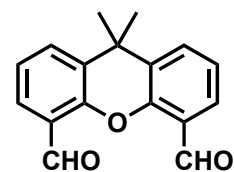


$^{13}\text{C}\{^1\text{H}\}$ RMN (101 MHz, rt, CDCl_3):

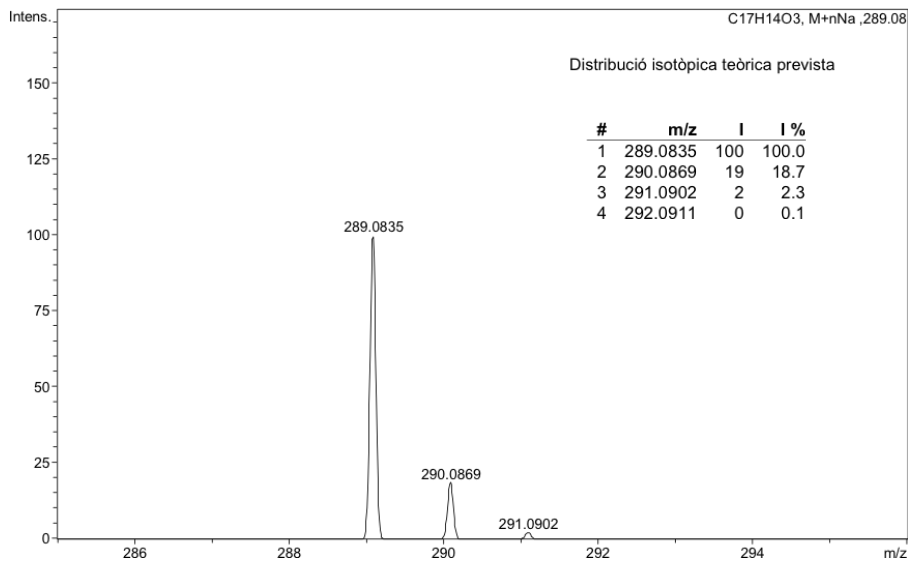
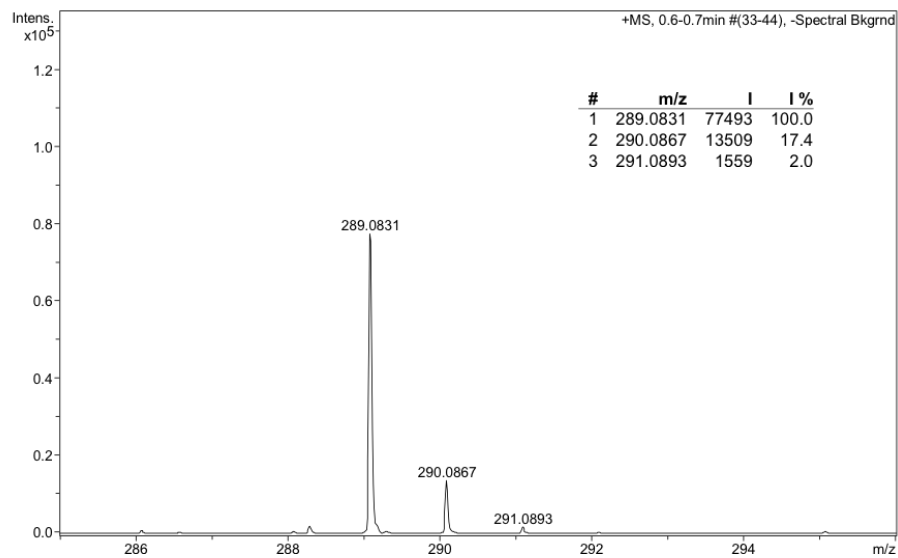


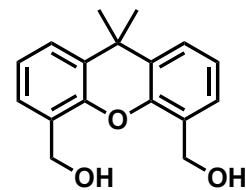
9,9-dimetil-9H-xantè-4,5-dicarbaldehid (I14)

 ^1H RMN (250 MHz, rt, CDCl_3):

 $^{13}\text{C}\{^1\text{H}\}$ RMN (63 MHz, rt, CDCl_3):


HRMS (ESI+):

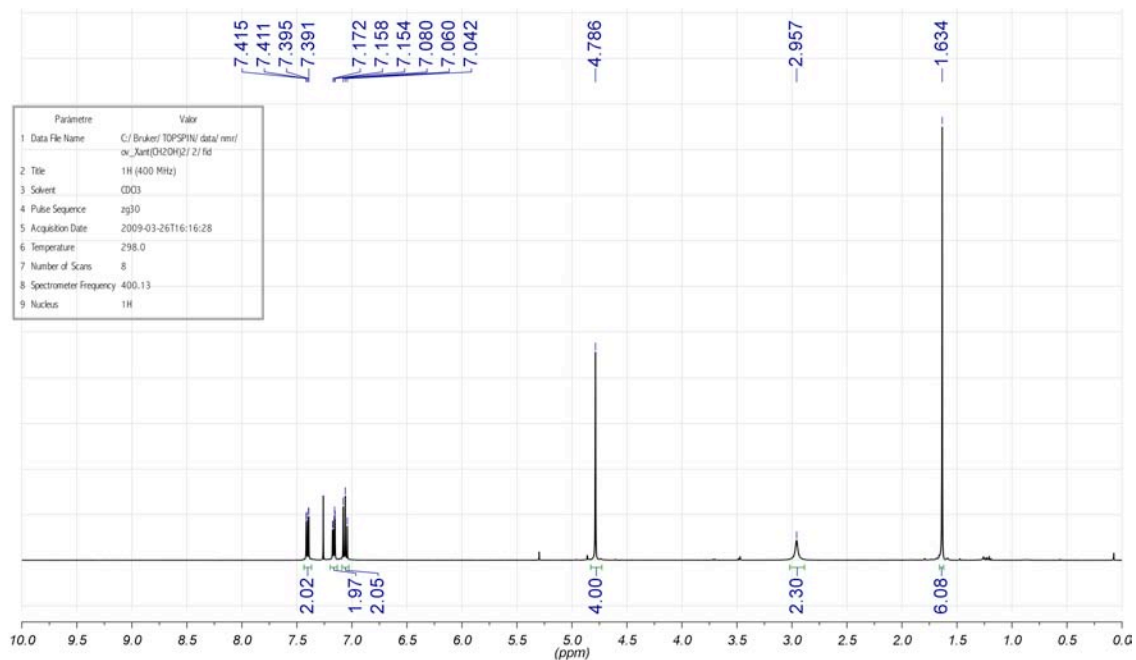
**Analysis Info**

Analysis Name OV-XANT1(09EM116)_1-C,4_01_1888.d Acquisition Date 18/03/2009 12:12:02
 Method esipos100-600_fi_02-02-09.m Operator SAQ
 Sample Name OV-XANT1(09EM116) Instrument micrOTOF-Q
 Comment AER. ESI+. Dó ca 2 ppm en MeOH // O. VALLCORBA

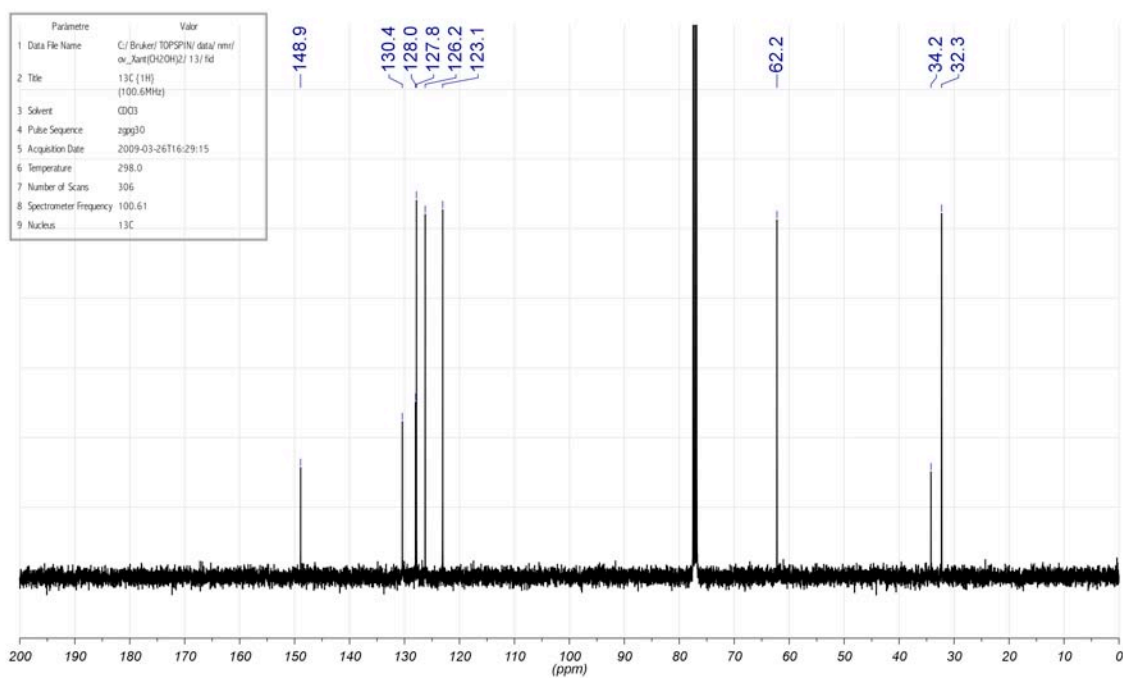


[5-(hidroximetil)-9,9-dimetil-9H-4-xantenil]metanol (I15)

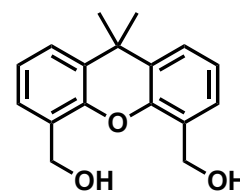
^1H RMN (400 MHz, rt, CDCl_3):



$^{13}\text{C}\{^1\text{H}\}$ RMN (101 MHz, rt, CDCl_3):

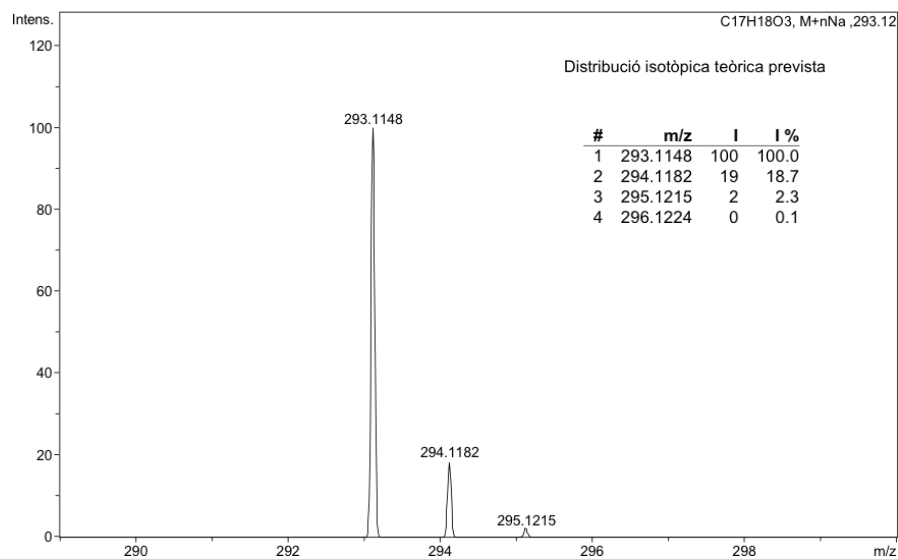
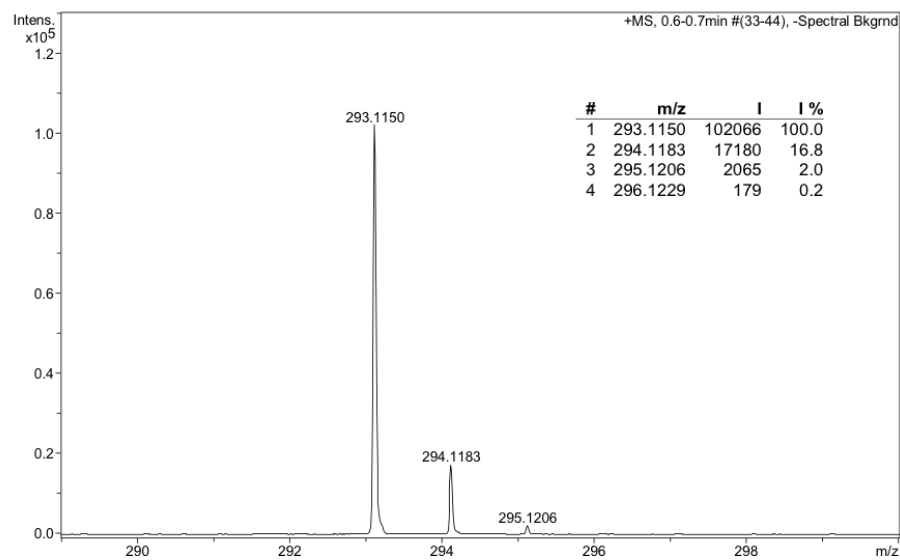


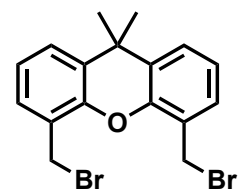
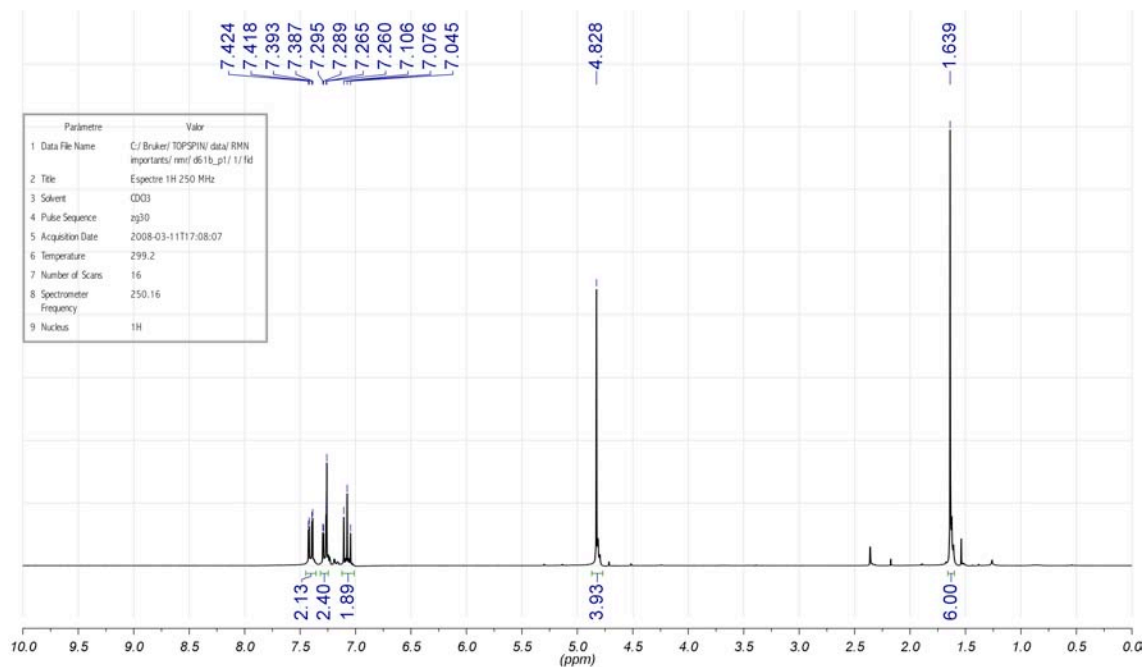
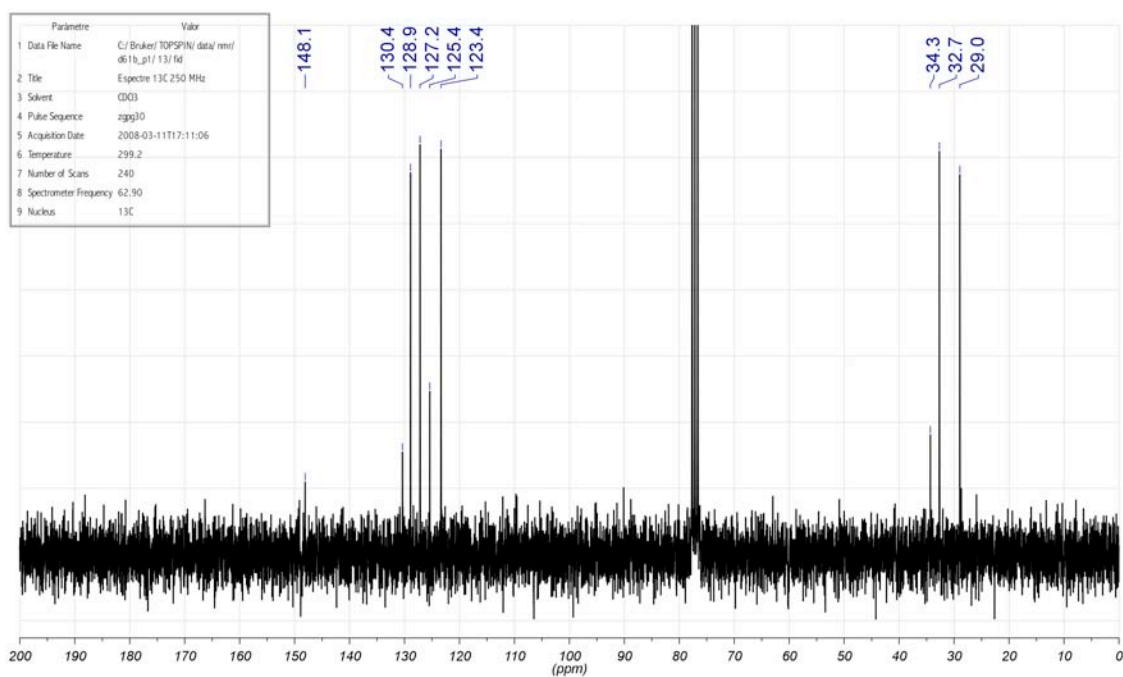
HRMS (ESI+):



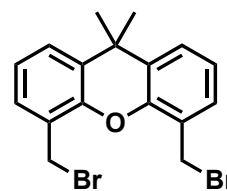
Analysis Info

Analysis Name OV-XANT2(09EM114)_1-B,8_01_1883.d Acquisition Date 18/03/2009 11:38:22
 Method esipos100-600_fi_02-02-09.m Operator SAQ
 Sample Name OV-XANT2(09EM114) Instrument micrOTOF-Q
 Comment AER. ESI+. Dó ca 2 ppm en MeOH // O. VALLCORBA



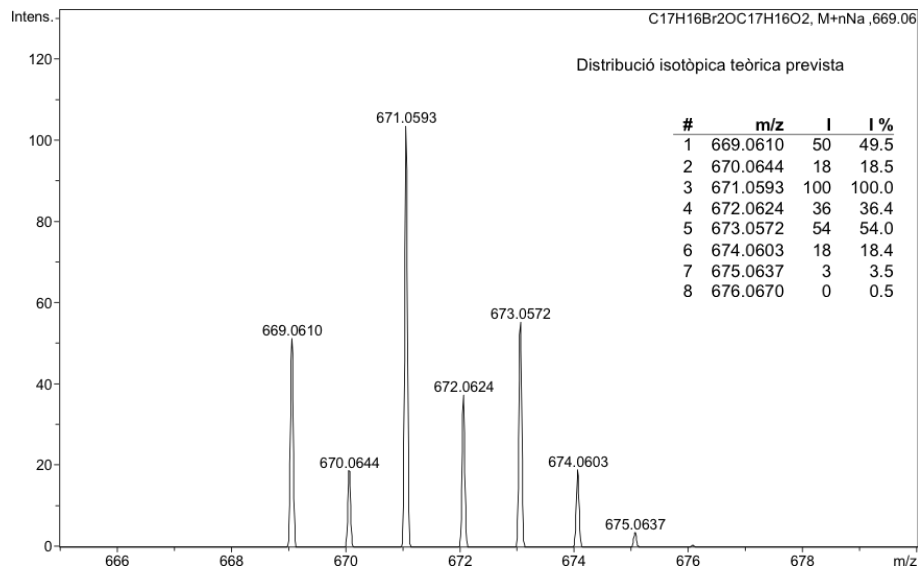
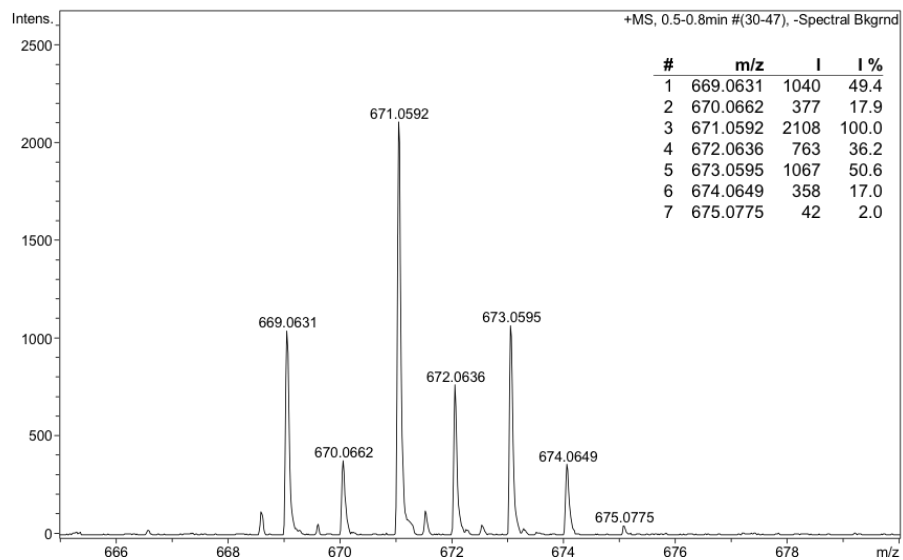
4,5-di(bromometil)-9,9-dimetil-9H-xantène (I16) ^1H RMN (250 MHz, rt, CDCl_3): $^{13}\text{C}\{^1\text{H}\}$ RMN (63 MHz, rt, CDCl_3):

HRMS (ESI+):

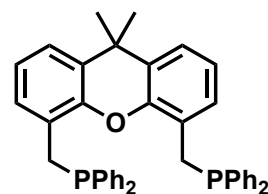


Analysis Info

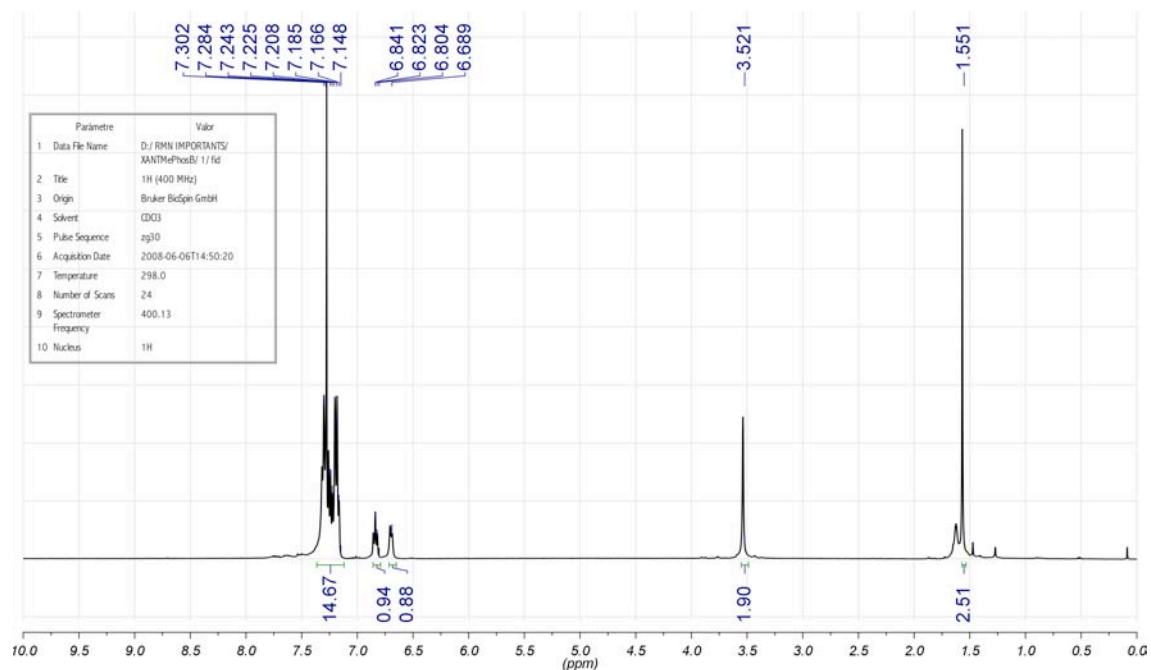
Analysis Name OV-XANT3(09EM115)_1-E,5_01_1907.d Acquisition Date 18/03/2009 17:38:29
 Method esipos100-600_fi_02-02-09.m Operator SAQ
 Sample Name OV-XANT3(09EM115) Instrument micrOTOF-Q
 Comment AER. ESI+. Dó ca 10 ppm en Acetona:MeOH (1:1)// O. VALLCORBA



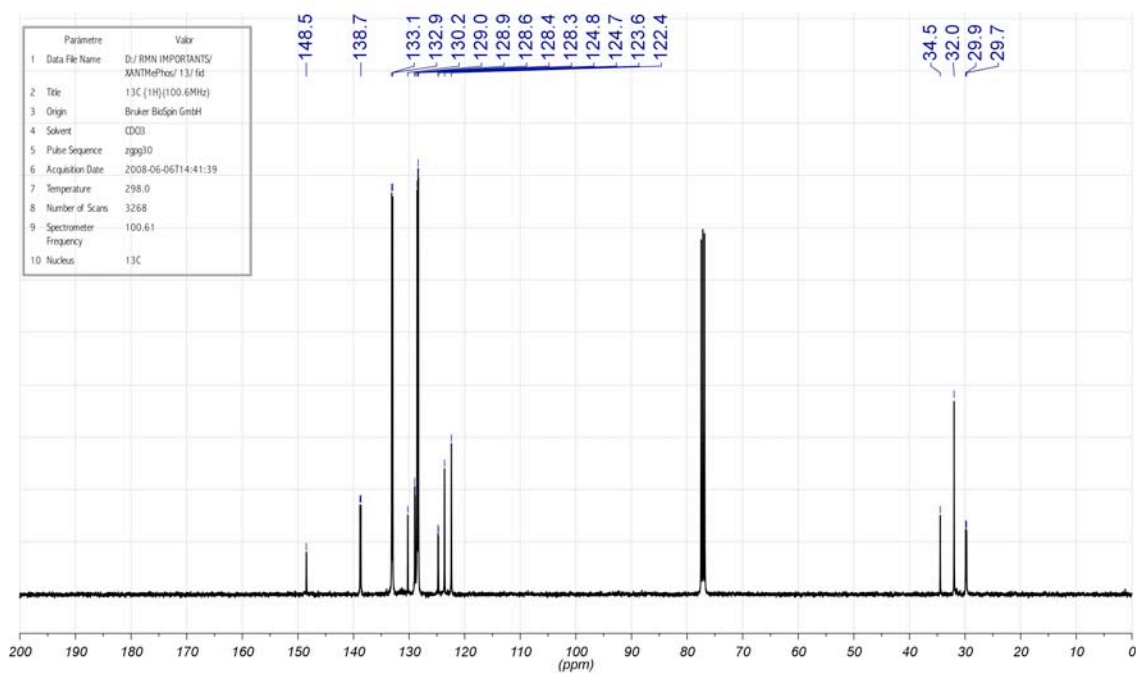
**([5-{1,1-difenilfosfinometil}-9,9-dimetil-9H-4-xantenil]metil)difenilfosfina
(XantMephos, L34)**

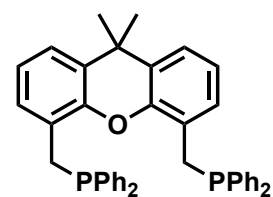
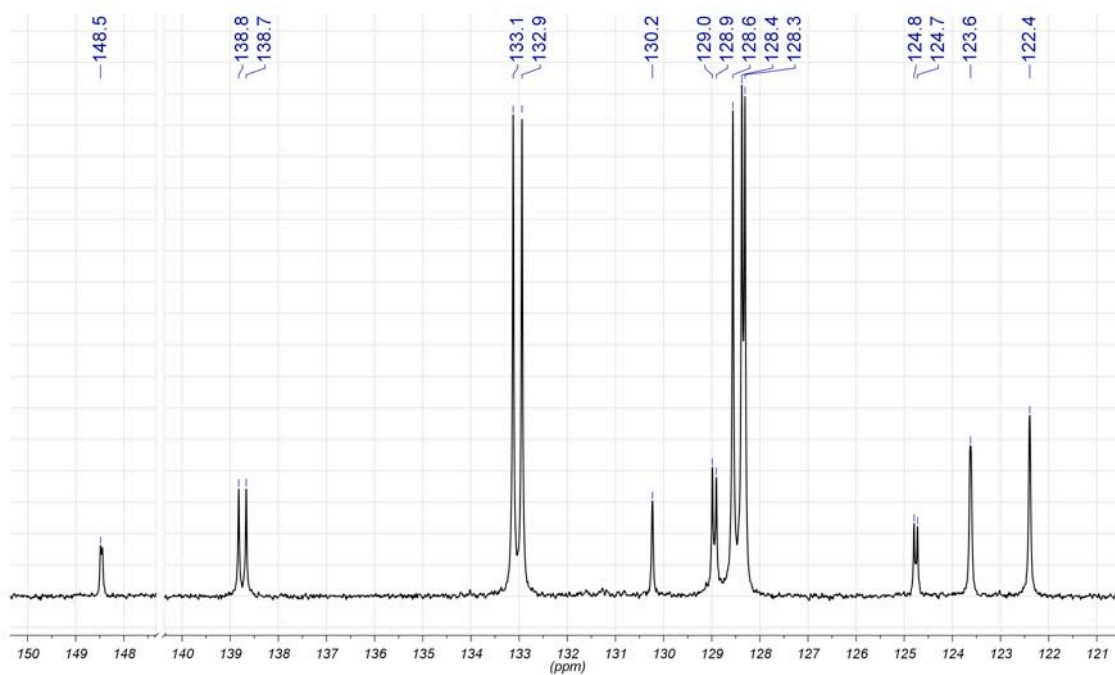


^1H RMN (400 MHz, rt, CDCl_3):

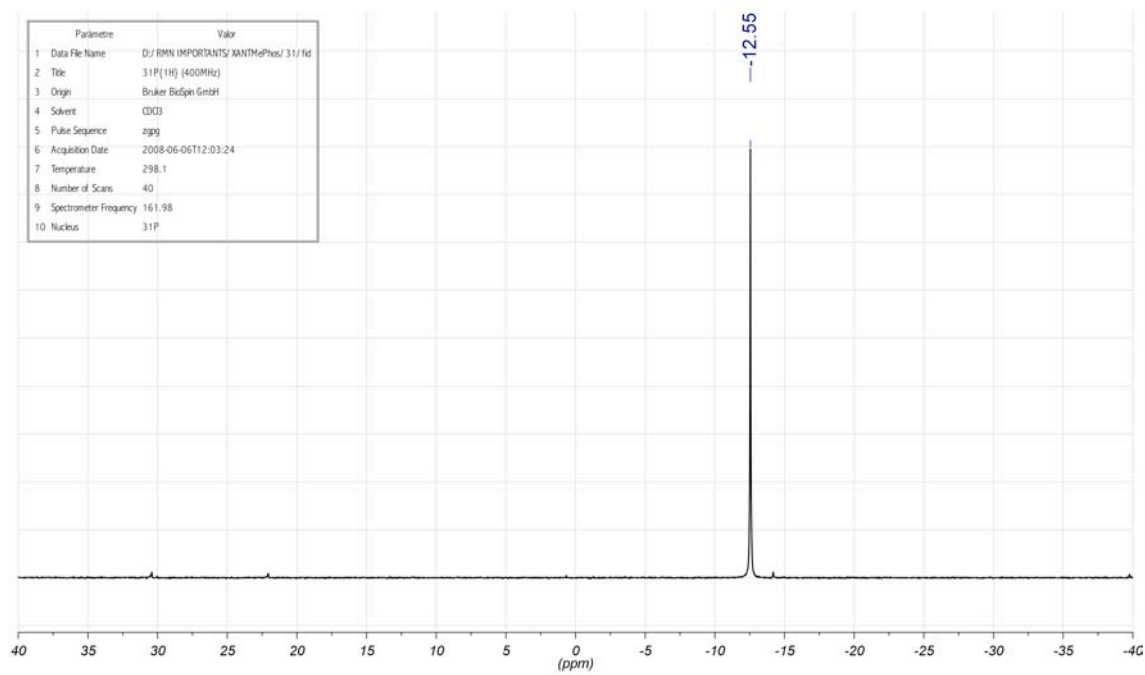


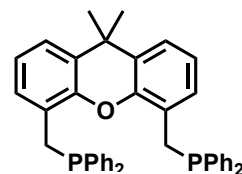
$^{13}\text{C}\{^1\text{H}\}$ RMN (101 MHz, rt, CDCl_3):



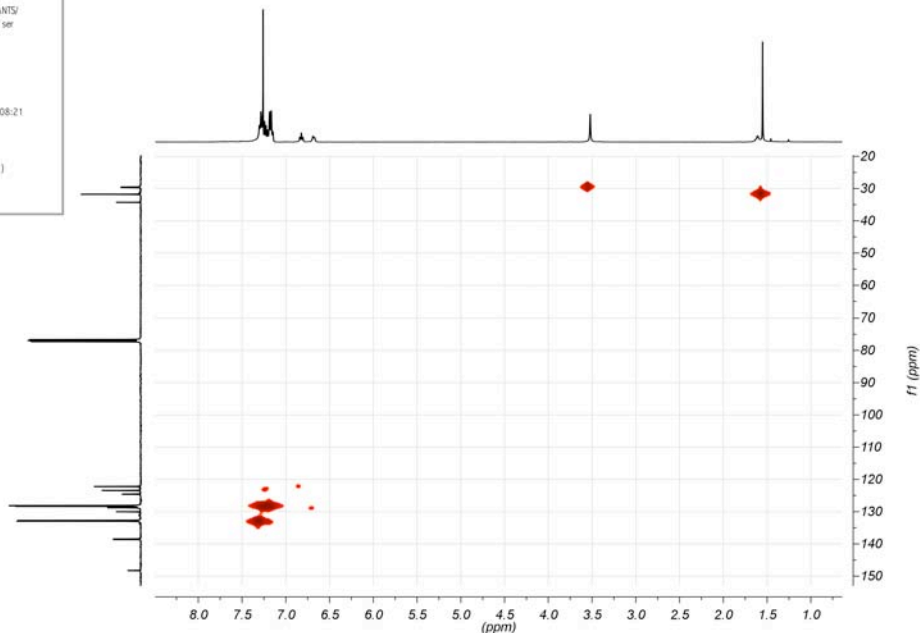


$^{31}\text{P}\{^1\text{H}\}$ RMN (162 MHz, rt, CDCl_3):

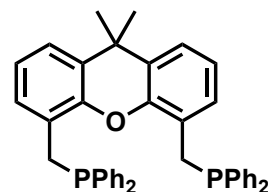


Espectre de correlació ^1H - ^{13}C (HMQC):

Paràmetre	Valor (2, 11)
1 Data File Name	D:/BMN/IMPORTANTIS/ XANTHofhos/12/ser
2 Title	HMQC (400 MHz)
3 Solvent	D003
4 Pulse Sequence	hmqc9gf
5 Acquisition Date	2008-06-06T12:08:21
6 Temperature	298,1
7 Number of Scans	8
8 Spectrometer Frequency	(400.13, 100.61)
9 Nucleus	(^1H , ^{13}C)

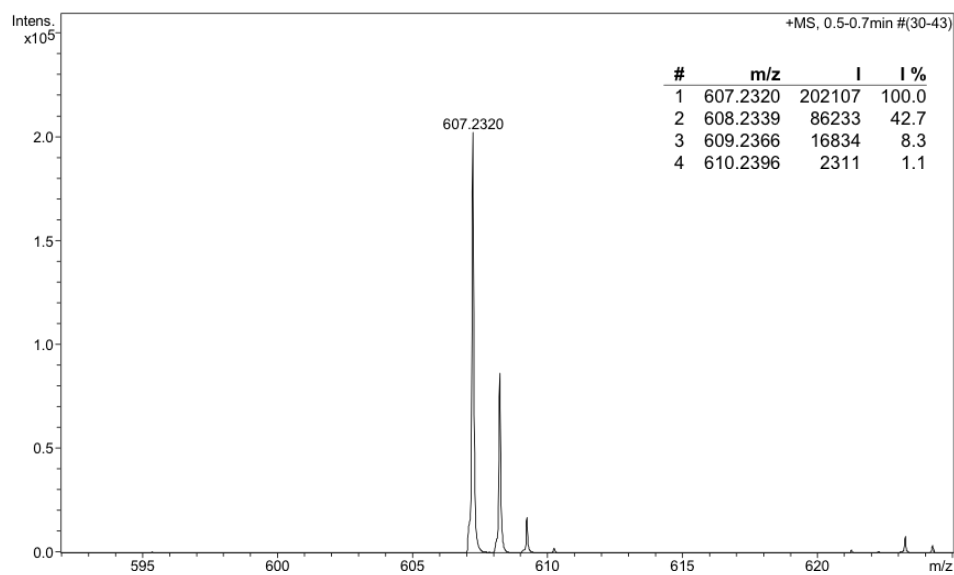


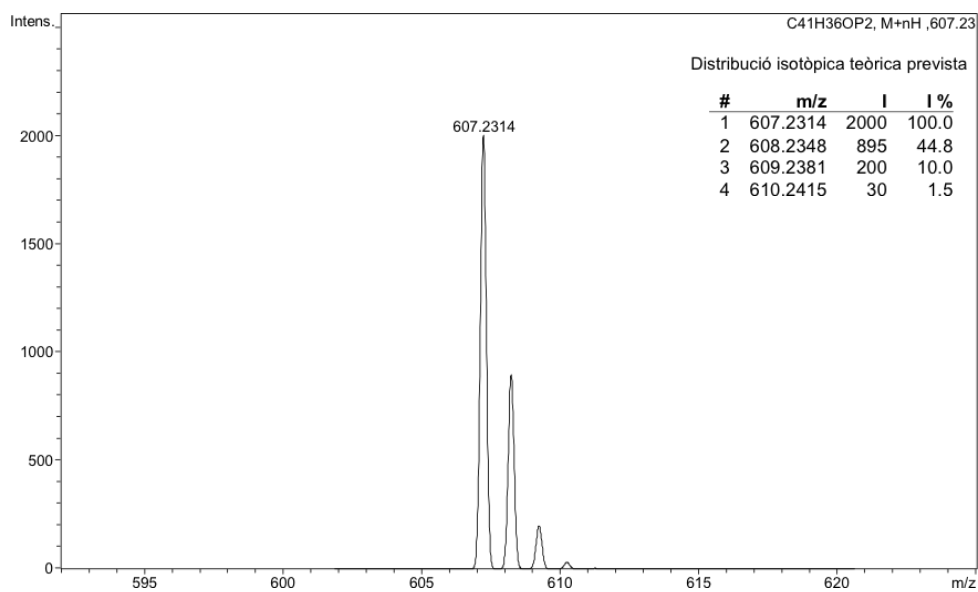
HRMS (ESI+):



Analysis Info

Analysis Name	d63 (8EM-145)_1-d,4_01_148.d	Acquisition Date	09/05/2008 16:08:10
Method	ESIpos100-600_FI-HS_MeOH_29-4-08.m	Operator	SAQ
Sample Name	d63 (8EM-145)	Instrument	micrOTOF-Q
Comment	ESI+. AER. Dó ca 2ppm en MeOH. // O. VALLCORBA		

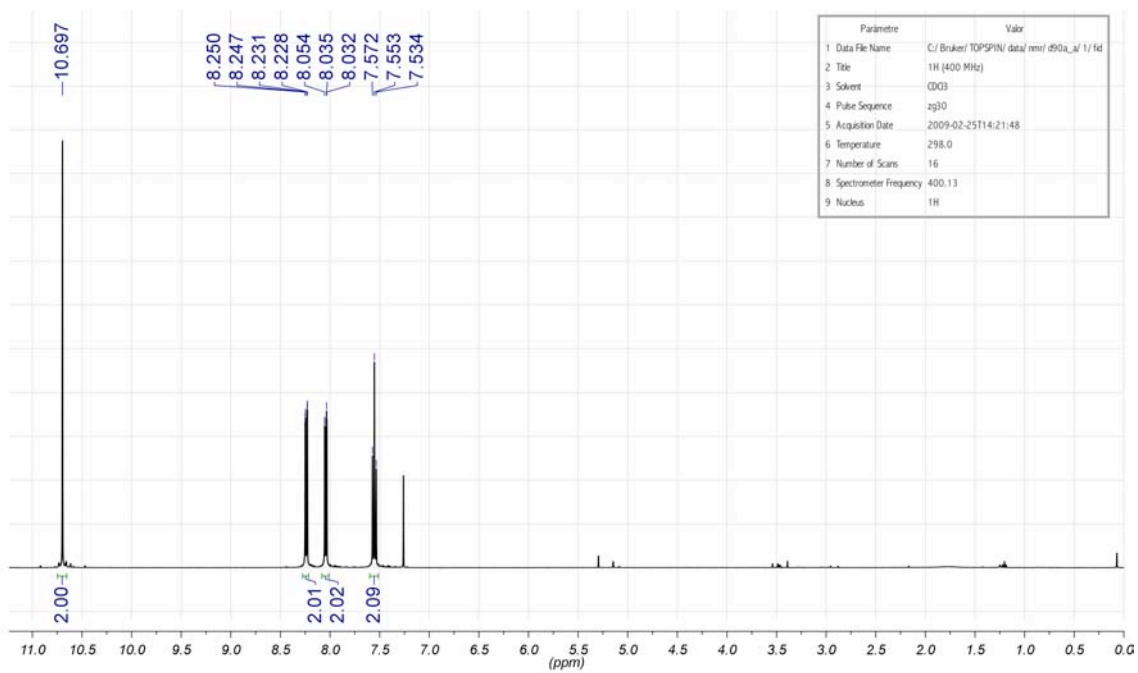
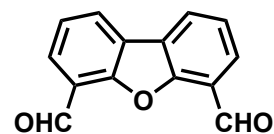


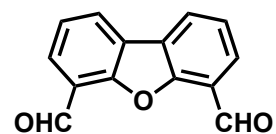


8.3 Síntesi de la DBFMephos (L35)

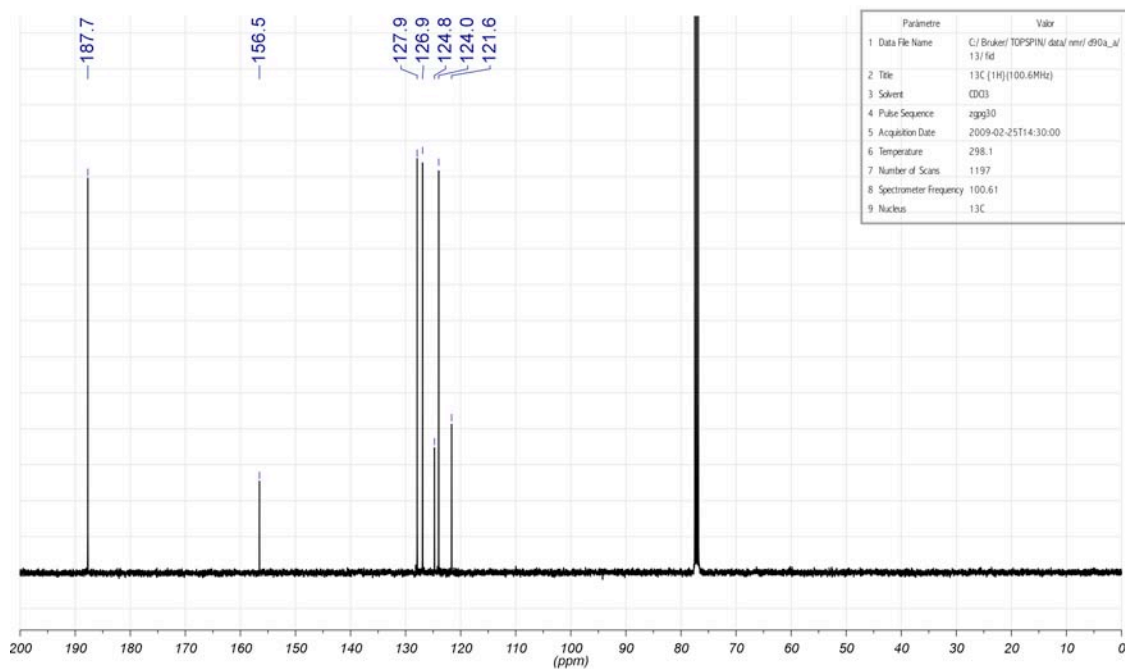
Dibenzo[b,d]furan-4,6-dicarbaldeid (I18)

^1H RMN (400 MHz, rt, CDCl_3):

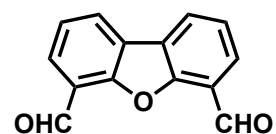




$^{13}\text{C}\{^1\text{H}\}$ RMN (101 MHz, rt, CDCl_3):

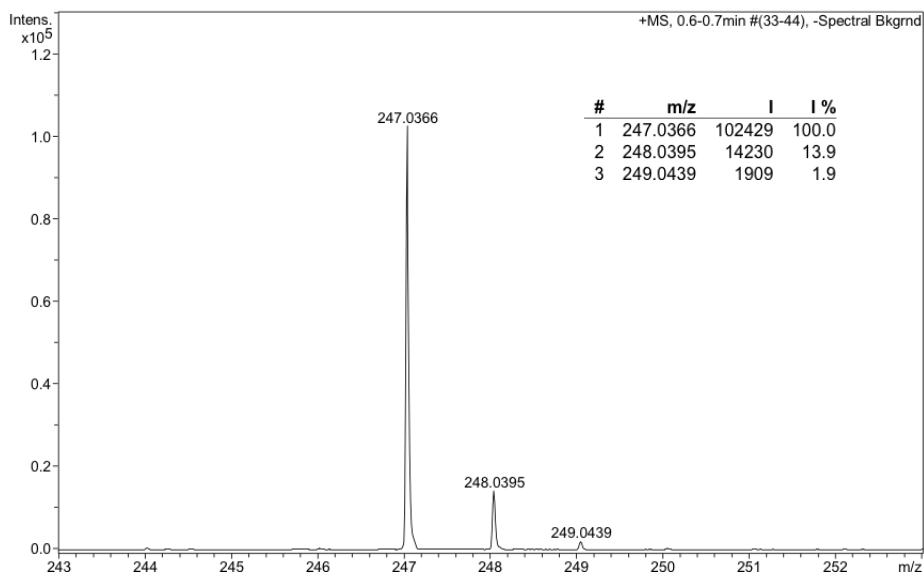


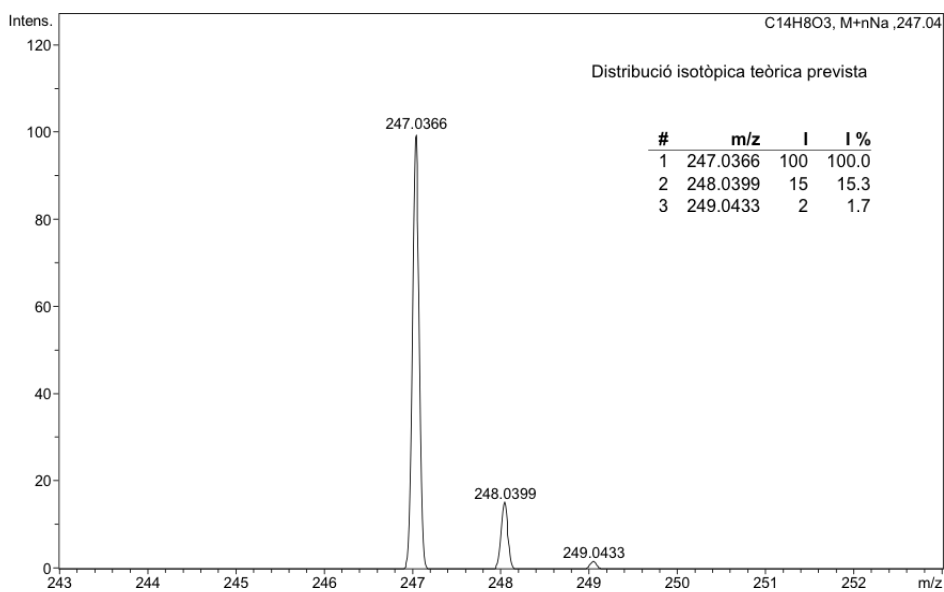
HRMS (ESI+):



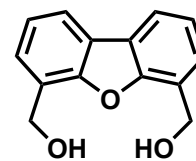
Analysis Info

Analysis Name	OV-DBF1(09EM120)_1-D,8_01_1901.d	Acquisition Date	18/03/2009 13:39:35
Method	esipos100-600_fi_02-02-09.m	Operator	SAQ
Sample Name	OV-DBF1(09EM120)	Instrument	micrOTOF-Q
Comment	AER. ESI+. Dó ca 2 ppm en MeOH // O. VALLCORBA		

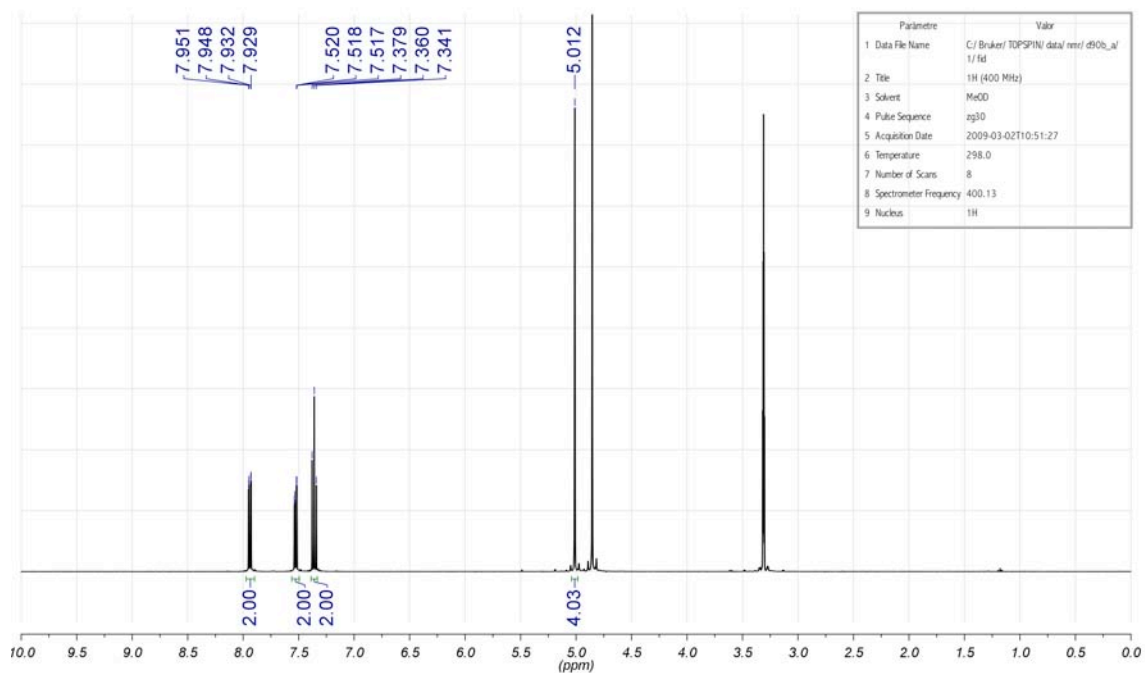


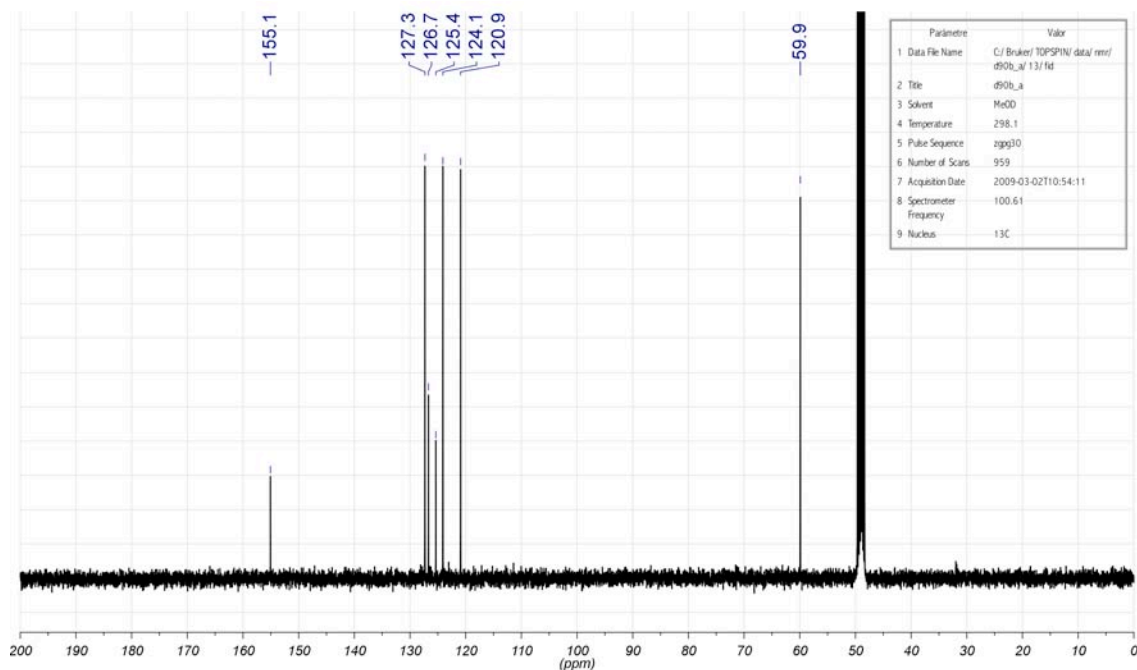
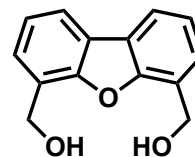


6-hidroximetildibenzo[b,d]furan-4-ilmetanol (I19)

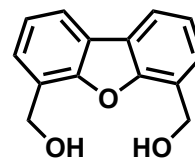


^1H RMN (400 MHz, rt, CH_3OD):

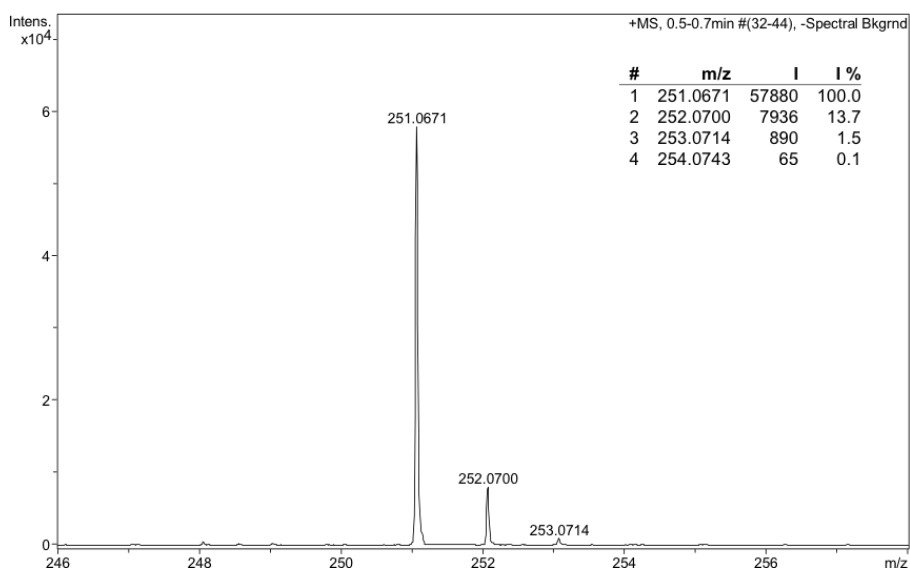


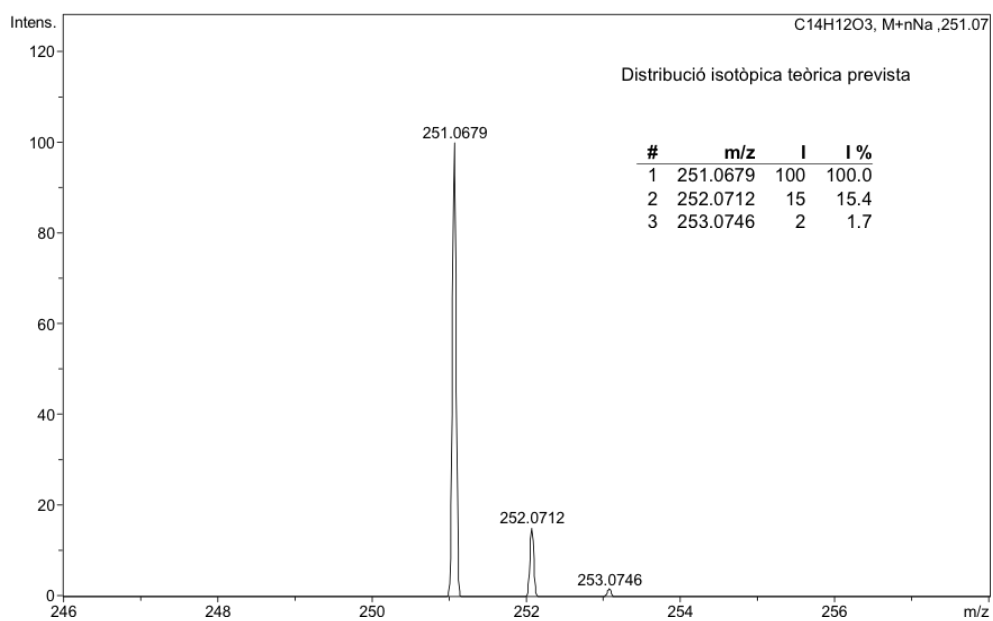
$^{13}\text{C}\{^1\text{H}\}$ RMN (101 MHz, rt, CH_3OD):

HRMS (ESI+):

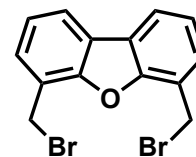
**Analysis Info**

Analysis Name	OV-DPF2(09EM121)_1-C.8_01_1892.d	Acquisition Date	18/03/2009 12:38:58
Method	esipos100-600_fi_02-02-09.m	Operator	SAQ
Sample Name	OV-DPF2(09EM121)	Instrument	micrOTOF-Q
Comment	AER. ESI+. Dó ca 2 ppm en MeOH // O. VALLCORBA		

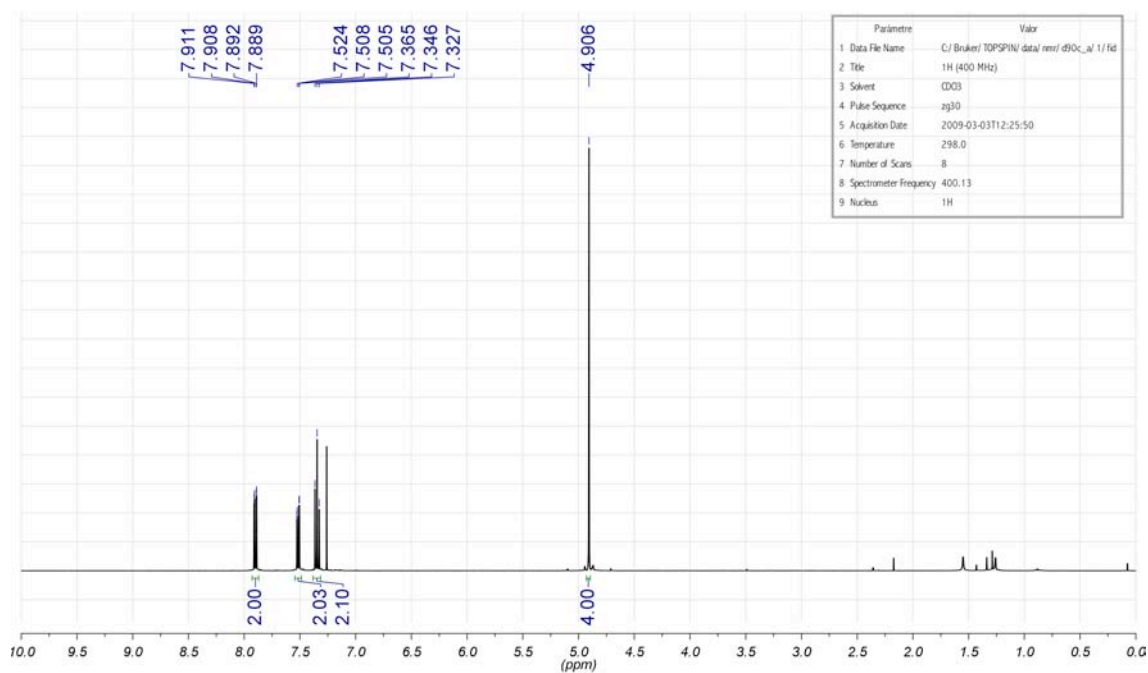


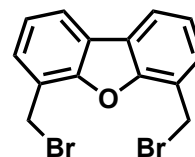


4,6-di(bromometil)dibenzo[b,d]furà (120)

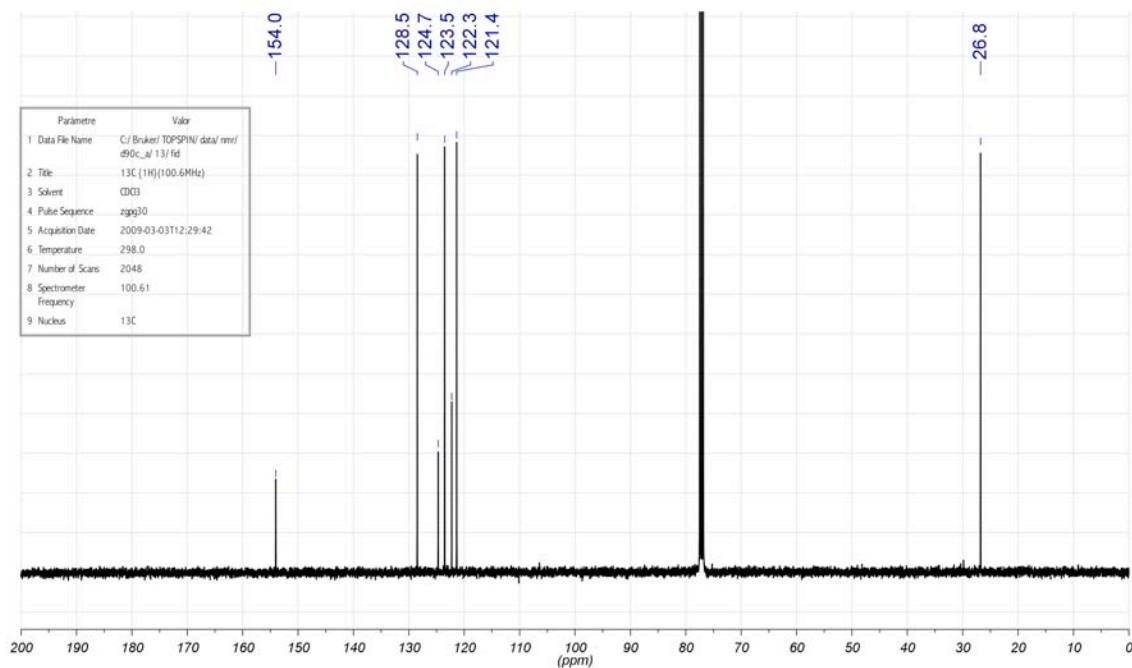


^1H RMN (400 MHz, rt, CDCl_3):

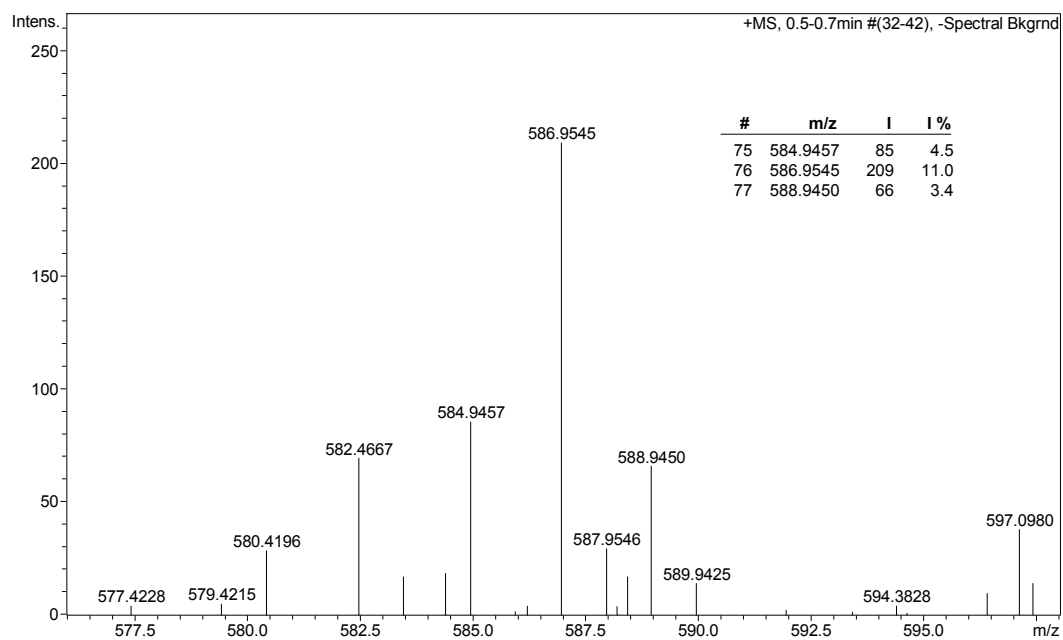
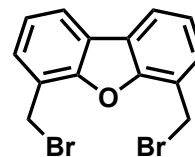


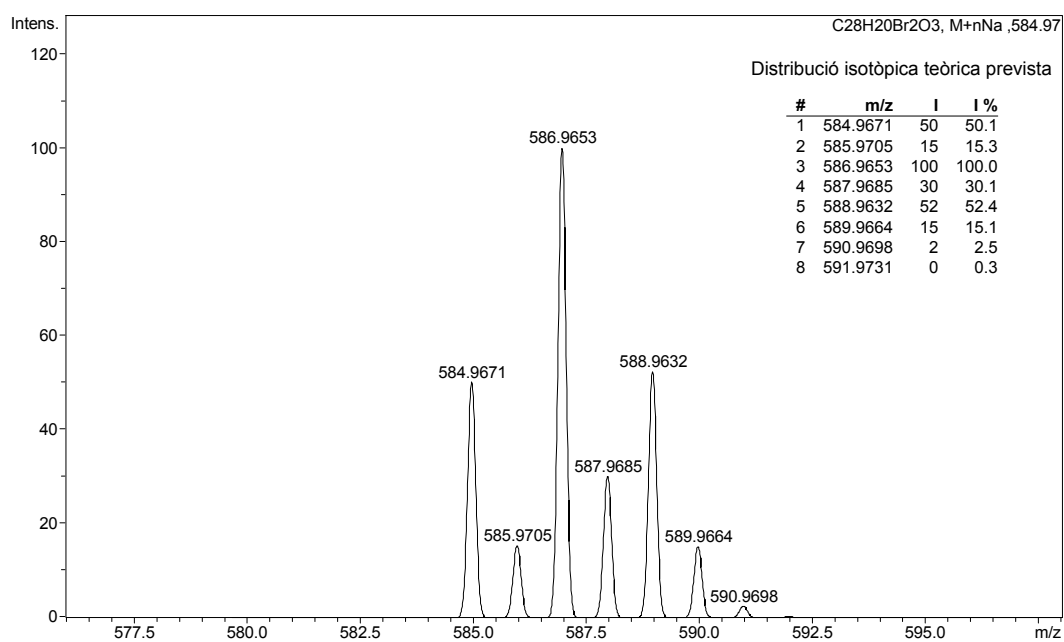


$^{13}\text{C}\{^1\text{H}\}$ RMN (101 MHz, rt, CDCl_3):

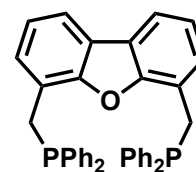


HRMS (ESI+):

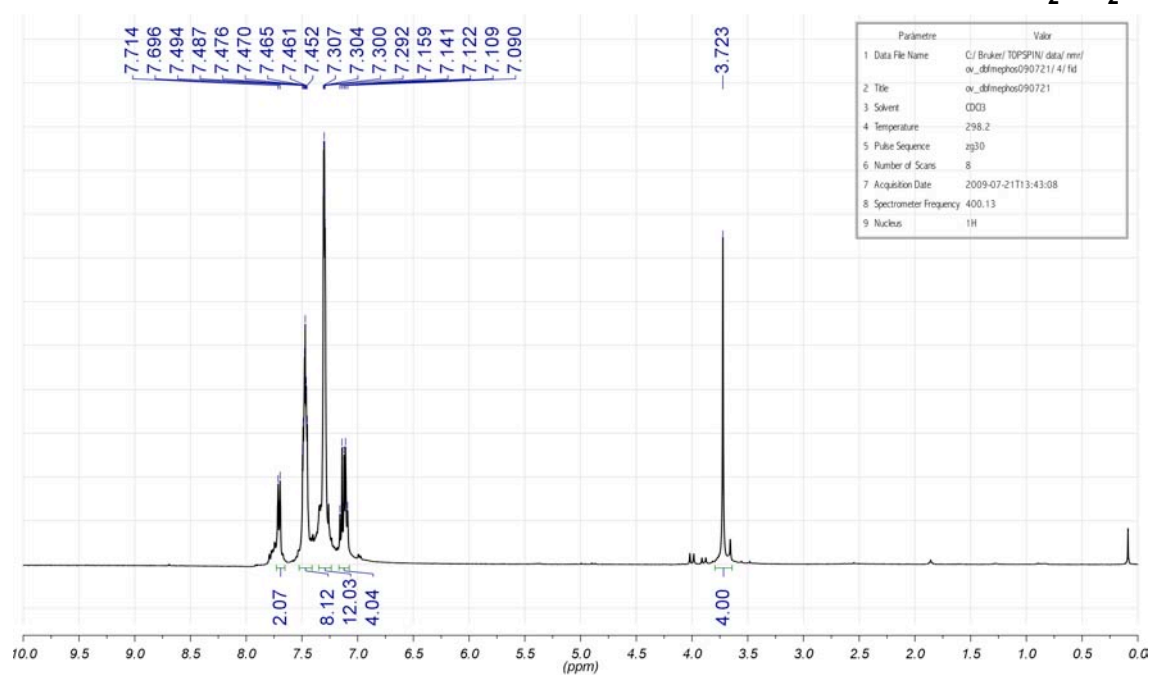


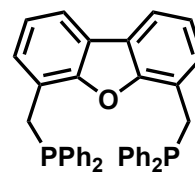


4,6-bis((diphenylphosphino)methyl)dibenzo[b,d]furan (DBFMephos, L35)

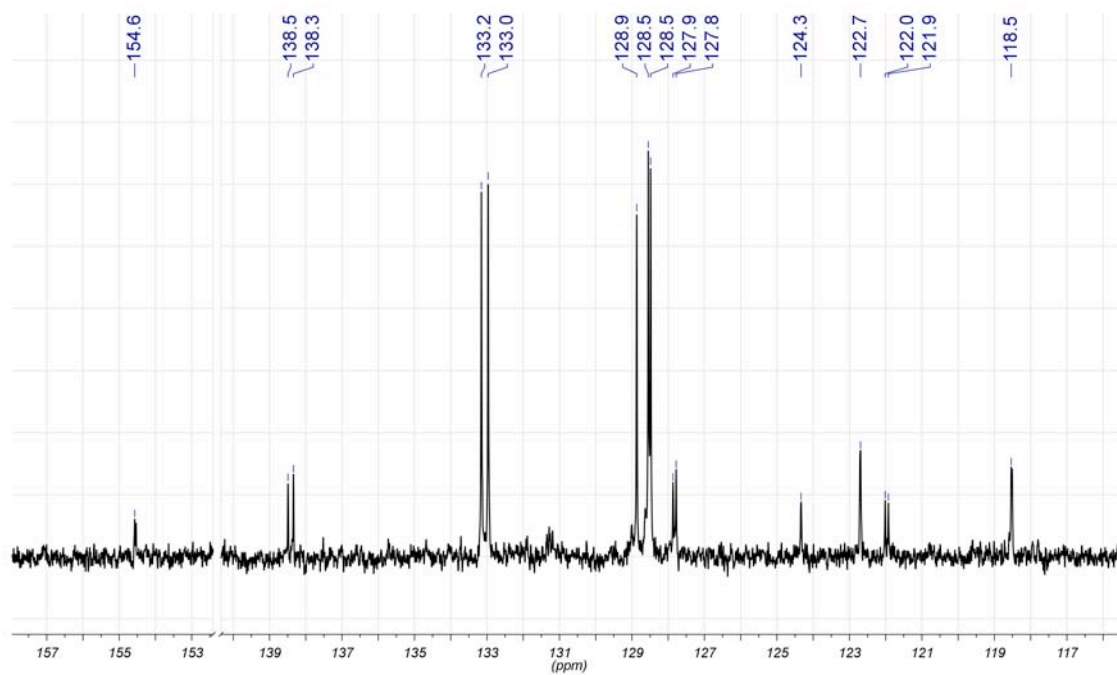
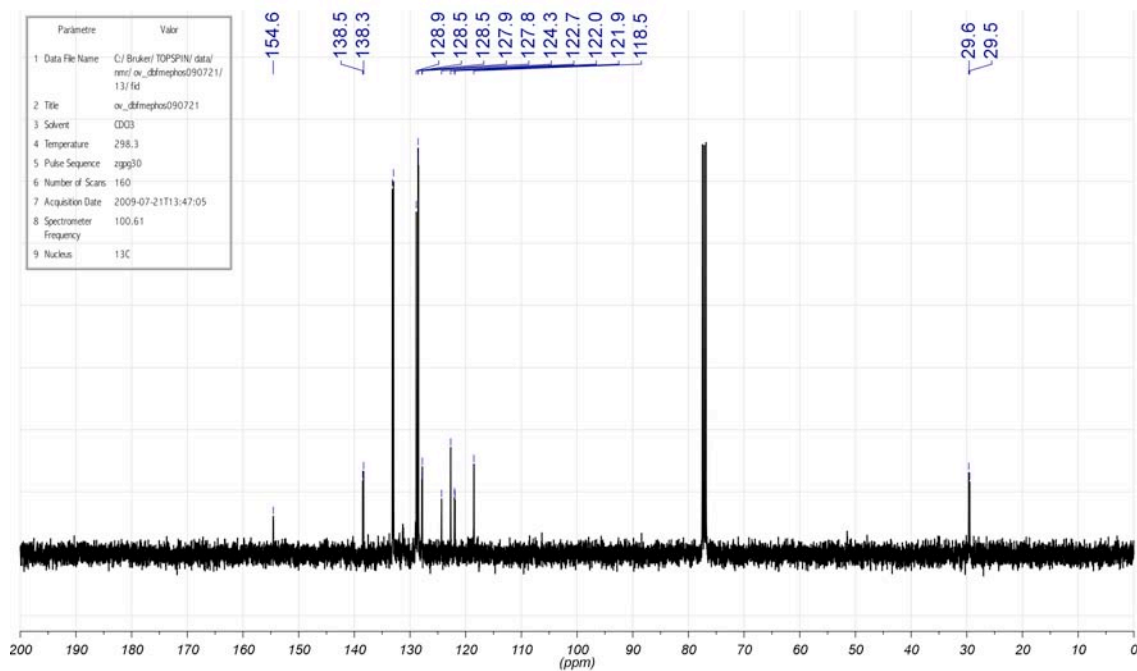


¹H RMN (400 MHz, rt, CDCl₃):

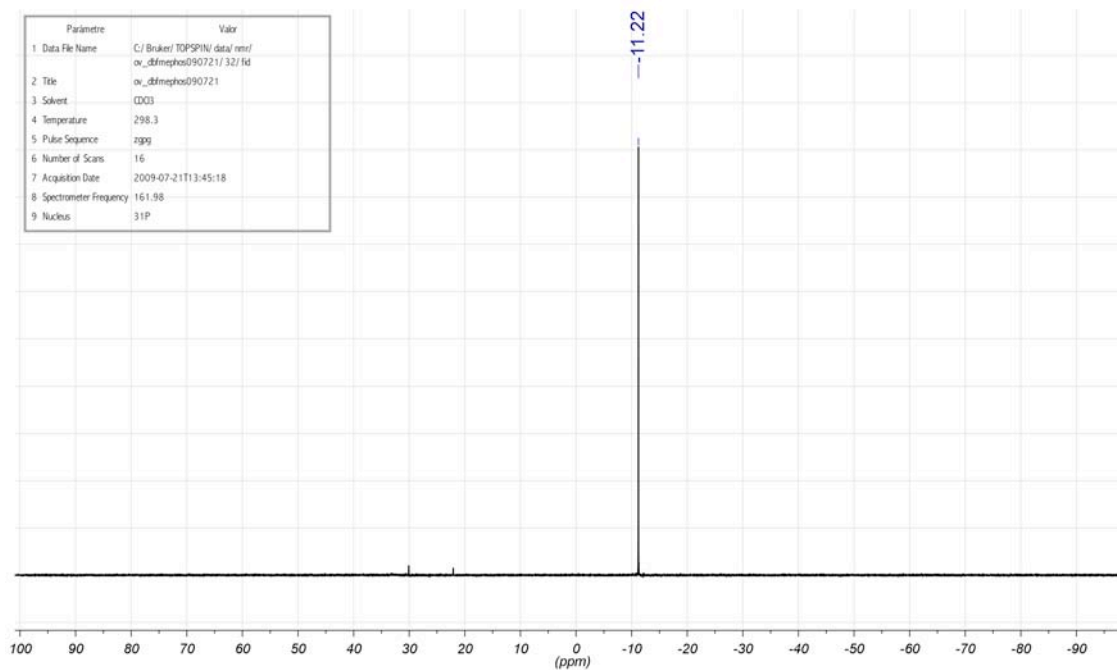
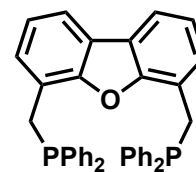




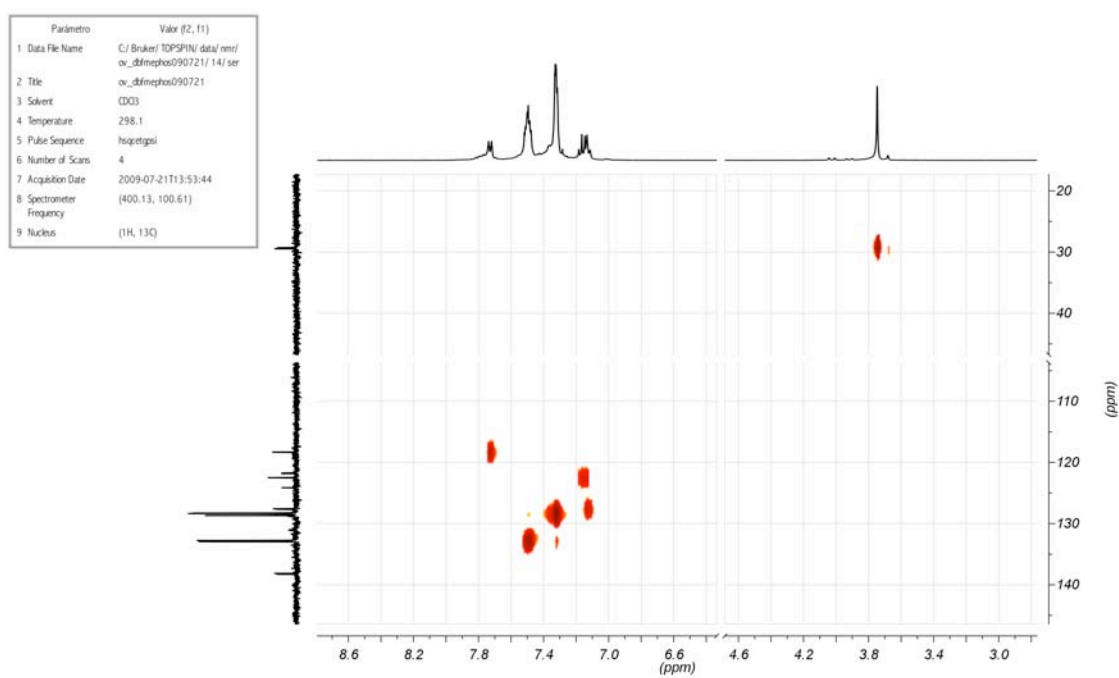
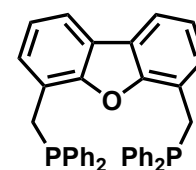
$^{13}\text{C}\{^1\text{H}\}$ RMN (101 MHz, rt, CDCl_3):



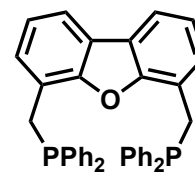
$^{31}\text{P}\{^1\text{H}\}$ RMN (162 MHz, rt, CDCl_3):



Espectre de correlació ^1H - ^{13}C (HMQC):

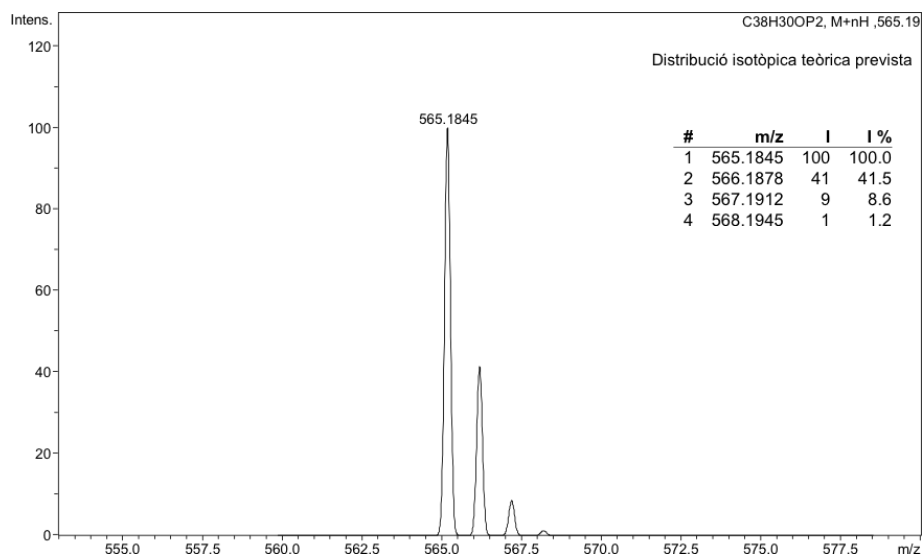
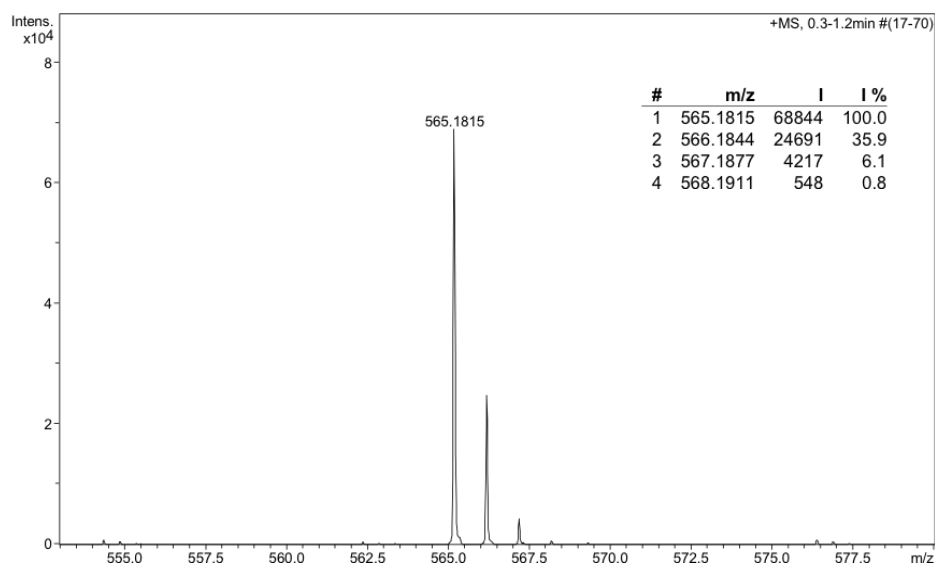


HRMS (ESI+):

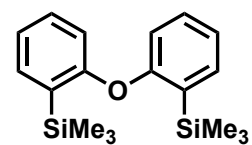
**Analysis Info**

Analysis Name 09EM421-QTOF-pos1-1.d
Method 09EM421-QTOF-pos1.m
Sample Name OVDB F Me
Comment MIE. ESI+. Dó ca 5 ppm en MeOH.
O. VALLCORBA

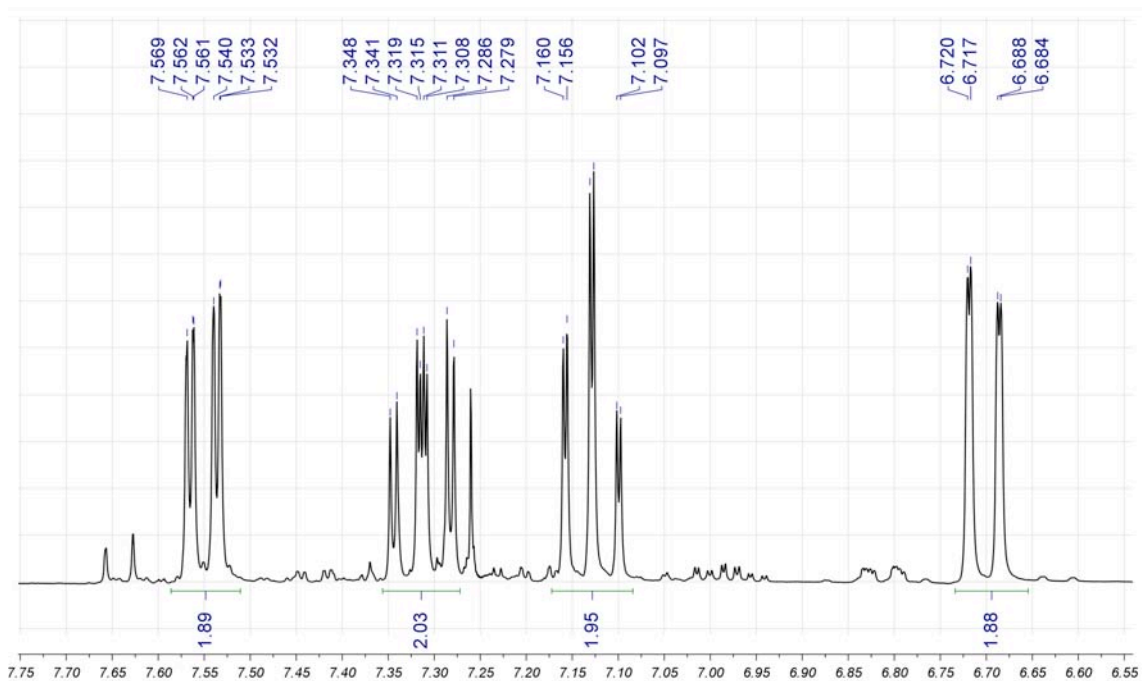
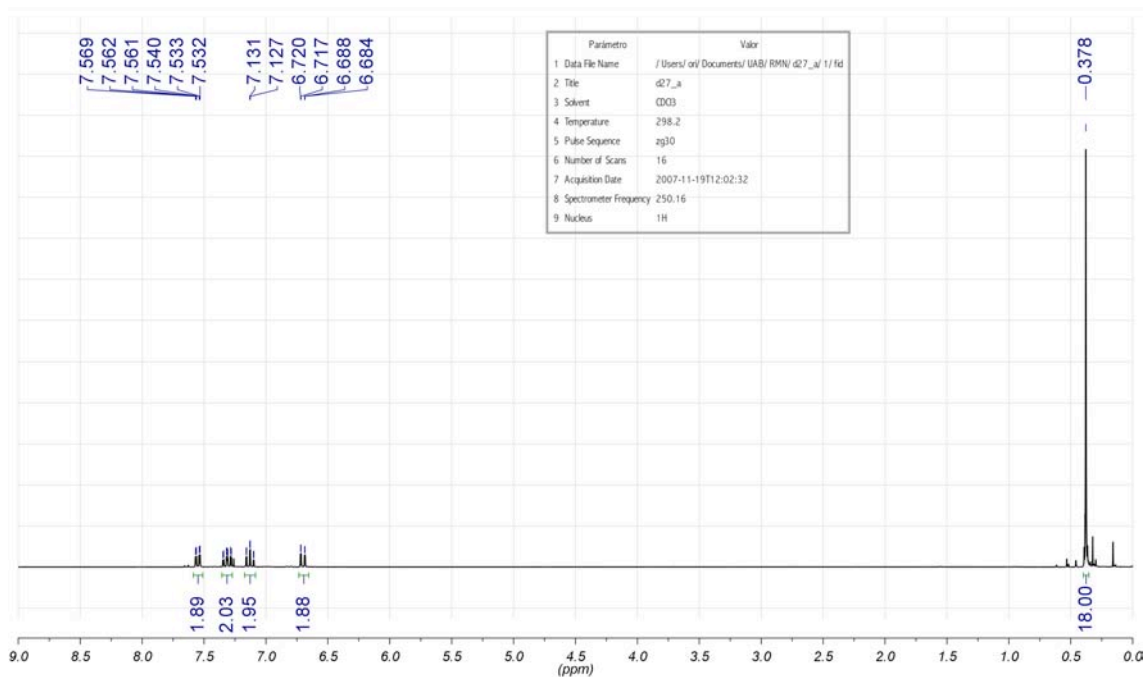
Acquisition Date 17/09/2009 12:38:34
Operator SAQ
Instrument micrOTOF-Q

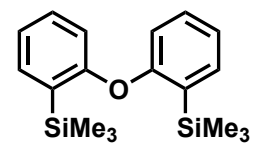


8.4 Altres intermedis en la modificació de la DPEphos

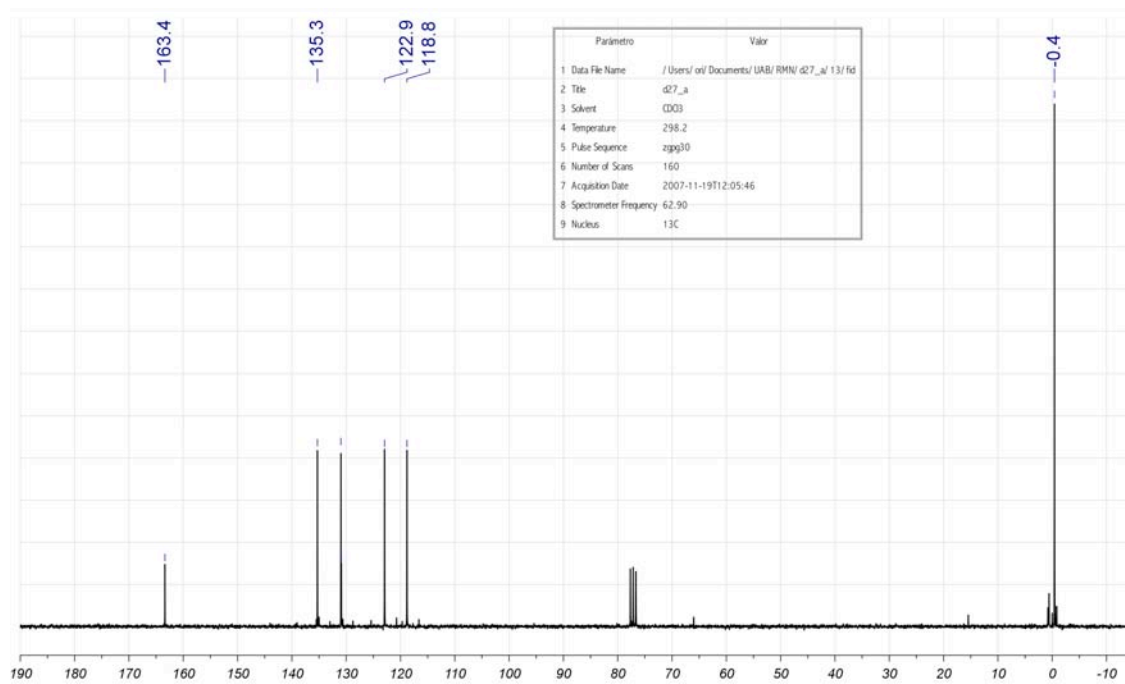
(oxibis(2,1-fenilè))bis(trimetilsilà) (I8)

^1H RMN (400 MHz, rt, CDCl_3):





$^{13}\text{C}\{^1\text{H}\}$ RMN (101 MHz, rt, CDCl_3):

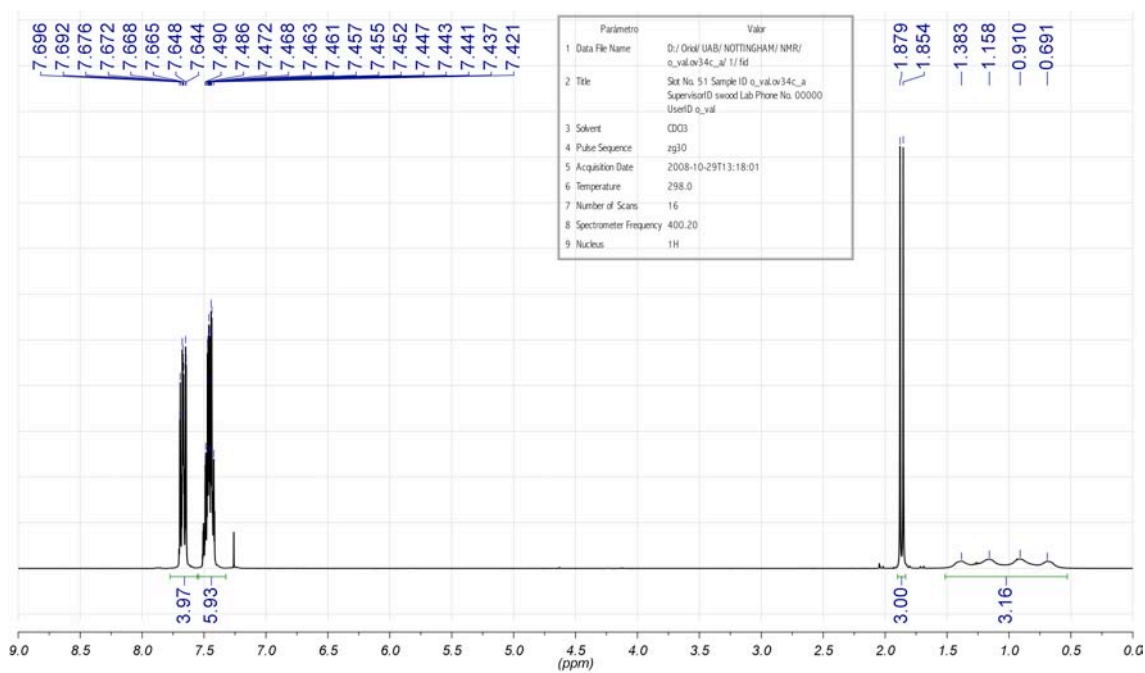
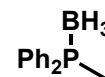


9 Caracterització d'intermedis i productes a la síntesi de monofosfines benzíliques

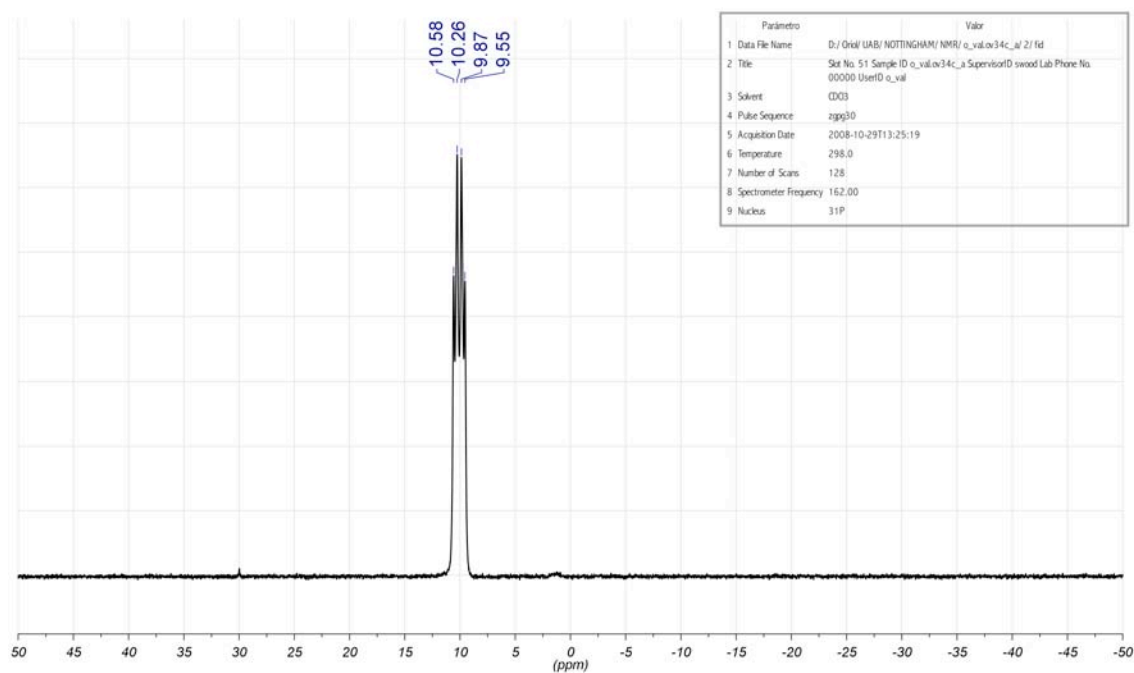
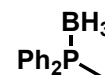
9.1 Intermedis

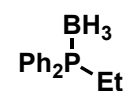
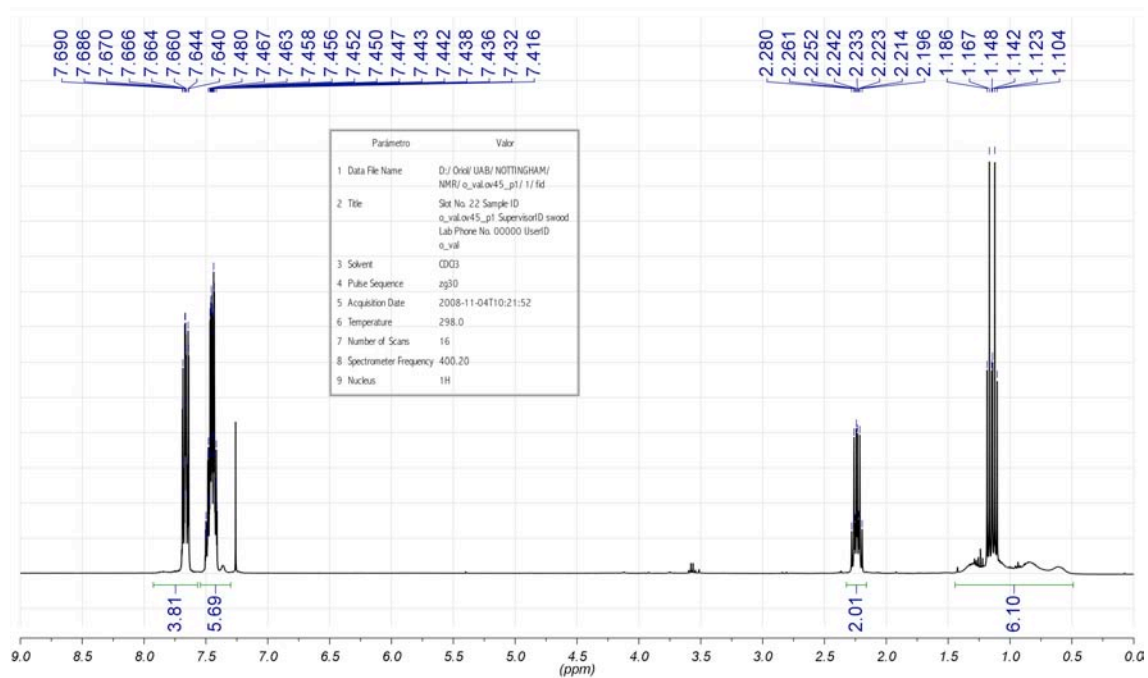
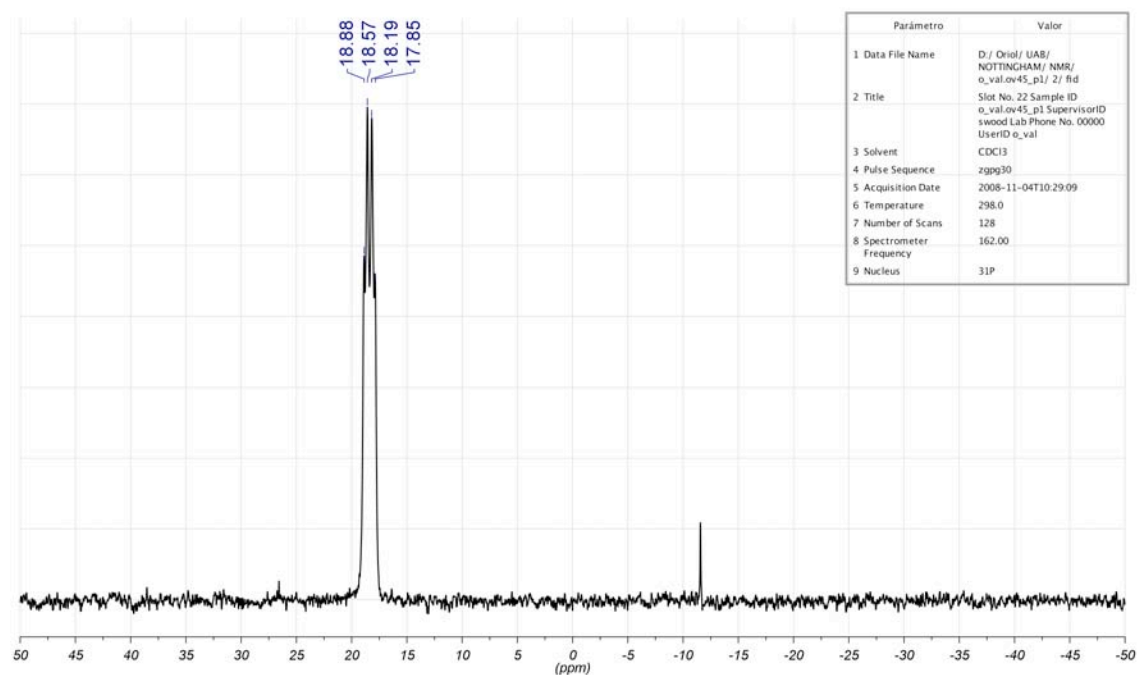
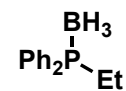
Difenilmetilfosfina-P-borà (L42b)

^1H RMN (400 MHz, rt, CDCl_3):



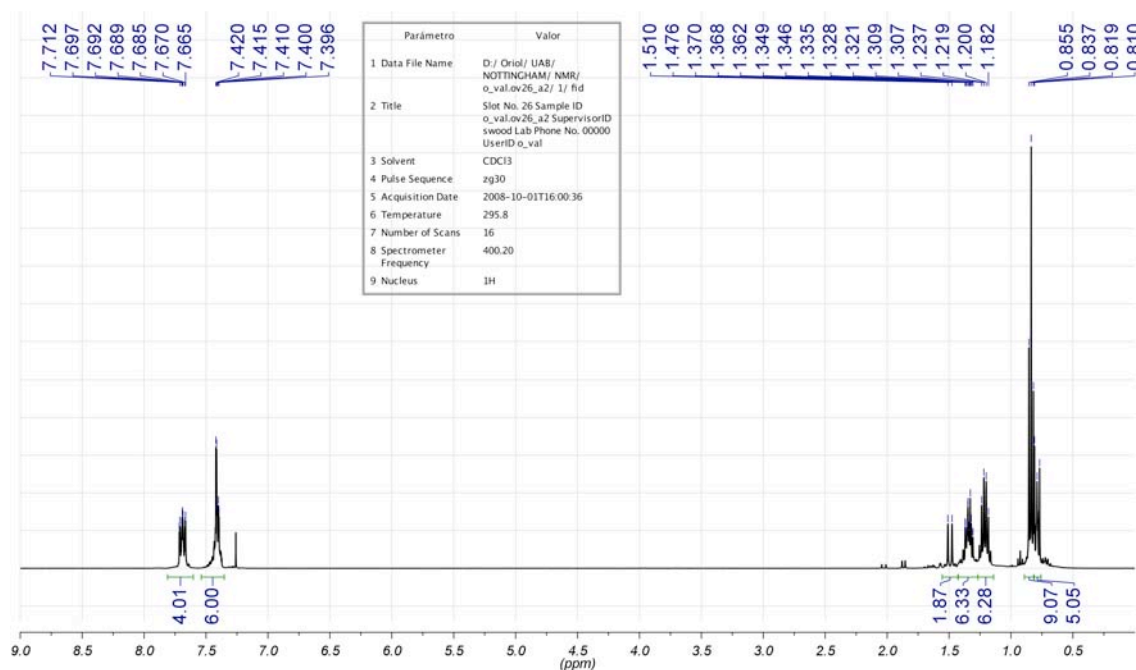
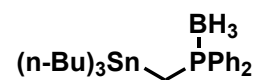
$^{31}\text{P}\{^1\text{H}\}$ RMN (162 MHz, rt, CDCl_3):



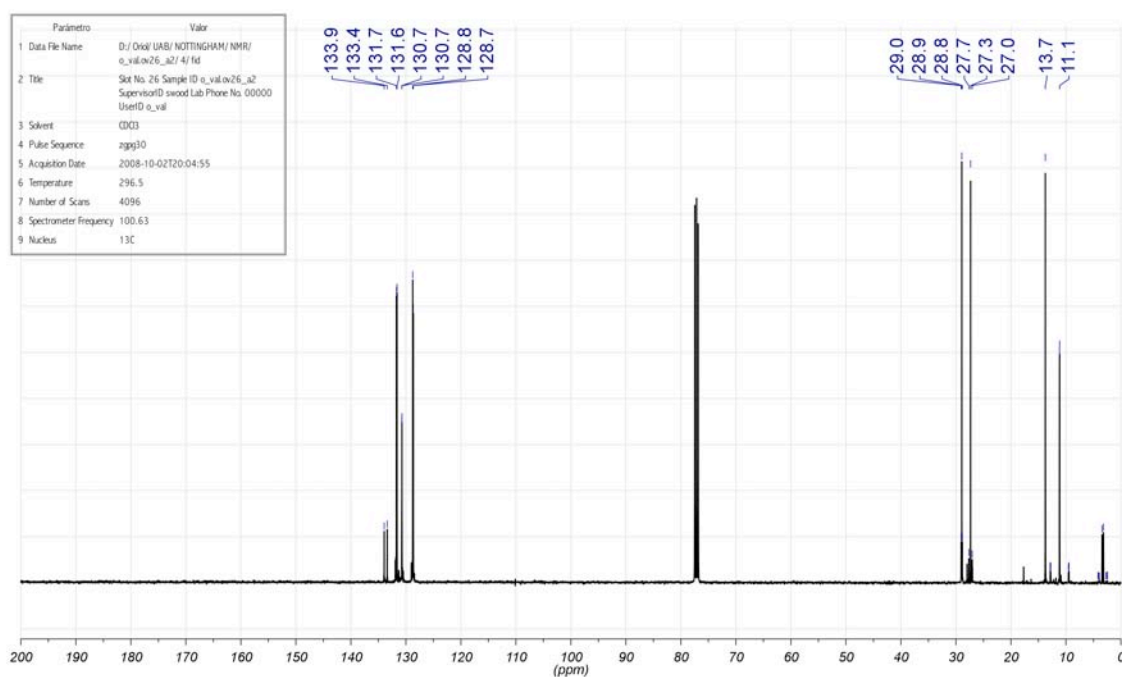
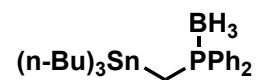
Etilidifenilfosfina-P-borà (L53b)

 ^1H RMN (400 MHz, rt, CDCl_3):

 $^{31}\text{P}\{^1\text{H}\}$ RMN (162 MHz, rt, CDCl_3):


Difenil[(1,1,1-tributylestannil)metil]fosfina-P-borà (L42b-Sn)

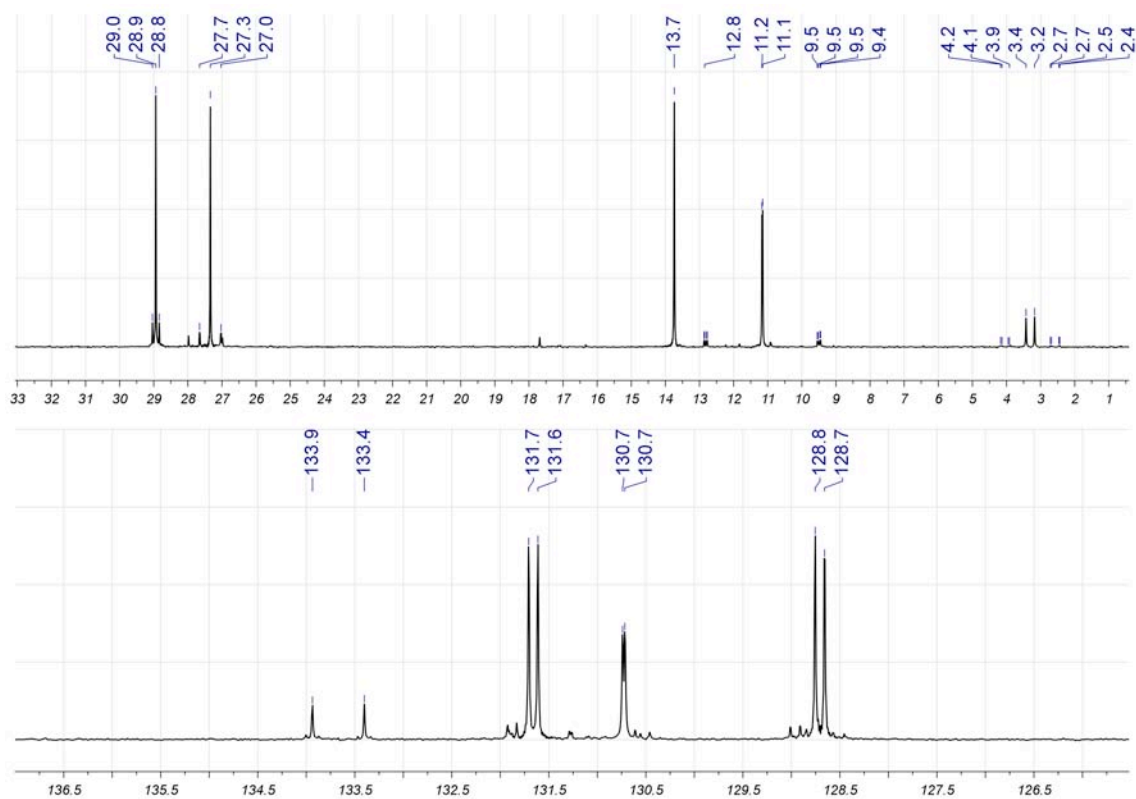
^1H RMN (400 MHz, rt, CDCl_3):



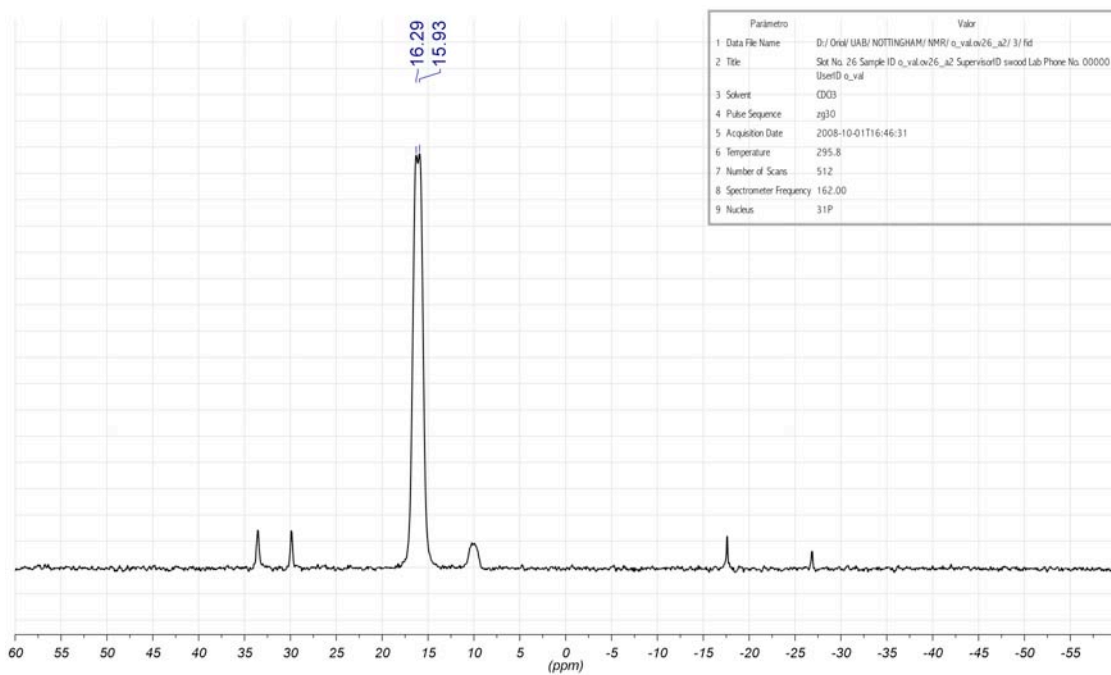
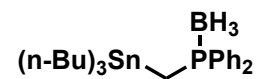
$^{13}\text{C}\{^1\text{H}\}$ RMN (101 MHz, rt, CDCl_3):



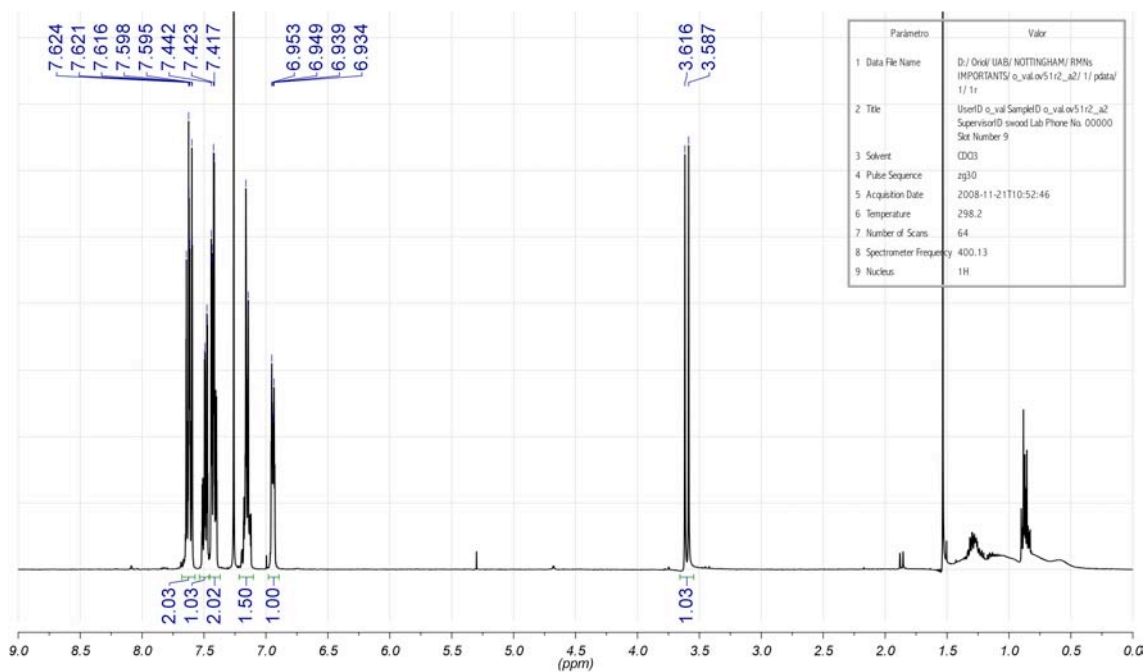
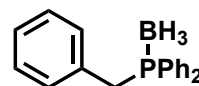
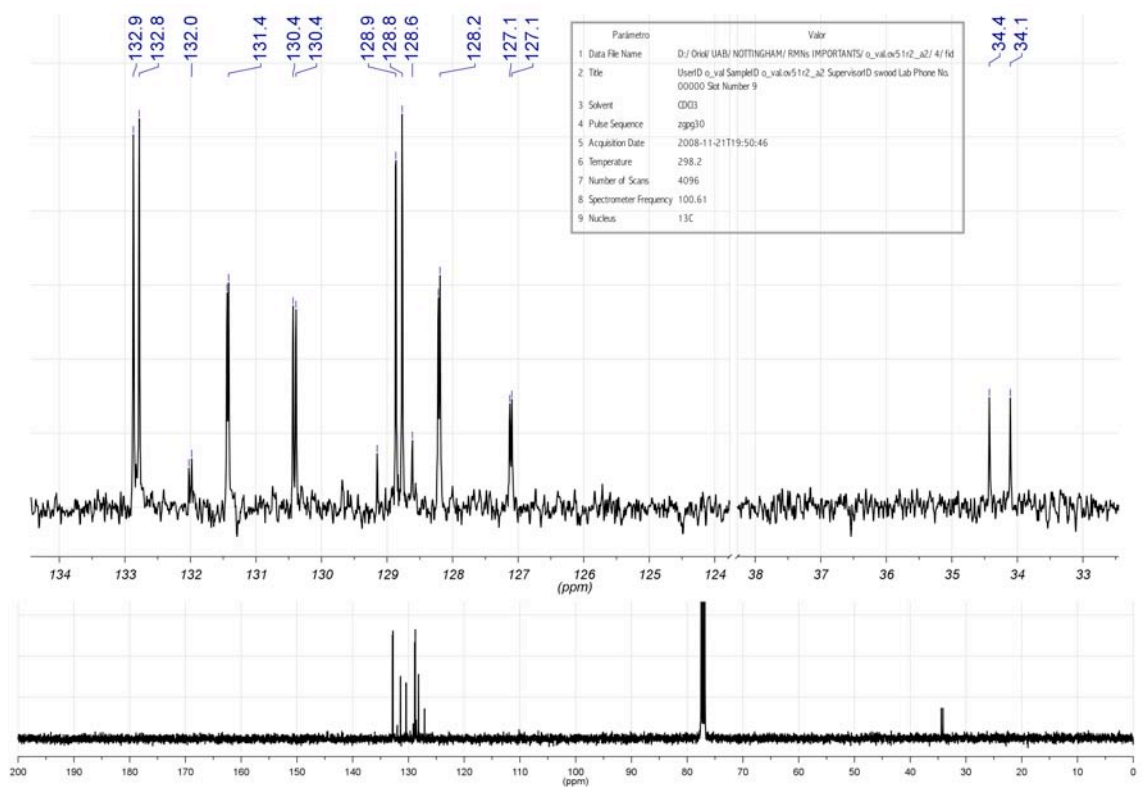
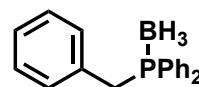
Ampliacions de l'espectre ^{13}C per veure els acoblaments amb l'Sn:

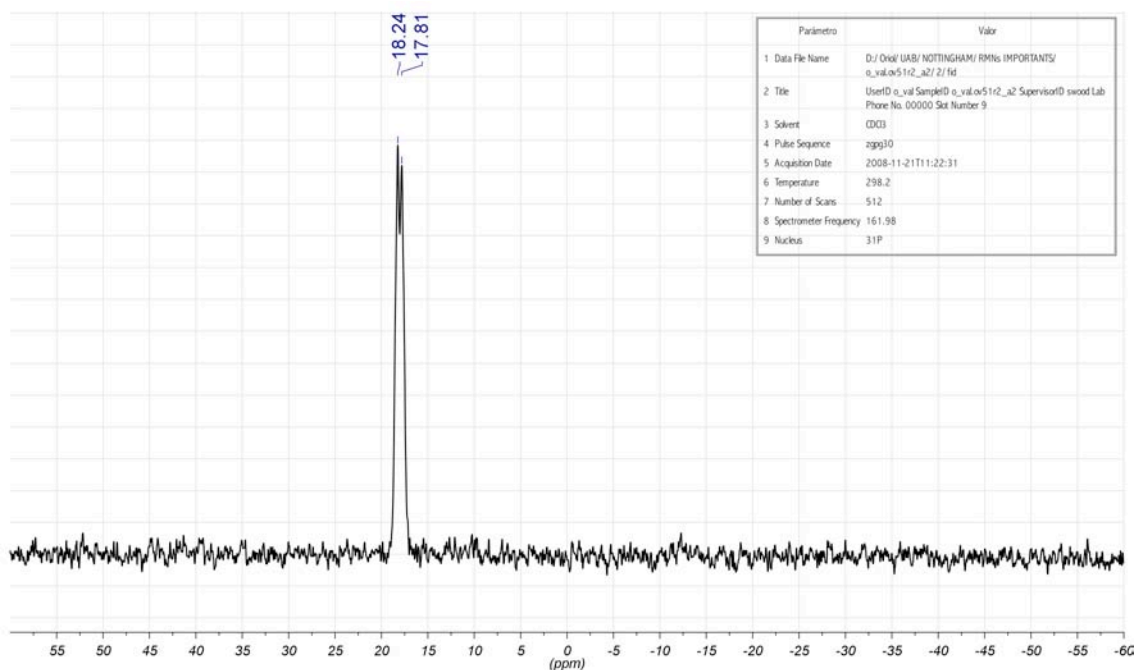
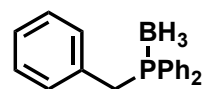


$^{31}\text{P}\{^1\text{H}\}$ RMN (162 MHz, rt, CDCl_3):

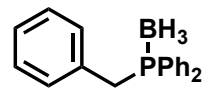


9.2 Products

Benzildifenilfosfina-P-bora (L43b) ^1H RMN (400 MHz, rt, CDCl_3): $^{13}\text{C}\{^1\text{H}\}$ RMN (101 MHz, rt, CDCl_3):

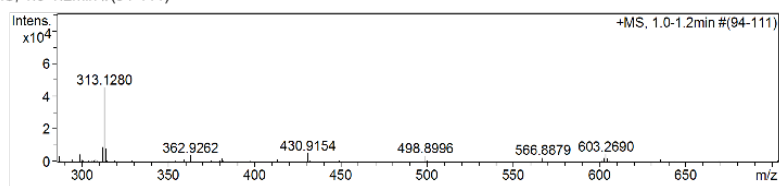
$^{31}\text{P}\{^1\text{H}\}$ RMN (162 MHz, rt, CDCl_3):

HRMS (ESI+):



Sample-ID	o_val_ov51r2_a2_383150	Lab	C29
Submitter		Supervisor	
Analysis Name	o_val_ov51r2_a2_383150_5_01_31932.d	Acquisition Date	11/25/2008 11:18:10 AM
Ionisation Mode	ESI Positive		

+MS, 1.0-1.2min #(94-111)



#	m/z	I %
1	286.1200	1.8
2	287.1162	6.8
3	294.9390	3.3
4	299.0956	9.0
5	300.0994	1.8
6	308.1733	3.0
7	312.1318	19.7
8	313.1280	100.0
9	314.1320	17.4
10	359.2402	2.9
11	362.9262	8.2
12	381.1179	3.2
13	413.2651	2.1
14	430.9154	11.0
15	498.8996	7.3
16	566.8879	4.9
17	602.2714	4.4
18	603.2690	9.9
19	604.2713	3.8
20	634.8764	2.5

Generate Molecular Formula Parameters

Source Type ESI

Charge	Tolerance	sigma limit	H/C Ratio	Electron Conf.	Nitrogen Rule	Chrom.BackGround	Calibration
+1	6 ppm	0.08	3 - 0	both	false	false	TRUE

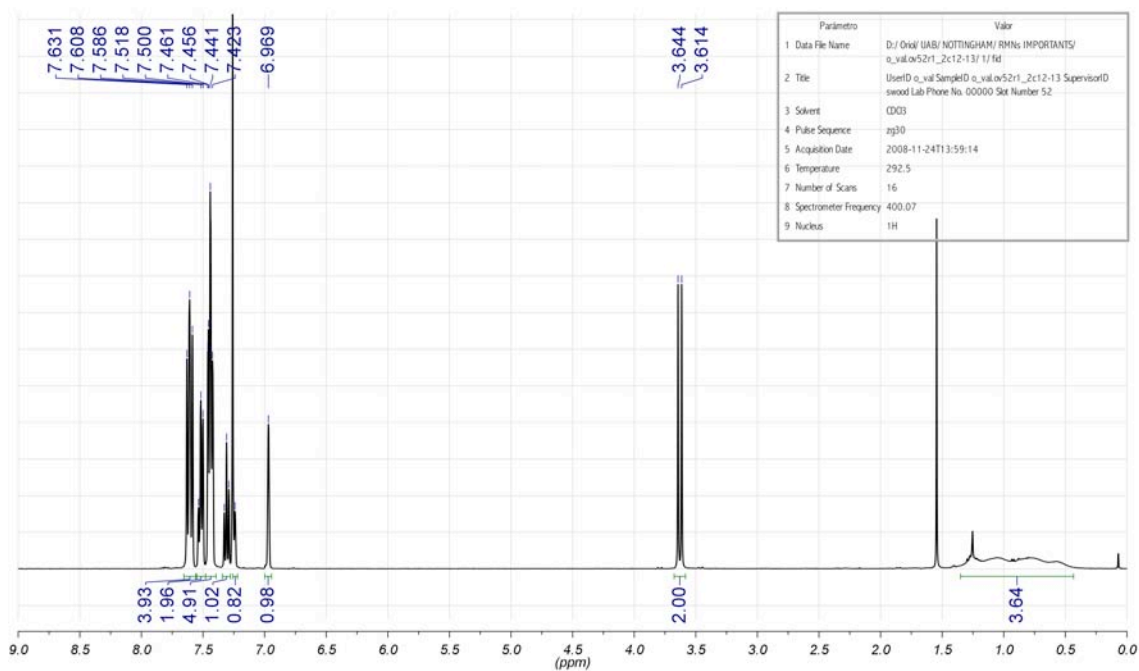
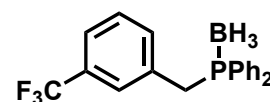
Expected Formula C₁₉H₂₀B₁P₁Adduct(s): H, Na, NH₄, radical

#	meas. m/z	theo. m/z	Err [ppm]	Sigma	Formula	Adduct	Adduct Mass
1	313.1280	313.1288	2.40	0.0245	C ₁₉ H ₂₀ BNaP	M+Na	22.9898
1	308.1733	308.1734	0.40	0.0444	C ₁₉ H ₂₄ BNP	M+H ₄ N	18.0344

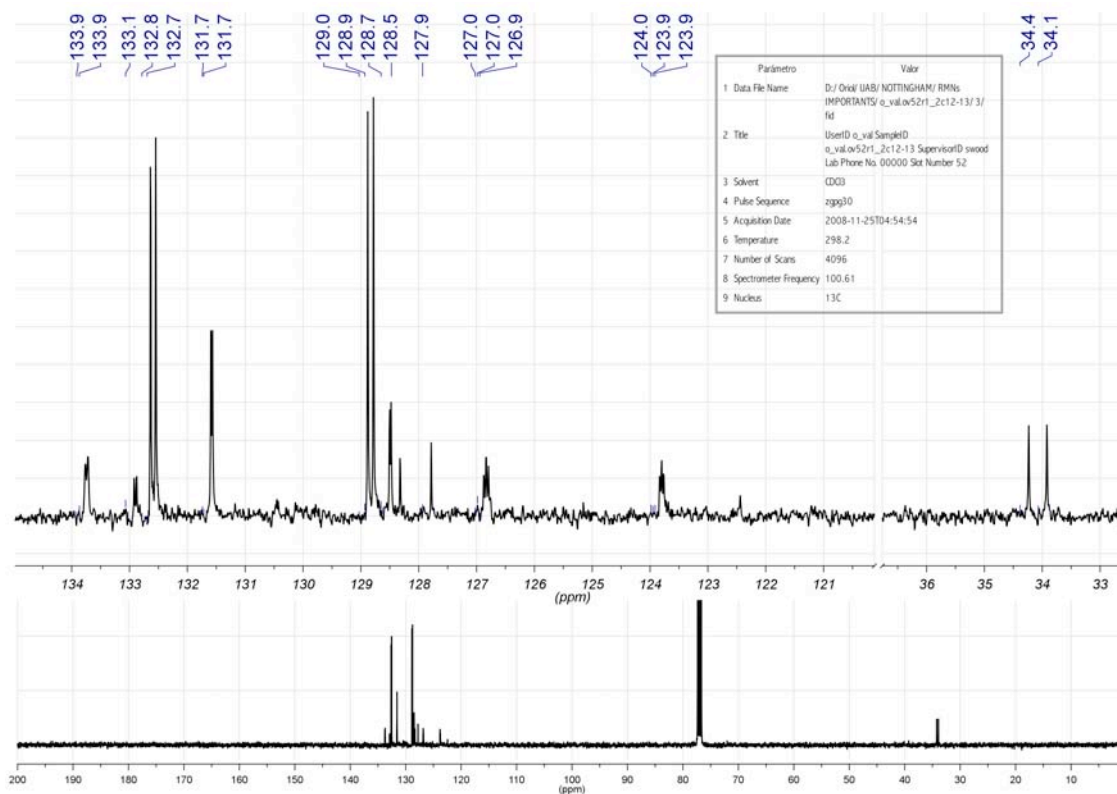
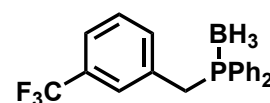
Note: Sigma fits < 0.05 indicates high probability of correct MF

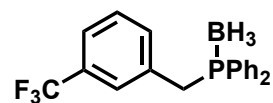
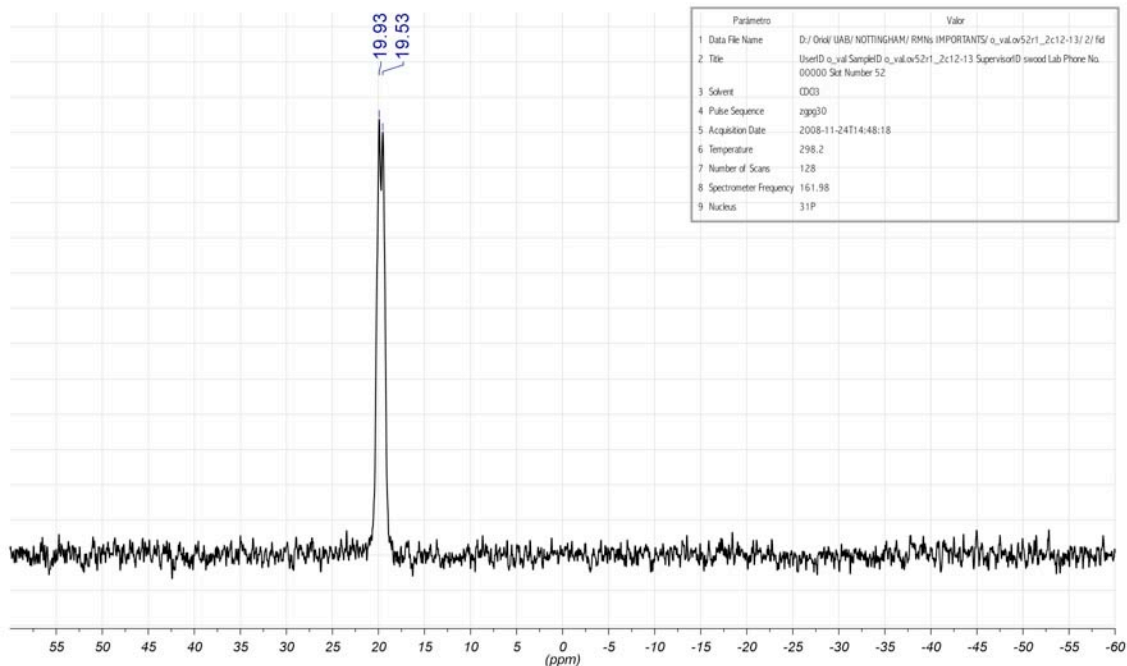
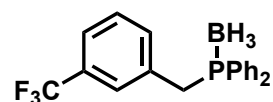
Difenil[3-(trifluorometil)benzil]fosfina-P-borà (L44b)

^1H RMN (400 MHz, rt, CDCl_3):



$^{13}\text{C}\{^1\text{H}\}$ RMN (101 MHz, rt, CDCl_3):

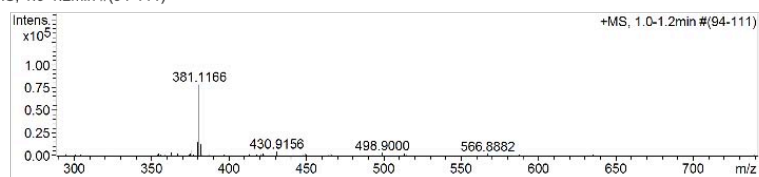


$^{31}\text{P}\{^1\text{H}\}$ RMN (162 MHz, rt, CDCl_3):

HRMS (ESI+):

Sample-ID	o_val_ov52r1_c12-13_383151	Lab	C29
Submitter		Supervisor	
Analysis Name	o_val_ov52r1_c12-13_383151_4_01_31931.d	Acquisition Date	11/25/2008 11:14:25 AM
Ionisation Mode	ESI Positive		

+MS, 1.0-1.2min #(94-111)



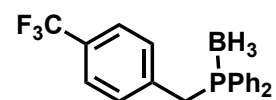
#	m/z	I %
1	294.9392	1.7
2	355.1021	3.5
3	362.9256	4.2
4	367.0838	2.1
5	375.1595	3.1
6	376.1602	7.0
7	377.1659	1.4
8	380.1191	19.0
9	381.1166	100.0
10	382.1194	16.4
11	383.1163	1.5
12	413.1423	2.0
13	413.2647	1.4
14	422.1437	2.2
15	430.9156	5.7
16	449.1048	2.1
17	465.1685	2.7
18	498.9000	3.7
19	513.3786	2.1
20	566.8882	2.4

Generate Molecular Formula Parameters

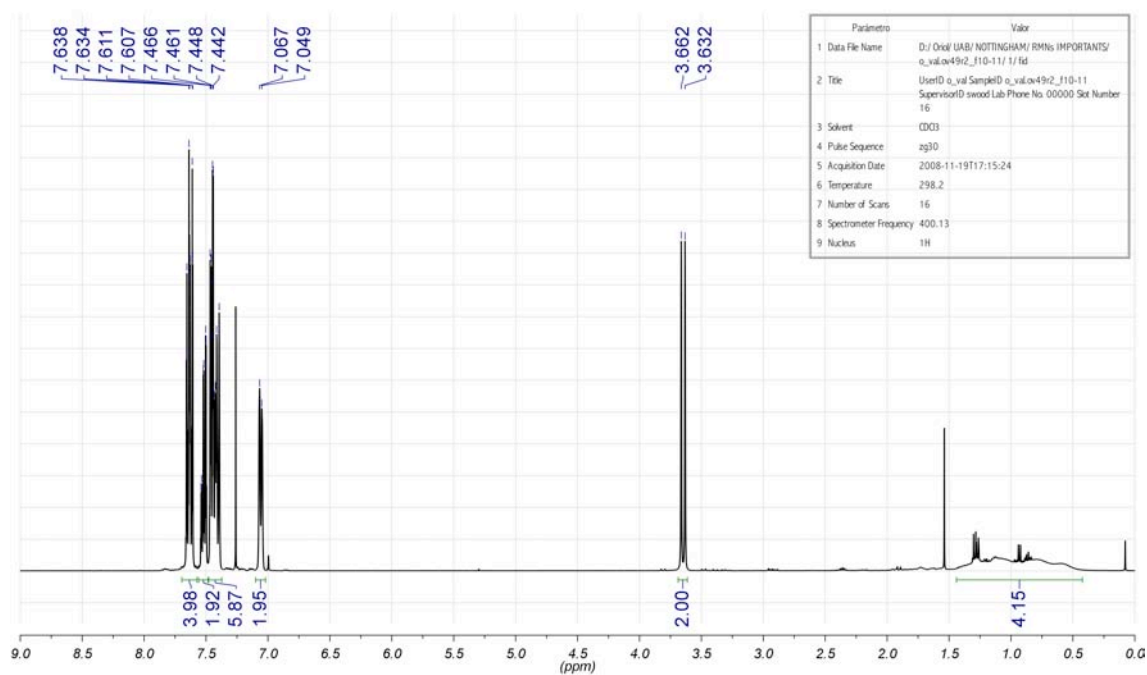
Charge	+1	Tolerance	6 ppm	sigma limit	0.08	H/C Ratio	3 - 0	Electron Conf.	both	Nitrogen Rule	false	Chrom.BackGround	false	Calibration	TRUE
Expected Formula	C20 H19 B1 F3 P1			Adduct(s):	H, Na, NH_4 , radical										
#	meas. m/z	theo. m/z	Err [ppm]	Sigma	Formula	Adduct	Adduct Mass								
1	381.1166	381.1162	1.00	0.0338	$\text{C}_{20}\text{H}_{19}\text{BF}_3\text{NaP}$	M+Na	22.9898								

Note: Sigma fits < 0.05 indicates high probability of correct MF

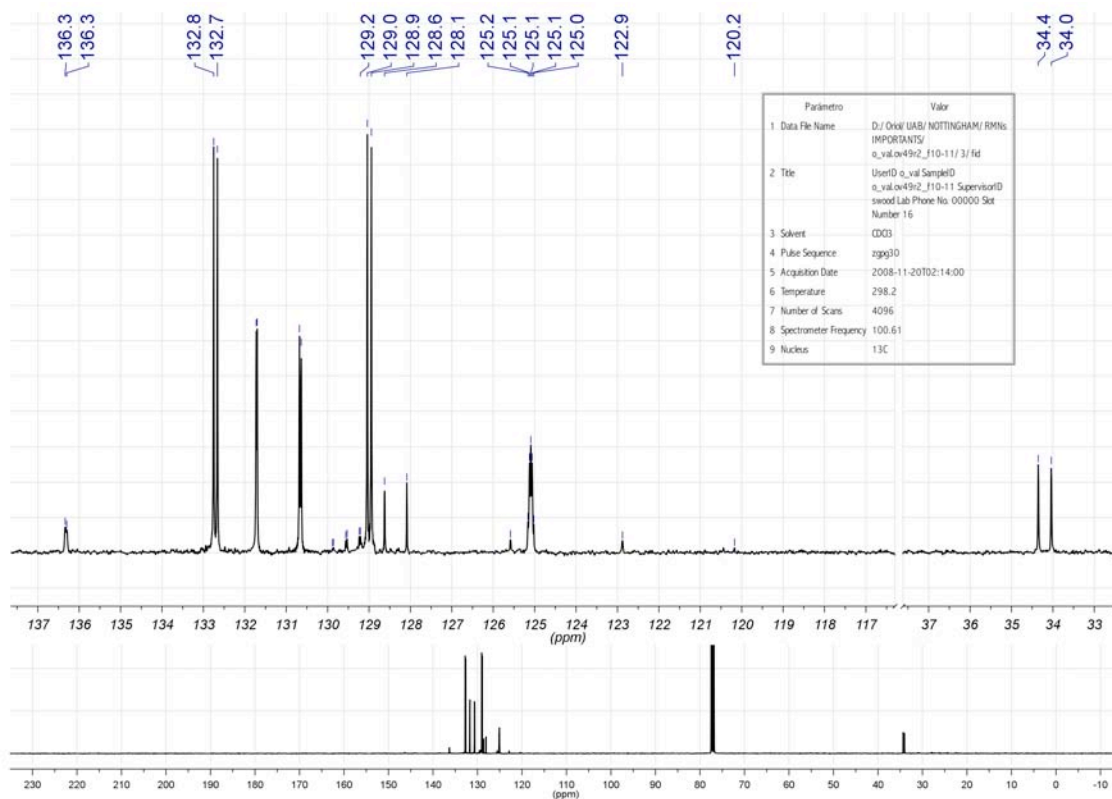
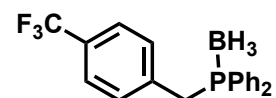
Difenil[4-(trifluorometil)benzil]fosfina-P-borà (L45b)

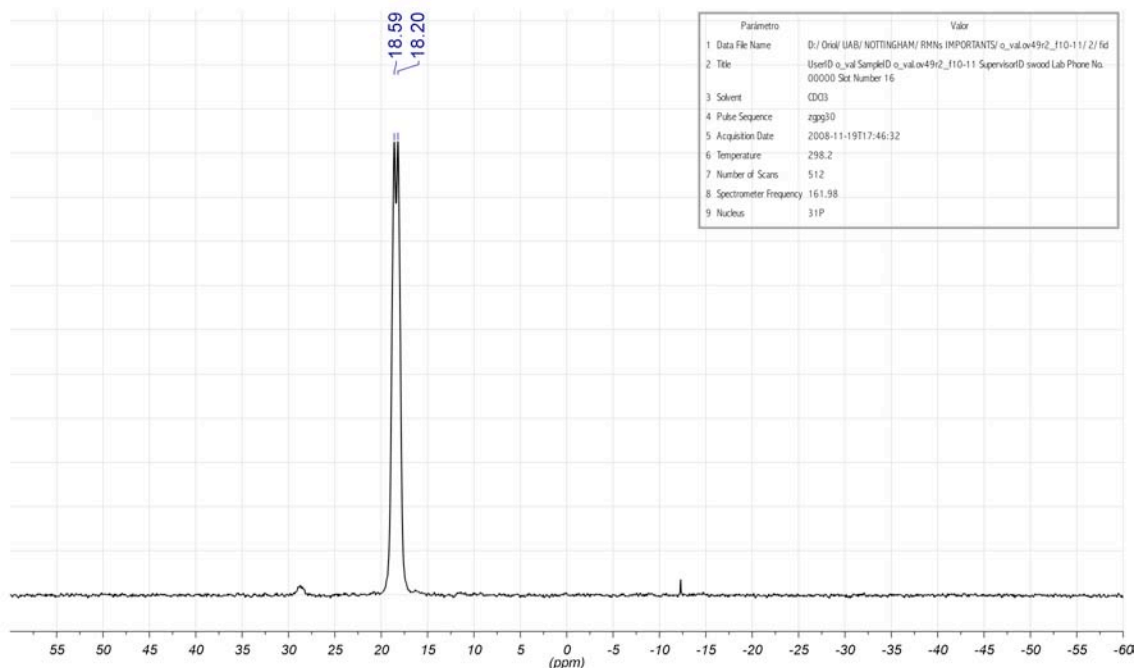
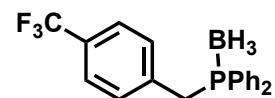


^1H RMN (400 MHz, rt, CDCl_3):

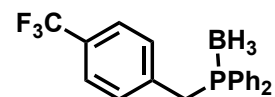


$^{13}\text{C}\{^1\text{H}\}$ RMN (101 MHz, rt, CDCl_3):



$^{31}\text{P}\{^1\text{H}\}$ RMN (162 MHz, rt, CDCl_3):

HRMS (ESI+):



Sample-ID	o_val_49r2_f10-11_382949	Lab	C29	#	m/z	I %
Submitter		Supervisor		1	305.1559	7.9
Analysis Name	o_val_49r2_f10-11_382949_19_01_31696.d	Acquisition Date	11/20/2008 11:51:37 AM	2	349.1829	10.6
Ionisation Mode	ESI Positive			3	354.1056	6.5
+MS, 1.0-1.2min #(94-111)				4	355.1019	30.3
				5	356.1060	5.8
				6	374.1440	6.9
				7	375.1598	5.8
				8	376.1599	22.7
				9	380.1185	18.1
				10	381.1149	100.0
				11	382.1184	15.8
				12	387.1277	9.3
				13	393.2079	6.3
				14	477.3612	38.5
				15	478.3653	11.1
				16	489.3787	5.4
				17	513.3773	22.5
				18	514.3808	6.8
				19	738.2433	5.7
				20	739.2391	15.6

Generate Molecular Formula Parameters

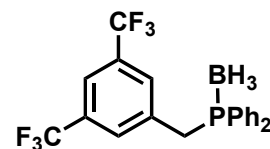
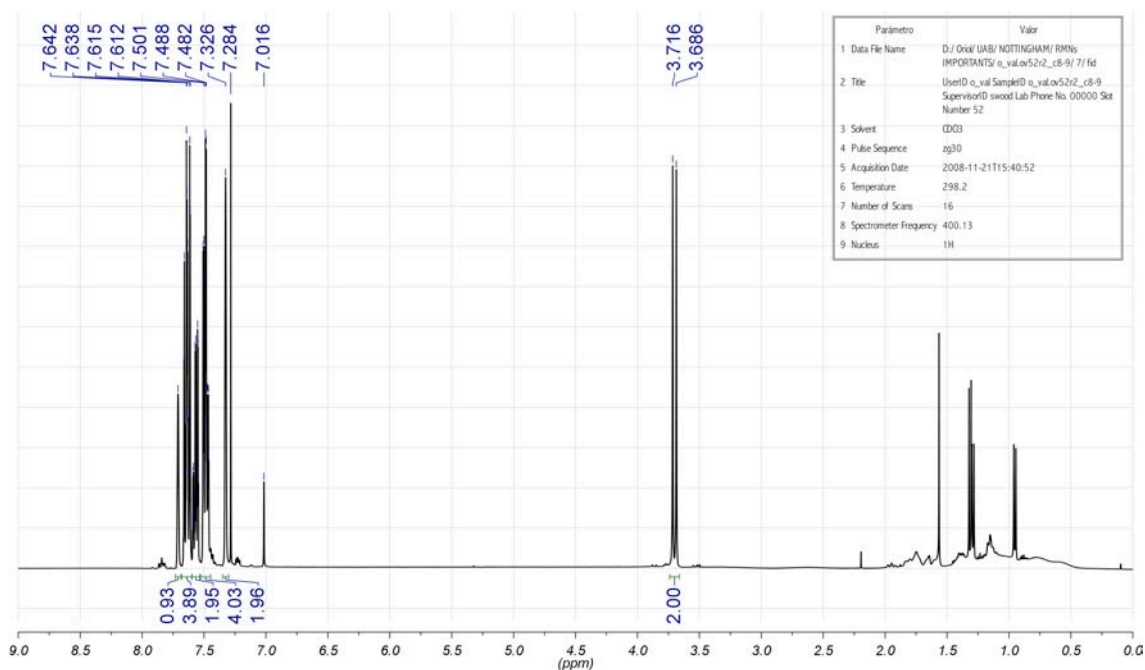
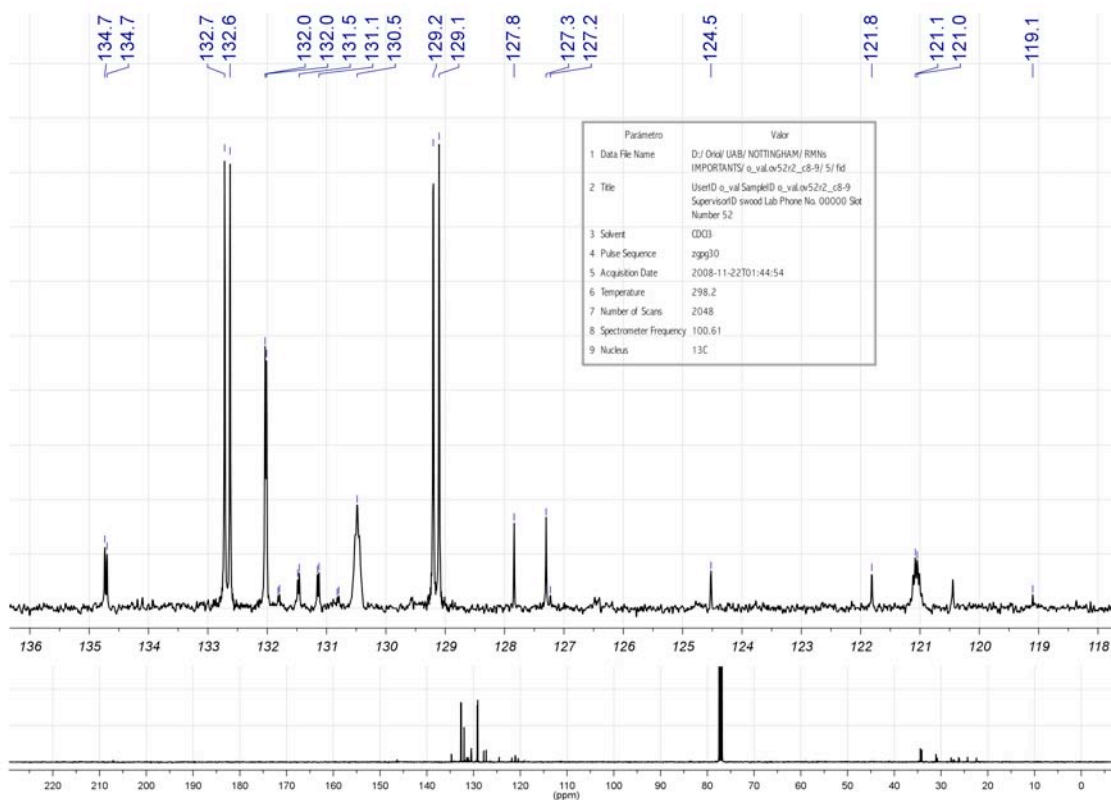
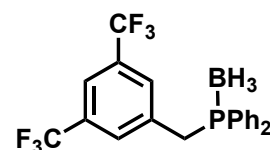
Source Type ESI

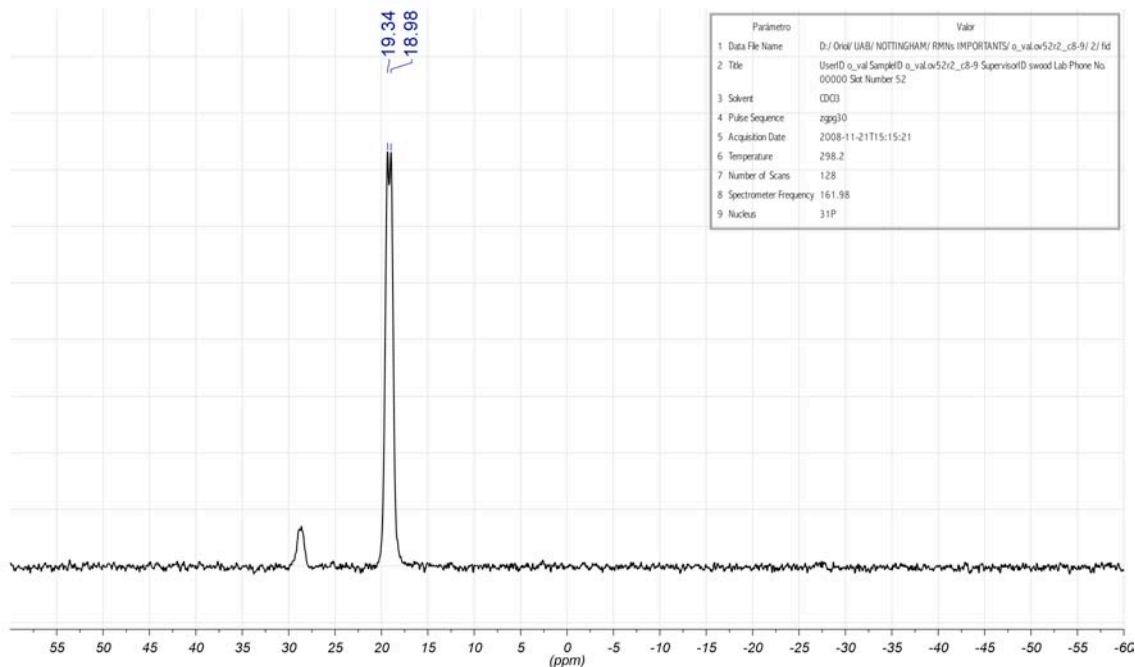
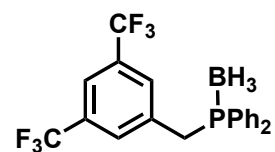
Charge	Tolerance	sigma limit	H/C Ratio	Electron Conf.	Nitrogen Rule	Chrom.BackGround	Calibration
+1	6 ppm	0.08	3 - 0	both	false	false	TRUE

Expected Formula $\text{C}_{20}\text{H}_{19}\text{B}_1\text{F}_3\text{P}_1$ Adduct(s): H, Na, NH_4 , radical

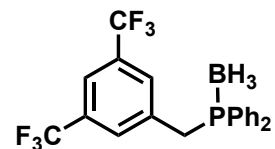
#	meas. m/z	theo. m/z	Err [ppm]	Sigma	Formula	Adduct	Adduct Mass
1	381.1149	381.1162	3.20	0.0388	$\text{C}_{20}\text{H}_{19}\text{BF}_3\text{NaP}$	M+Na	22.9898
1	376.1599	376.1608	2.50	0.0110	$\text{C}_{20}\text{H}_{23}\text{BF}_3\text{NP}$	M+H4N	18.0344

Note: Sigma fits < 0.05 indicates high probability of correct MF

[3,5-bis(trifluorometil)benzil]difenilfosfina-P-borà (L46b) ^1H RMN (400 MHz, rt, CDCl_3): $^{13}\text{C}\{^1\text{H}\}$ RMN (101 MHz, rt, CDCl_3):

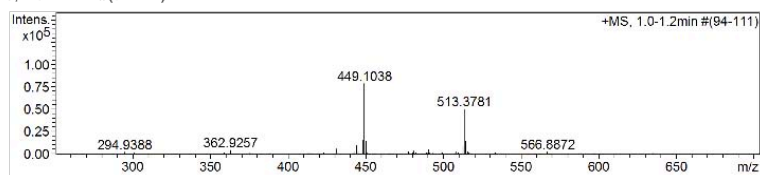
$^{31}\text{P}\{^1\text{H}\}$ RMN (162 MHz, rt, CDCl_3):

HRMS (ESI+):



Sample-ID	o_val_ov52r2_c8-9_383152	Lab	C29
Submitter		Supervisor	
Analysis Name	o_val_ov52r2_c8-9_383152_3_01_31930.d	Acquisition Date	11/25/2008 11:10:40 AM
Ionisation Mode	ESI Positive		

+MS, 1.0-1.2min #(94-111)



Generate Molecular Formula Parameters

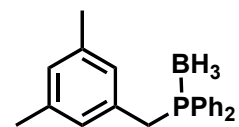
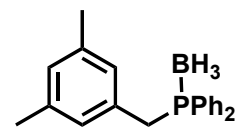
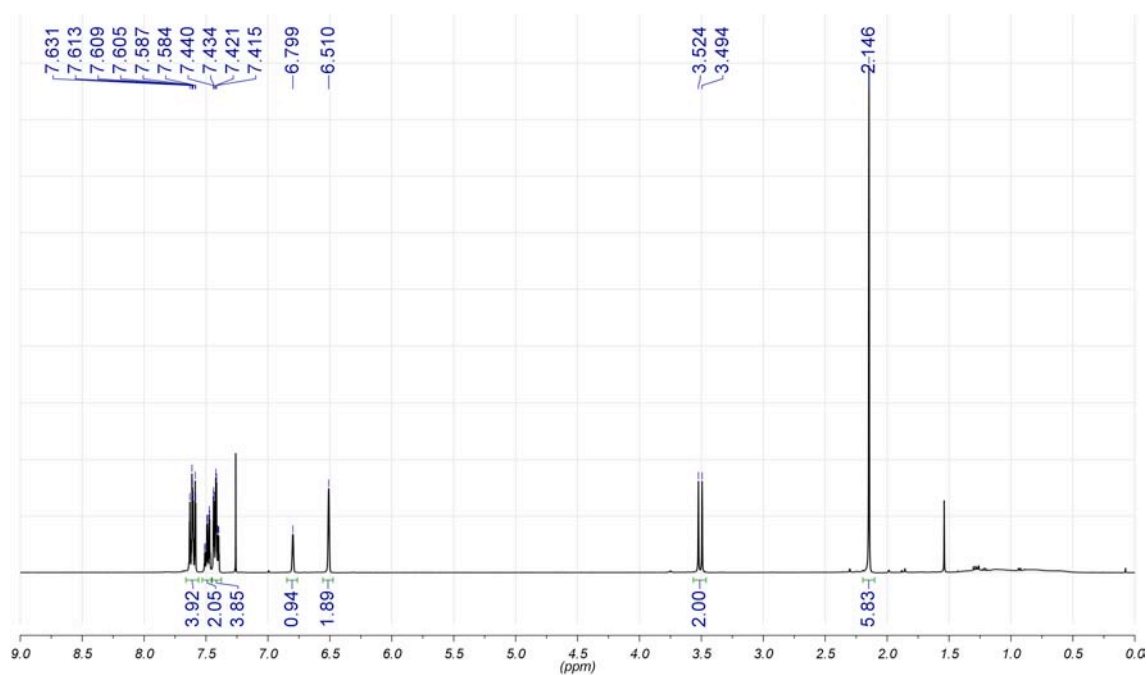
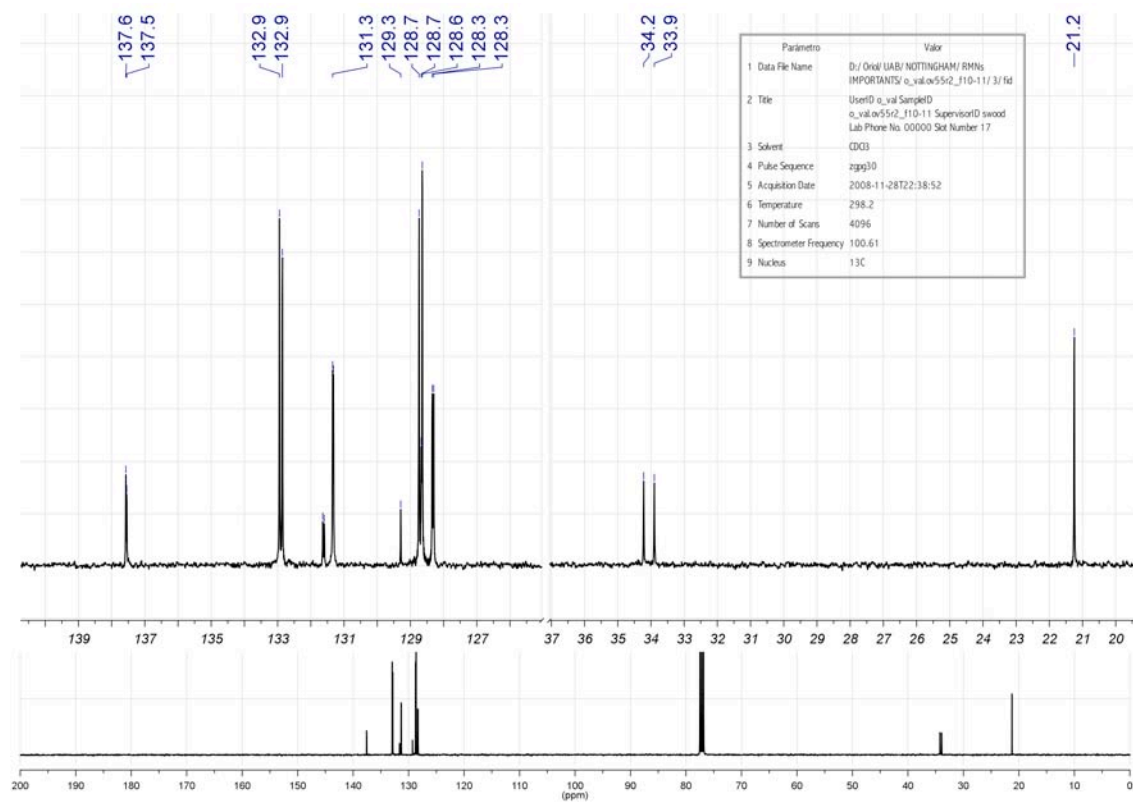
Source Type ESI

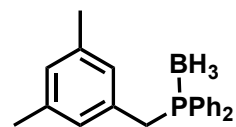
Charge	Tolerance	sigma limit	H/C Ratio	Electron Conf.	Nitrogen Rule	Chrom.BackGround	Calibration
+1	6 ppm	0.08	3 - 0	both	false	false	TRUE

Expected Formula $\text{C}_{21}\text{H}_{18}\text{B}_1\text{F}_6\text{P}_1$ Adduct(s): H, Na, NH_4 , radical

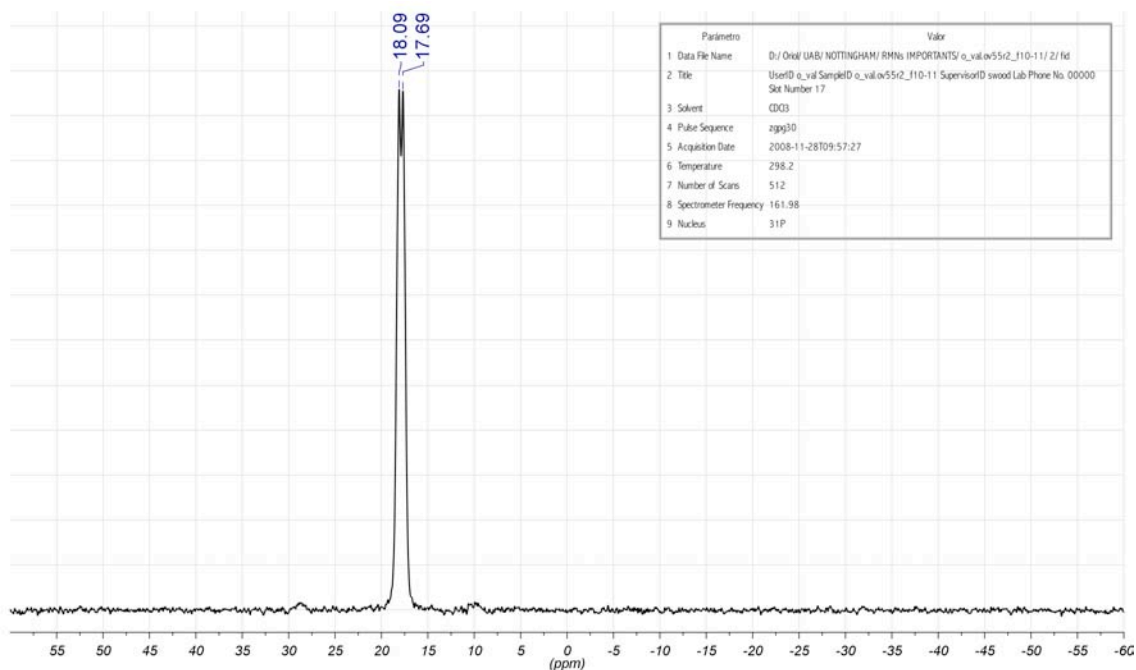
#	meas. m/z	theo. m/z	Err [ppm]	Sigma	Formula	Adduct	Adduct Mass
1	449.1038	449.1036	0.60	0.0304	$\text{C}_{21}\text{H}_{18}\text{BF}_6\text{NaP}$	M+Na	22.9898
1	444.1489	444.1482	1.60	0.0242	$\text{C}_{21}\text{H}_{22}\text{BF}_6\text{NP}$	M+H4N	18.0344

Note: Sigma fits < 0.05 indicates high probability of correct MF

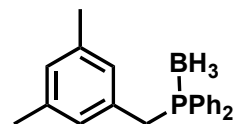
(3,5-dimetilbenzil)difenilfosfina-P-borà (L47b) ^1H RMN (400 MHz, rt, CDCl_3): $^{13}\text{C}\{^1\text{H}\}$ RMN (101 MHz, rt, CDCl_3):



$^{31}\text{P}\{^1\text{H}\}$ RMN (162 MHz, rt, CDCl_3):



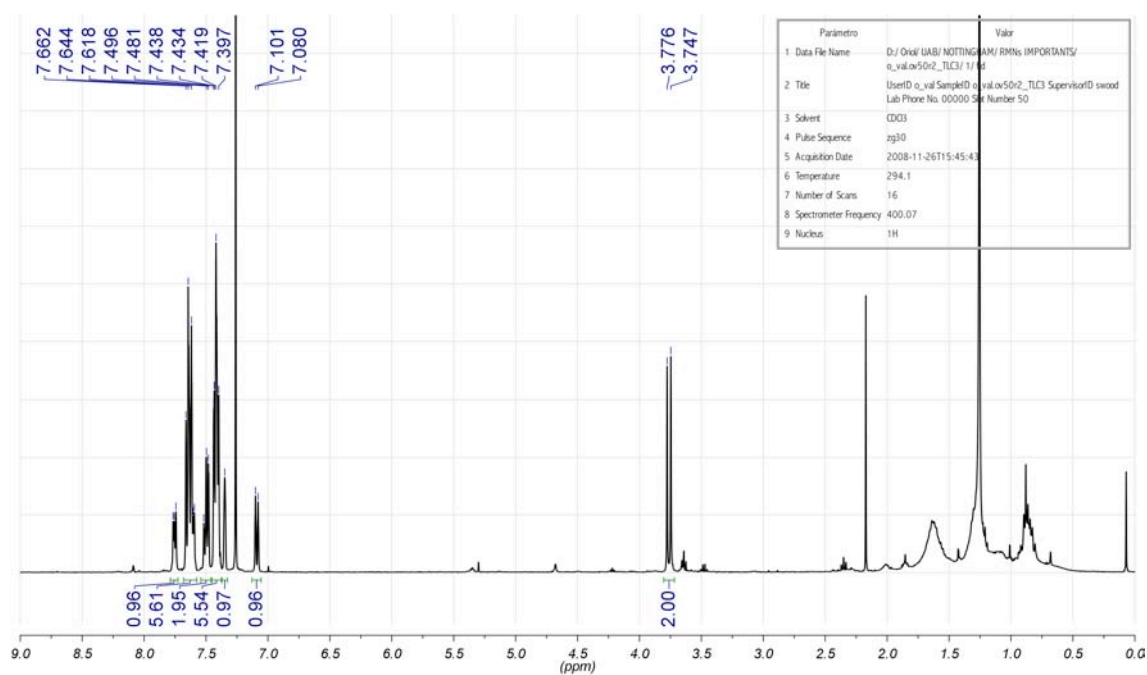
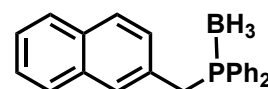
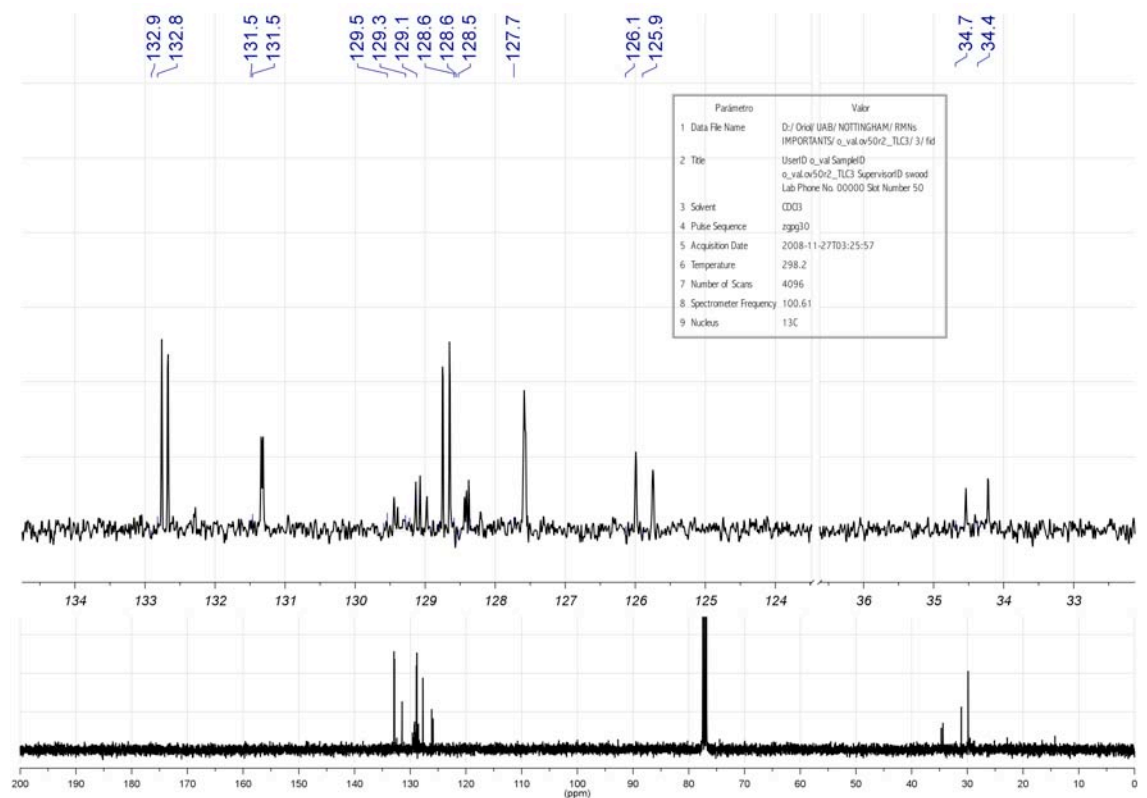
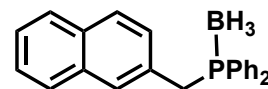
HRMS (ESI+):



Sample-ID	o_val_ov55r2_f10-11_383328	Lab	C29	#	m/z	I %
Submitter		Supervisor		1	305.1462	3.8
Analysis Name	o_val_ov55r2_f10-11_383328_19_01_32127.d	Acquisition Date	11/28/2008 10:59:48 AM	2	314.1494	6.9
Ionisation Mode	ESI Positive			3	315.1460	31.0
+MS, 1.0-1.2min #(93-111)				4	316.1522	6.5
				5	317.1614	4.7
				6	327.1264	8.3
				7	335.2036	3.6
				8	336.2042	13.7
				9	340.1627	17.0
				10	341.1594	87.3
				11	342.1629	16.7
				12	378.2511	4.3
				13	477.3633	7.6
				14	653.3790	6.6
				15	654.3760	18.5
				16	655.3785	6.4
				17	658.3336	36.3
				18	659.3314	100.0
				19	660.3335	33.4
				20	661.3325	5.7

Generate Molecular Formula Parameters				Source Type		ESI	
Charge	Tolerance	sigma limit	H/C Ratio	Electron Conf.	Nitrogen Rule	Chrom.BackGround	Calibration
+1	6 ppm	0.08	3 - 0	both	false	false	TRUE
Expected Formula				Adduct(s):			
C21 H24 B1 P1				H, Na, NH4, radical			
#	meas. m/z	theo. m/z	Err [ppm]	Sigma	Formula	Adduct	Adduct Mass
1	341.1594	341.1601	2.00	0.0261	C21H24BNaP	M+Na	22.9898
1	336.2042	336.2047	1.50	0.0203	C21H28BNP	M+4H	18.0344

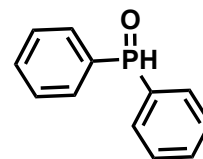
Note: Sigma fits < 0.05 indicates high probability of correct MF

(naftalen-2-ilmetil)difenilfosfina-P-borà (L48b) ^1H RMN (400 MHz, rt, CDCl_3): $^{13}\text{C}\{^1\text{H}\}$ RMN (101 MHz, rt, CDCl_3):

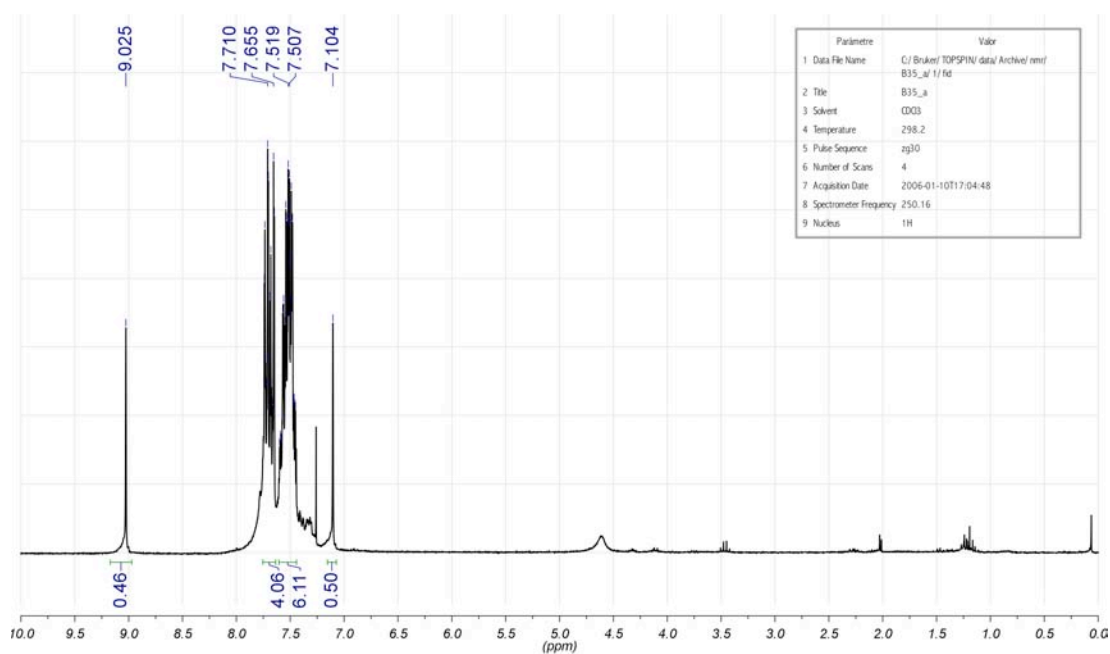
10 Caracterització d'intermedis i productes a la síntesi de monofosfines quirals

10.1 Síntesi de l'(R)-(+)-BINPO (L28)

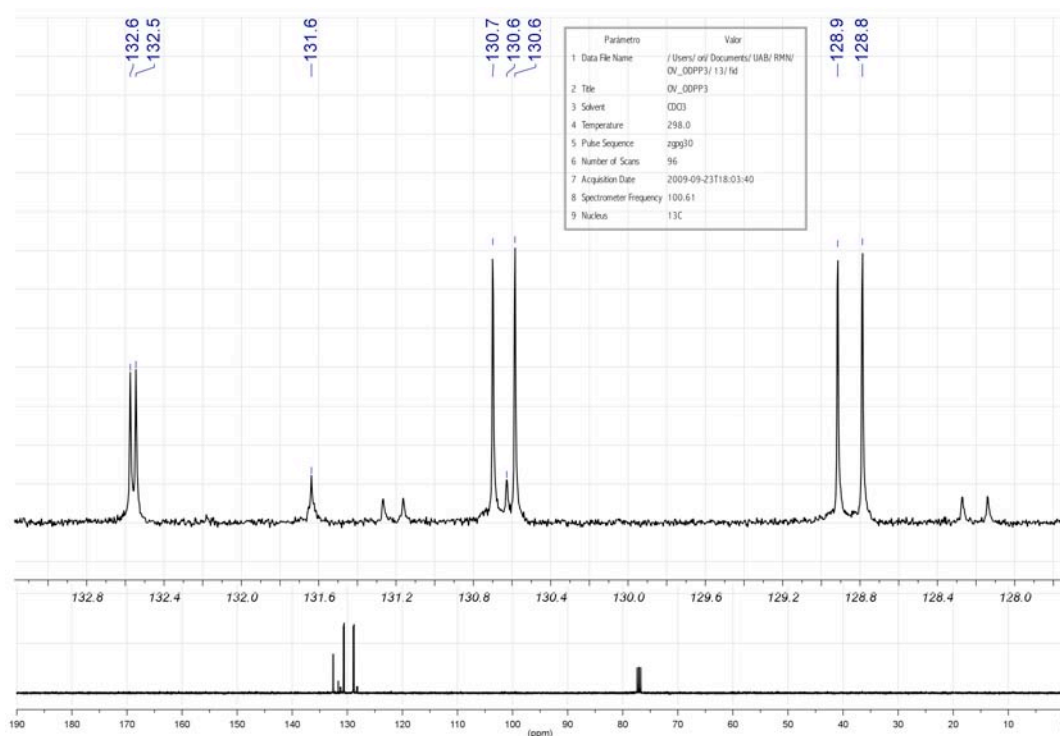
Òxid de difenilfosfina (L19(O))



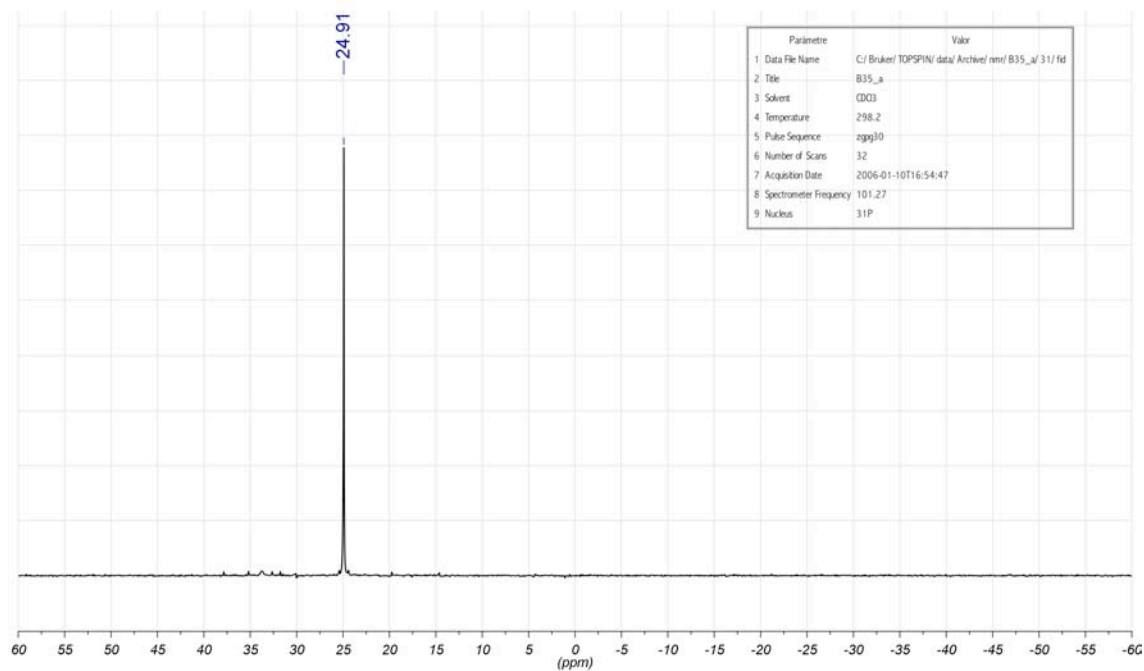
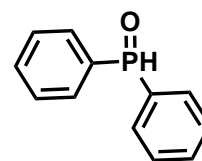
^1H RMN (250 MHz, rt, CDCl_3):



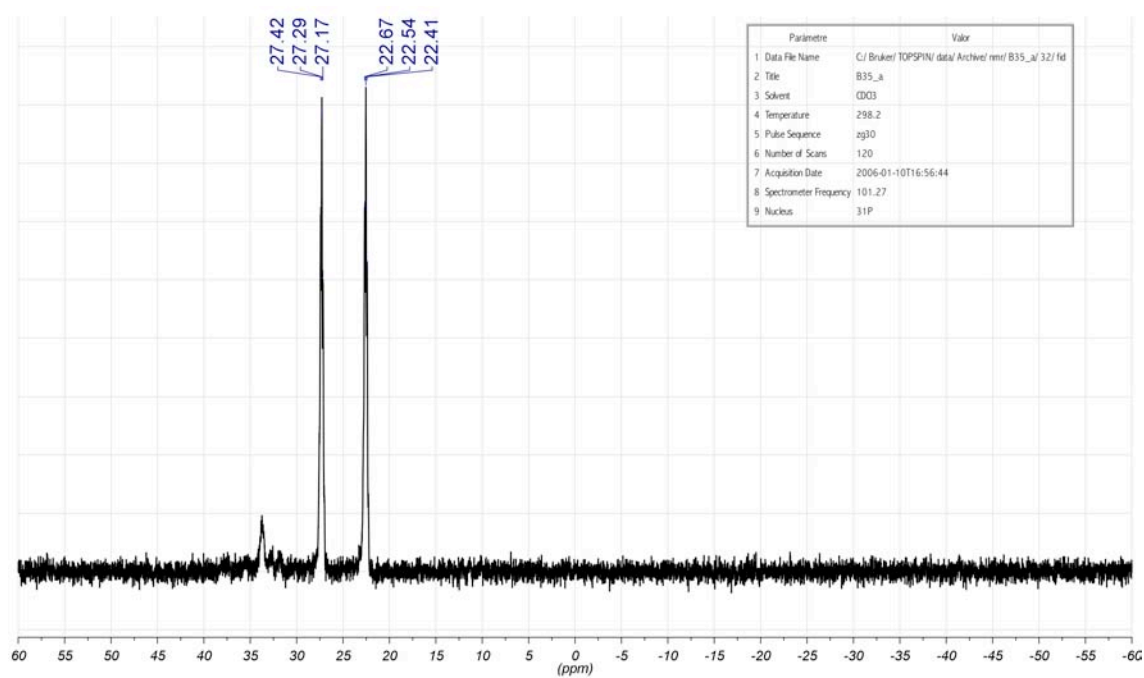
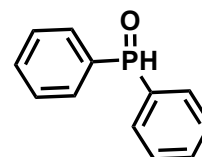
$^{13}\text{C}\{^1\text{H}\}$ RMN (63 MHz, rt, CDCl_3):

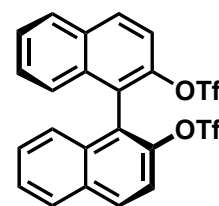
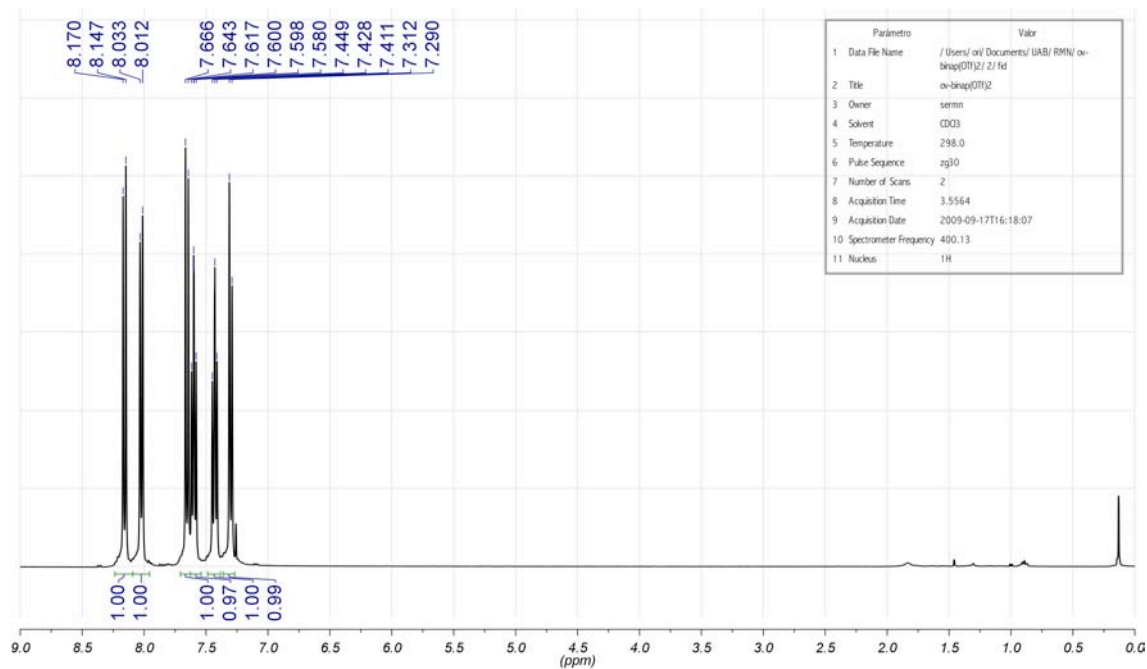
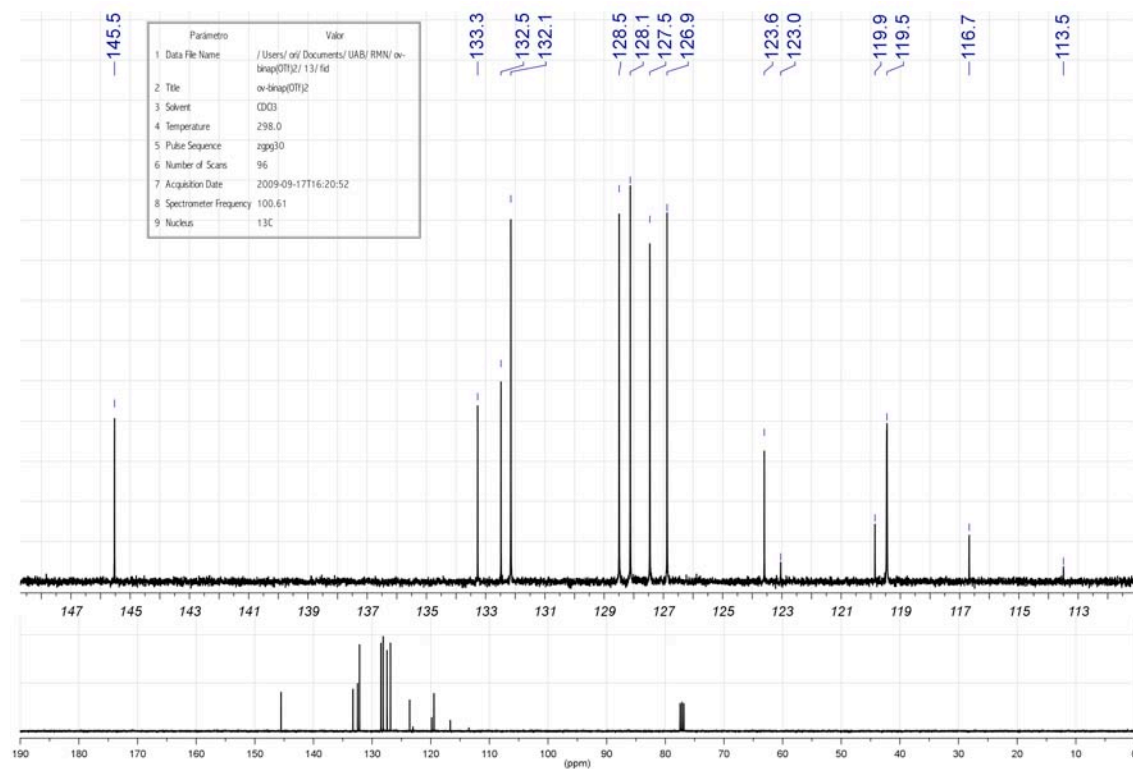


$^{31}\text{P}\{^1\text{H}\}$ RMN (101 MHz, rt, CDCl_3):

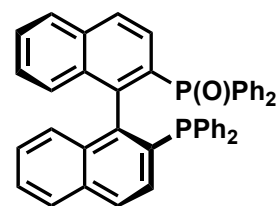


^{31}P RMN (101 MHz, rt, CDCl_3)

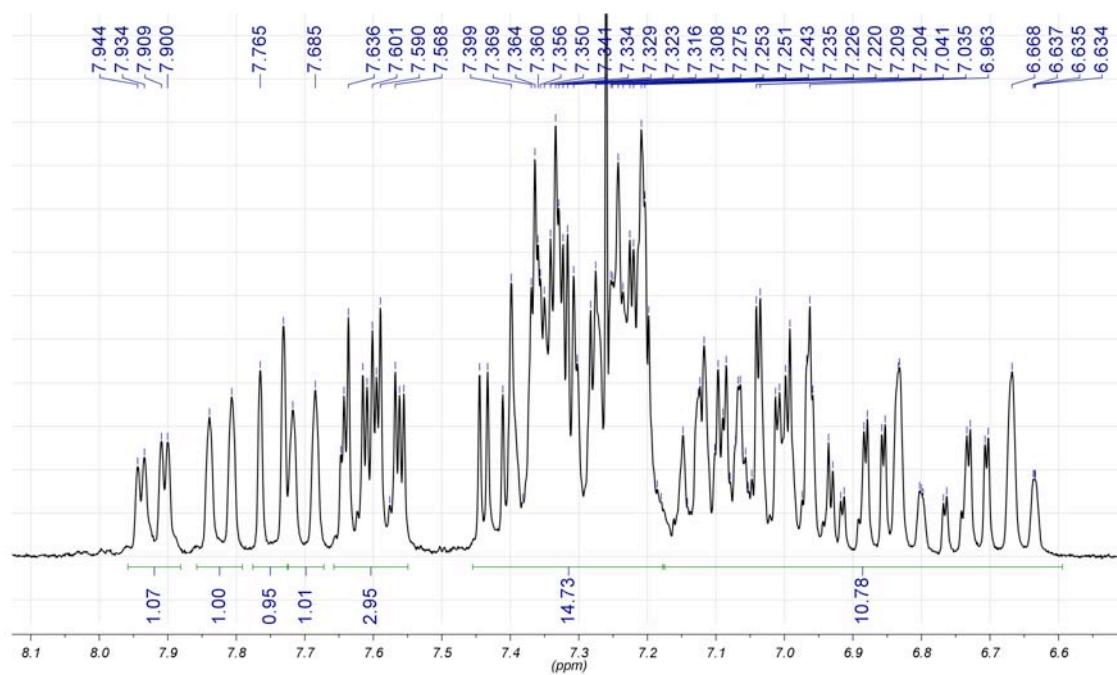
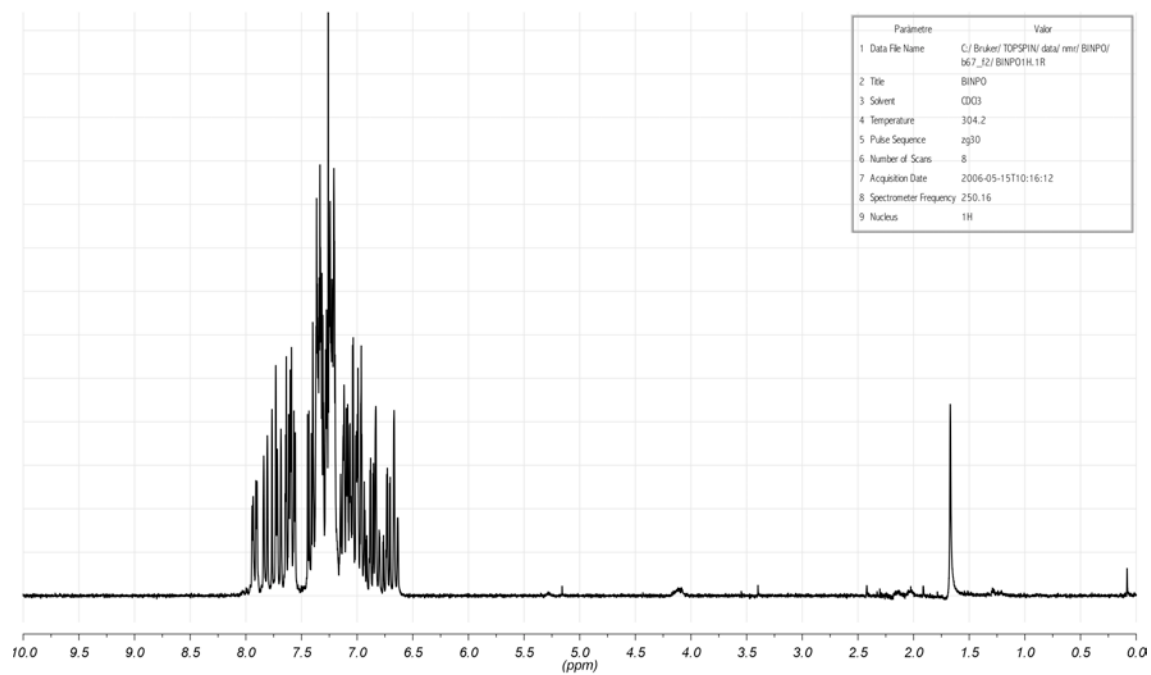


(S)-(-)-2,2'-bis(trifluorometsulfoniloxi)-1,1'-binaftil (I36) ^1H RMN (400 MHz, rt, CDCl_3): $^{13}\text{C}\{^1\text{H}\}$ RMN (101 MHz, rt, CDCl_3):

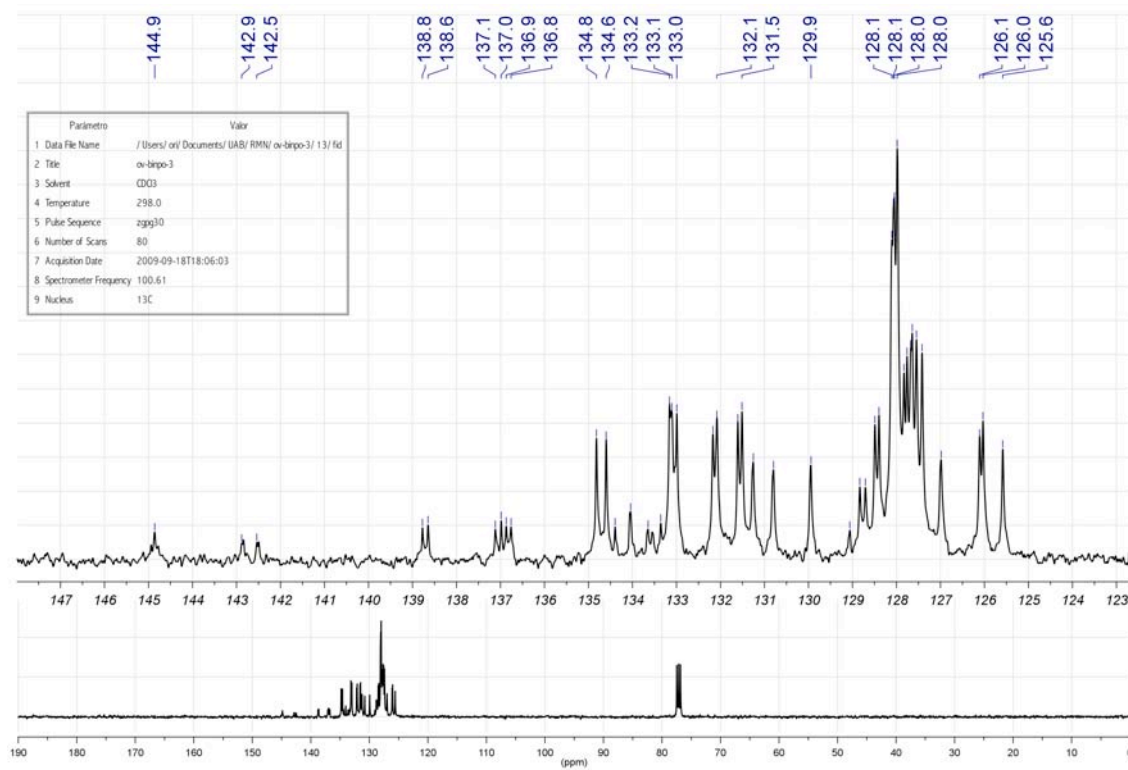
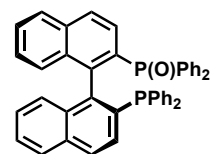
Òxid de (S)-(-)-2-difenilfosfino-2'-difenilfosfinil-1,1'binaftalè (BINPO, L28)



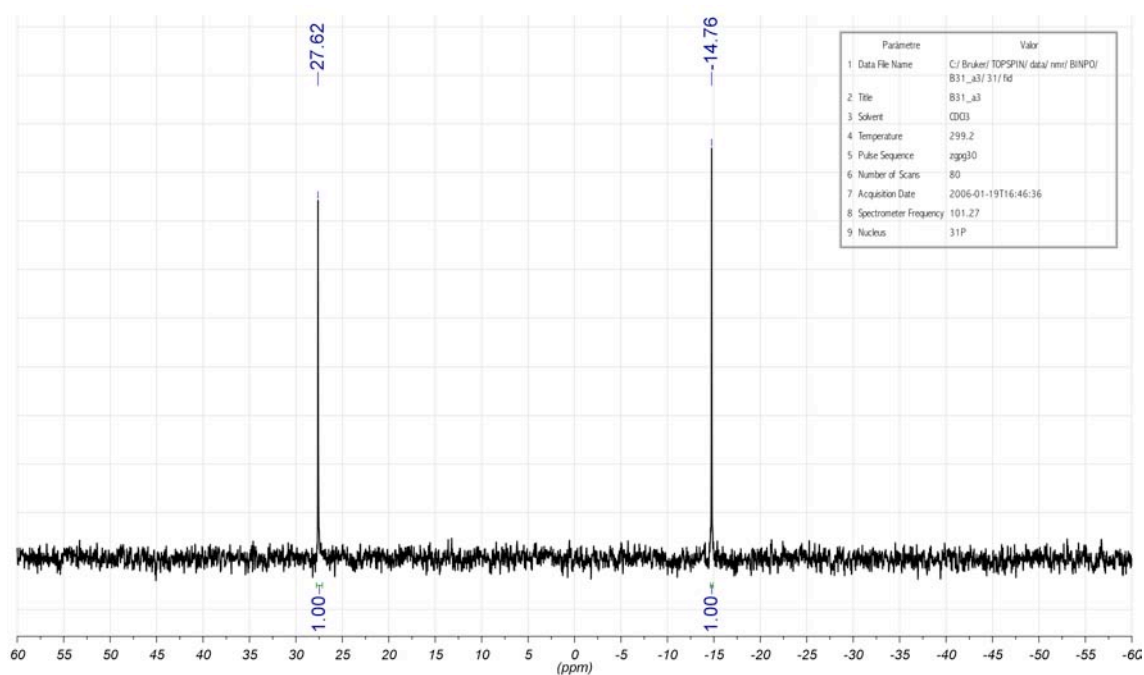
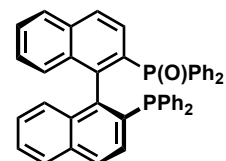
^1H RMN (250 MHz, rt, CDCl_3):



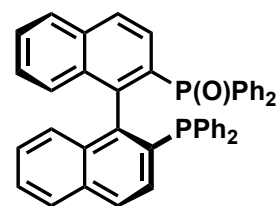
$^{13}\text{C}\{^1\text{H}\}$ RMN (101 MHz, rt, CDCl_3):



$^{31}\text{P}\{^1\text{H}\}$ RMN (101 MHz, rt, CDCl_3):

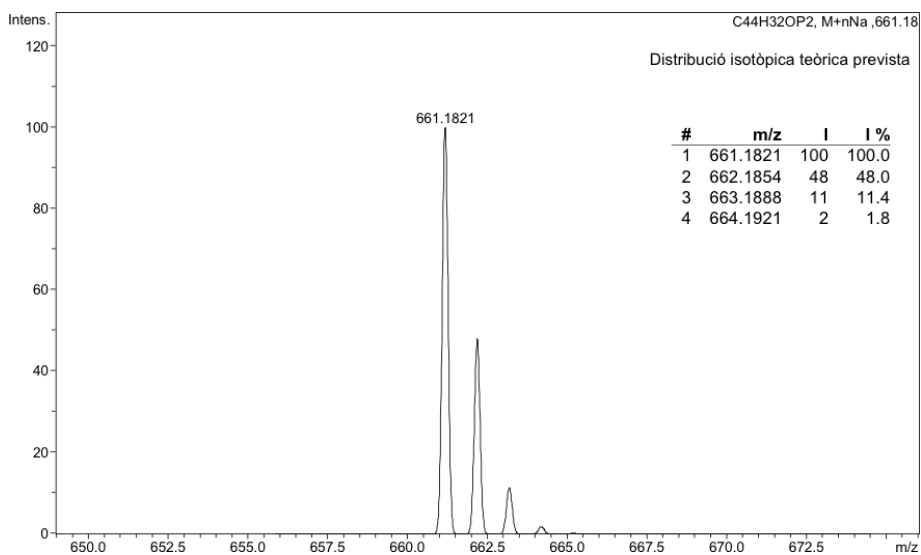
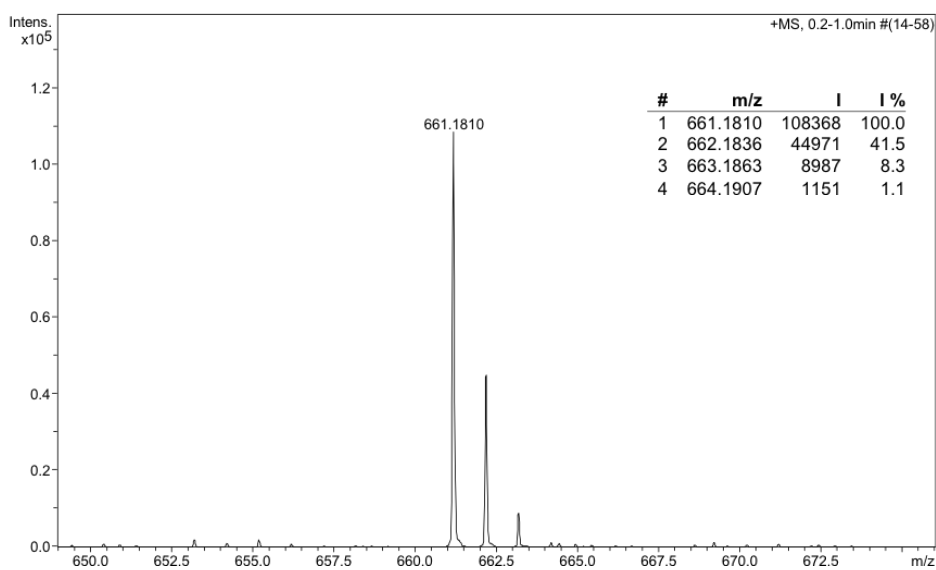


HRMS (ESI+):

**Analysis Info**

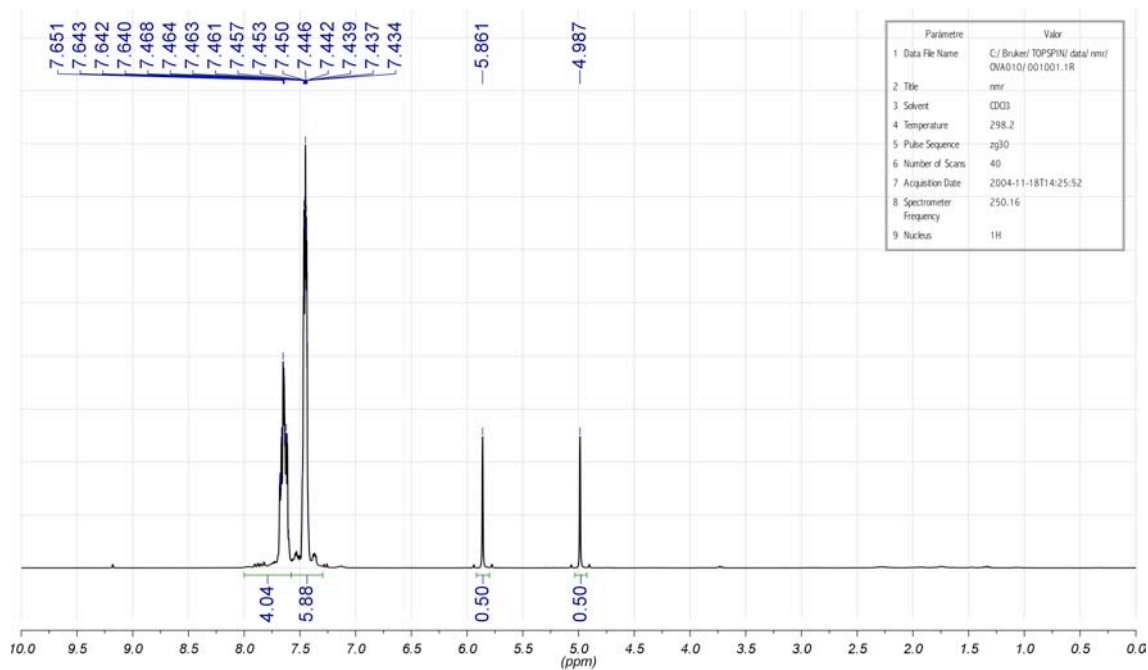
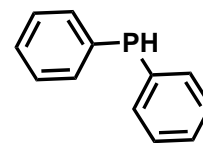
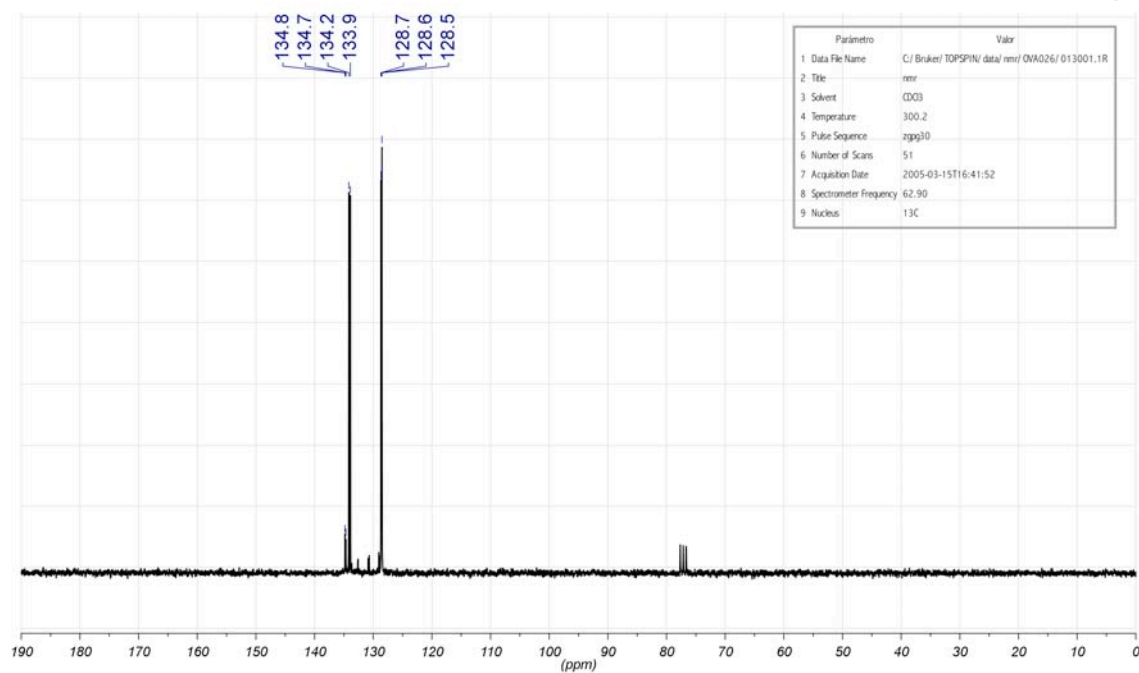
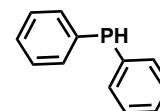
Analysis Name 09EM422-QTOF-pos1-1.d
 Method 09EM422-QTOF-pos1.m
 Sample Name BINPO
 Comment MIE. ESI+. Dó ca 5 ppm en MeOH.
 O. VALLCORBA

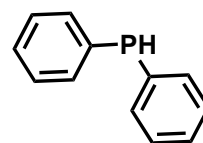
Acquisition Date 17/09/2009 12:08:34
 Operator SAQ
 Instrument micrOTOF-Q



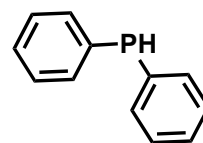
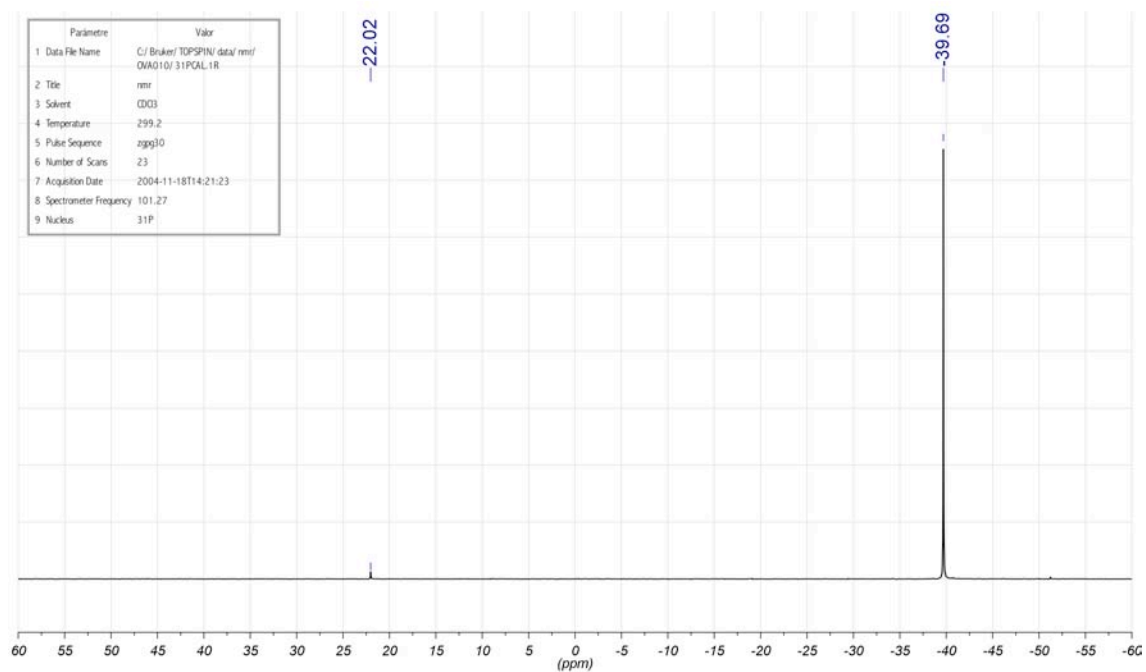
10.2 Síntesi de l'(R)-(+)-Metilbinap (BINAP(Me), L29)

Difenilfosfina (L19)

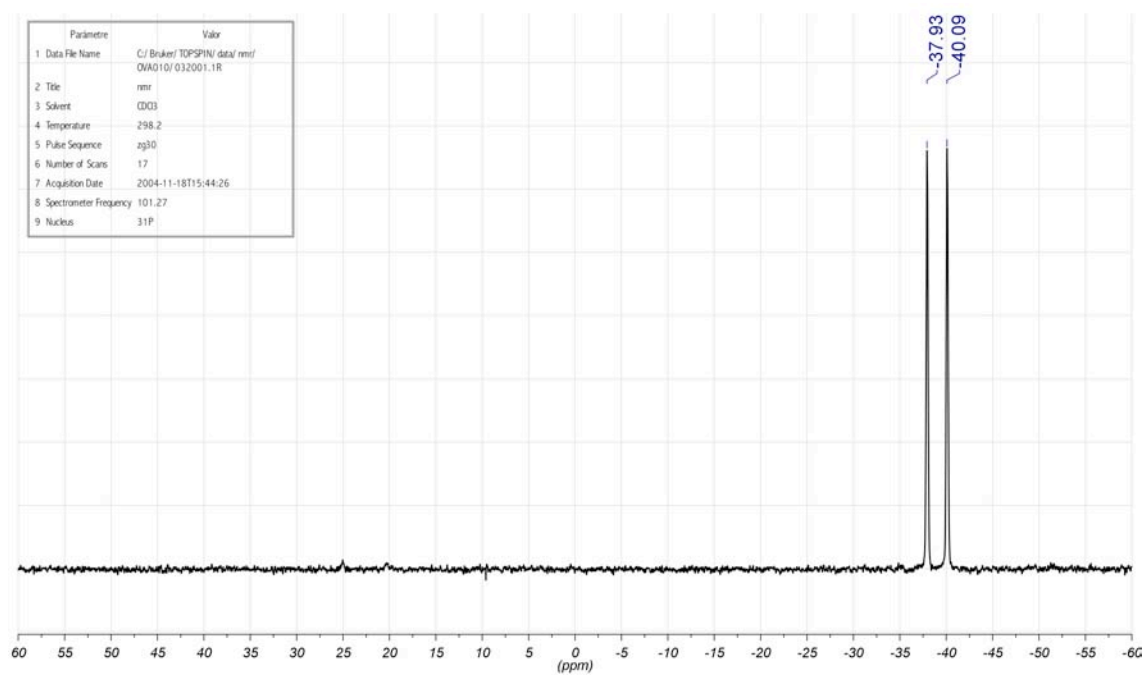
 ^1H RMN (250 MHz, rt, CDCl_3): $^{13}\text{C}\{^1\text{H}\}$ RMN (63 MHz, rt, CDCl_3):

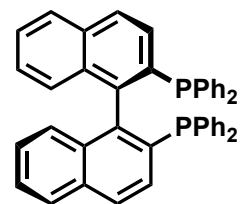
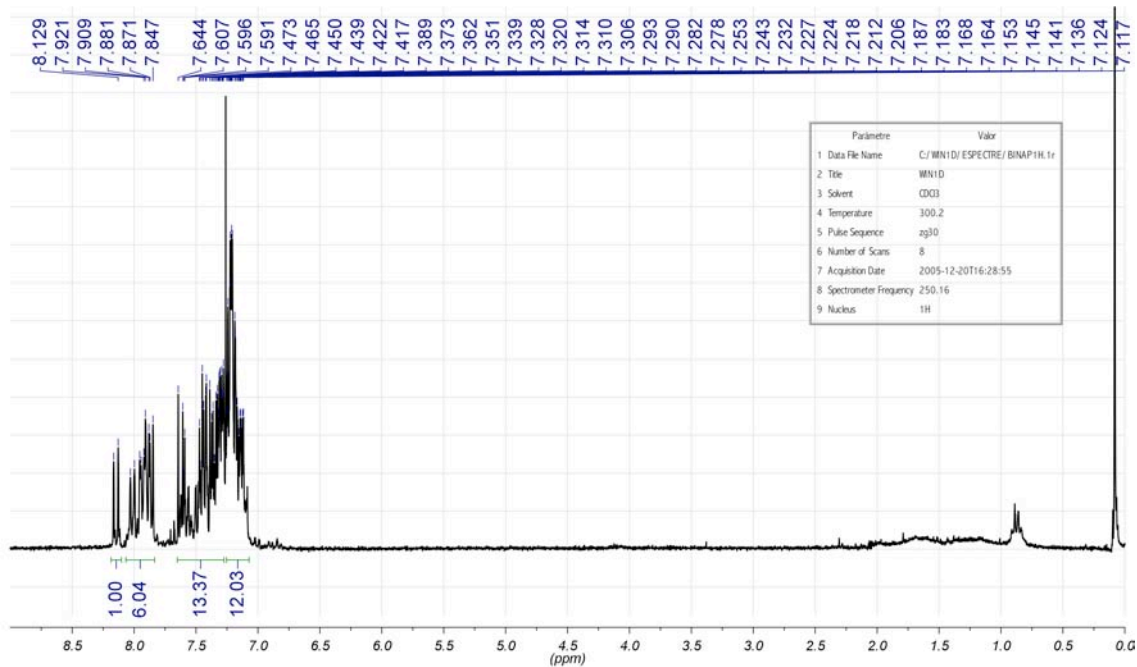
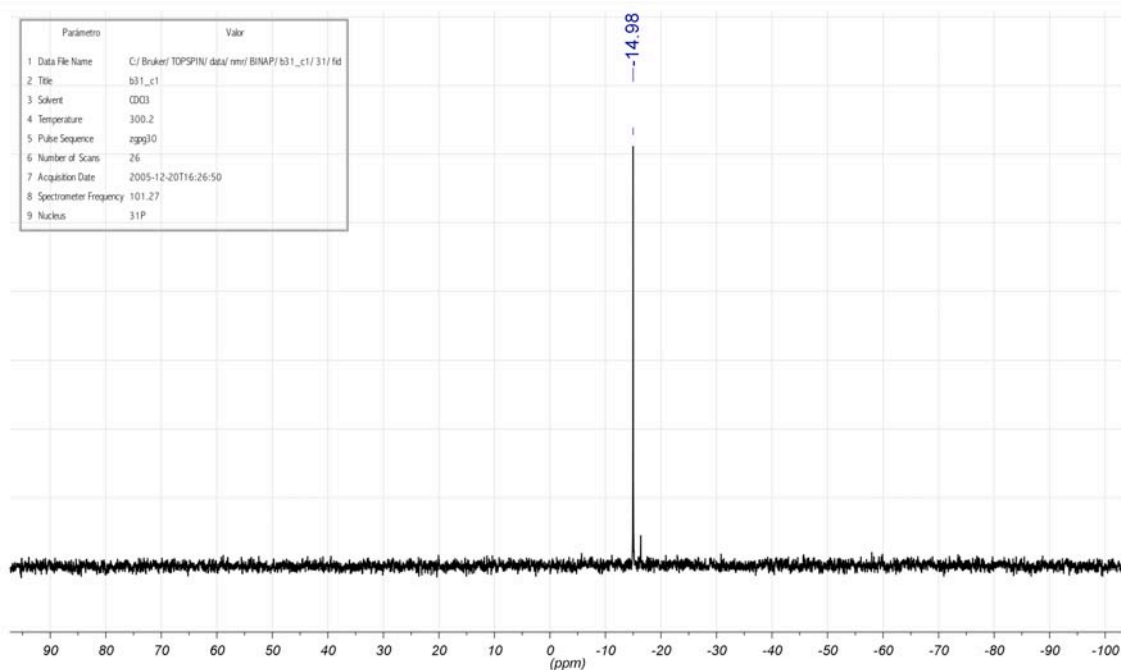


$^{31}\text{P}\{^1\text{H}\}$ RMN (101 MHz, rt, CDCl_3):

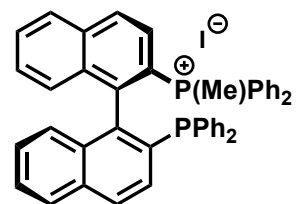
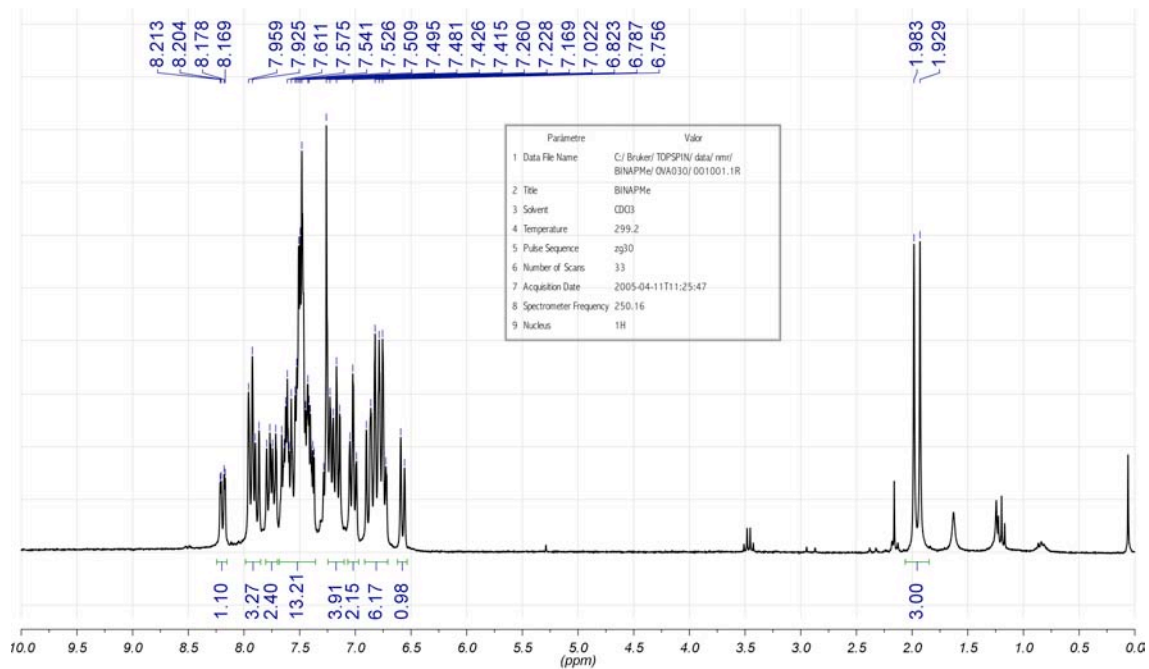
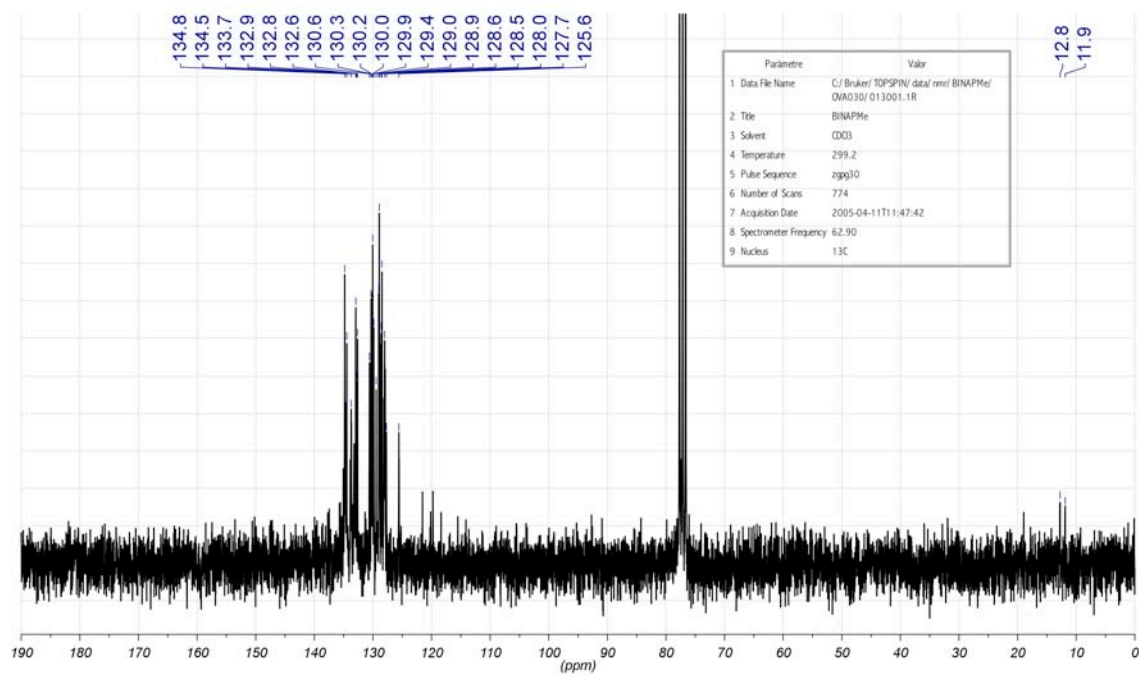


^{31}P RMN (101 MHz, rt, CDCl_3):

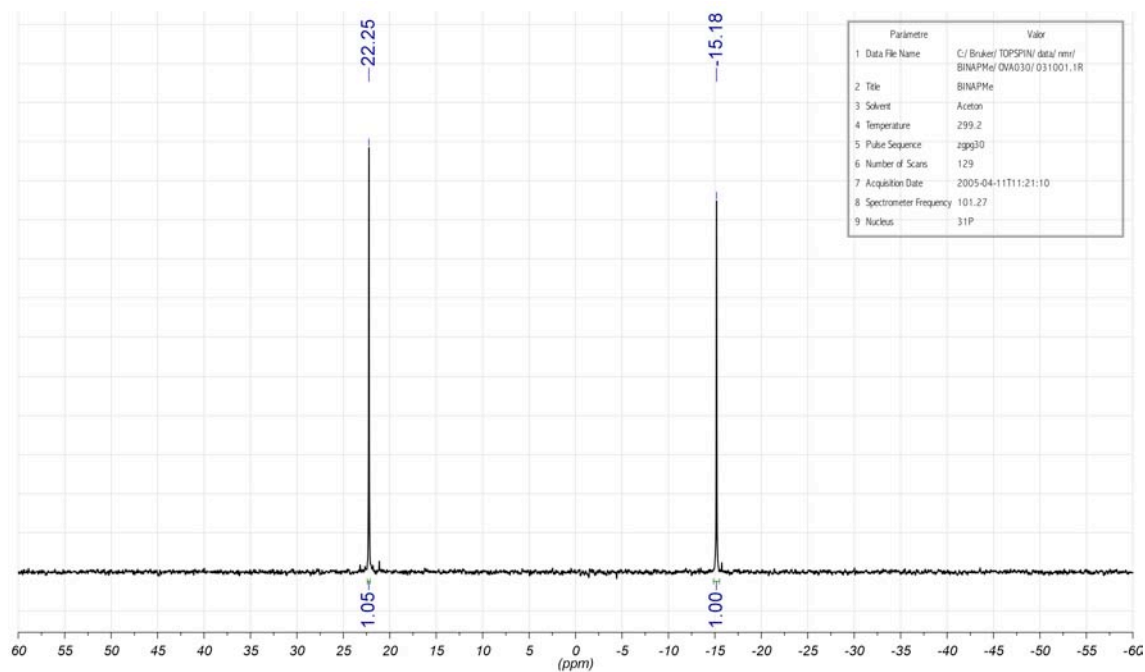
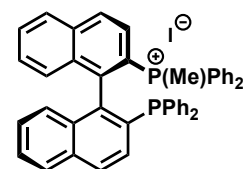


(R)-(+)-2,2'-bis(difenilfosfino)-1,1'-binaftil (BINAP, L18)¹H RMN (250 MHz, rt, CDCl₃):³¹P{¹H} RMN (101 MHz, rt, CDCl₃):

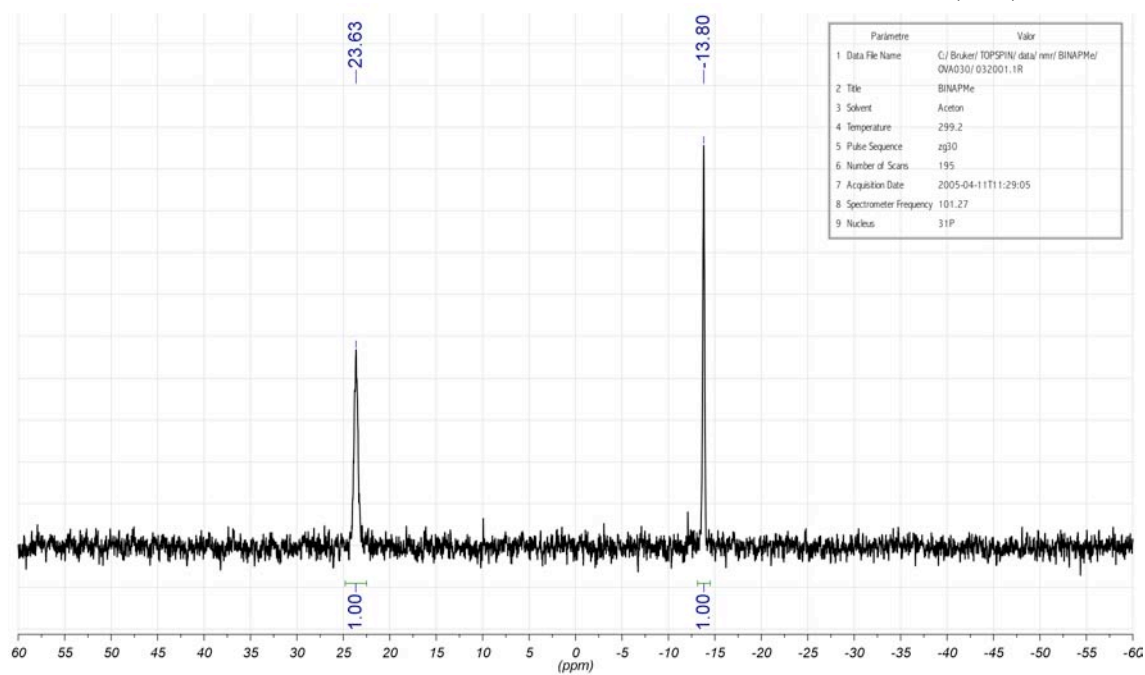
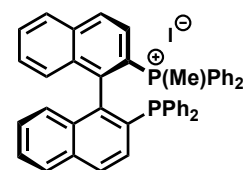
Iodur de (R)-(+)-Metilbinap (BINAP(Me)I, L29a)


 ^1H RMN (250 MHz, rt, CDCl_3):

 $^{13}\text{C}\{^1\text{H}\}$ RMN (63 MHz, rt, CDCl_3):


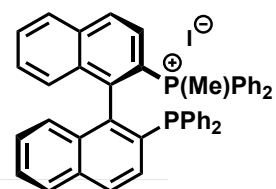
$^{31}\text{P}\{^1\text{H}\}$ RMN (101 MHz, rt, CDCl_3):



^{31}P RMN (101 MHz, rt, CDCl_3):

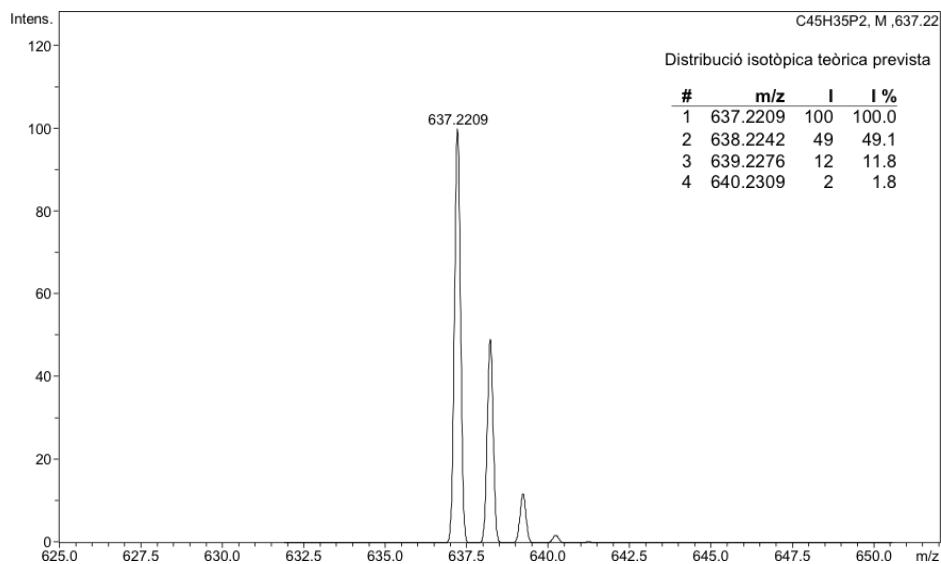
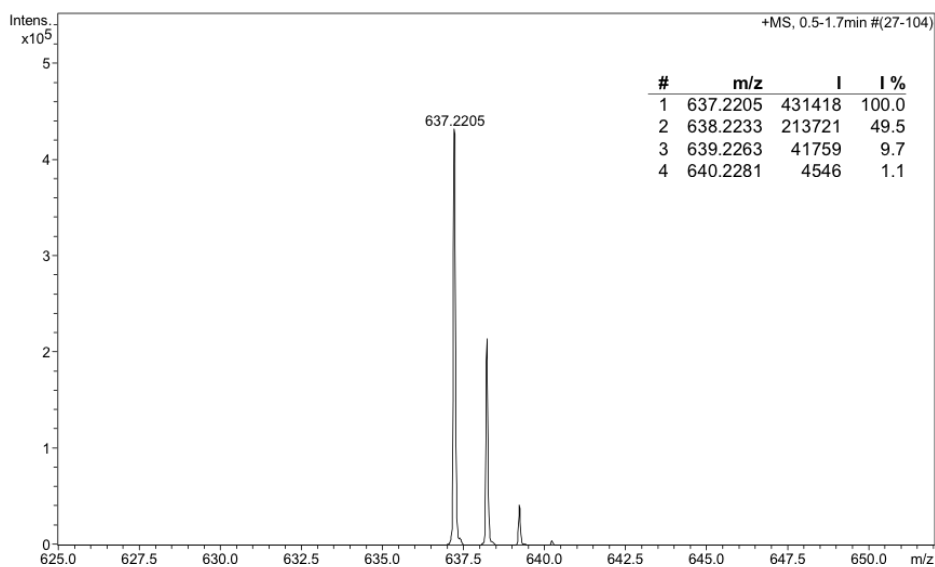


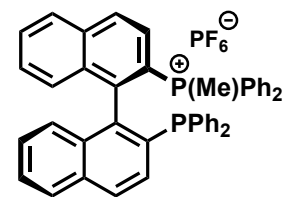
HRMS (ESI+):

**Analysis Info**

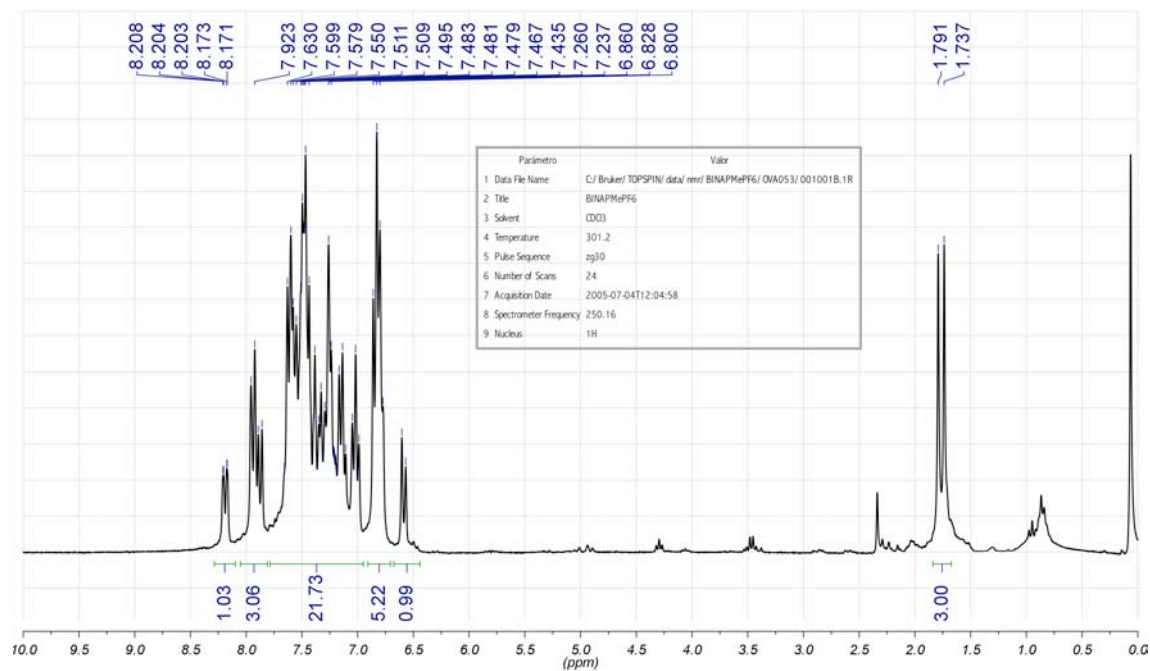
Analysis Name 09EM424-QTOF-pos1-1.d
 Method 09EM424-QTOF-pos1.m
 Sample Name BINAP Me I
 Comment MIE, ESI+. Dó ca 5 ppm en MeOH.
 O. VALLCORBA

Acquisition Date 17/09/2009 11:50:44
 Operator SAQ
 Instrument micrOTOF-Q

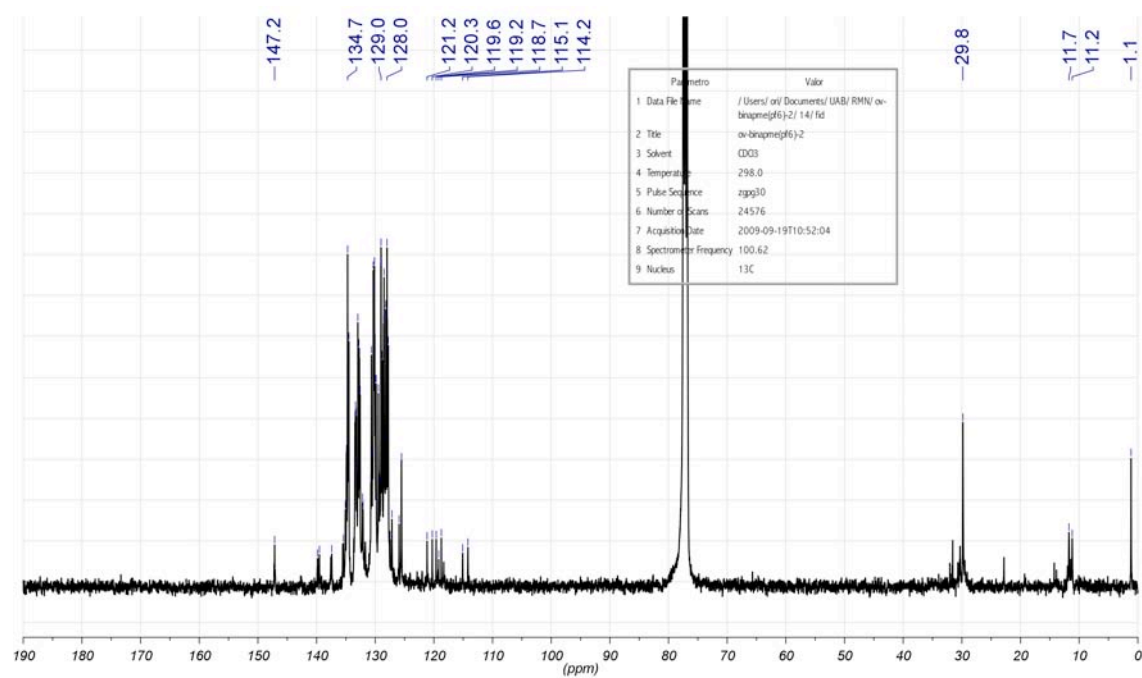


Hexafluorofosfat de (R)-(+)-Metilbinap (BINAP(Me)PF₆, L29b)

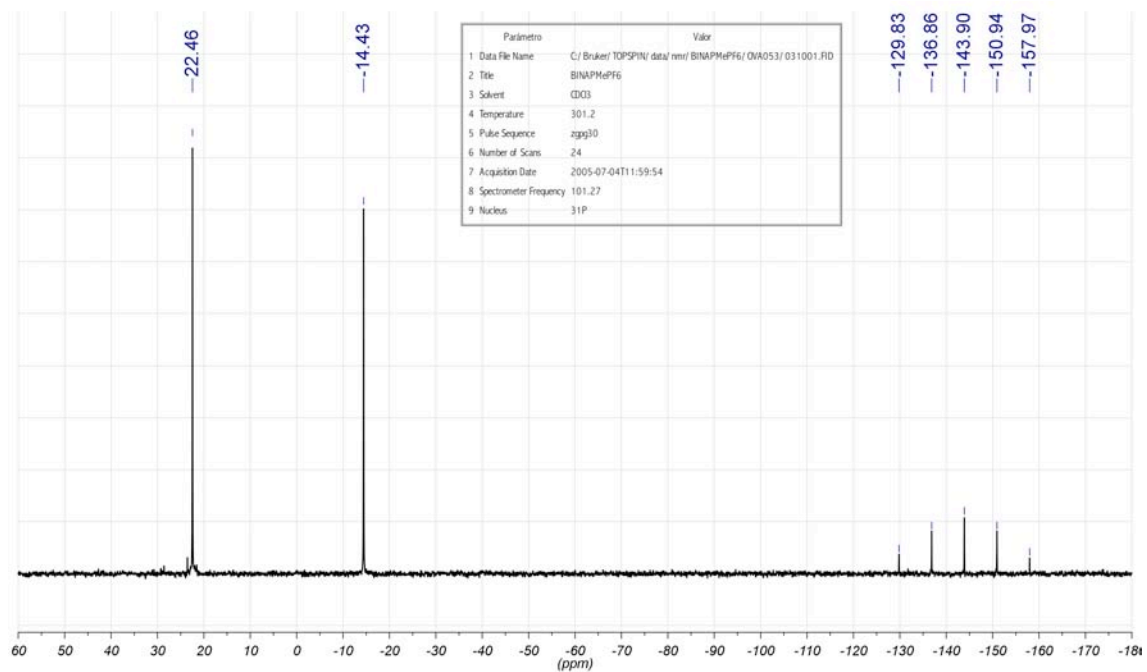
¹H RMN (250 MHz, rt, CDCl₃):



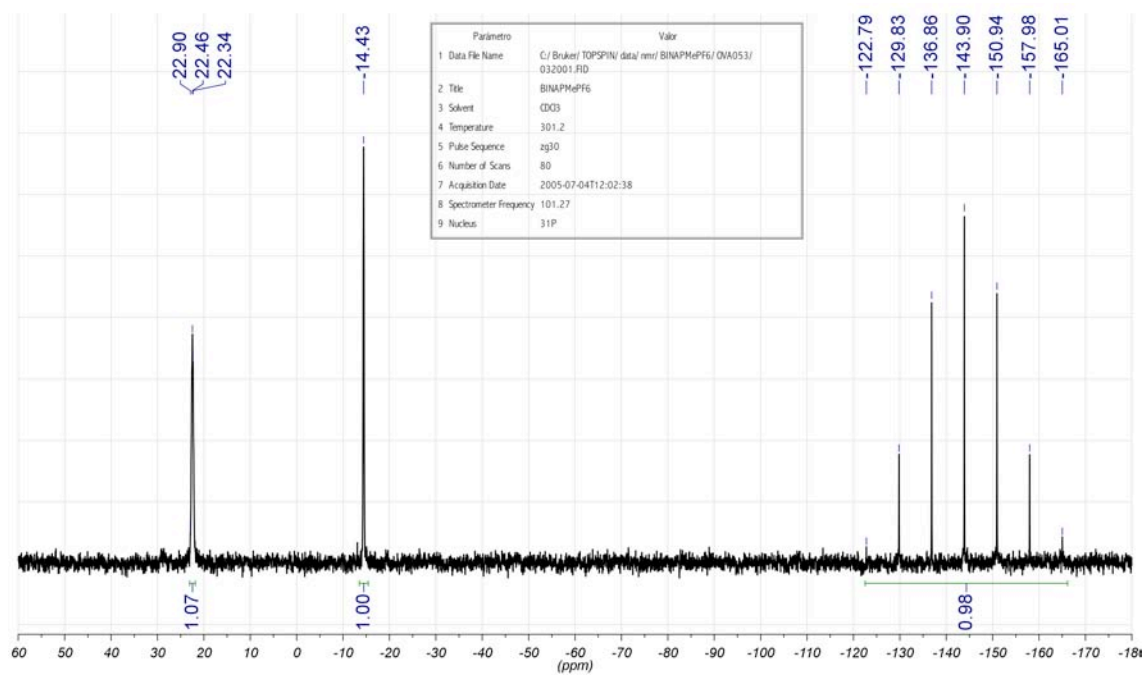
¹³C{¹H} RMN (63 MHz, rt, CDCl₃):



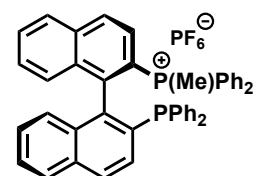
$^{31}\text{P}\{^1\text{H}\}$ RMN (101 MHz, rt, CDCl_3):



^{31}P RMN (101 MHz, rt, CDCl_3):



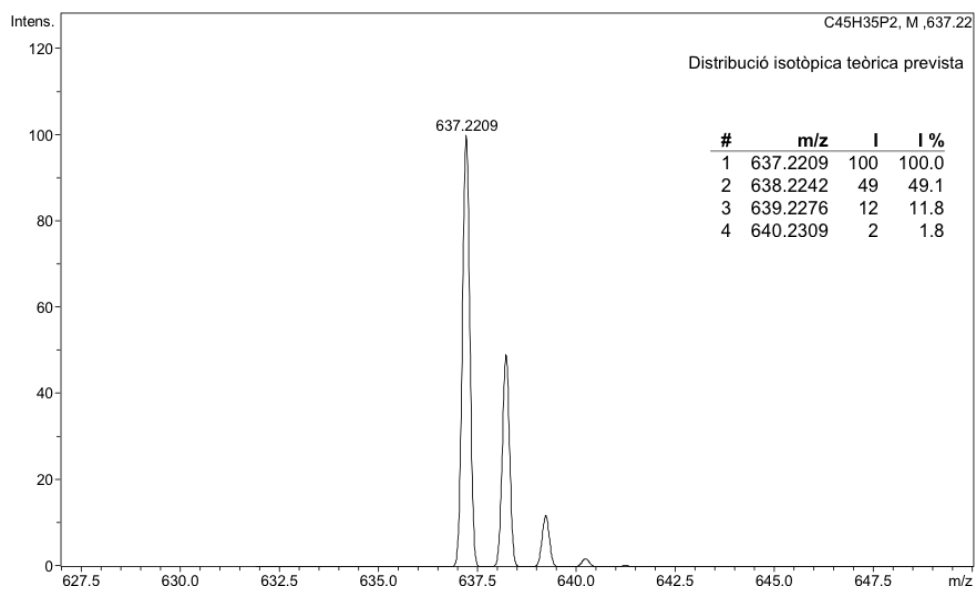
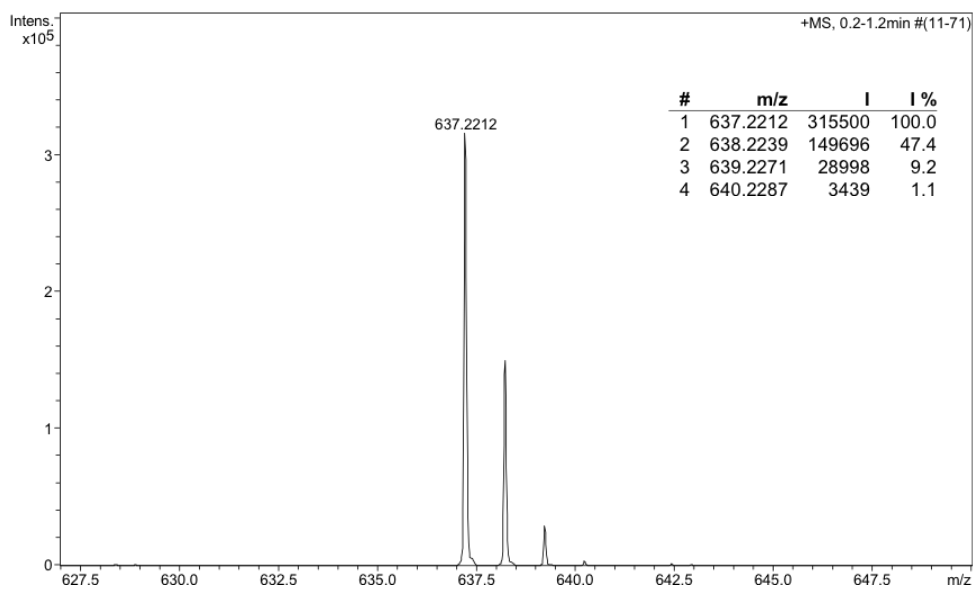
HRMS (ESI+):



Analysis Info

Analysis Name 09EM423-QTOF-pos1-1.d
 Method 09EM423-QTOF-pos1.m
 Sample Name BINAP Me PF
 Comment MIE. ESI+. Dó ca 5 ppm en MeOH.
 O. VALLCORBA

Acquisition Date 17/09/2009 12:23:20
 Operator SAQ
 Instrument micrOTOF-Q

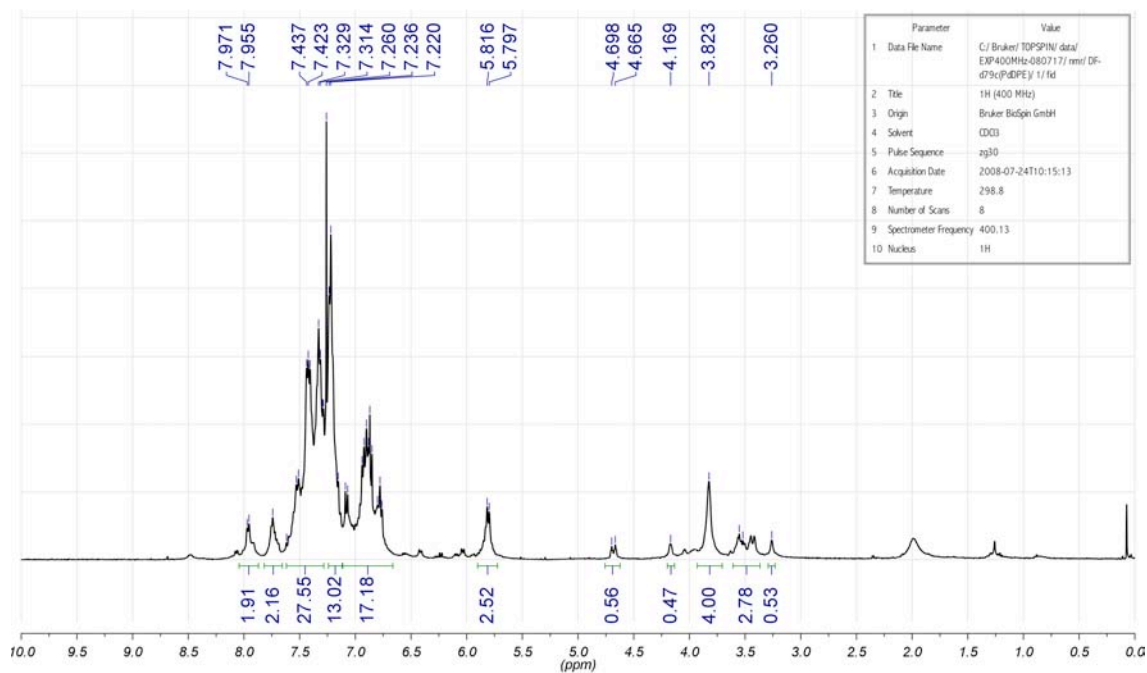
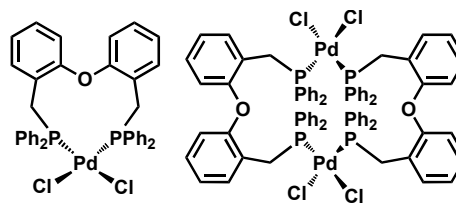


11 Caracterització dels complexos metàl·lics

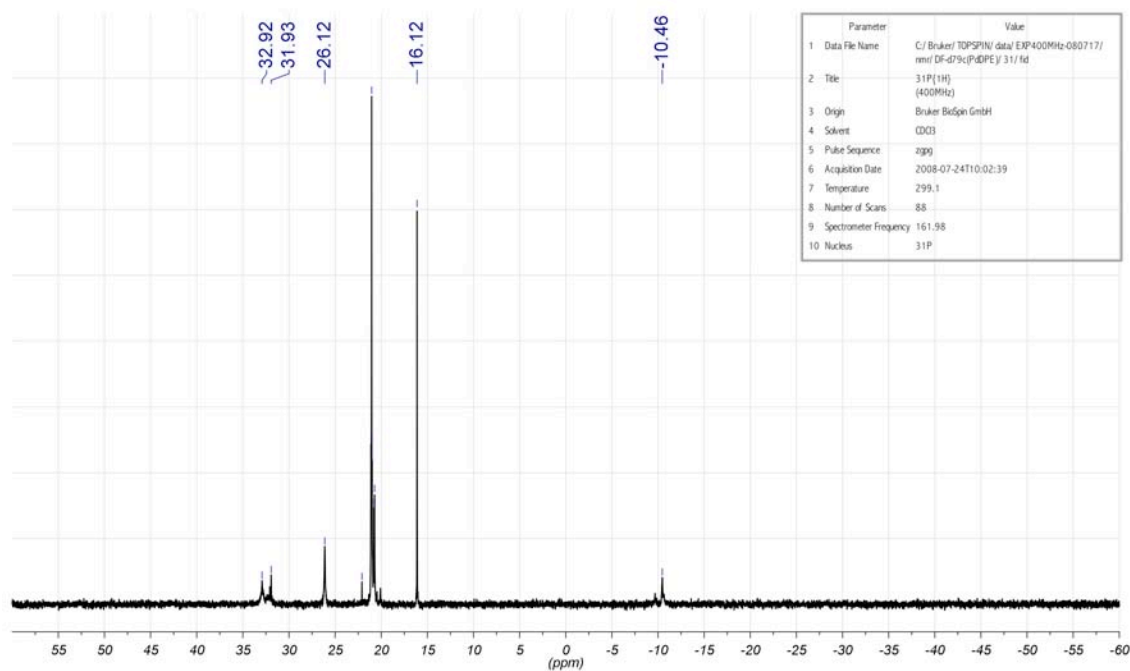
11.1 DPEMephos amb Pd i Pt

$[PdCl_2(DPEMephos)]$ (C32)

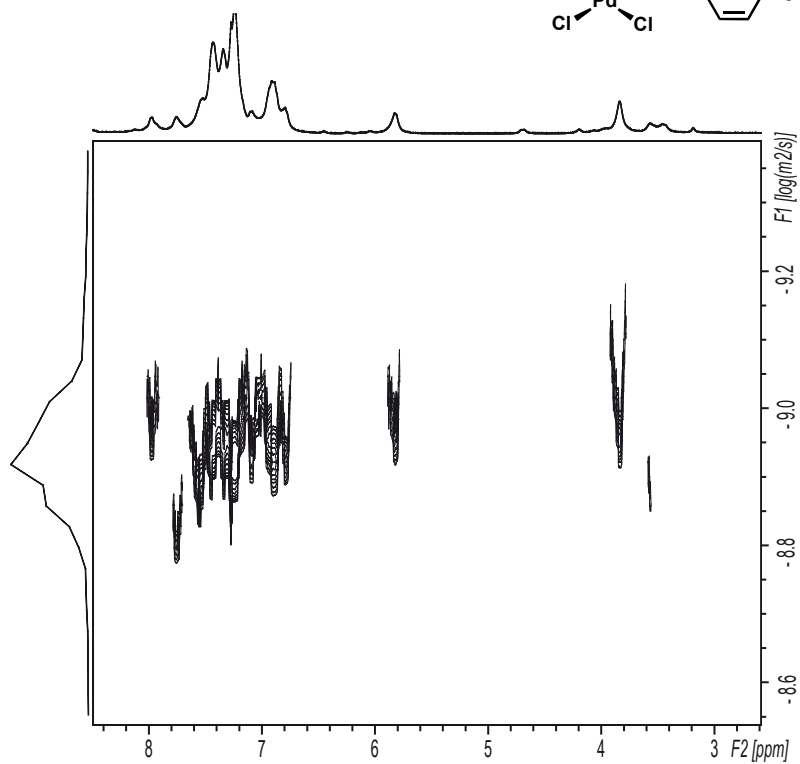
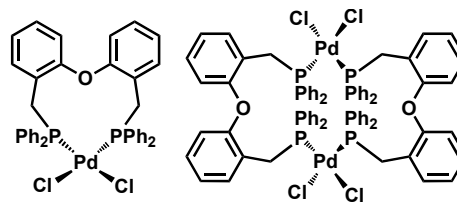
1H RMN (400 MHz, rt, $CDCl_3$):



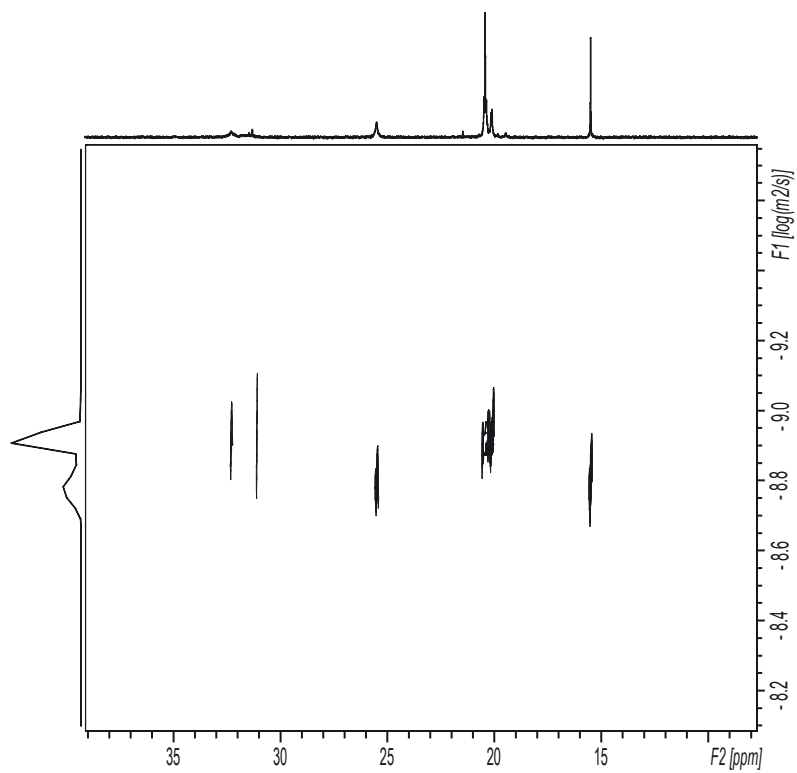
$^{31}P\{^1H\}$ RMN (101 MHz, rt, $CDCl_3$):



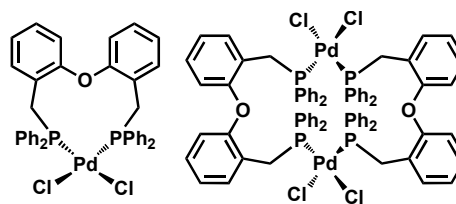
^1H DOSY PFG-RMN (400 MHz, rt, CDCl_3):



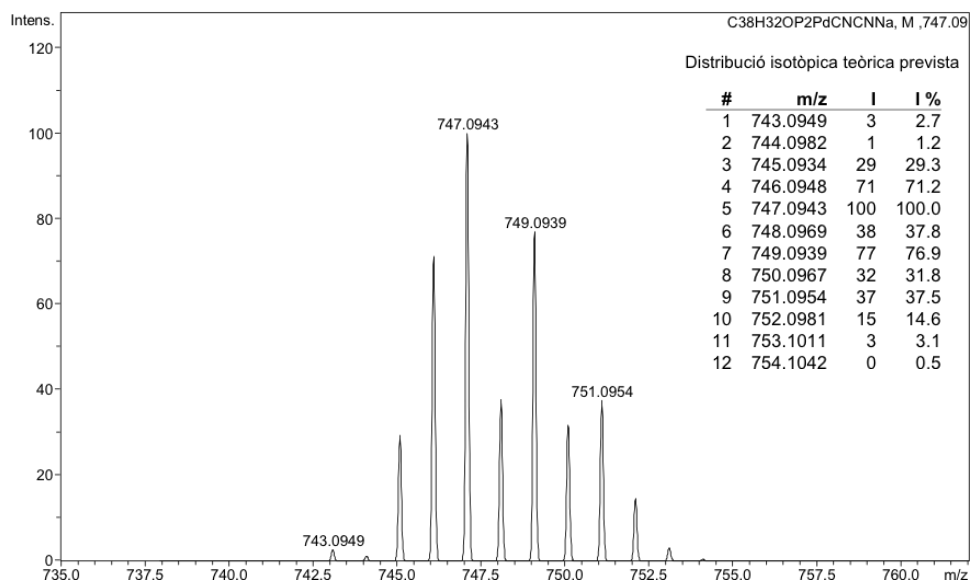
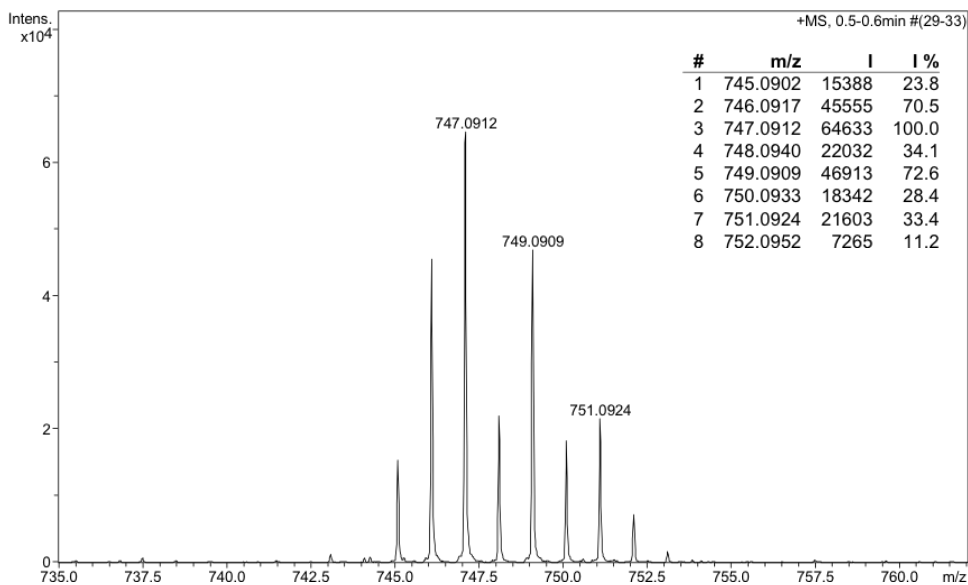
$^{31}\text{P}\{^1\text{H}\}$ DOSY PFG-RMN (101 MHz, rt, CDCl_3):

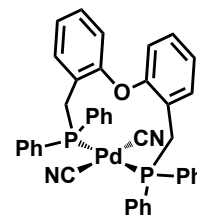
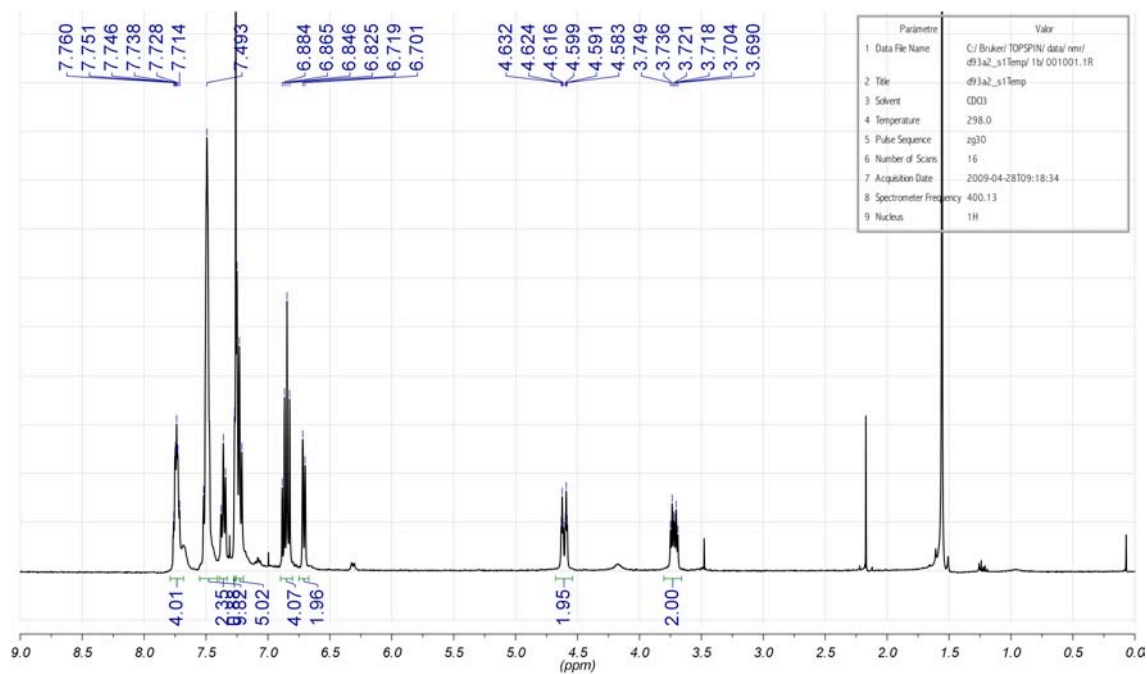
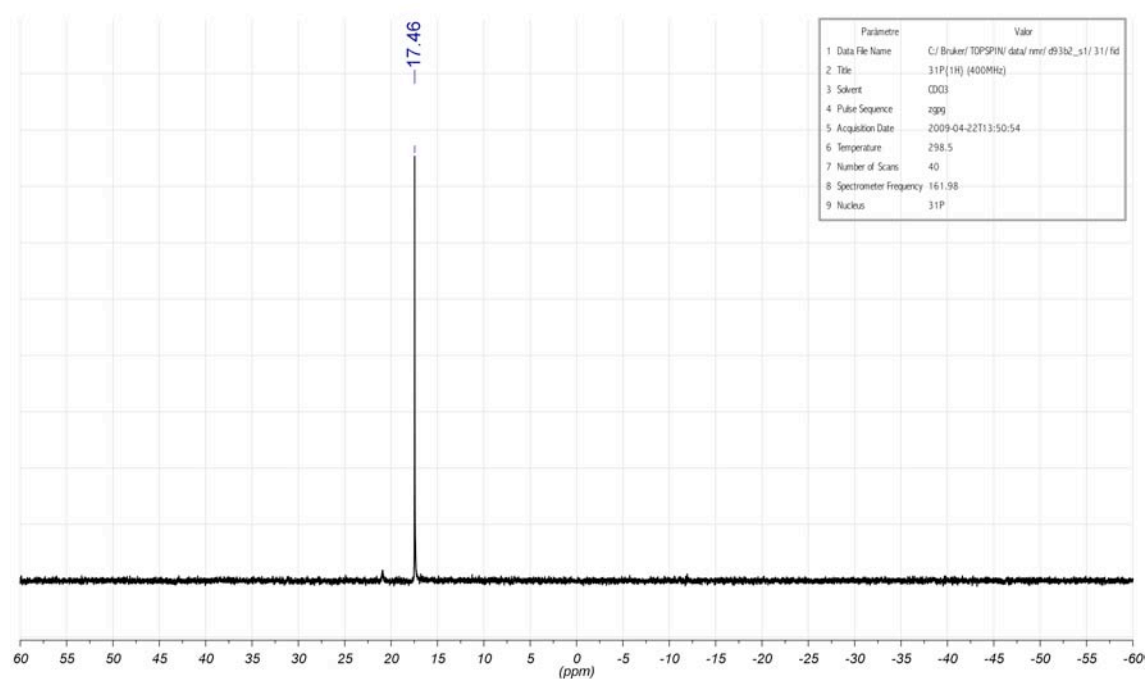


HRMS (ESI+):

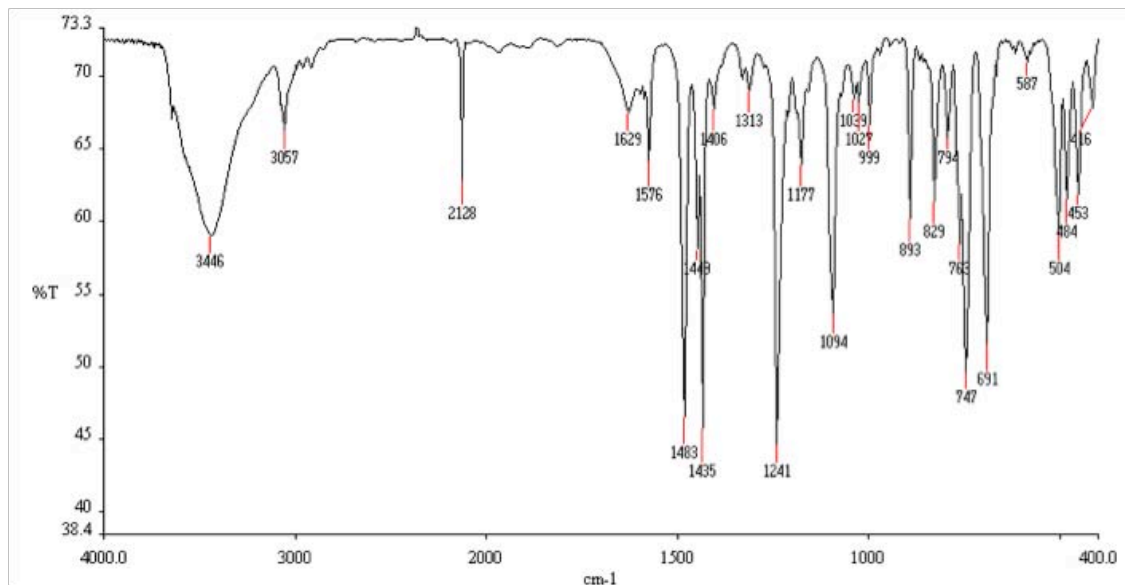
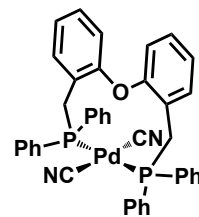
**Analysis Info**

Analysis Name d57aPd (8EM-147)_1-B,1_01_250.d Acquisition Date 27/05/2008 10:51:41
 Method ESImpos250-1300_FI-HS_MeCN_27-5-08.m Operator SAQ
 Sample Name d57aPd (8EM-147) Instrument micrOTOF-Q
 Comment ESI+. AER. Dó ca 2 ppm en MeCN. // O. VALLCORBA.

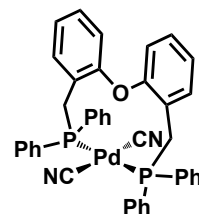


[Pd(CN)₂(DPEMephos)] (C34)¹H RMN (400 MHz, rt, CDCl₃):³¹P{¹H} RMN (101 MHz, rt, CDCl₃):

IR (KBr):



HRMS (ESI+):

**Analysis Info**

Analysis Name 09EM211-QTOF-pos1-1.d

Acquisition Date 08/05/2009 12:50:43

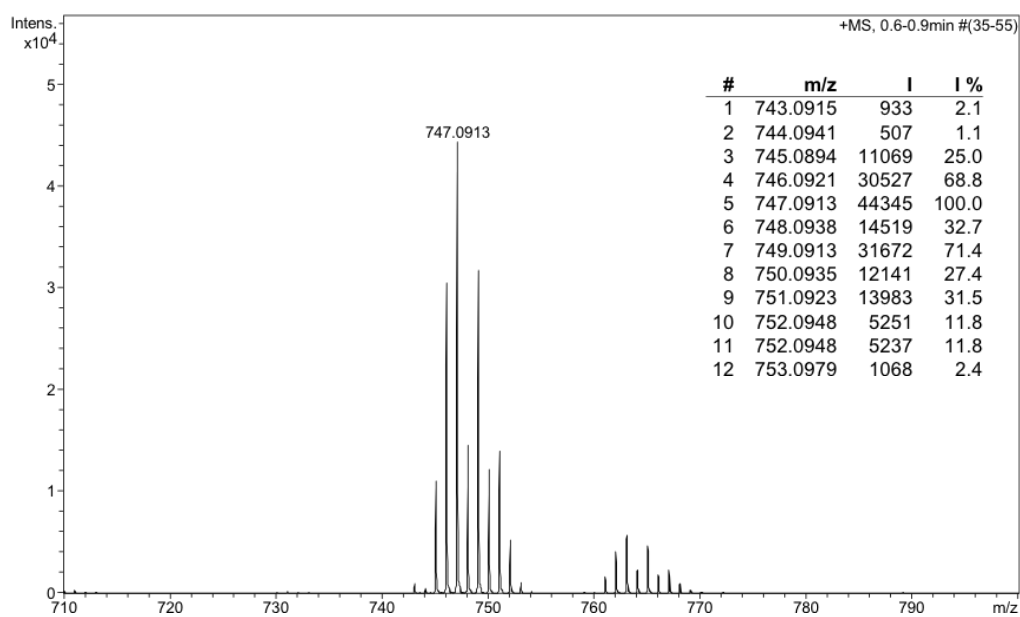
Method 09EM211-QTOF-pos1.m

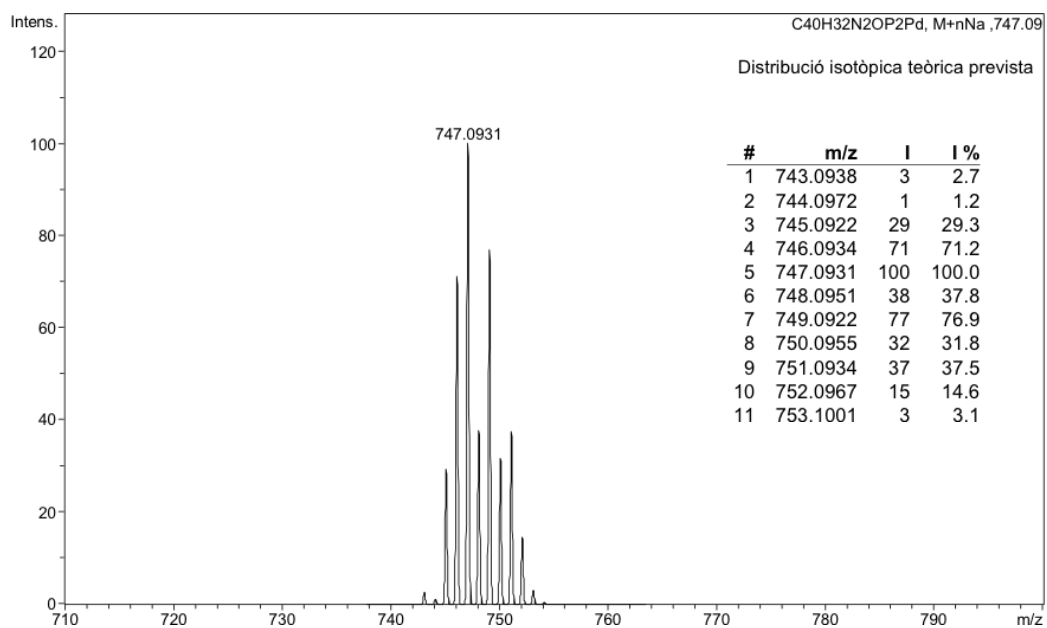
Operator SAQ

Sample Name d93b2

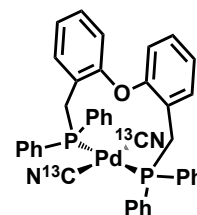
Instrument micrOTOF-Q

Comment MIE // ESI+ // Dó en CH2Cl2:MeOH (1:5) // ORIOL VALLCORBA

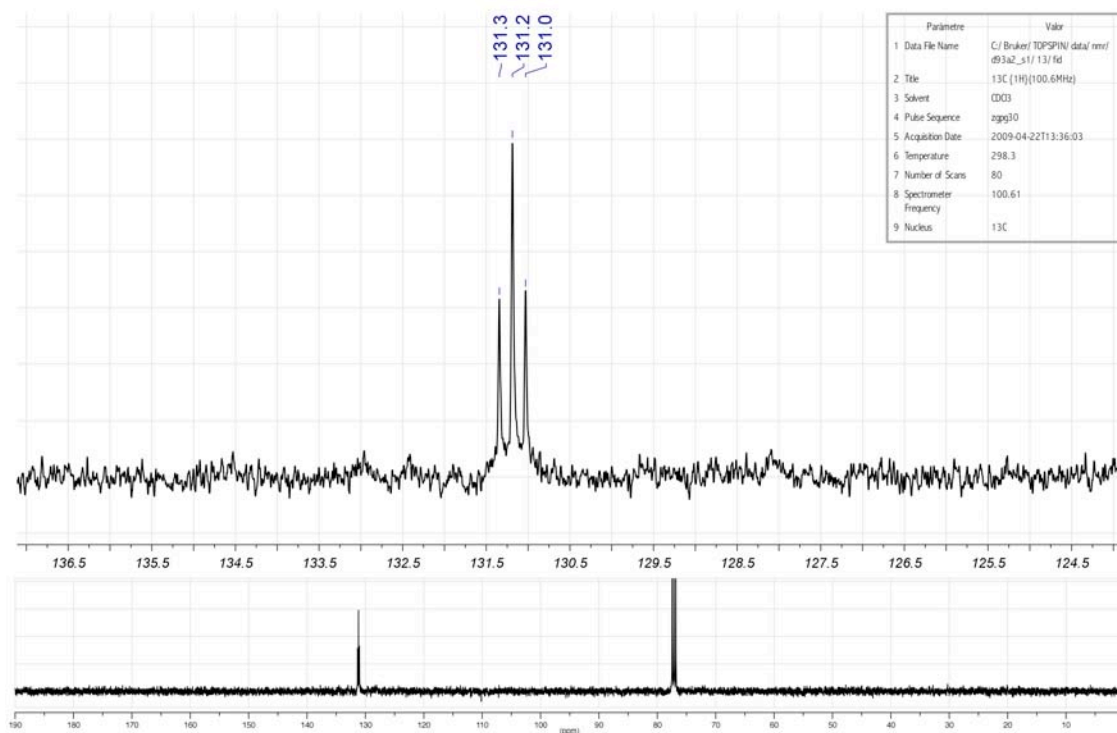




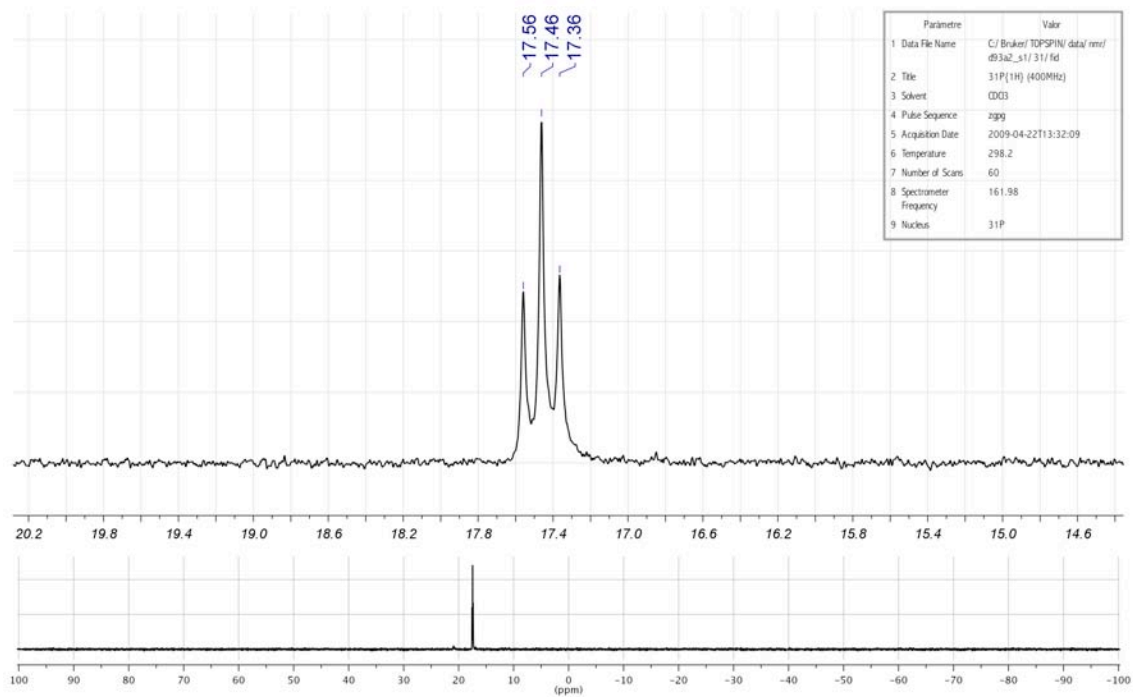
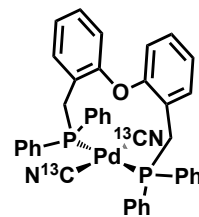
[Pd(¹³CN)₂(DPEMephos)] (C34m)



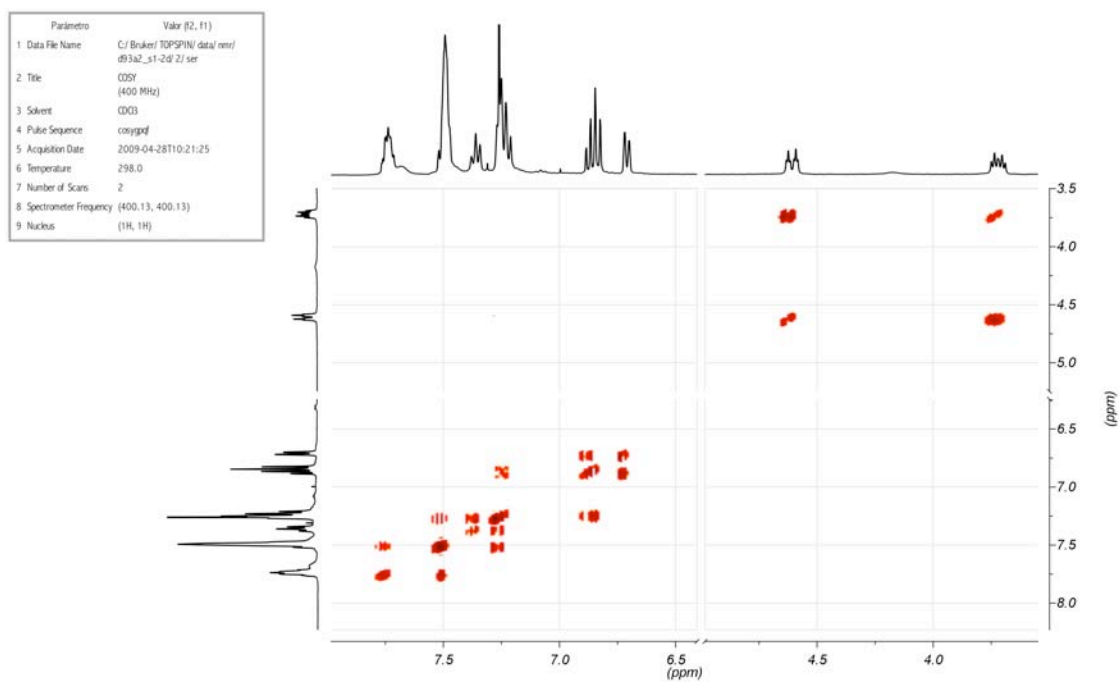
¹³C{¹H} RMN (63 MHz, rt, CDCl₃):



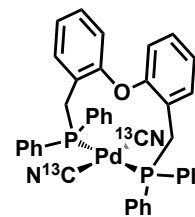
$^{31}\text{P}\{^1\text{H}\}$ RMN (101 MHz, rt, CDCl_3):



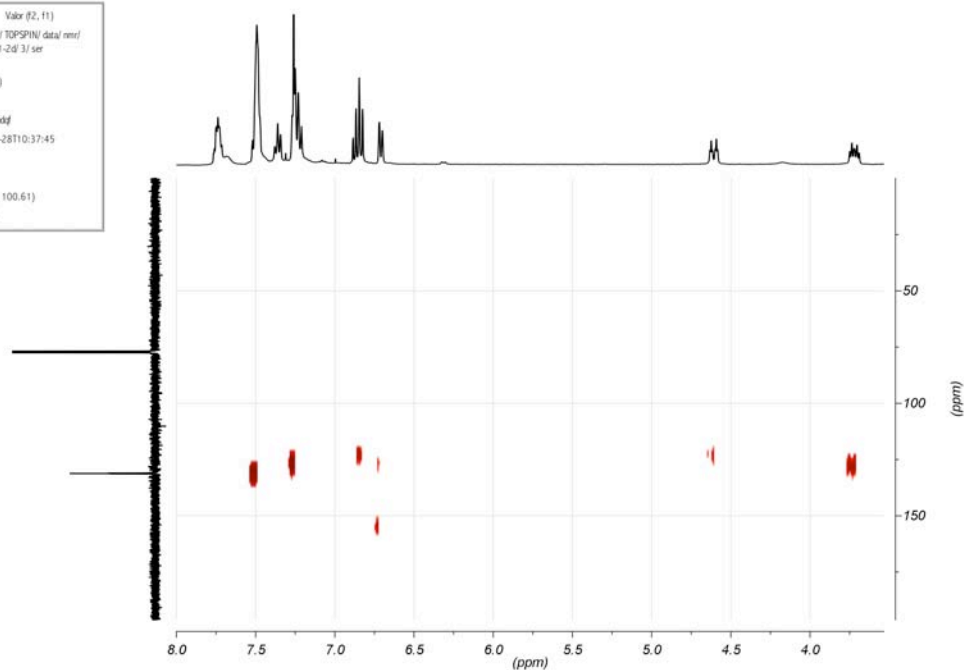
Espectre de correlació ^1H - ^1H (COSY):



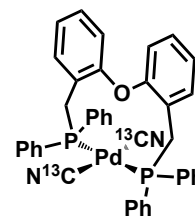
Espectre de correlació ^1H - ^{13}C (HMBC):



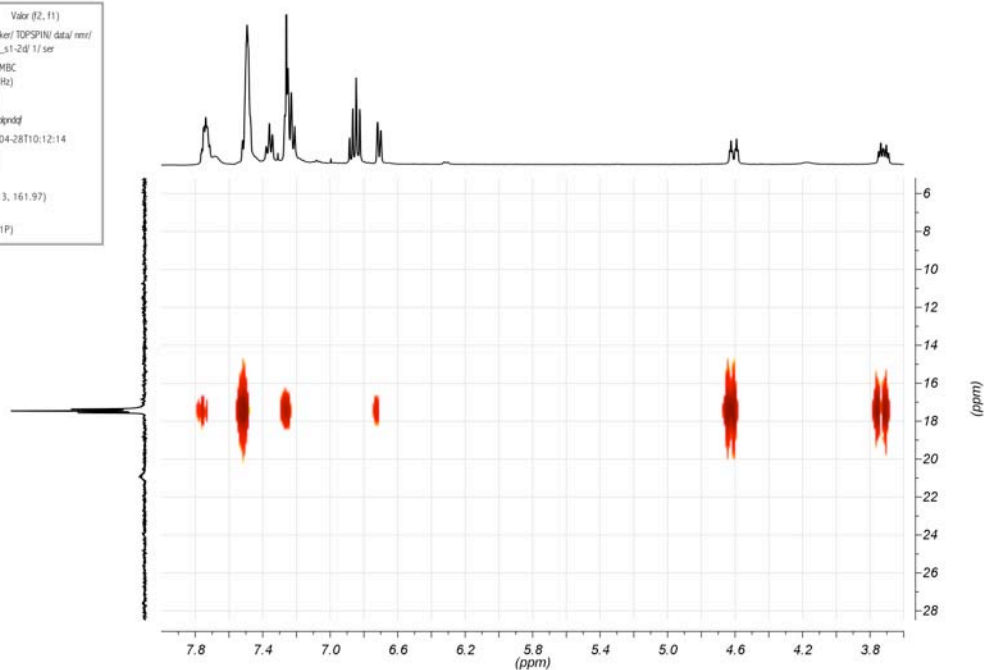
Paràmetre	Valor (f2, f1)
1 Data File Name	C:/Bruker/ TOPSPIN/ data/ nmr/ d93a2_s1-2d' 3/ ser
2 Title	HMBC (400MHz)
3 Solvent	CDCl ₃
4 Pulse Sequence	hmbcgpndf
5 Acquisition Date	2009-04-28T10:37:45
6 Temperature	298.0
7 Number of Scans	4
8 Spectrometer Frequency	(400.13, 100.61)
9 Nucleus	(1H, 13C)



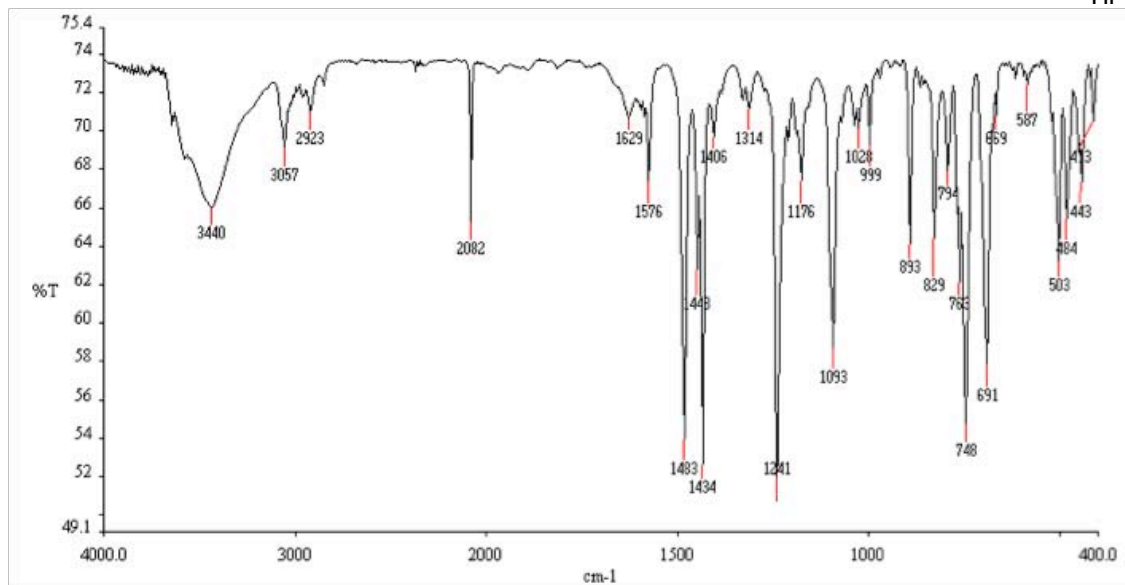
Espectre de correlació ^1H - ^{31}P (HMBC):



Paràmetre	Valor (f2, f1)
1 Data File Name	C:/Bruker/ TOPSPIN/ data/ nmr/ d93a2_s1-2d' 1/ ser
2 Title	^{31}P HMBC (400MHz)
3 Solvent	CDCl ₃
4 Pulse Sequence	hmbcgpndf
5 Acquisition Date	2009-04-28T10:12:14
6 Temperature	297.9
7 Number of Scans	4
8 Spectrometer Frequency	(400.13, 161.97)
9 Nucleus	(1H, ^{31}P)



IR (KBr):



HRMS (ESI+):

Analysis Info

Analysis Name 09EM210-QTOF-pos1-1.d

Method 09EM210-QTOF-pos1.m

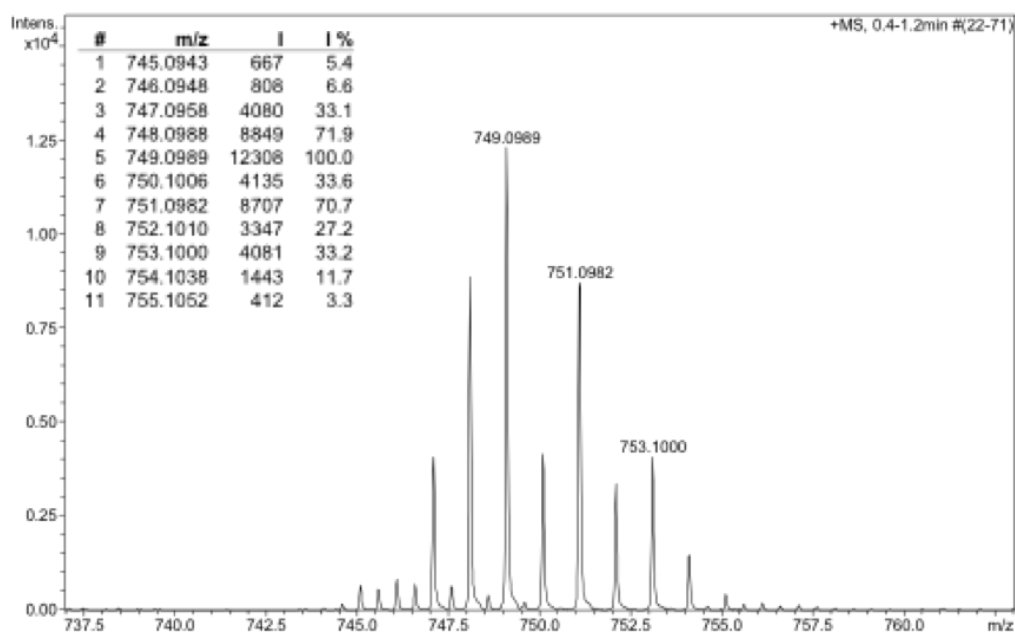
Sample Name d93a2

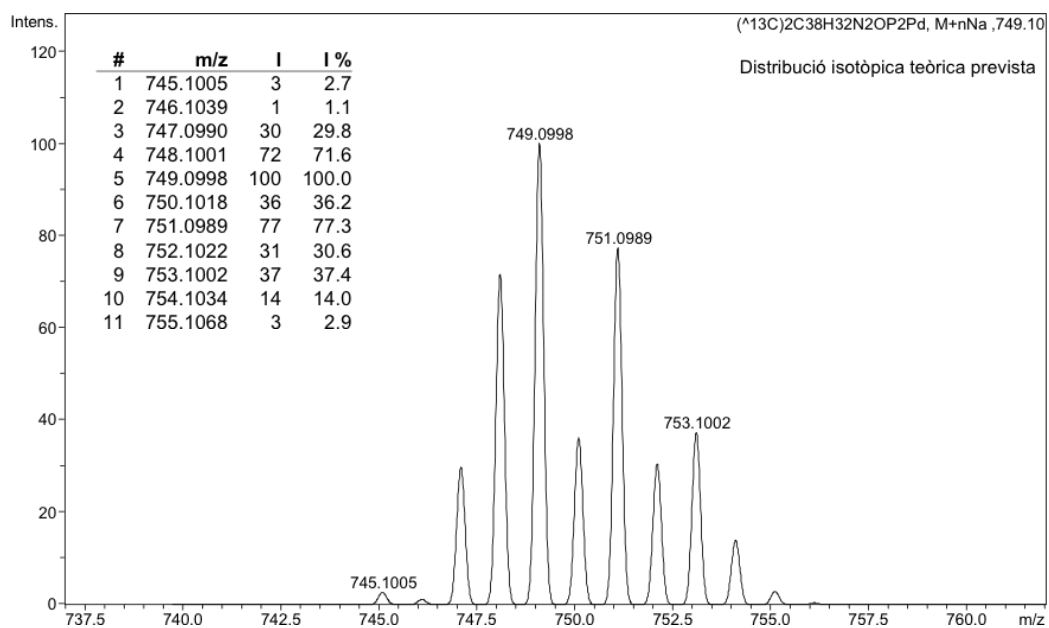
Comment MIE // ESI+ // Dó ca. 15 ppm en CH₂Cl₂:MeOH (1:5) // ORIOL VALLCORBA

Acquisition Date 08/05/2009 12:42:13

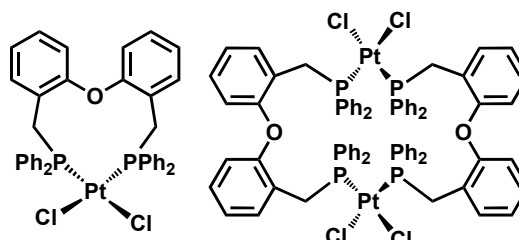
Operator SAQ

Instrument micrOTOF-Q

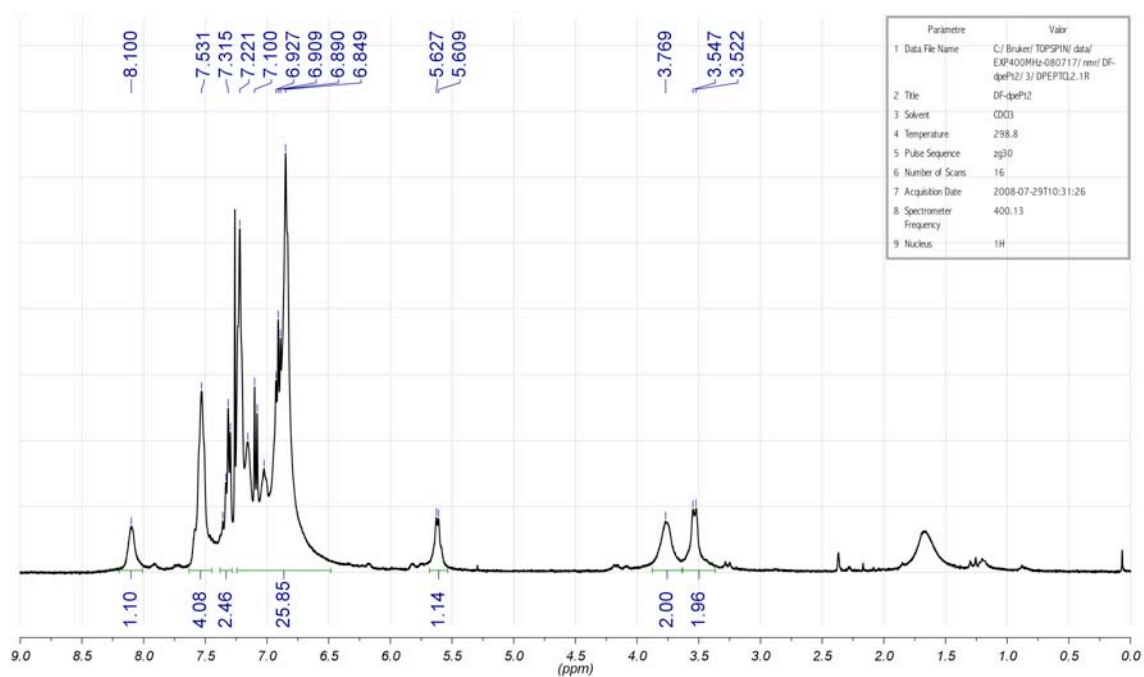




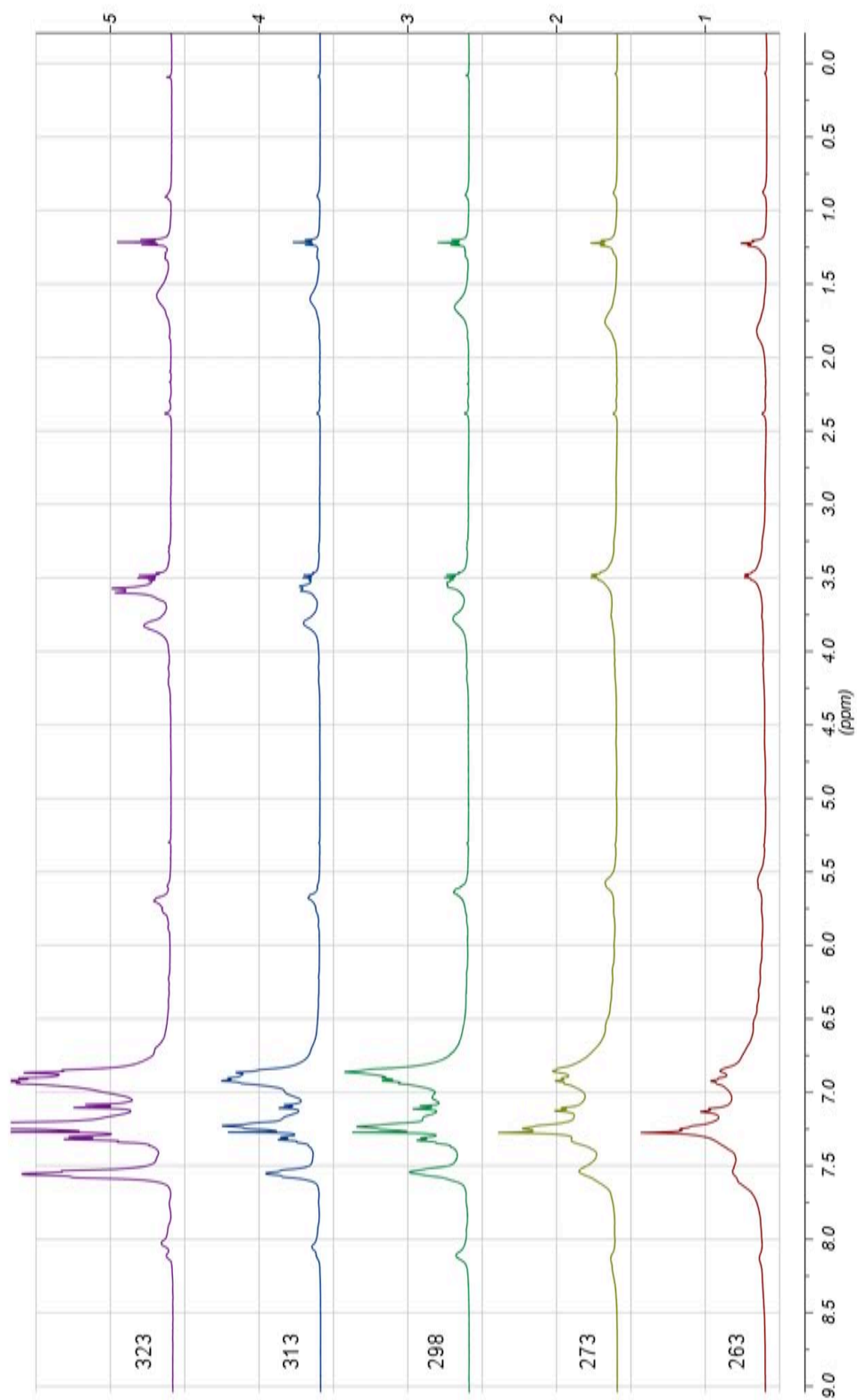
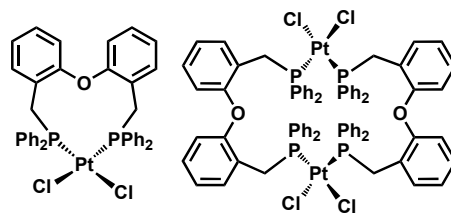
[PtCl₂(DPEMephos)] (C33)



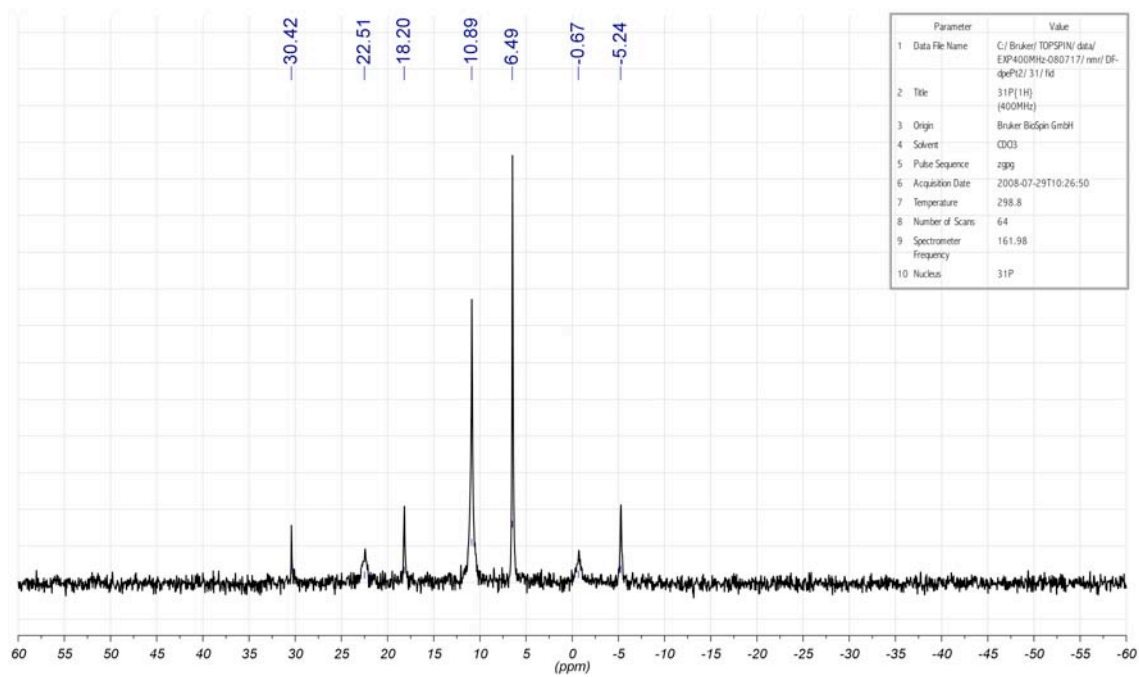
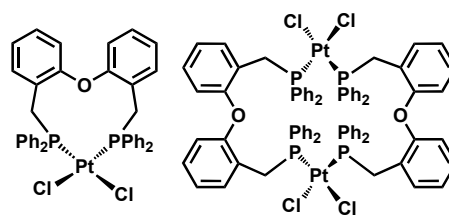
¹H RMN (400 MHz, rt, CDCl₃):

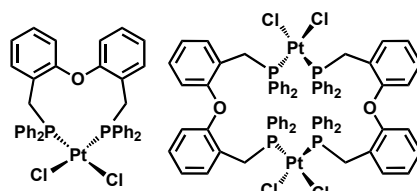


^1H RMN (400 MHz, temperatura variable, CDCl_3):

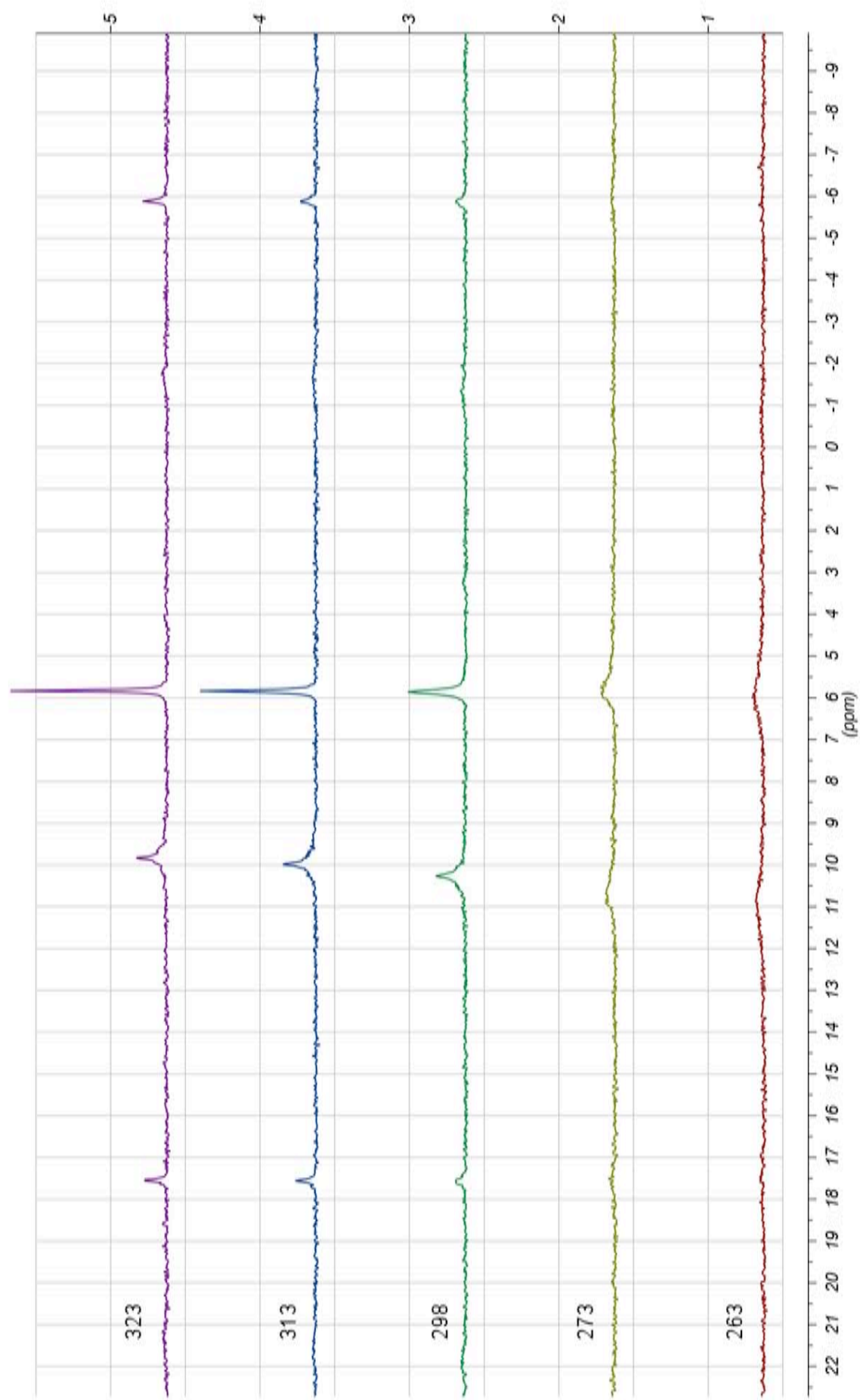


$^{31}\text{P}\{^1\text{H}\}$ RMN (162 MHz, rt, CDCl_3):

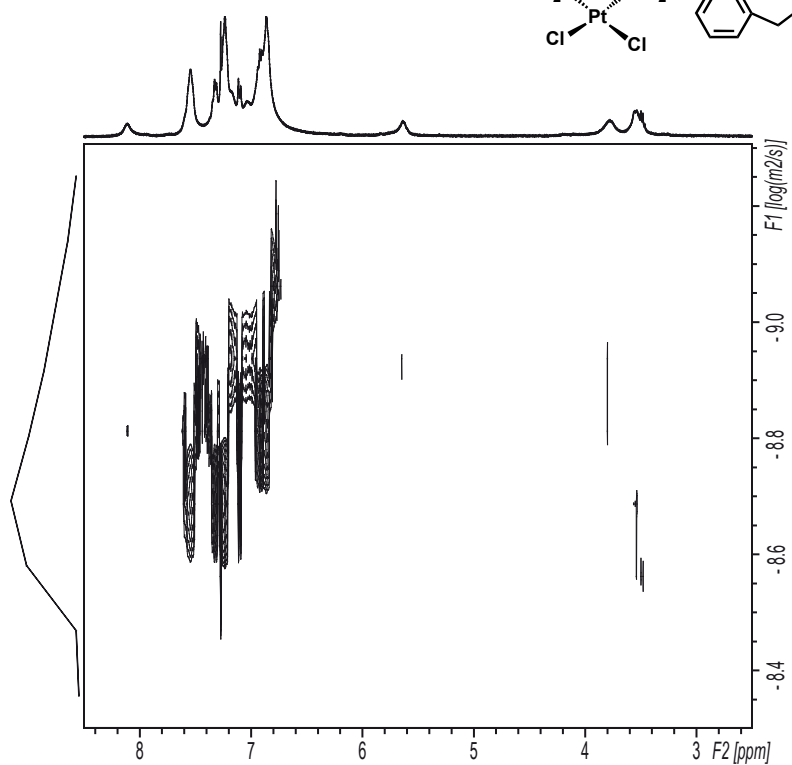
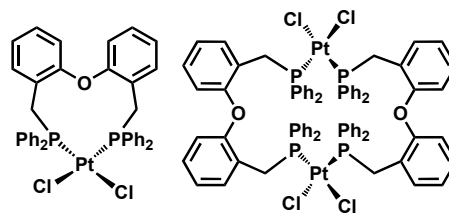




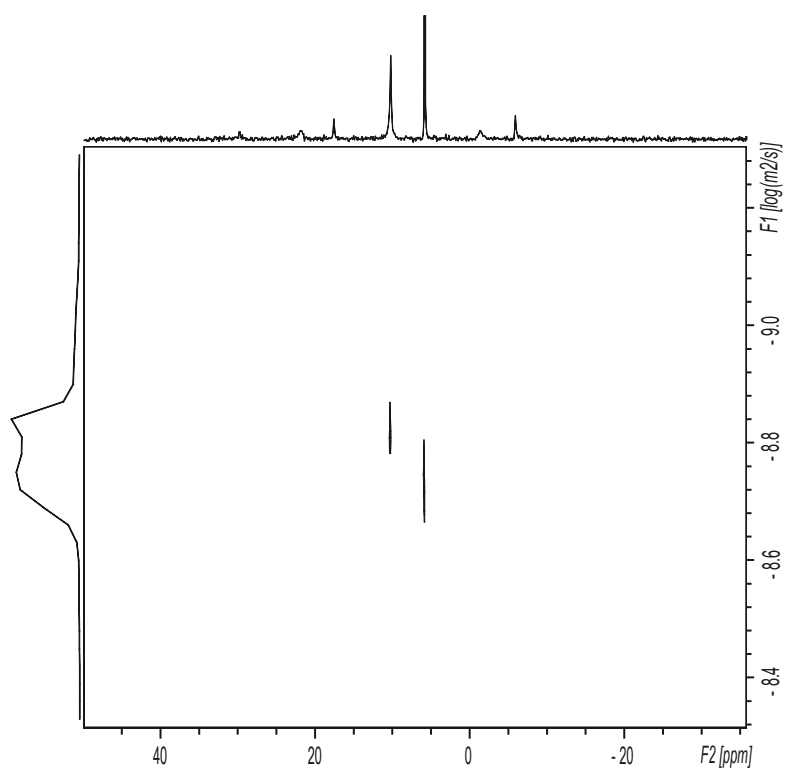
$^{31}\text{P}\{^1\text{H}\}$ RMN (162 MHz, temperatura variable, CDCl_3):



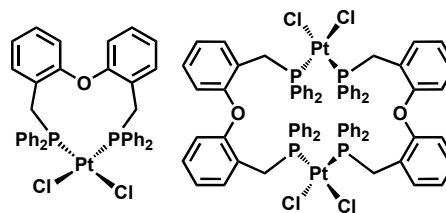
^1H DOSY PFG-RMN (400 MHz, rt, CDCl_3):



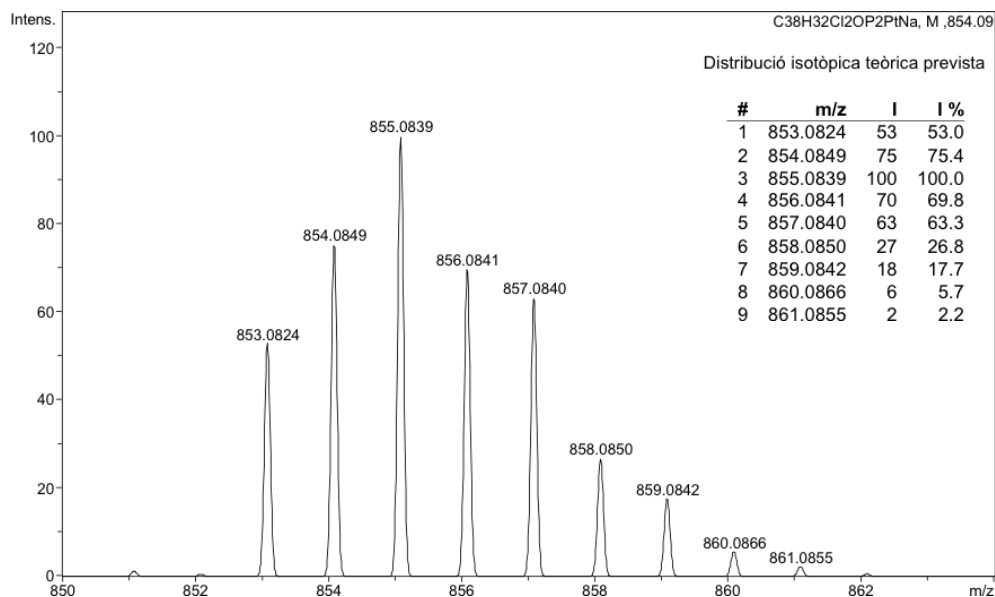
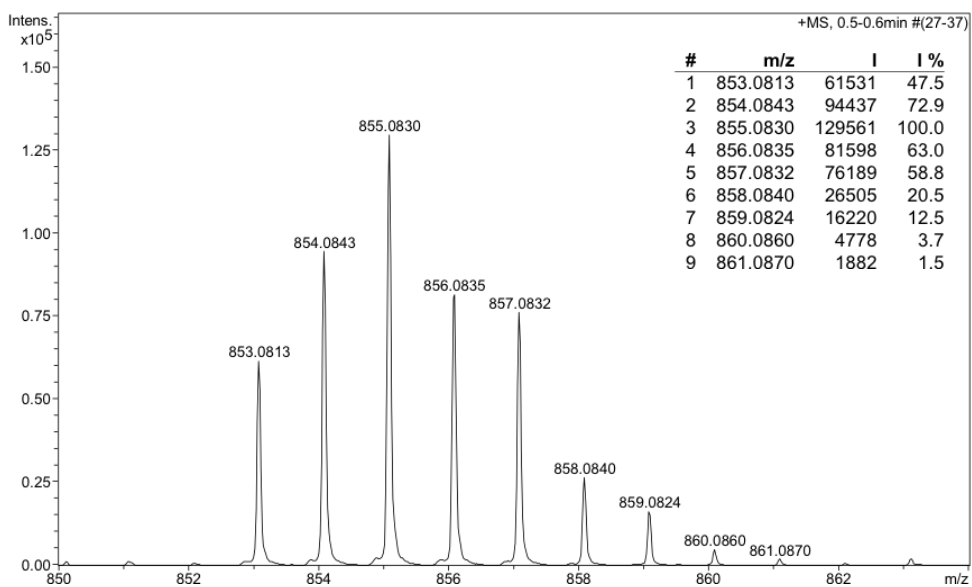
$^{31}\text{P}\{^1\text{H}\}$ DOSY PFG-RMN (101 MHz, rt, CDCl_3):

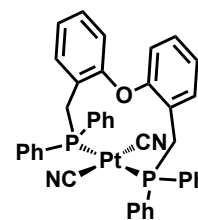


HRMS (ESI+):

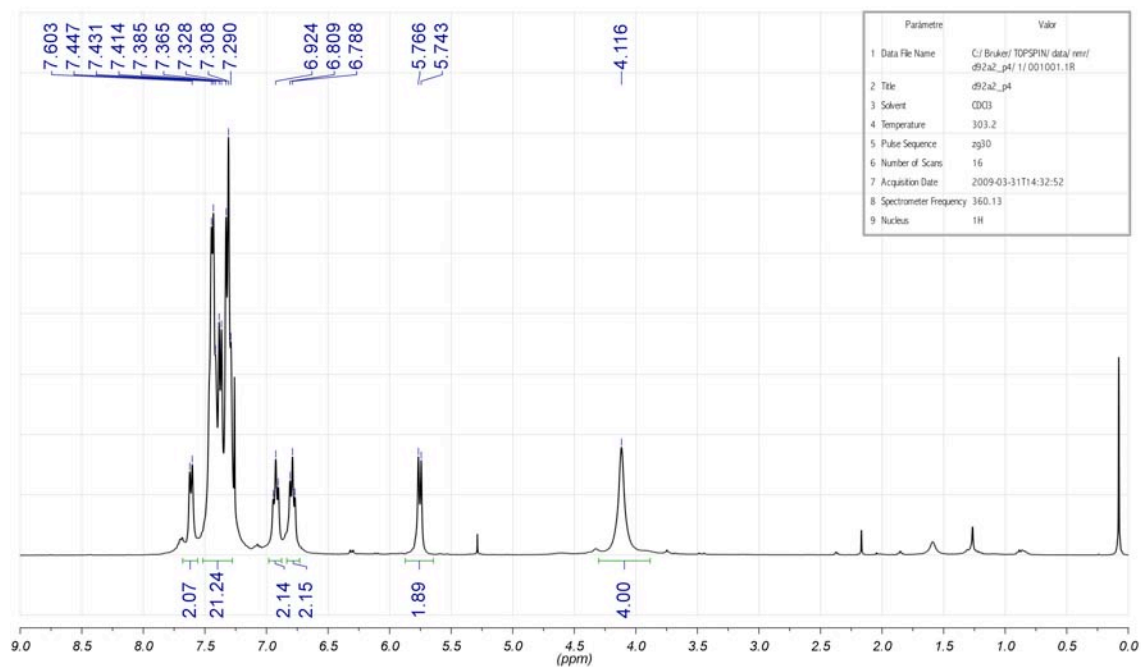
**Analysis Info**

Analysis Name d57bPt (8EM-148)_1-B,2_01_251.d Acquisition Date 27/05/2008 10:58:29
 Method ESIPos250-1300_FI-HS_MeCN_27-5-08.m Operator SAQ
 Sample Name d57bPt (8EM-148) Instrument micrOTOF-Q
 Comment ESI+. AER. Dó ca 2 ppm en MeCN. // O. VALLCORBA.

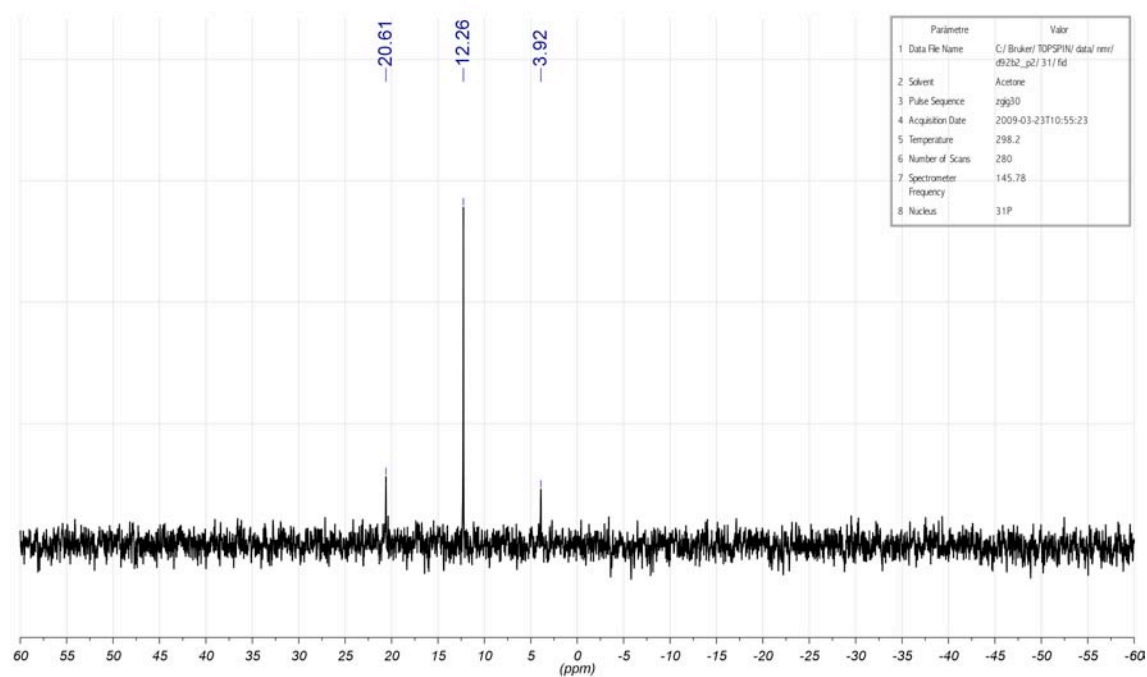


[Pt(CN)₂(DPEMephos)] (C35)

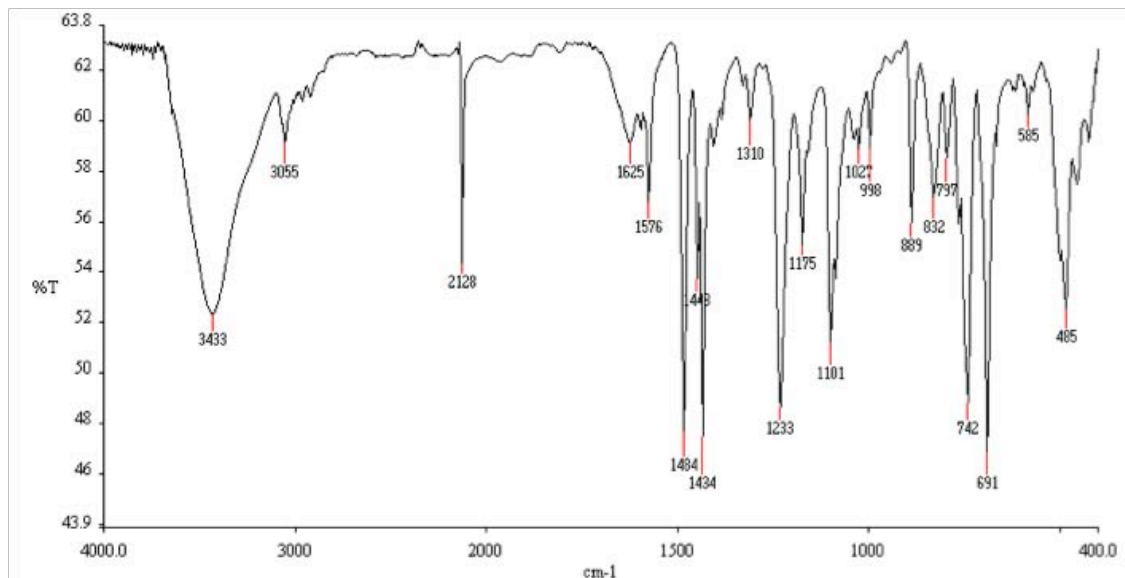
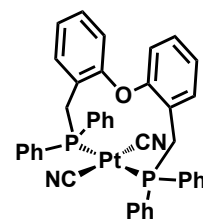
¹H RMN (400 MHz, rt, CDCl₃):



³¹P{¹H} RMN (162 MHz, rt, CDCl₃):



IR (KBr):

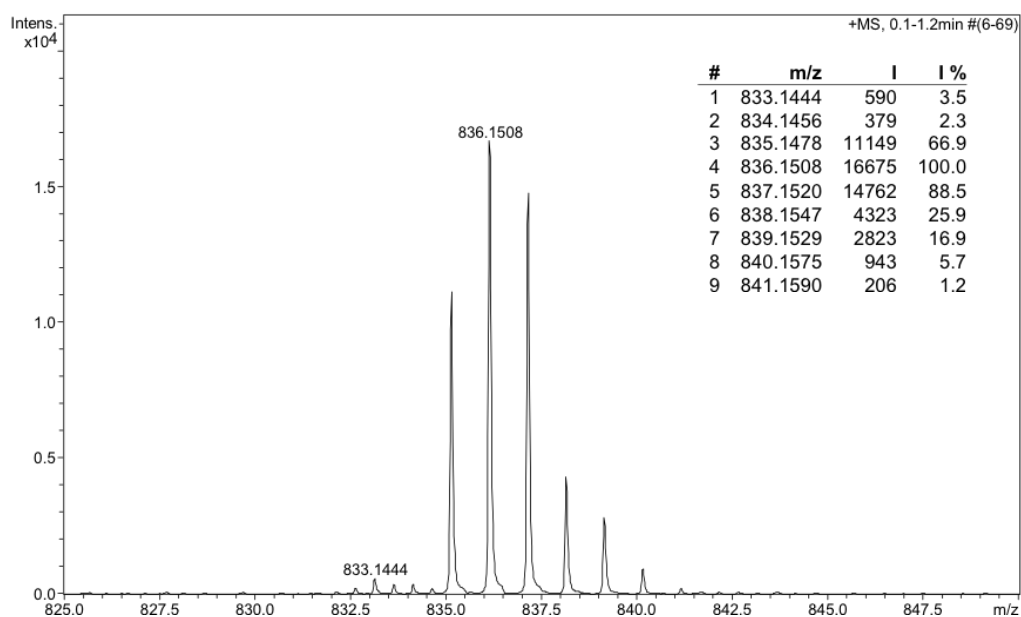
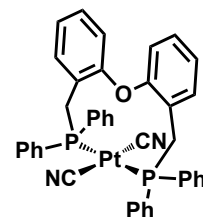


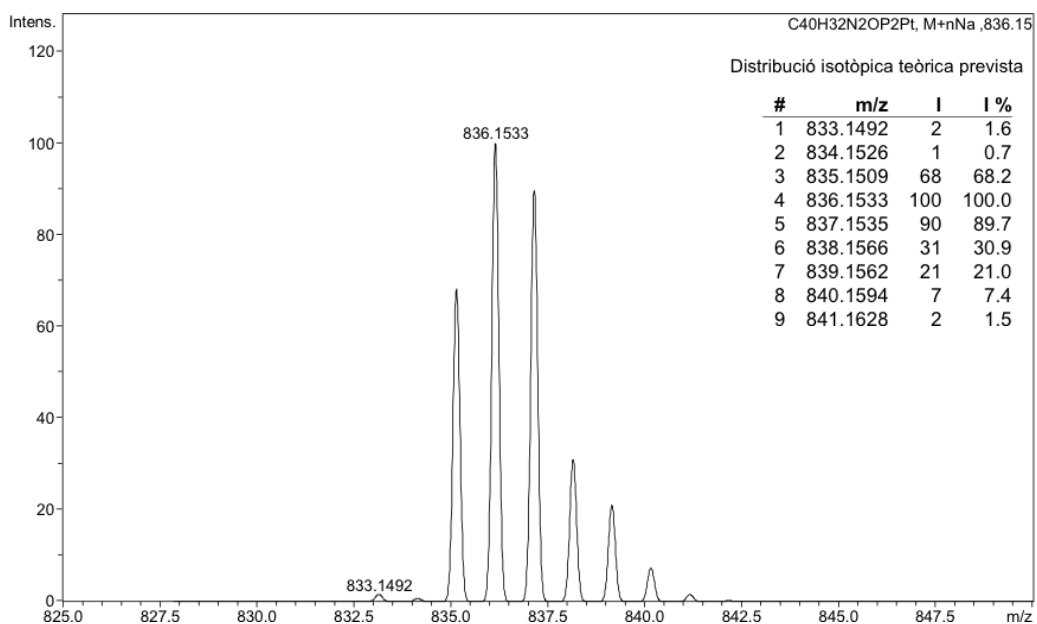
HRMS (ESI+):

Analysis Info

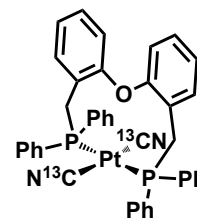
Analysis Name 09EM208-QTOF-pos1-1.d
 Method 09EM208-QTOF-pos1.m
 Sample Name d92b2
 Comment MIE // ESI+ // Dó ca. 15 ppm en CH₂Cl₂:MeOH (1:5) // ORIOL VALLCORBA

Acquisition Date 08/05/2009 11:42:58
 Operator SAQ
 Instrument micrOTOF-Q

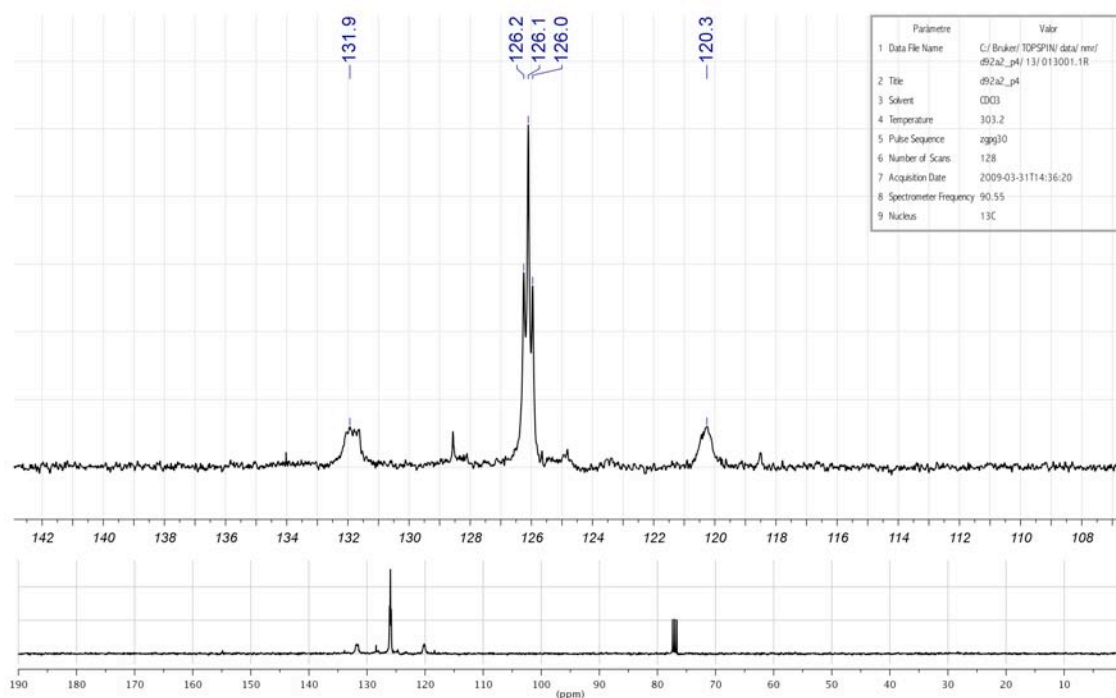




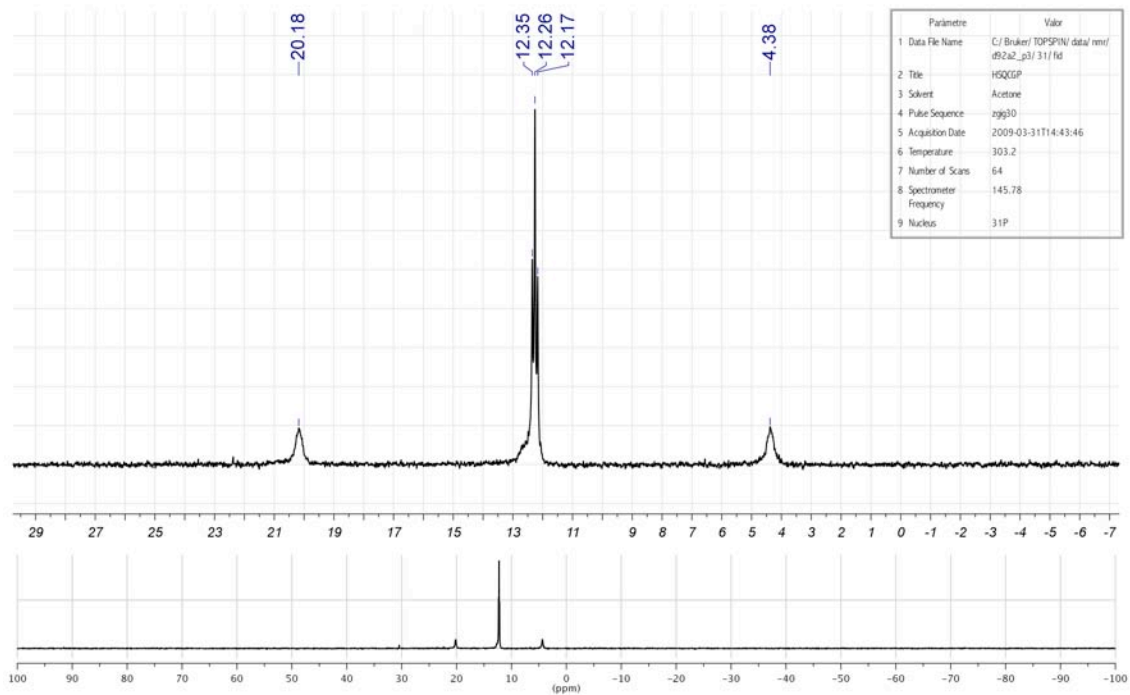
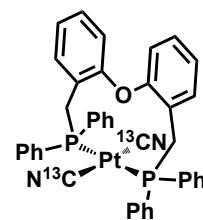
[Pt(¹³CN)₂(DPEMephos)] (C35m)



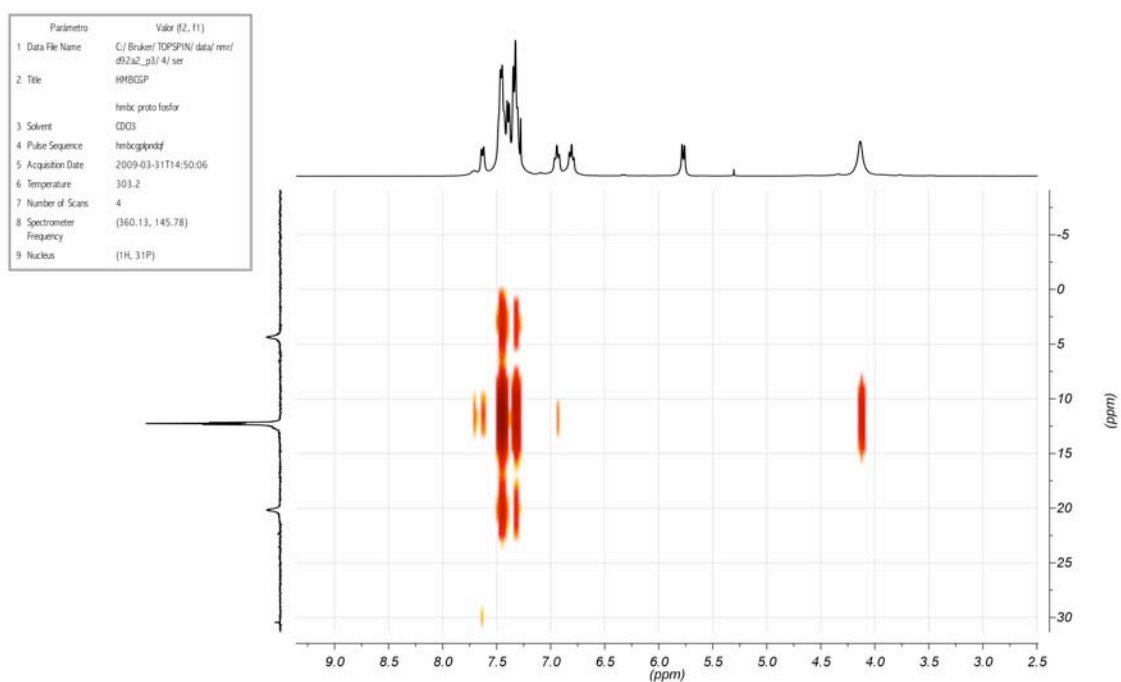
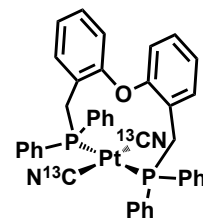
¹³C{¹H} RMN (101 MHz, rt, CDCl₃):



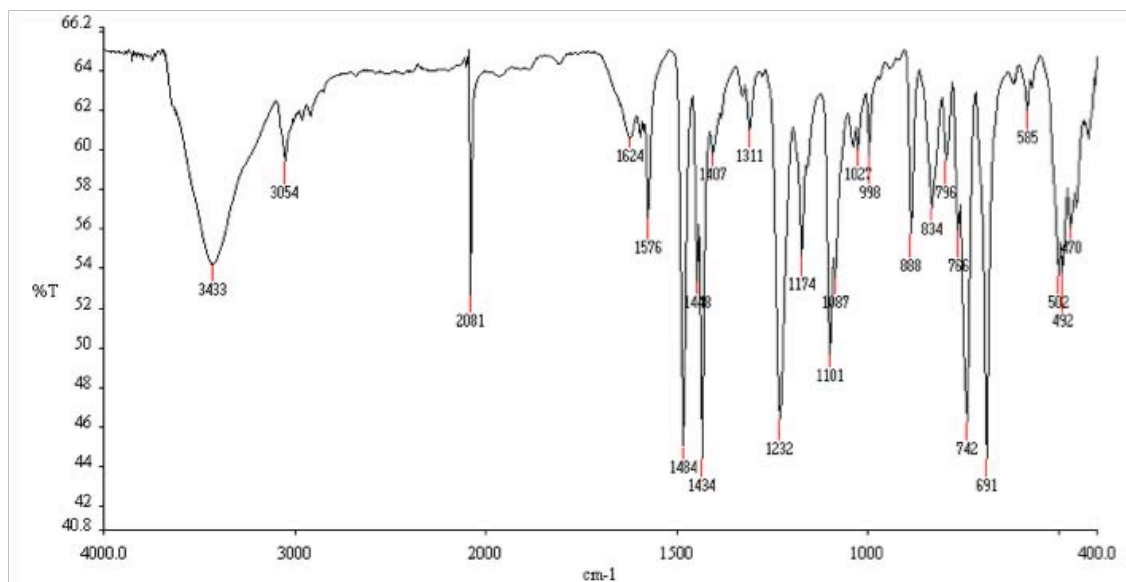
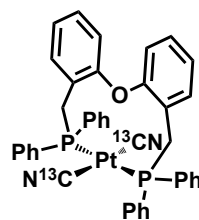
$^{31}\text{P}\{^1\text{H}\}$ RMN (162 MHz, rt, CDCl_3):



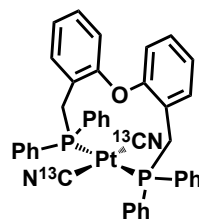
Espectre de correlació ^1H - ^{31}P (HMBC):



IR (KBr):

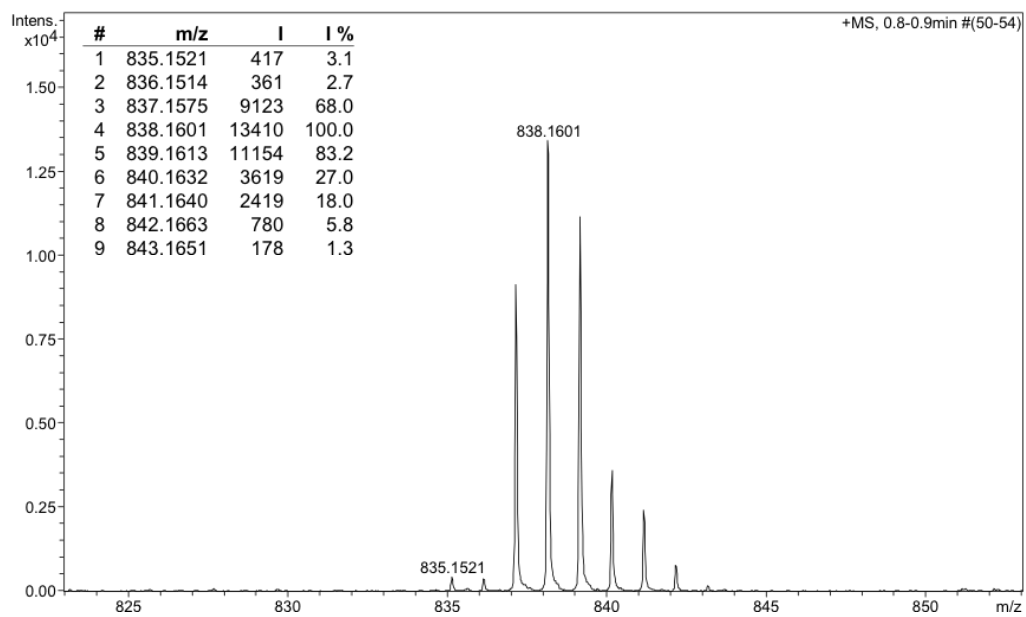


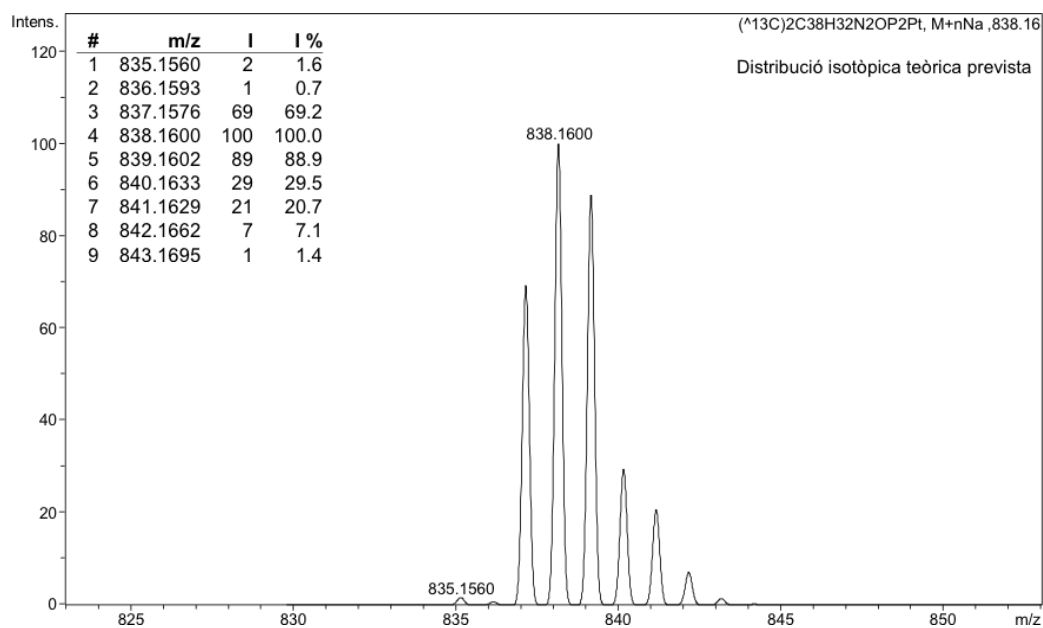
HRMS (ESI+):

**Analysis Info**

Analysis Name 09EM209-QTOF-pos1-1.d
 Method 09EM209-QTOF-pos1.m
 Sample Name d92a2
 Comment MIE // ESI+ // Dó ca. 15 ppm en CH2Cl2:MeOH (1:5) // ORIOL VALLCORBA

Acquisition Date 08/05/2009 12:31:43
 Operator SAQ
 Instrument micrOTOF-Q

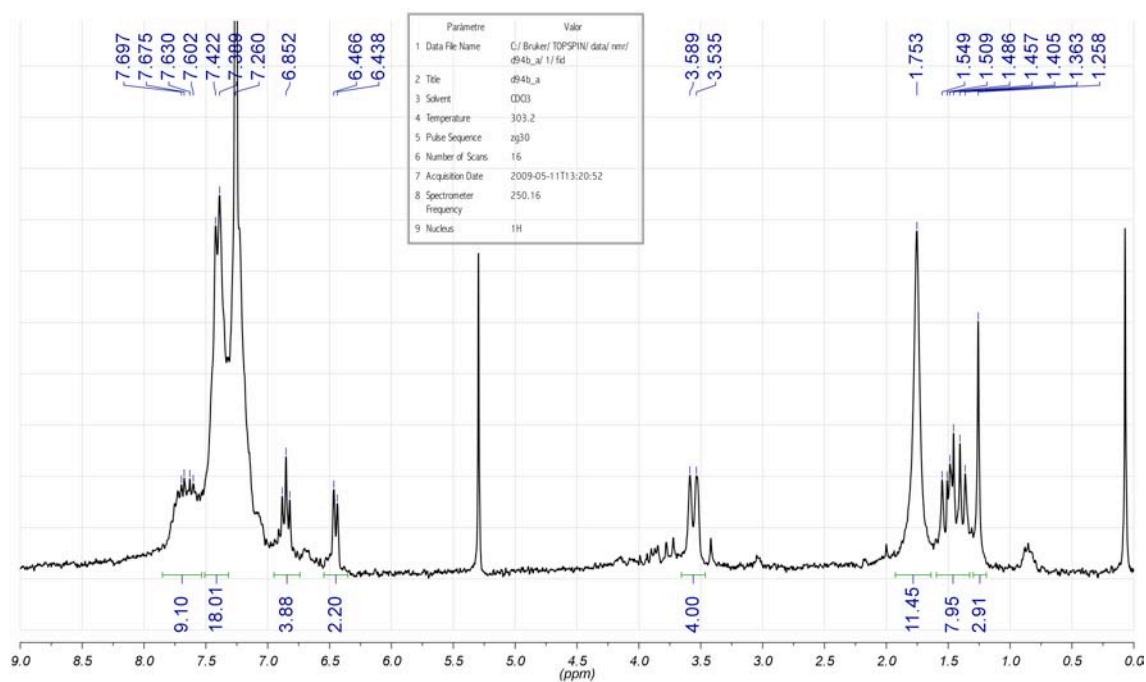
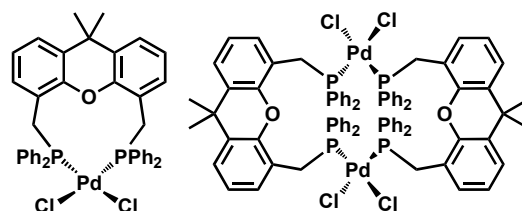




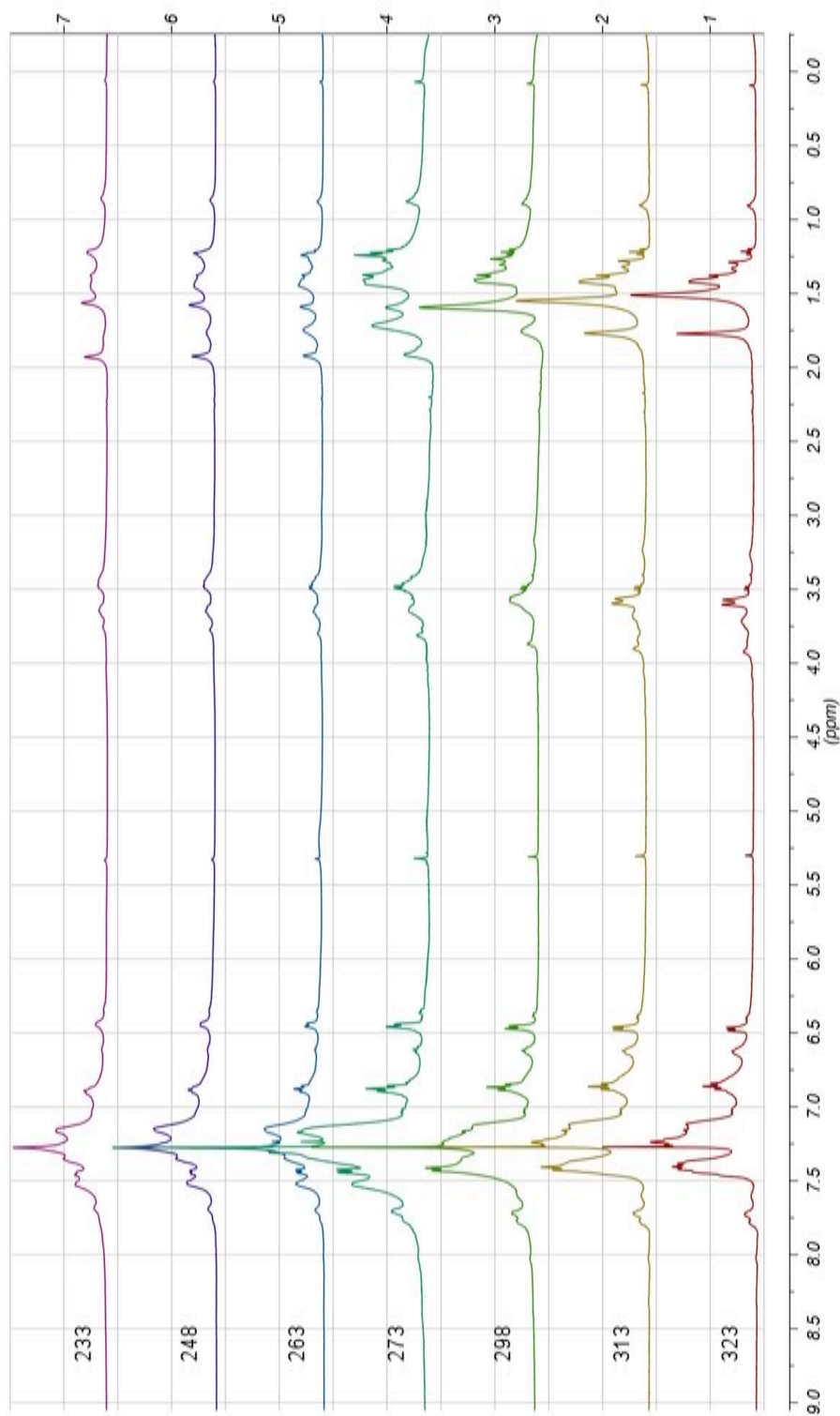
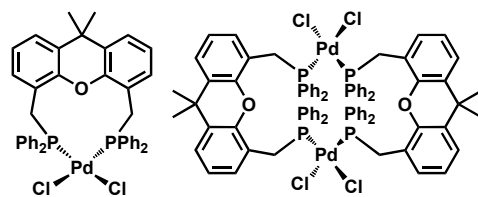
11.2 XantMephos amb Pd i Pt

[PdCl₂(XantMephos)] (C36)

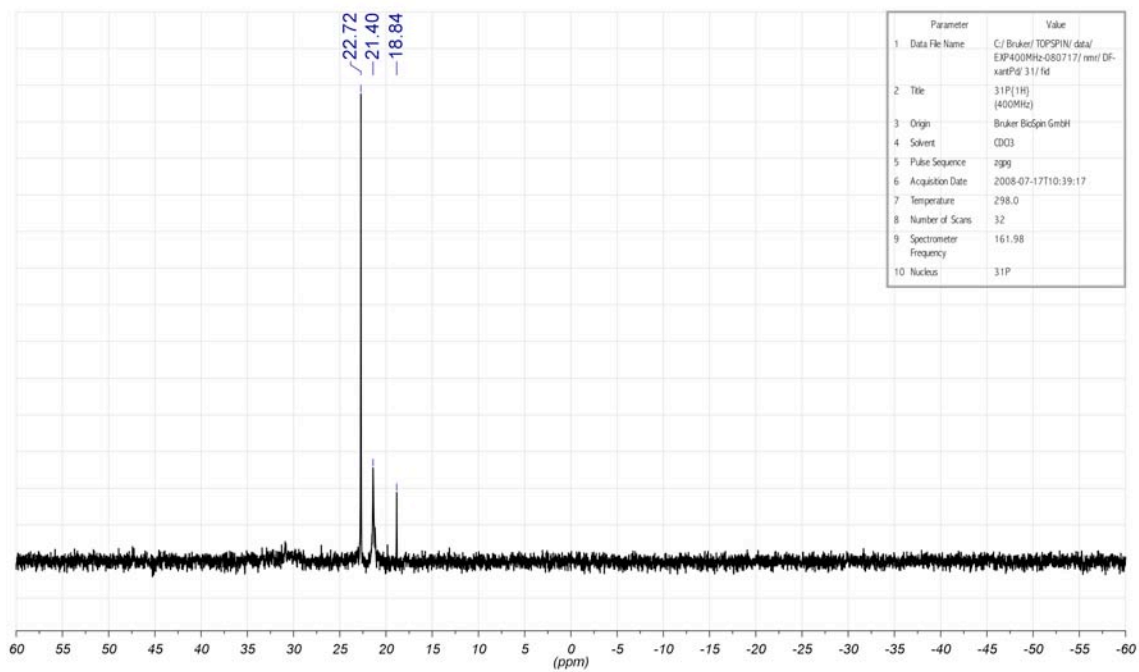
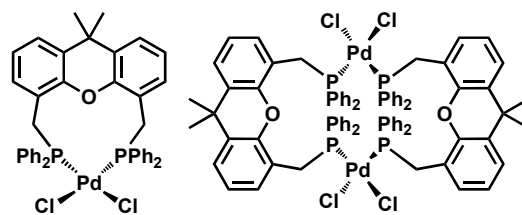
¹H RMN (400 MHz, rt, CDCl₃):



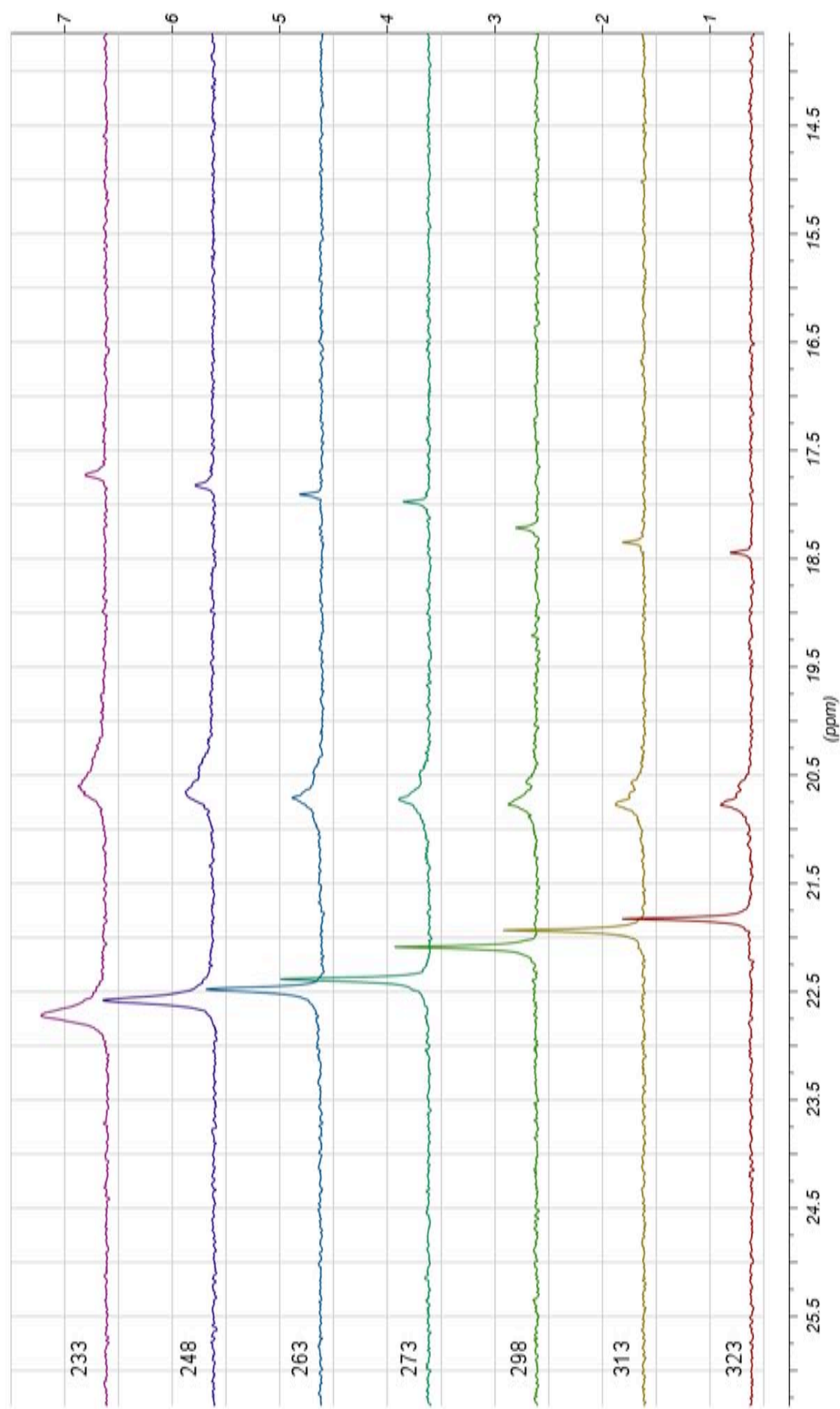
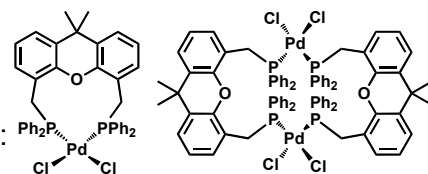
^1H RMN (400 MHz, temperatura variable, CDCl_3):



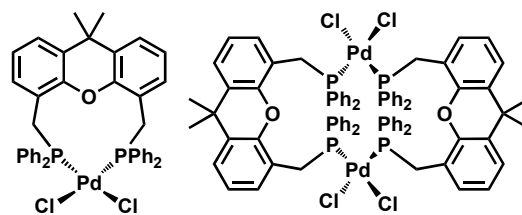
$^{31}\text{P}\{^1\text{H}\}$ RMN (162 MHz, rt, CDCl_3):



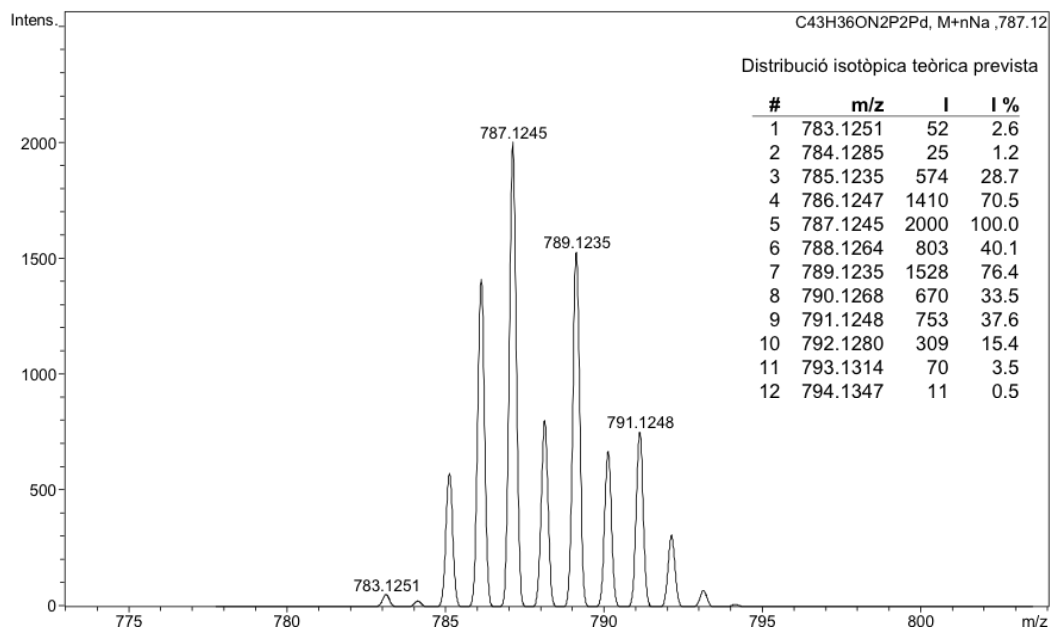
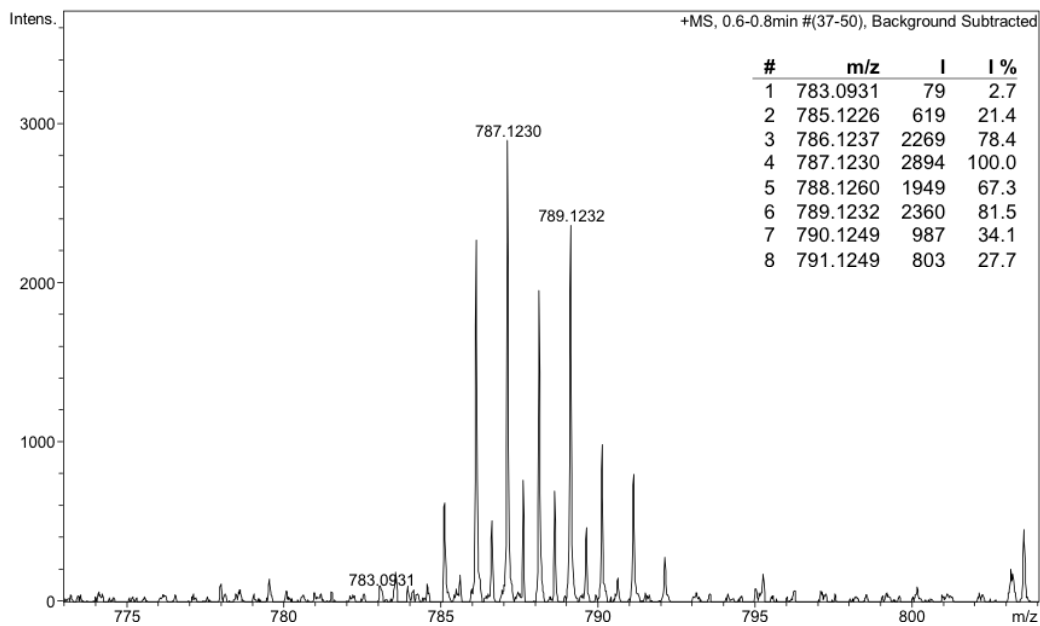
$^{31}\text{P}\{^1\text{H}\}$ RMN (162 MHz, temperatura variable, CDCl_3):

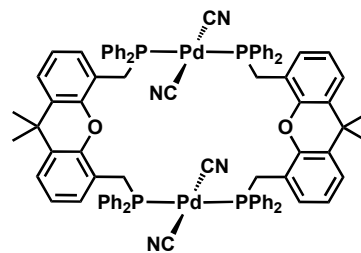
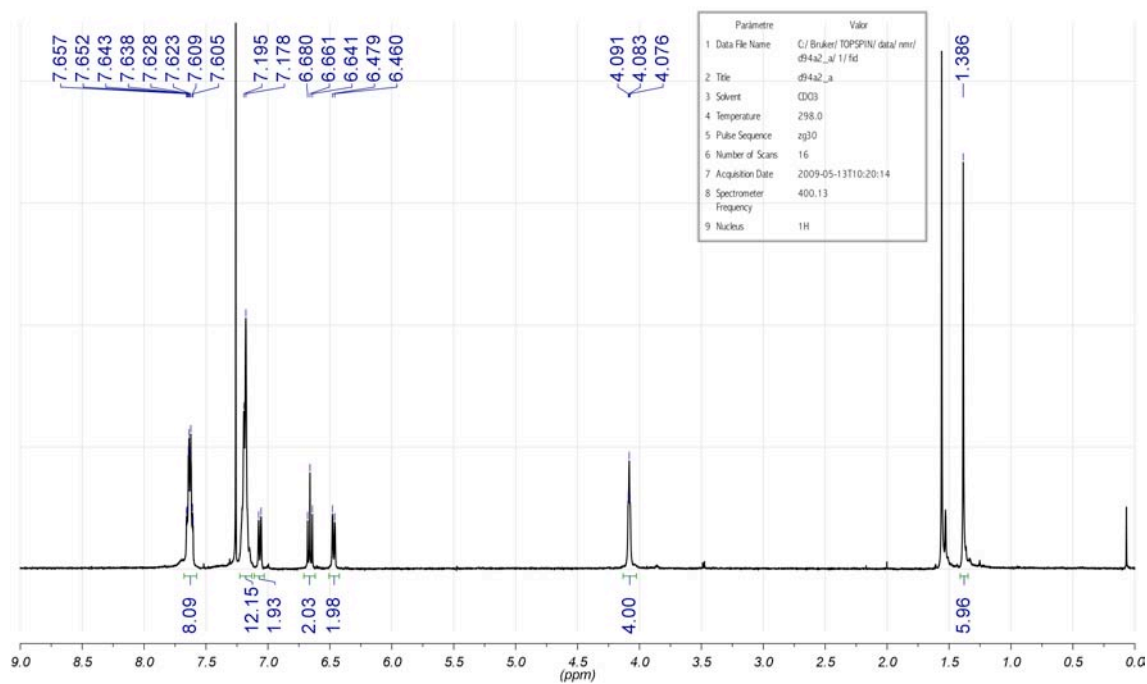
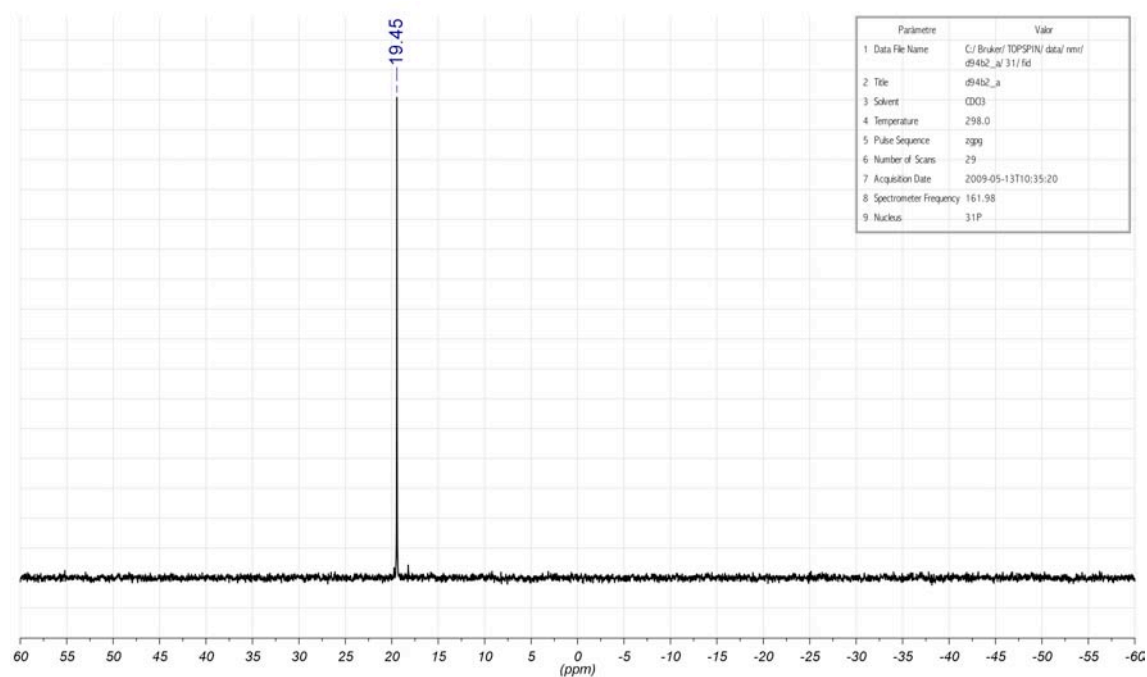


HRMS (ESI+):

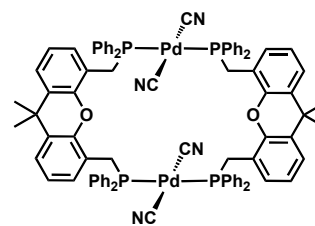
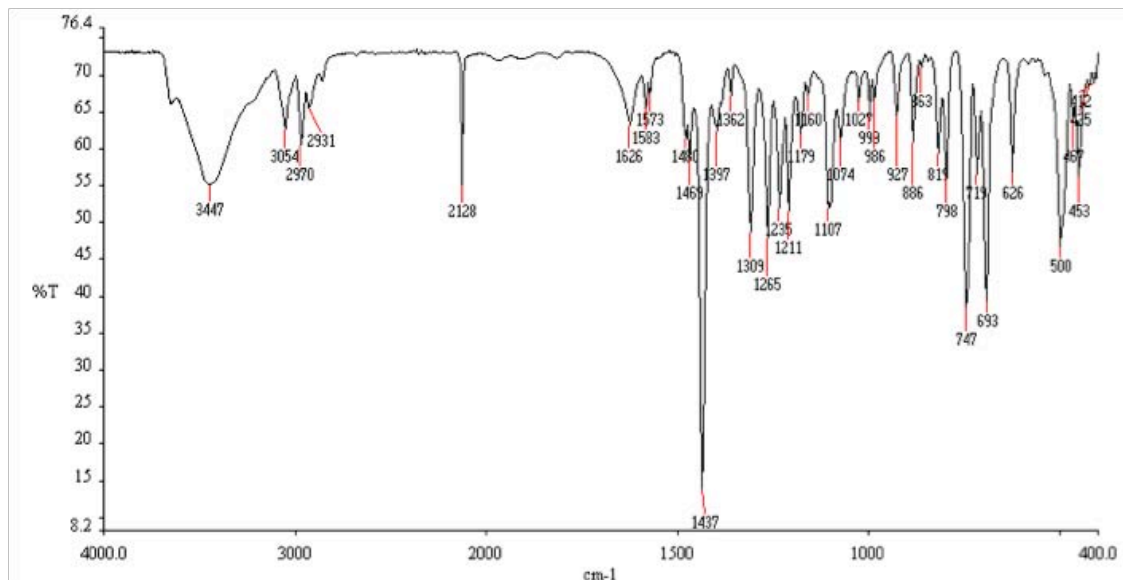
**Analysis Info**

Analysis Name d65aPd (8EM-149)_1-B,3_01_252.d Acquisition Date 27/05/2008 11:05:17
 Method ESIspos250-1300_FI-HS_MeCN_27-5-08.m Operator SAQ
 Sample Name d65aPd (8EM-149) Instrument micrOTOF-Q
 Comment ESI+. AER. Dó ca 2 ppm en MeCN. // O. VALLCORBA.



[Pd(CN)₂(XantMephos)] (C38)¹H RMN (400 MHz, rt, CDCl₃):³¹P{¹H} RMN (162 MHz, rt, CDCl₃):

IR (KBr):

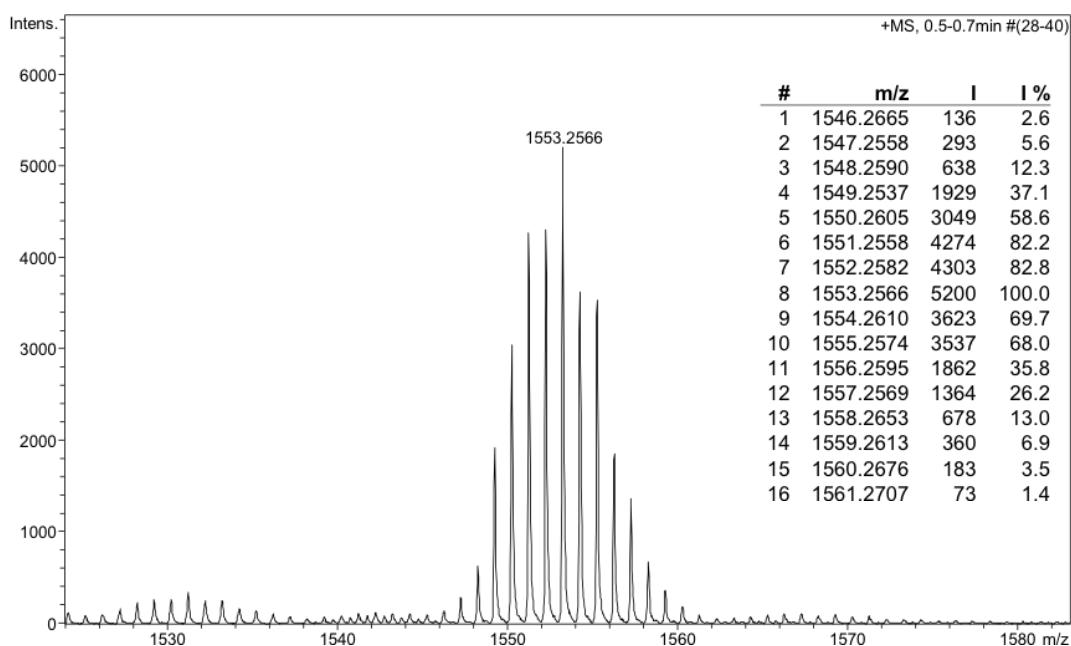
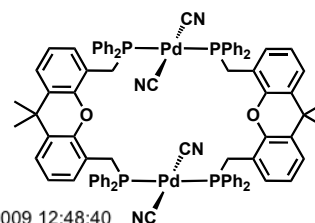


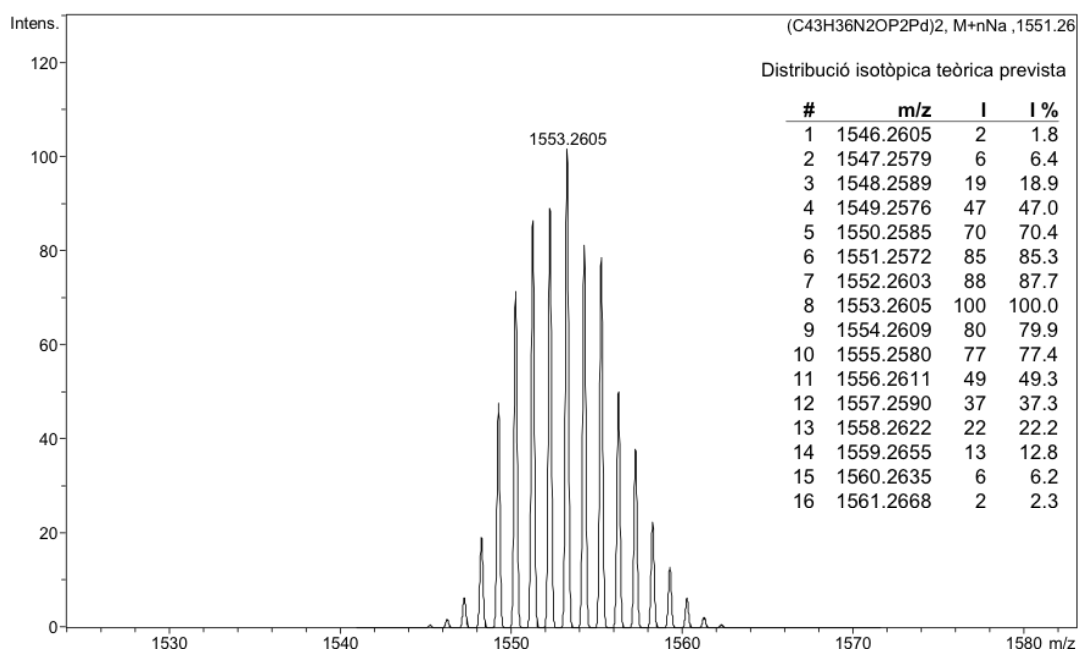
HRMS (ESI+):

Analysis Info

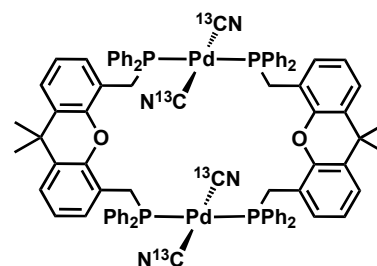
Analysis Name 09EM343 (d94b)_1-c,2_01_3275.d
 Method esipos622-2722_fi_11-02-09.m
 Sample Name 09EM343 (d94b)
 Comment MIE. ESI+. Dó ca. 10 ppm en CH₂Cl₂:MeOH (1:3)
 ORIOL VALLCORBA

Acquisition Date 29/07/2009 12:48:40
 Operator SAQ
 Instrument micrOTOF-Q

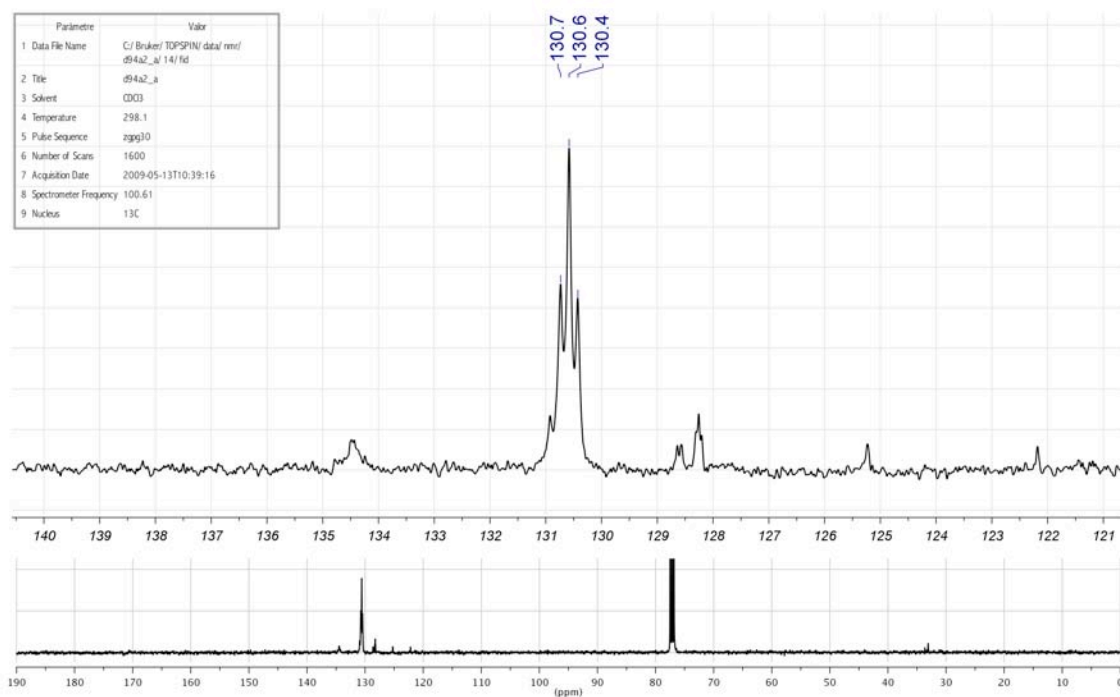




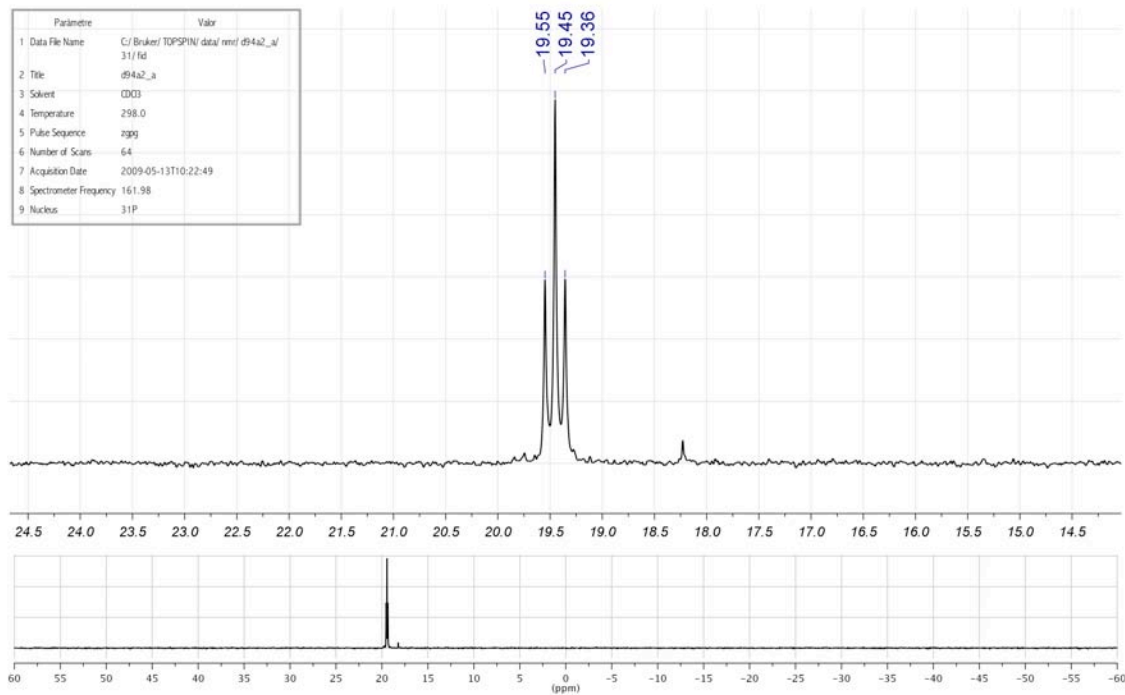
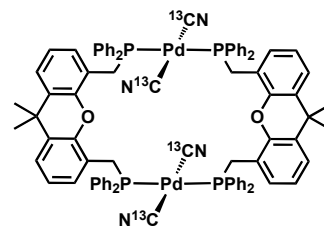
[Pd(¹³CN)₂(XantMephos)] (C38m)



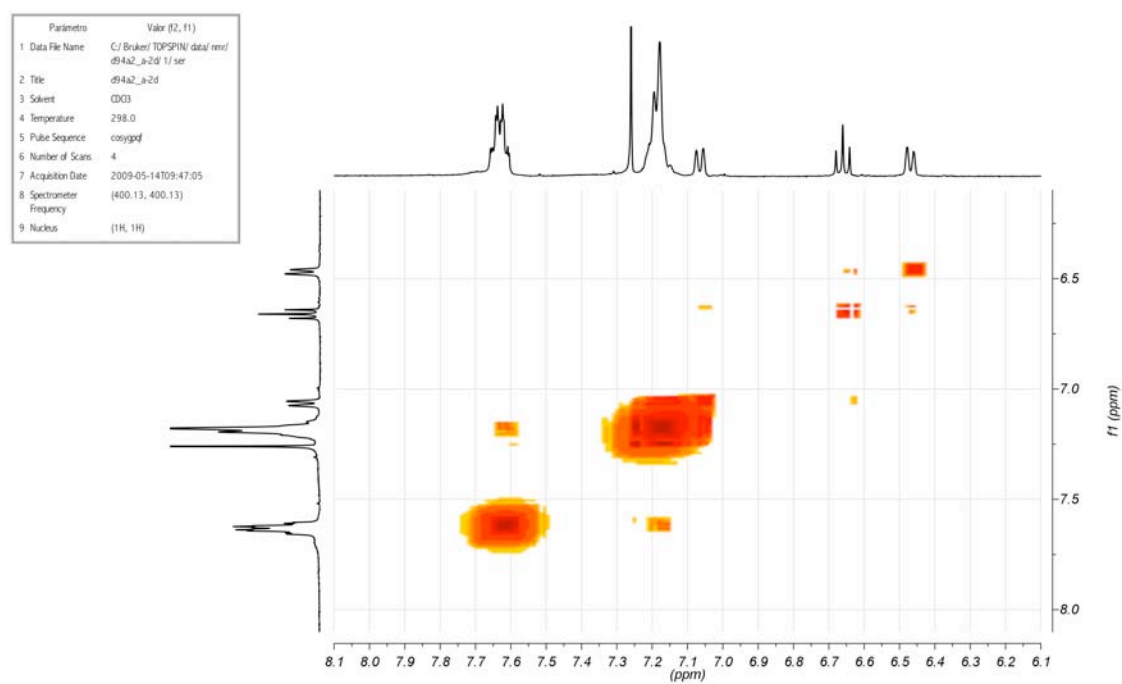
¹³C{¹H} RMN (101 MHz, rt, CDCl₃):



$^{31}\text{P}\{^1\text{H}\}$ RMN (162 MHz, rt, CDCl_3):

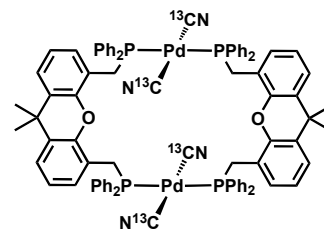
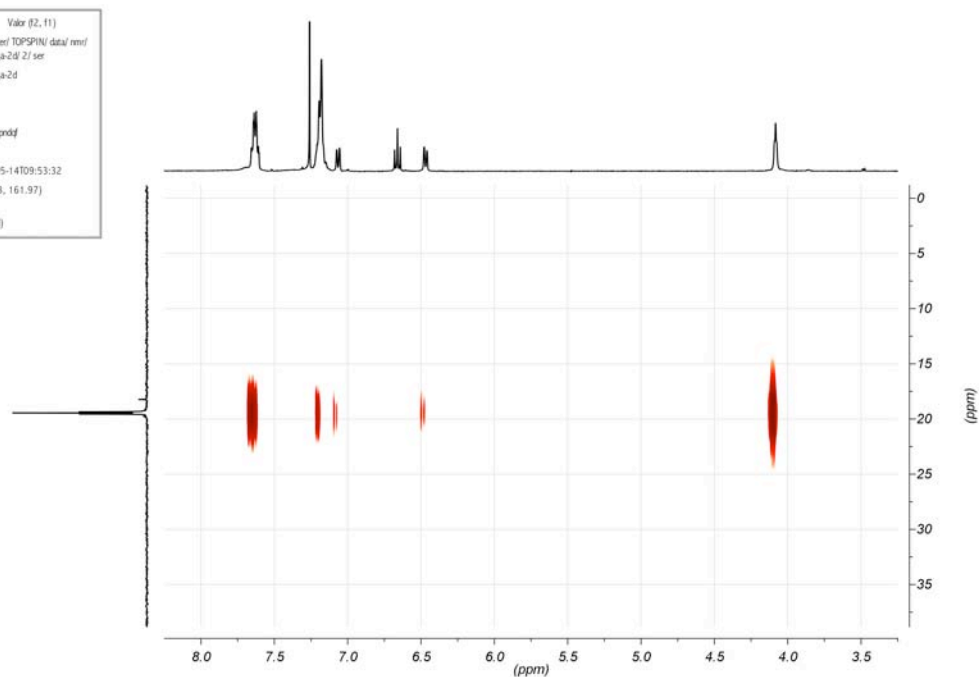


Espectre de correlació ^1H - ^1H (COSY):

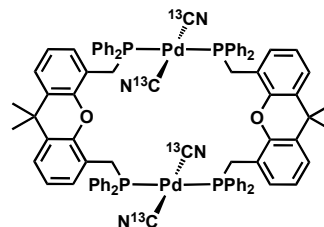
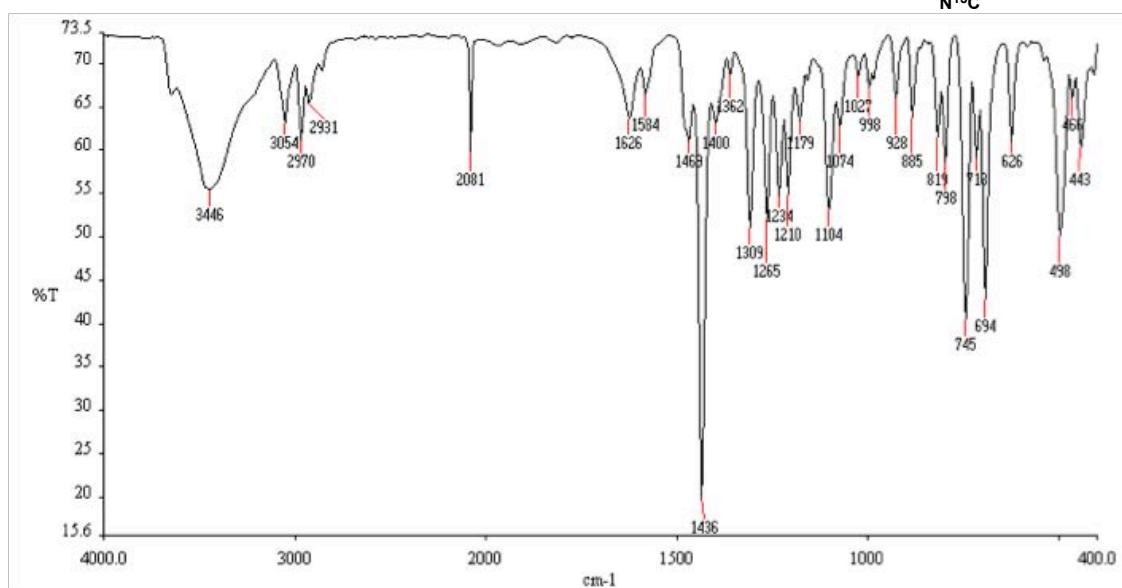


Espectre de correlació ^1H - ^{31}P (HMBC):

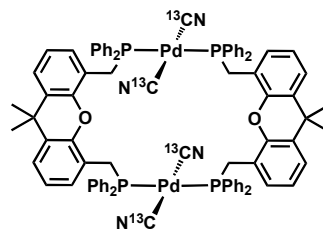
Paràmetre	Valor (2, 11)
1 Data File Name	C:/Bruker/1TOPSPIN/datal/rmf/d94a2_a2d/2/ser
2 Title	d94a2_a2d
3 Solvent	CDCl ₃
4 Temperature	298.0
5 Pulse Sequence	hmbcgpnddf
6 Number of Scans	4
7 Acquisition Date	2009-05-14T09:53:32
8 Spectrometer Frequency	(400.13, 161.97)
9 Nucleus	(^1H , ^{31}P)



IR (KBr):

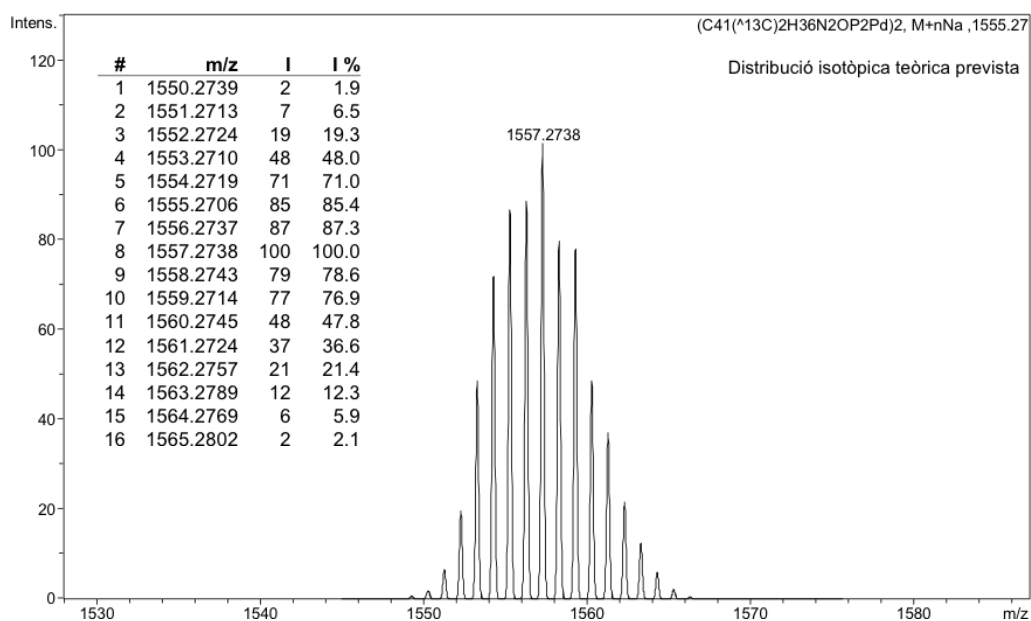
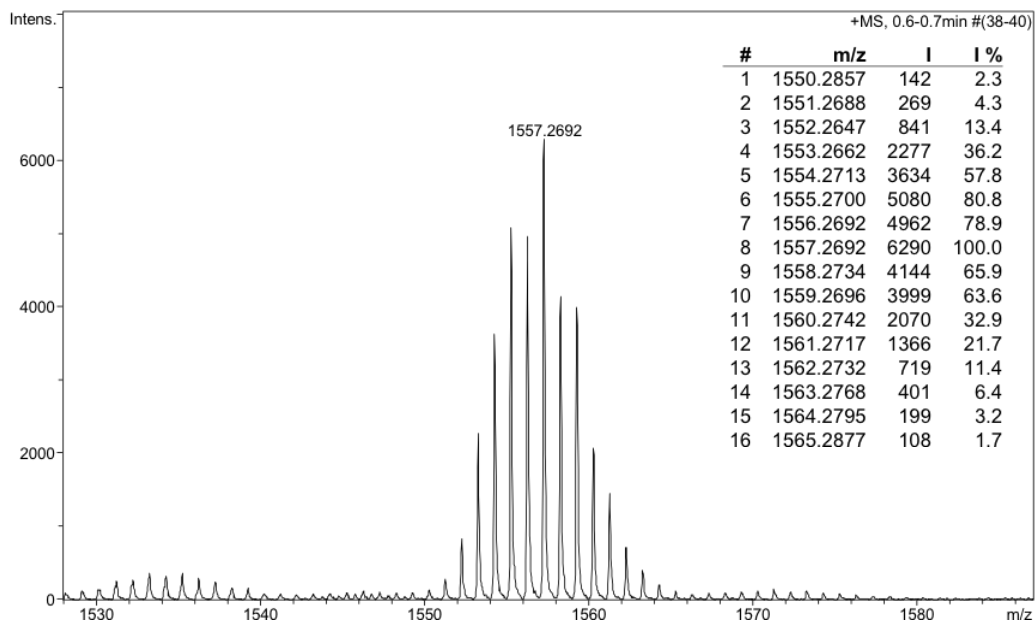


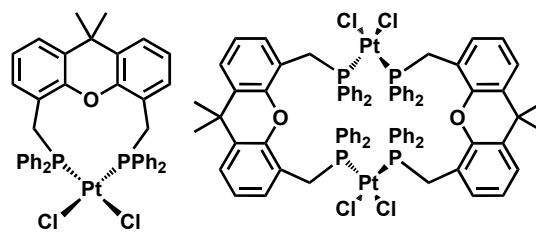
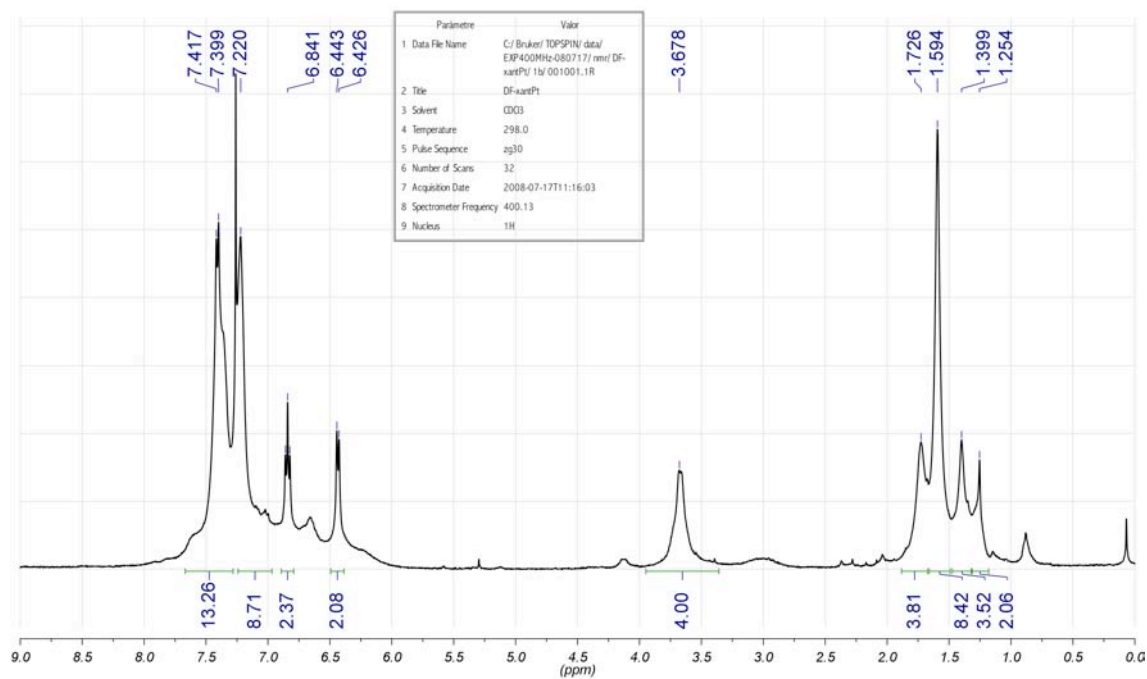
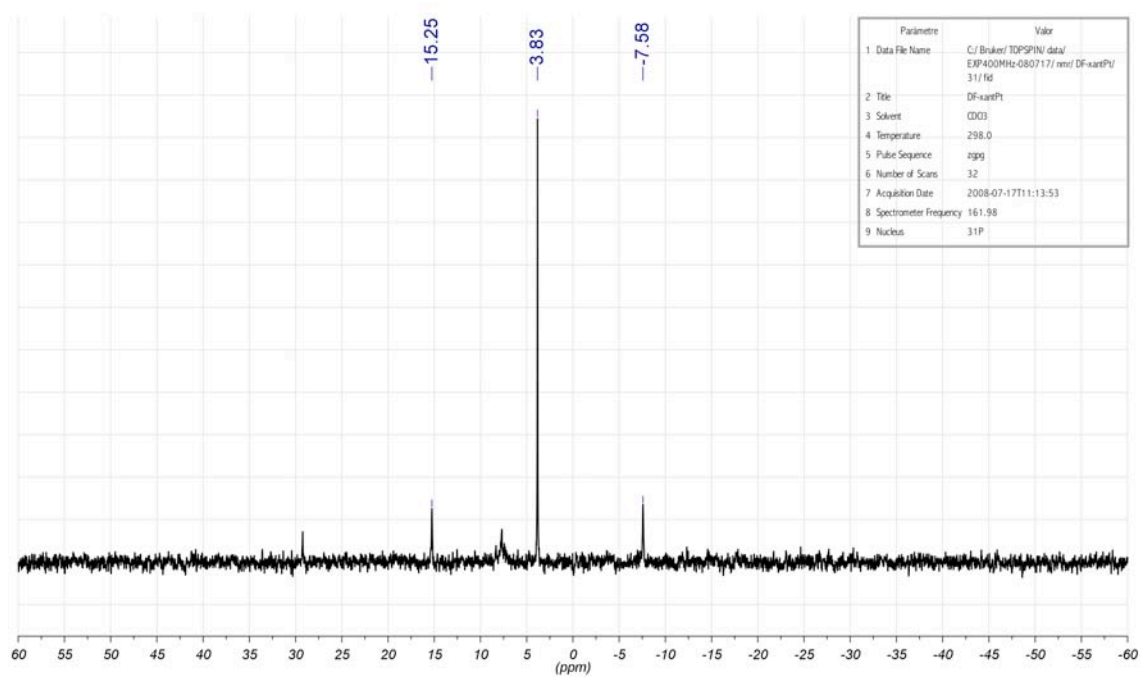
HRMS (ESI+):



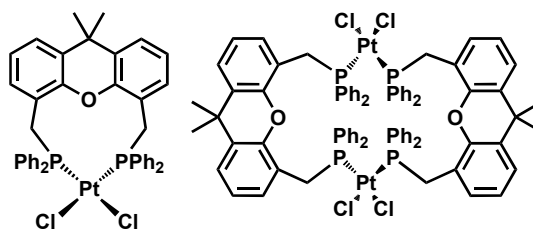
Analysis Info

Analysis Name	09EM342 (d94a)_1-c,1_01_3274.d	Acquisition Date	29/07/2009 12:41:56
Method	esipos622-2722_fi_11-02-09.m	Operator	SAQ
Sample Name	09EM342 (d94a)	Instrument	micrOTOF-Q
Comment	MIE. ESI+. Dó ca. 10 ppm en CH ₂ Cl ₂ :MeOH (1:9) ORIOL VALLCORBA		

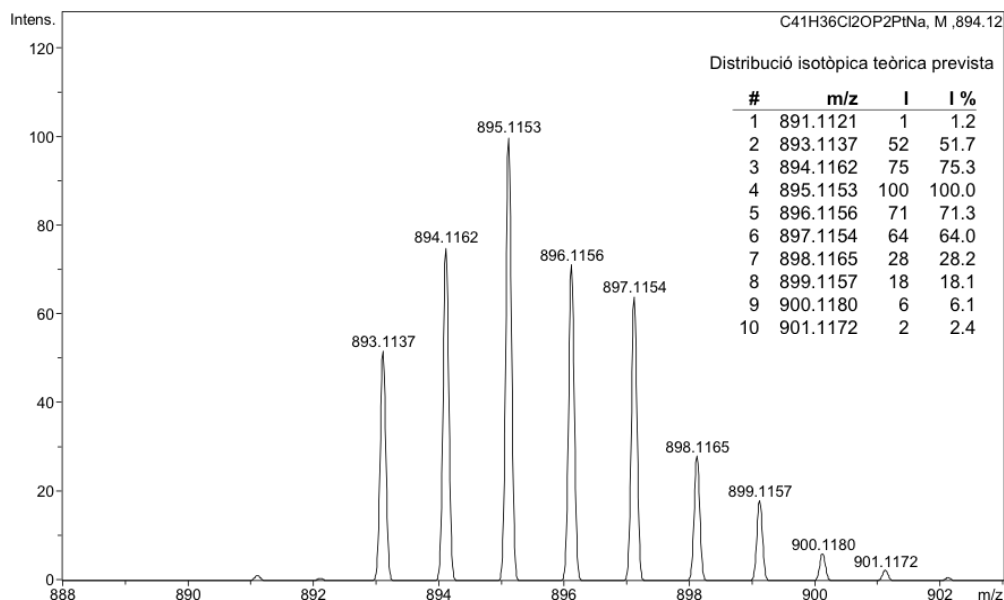
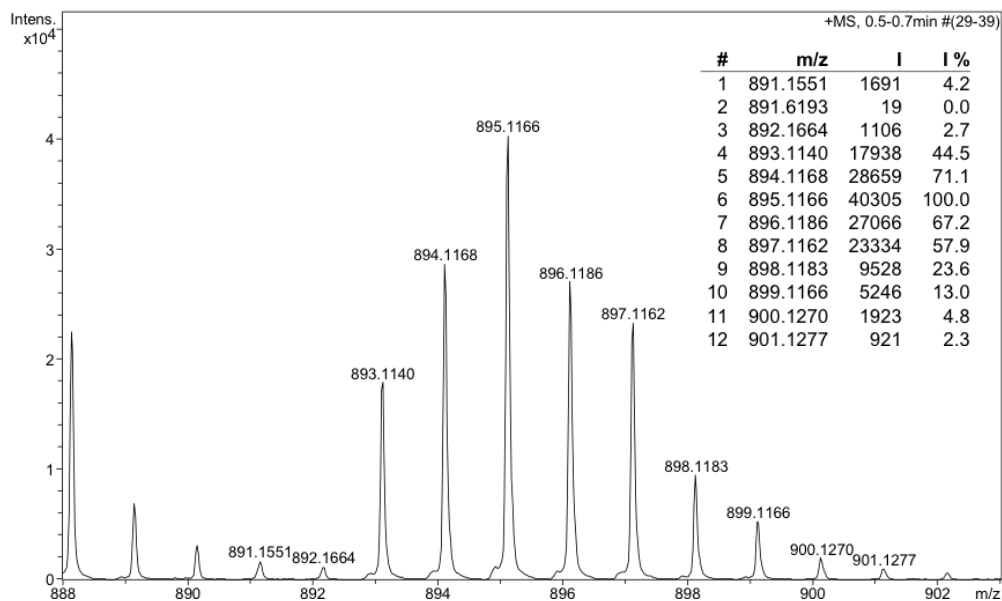


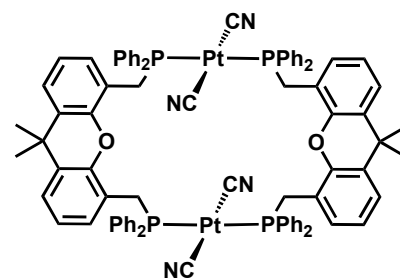
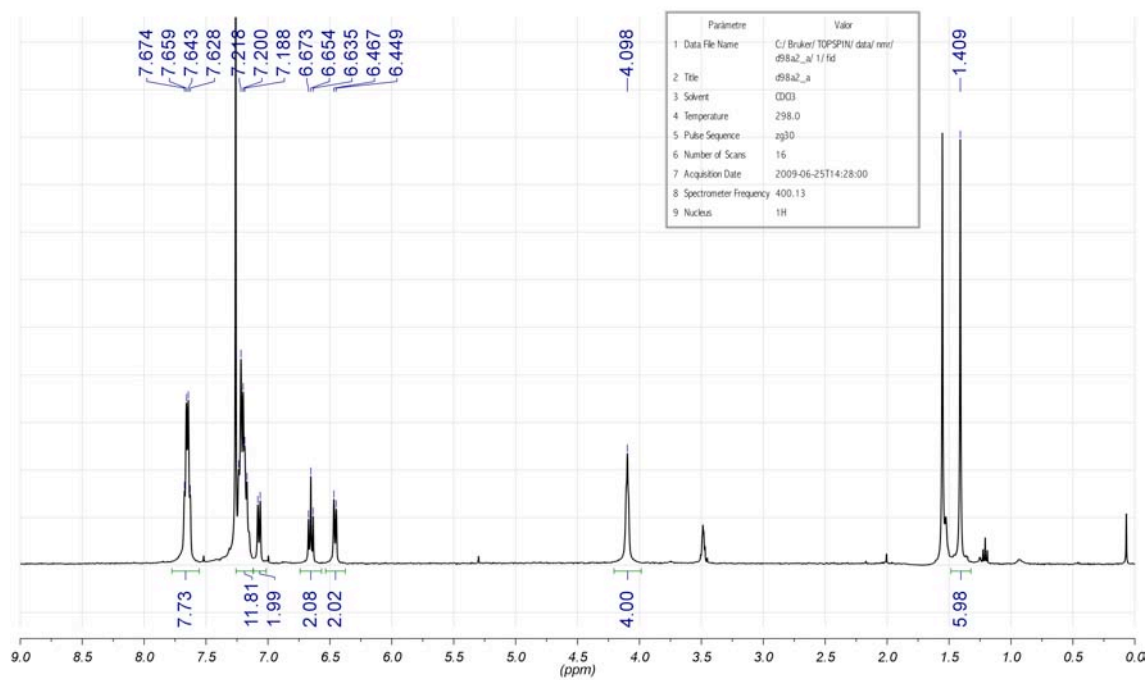
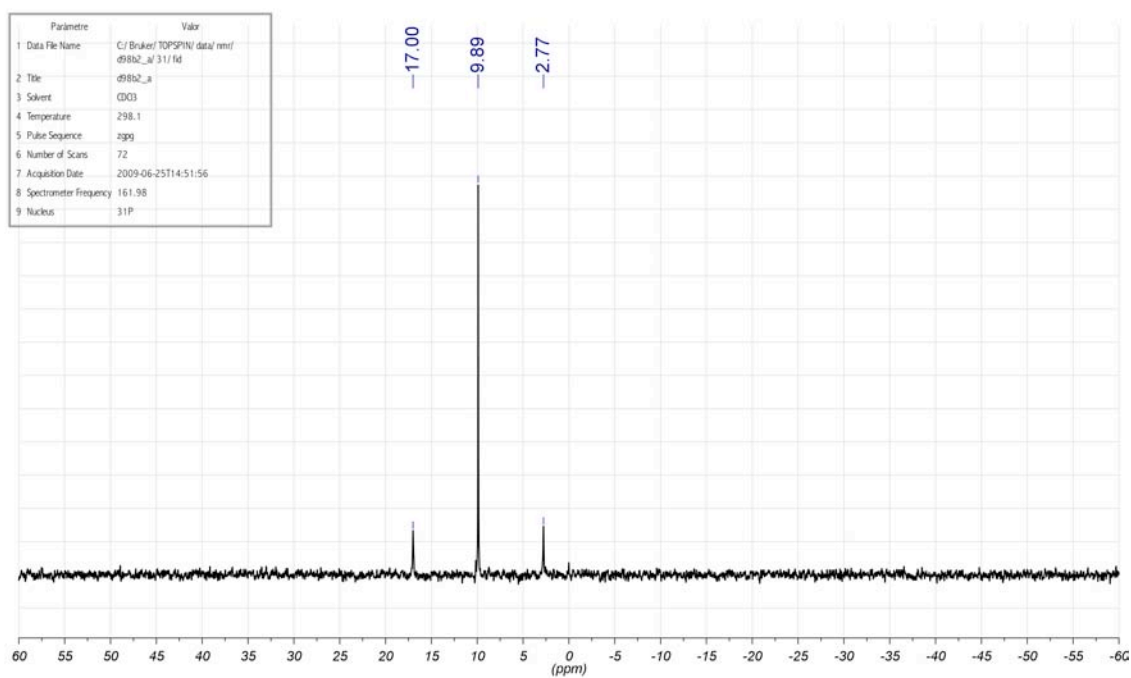
[PtCl₂(XantMephos)] (C37)¹H RMN (400 MHz, rt, CDCl₃):³¹P{¹H} RMN (162 MHz, rt, CDCl₃):

HRMS (ESI+):

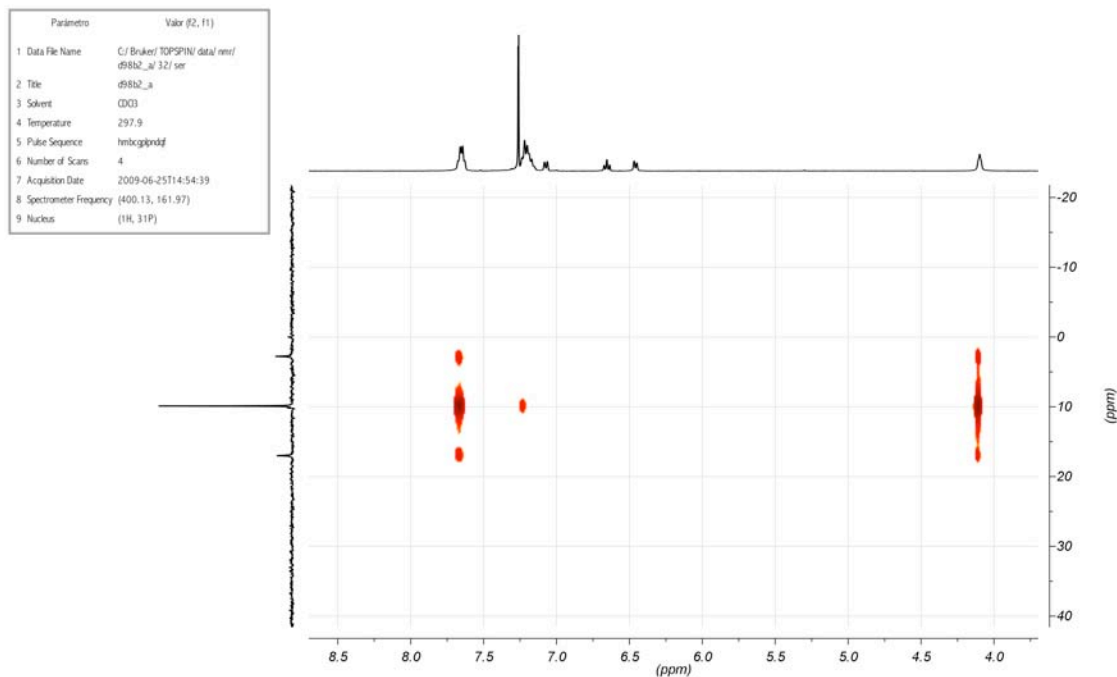
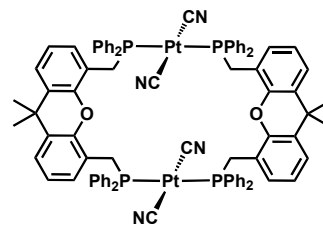
**Analysis Info**

Analysis Name d65bPt (8EM-150)_1-B,4_01_253.d Acquisition Date 27/05/2008 11:12:06
 Method ESIpos250-1300_FI-HS_MeCN_27-5-08.m Operator SAQ
 Sample Name d65bPt (8EM-150) Instrument micrOTOF-Q
 Comment ESI+. AER. Dó ca 2 ppm en MeCN. // O. VALLCORBA.

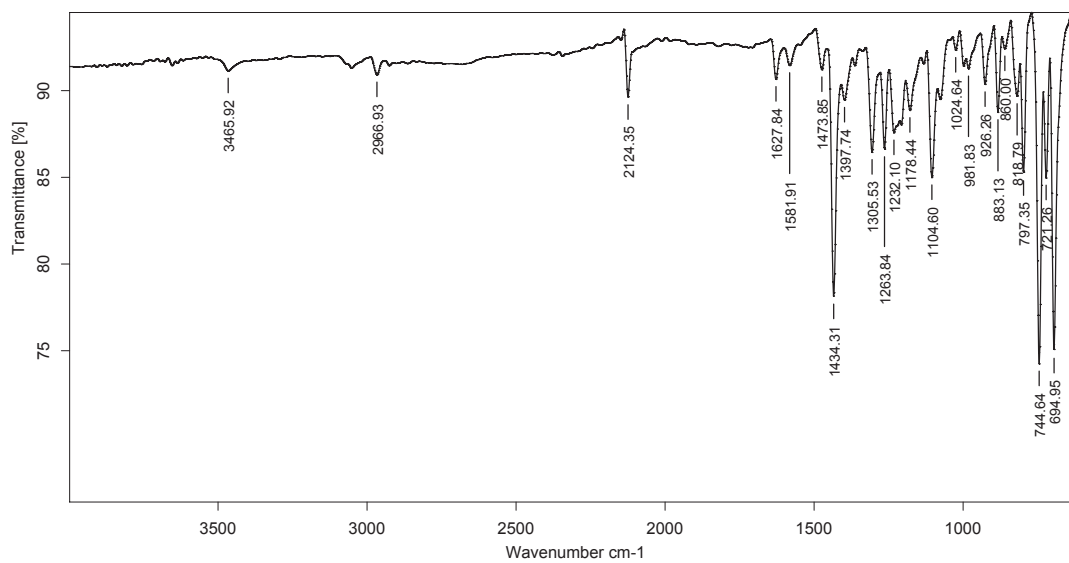
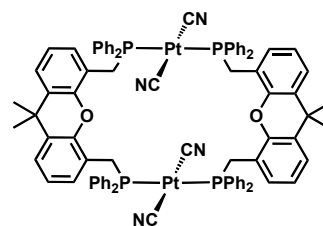


[Pt(CN)₂(XantMephos)] (C39)¹H RMN (400 MHz, rt, CDCl₃):³¹P{¹H} RMN (162 MHz, rt, CDCl₃):

Espectre de correlació ^1H - ^{31}P (HMBC):

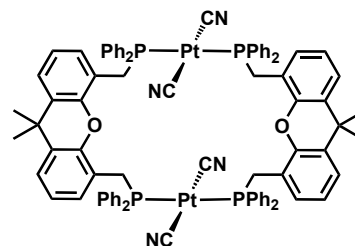


IR (ATR):



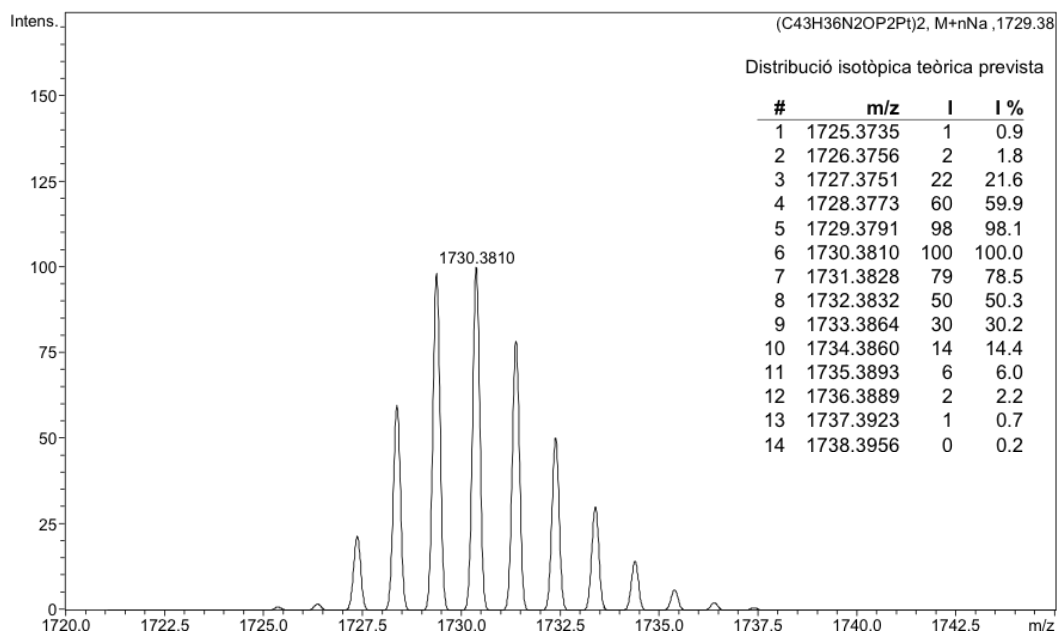
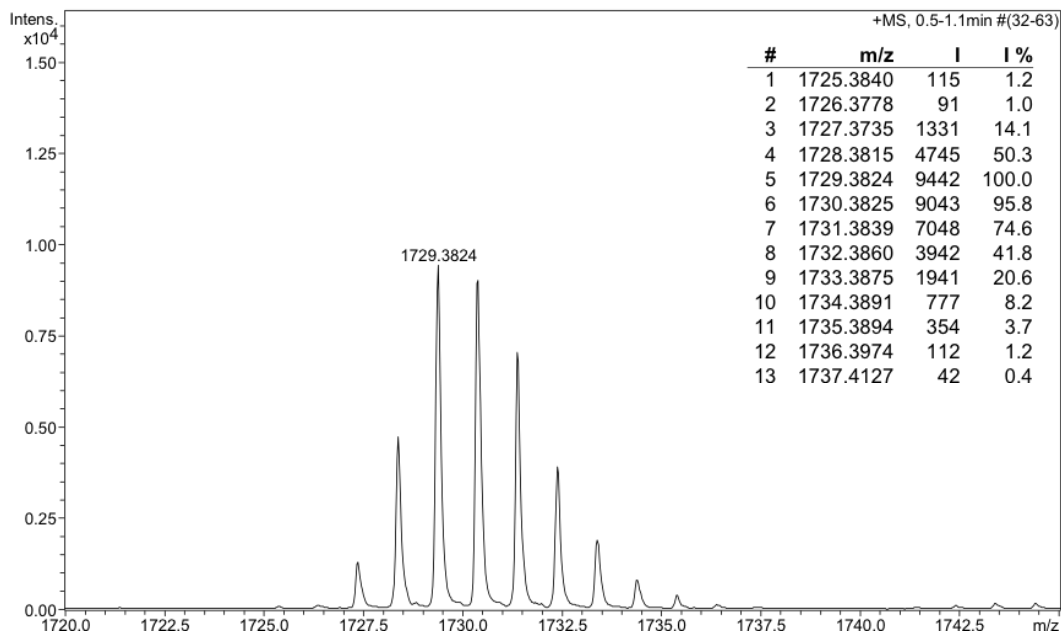
d98b2_a ; C:\MEAS\USUARIS_IR\ORIOIOL_Vld98b2_a.0 ; 29/06/2009 ; MKII Golden Gate

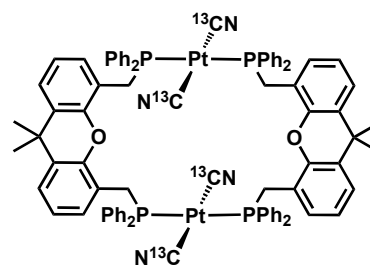
HRMS (ESI+):



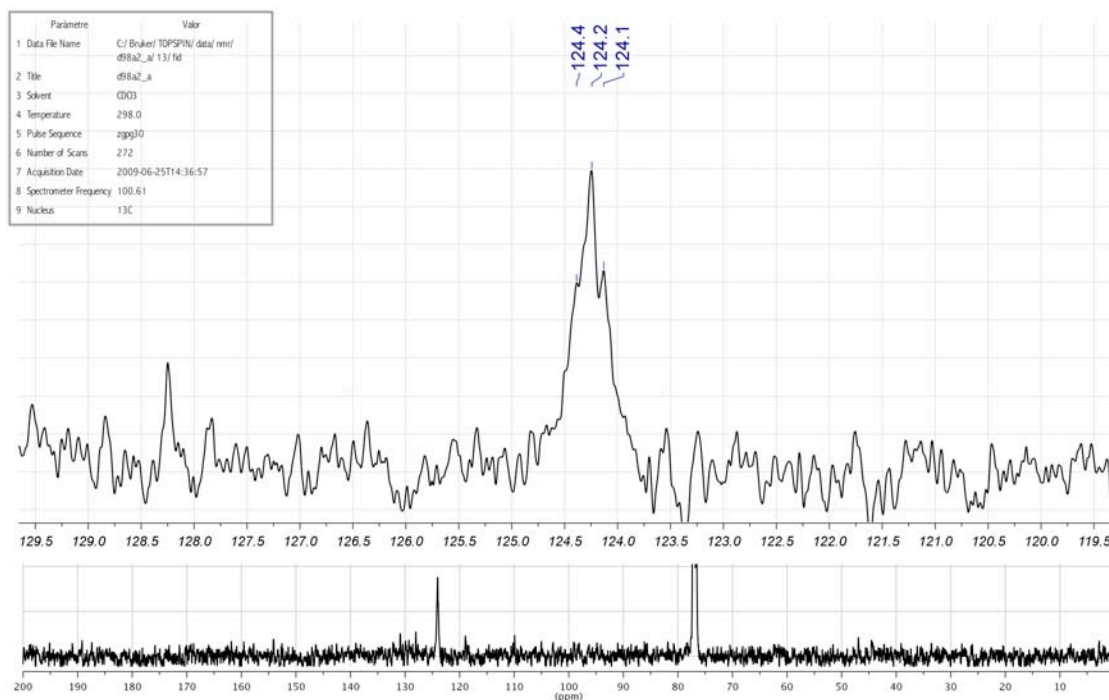
Analysis Info

Analysis Name	09EM345 (d98b)_1-d,4_01_2874.d	Acquisition Date	15/07/2009 14:03:52
Method	esipos622-2722_fi_11-02-09.m	Operator	SAQ
Sample Name	09EM345 (d98b)	Instrument	micrOTOF-Q
Comment	MIE. ESI+. Dó ca 20 ppm CH2Cl2:MeOH (1:3)+ NaOH ORIOI VALLCORBA		

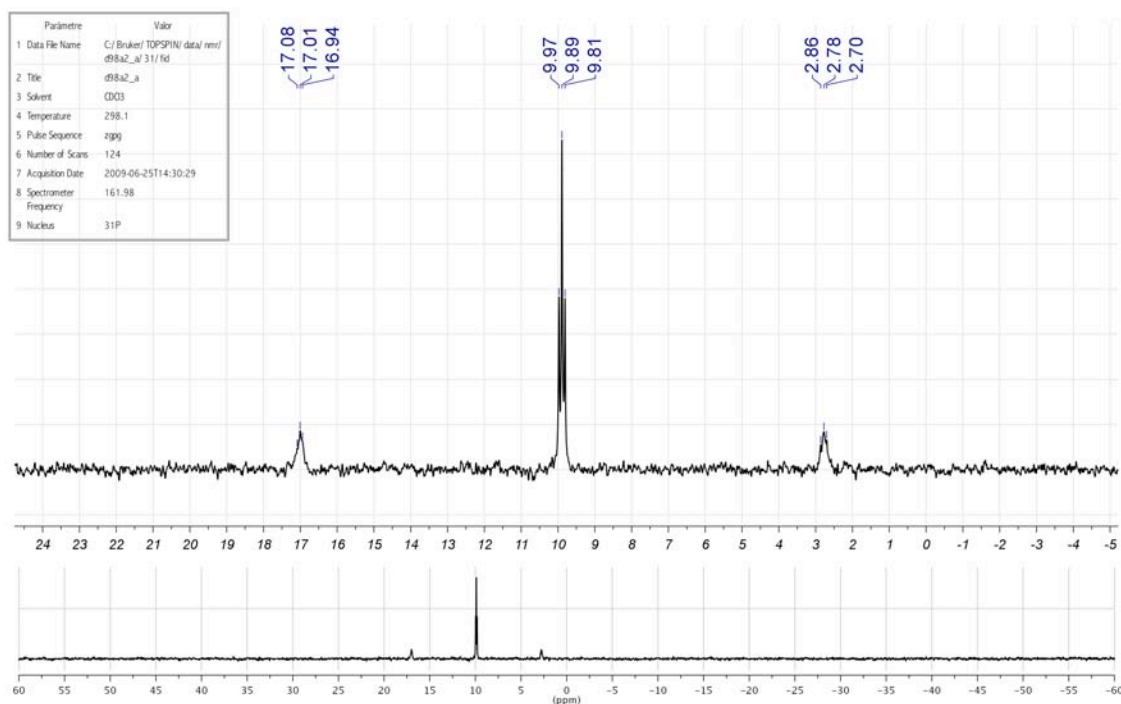


[Pt(¹³CN)₂(XantMephos)] (C39m)

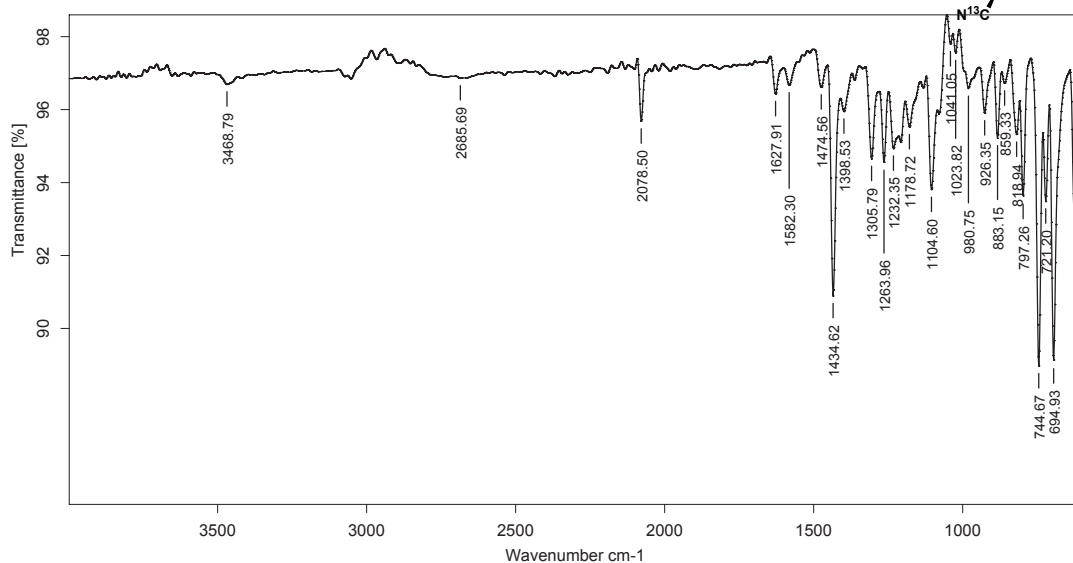
¹³C{¹H} RMN (101 MHz, rt, CDCl₃):



³¹P{¹H} RMN (162 MHz, rt, CDCl₃):



IR (ATR):



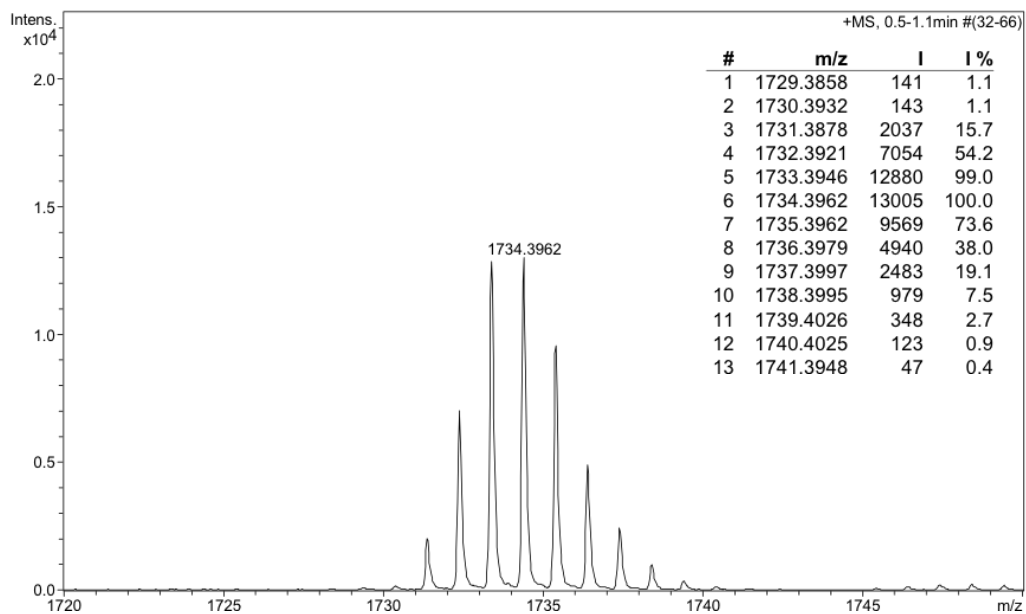
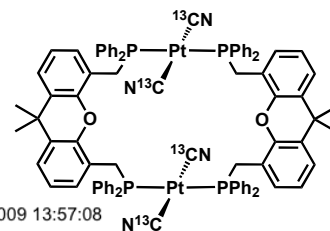
d98a2_a ; C:\MEAS\USUARIS_IR\ORIOL_Vid98a2_a.0 ; 29/06/2009 ; MKII Golden Gate

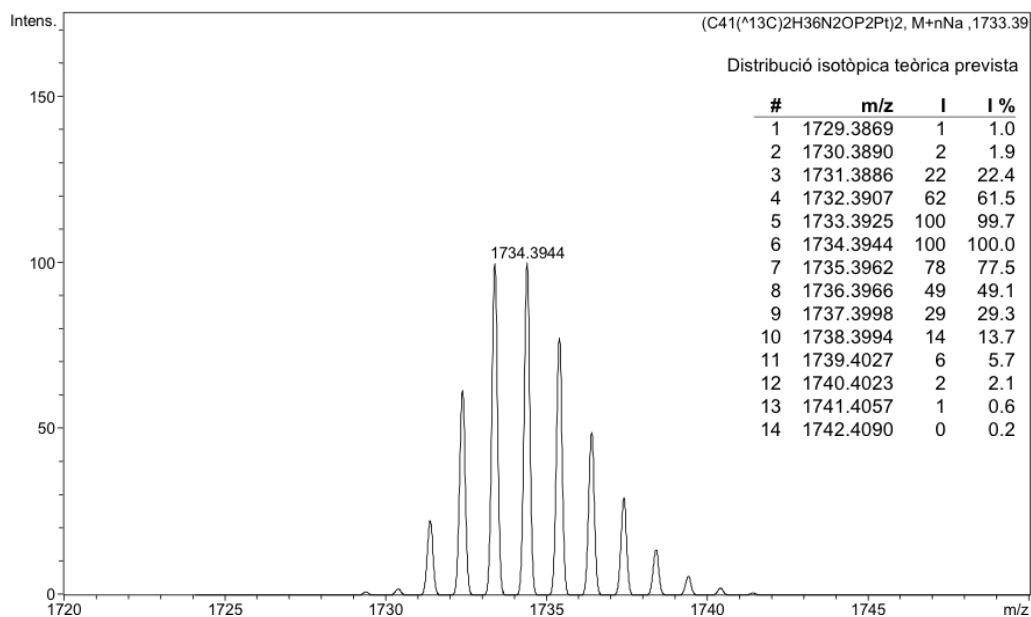
HRMS (ESI+):

Analysis Info

Analysis Name 09EM344 (d98a)_1-d_3_01_2873.d
 Method esipos622-2722_fi_11-02-09.m
 Sample Name 09EM344 (d98a)
 Comment MIE, ESI+. Dó ca 20 ppm CH₂Cl₂:MeOH (1:5) + NaOH
 ORIOL VALLCORBA

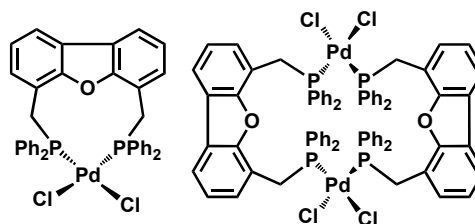
Acquisition Date 15/07/2009 13:57:08
 Operator SAQ
 Instrument micrOTOF-Q



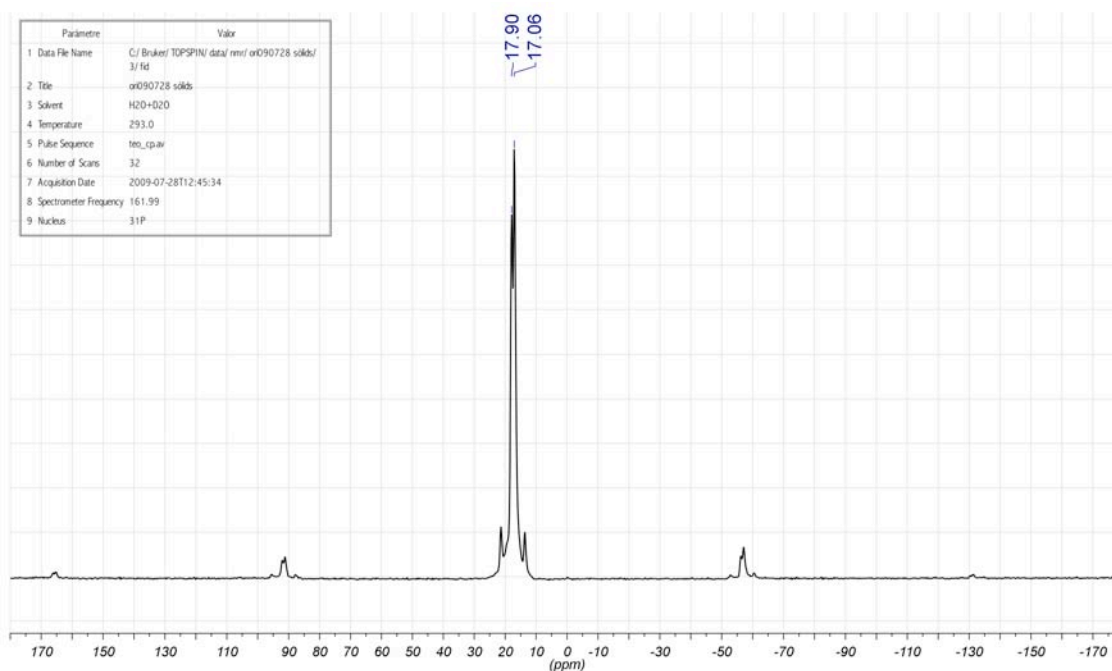


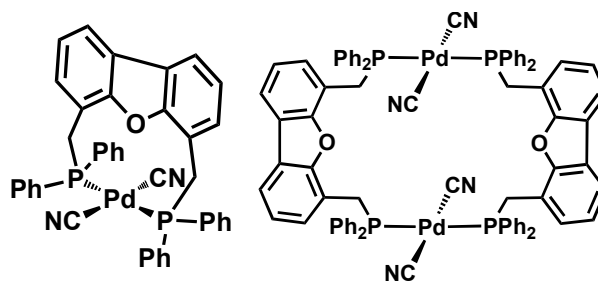
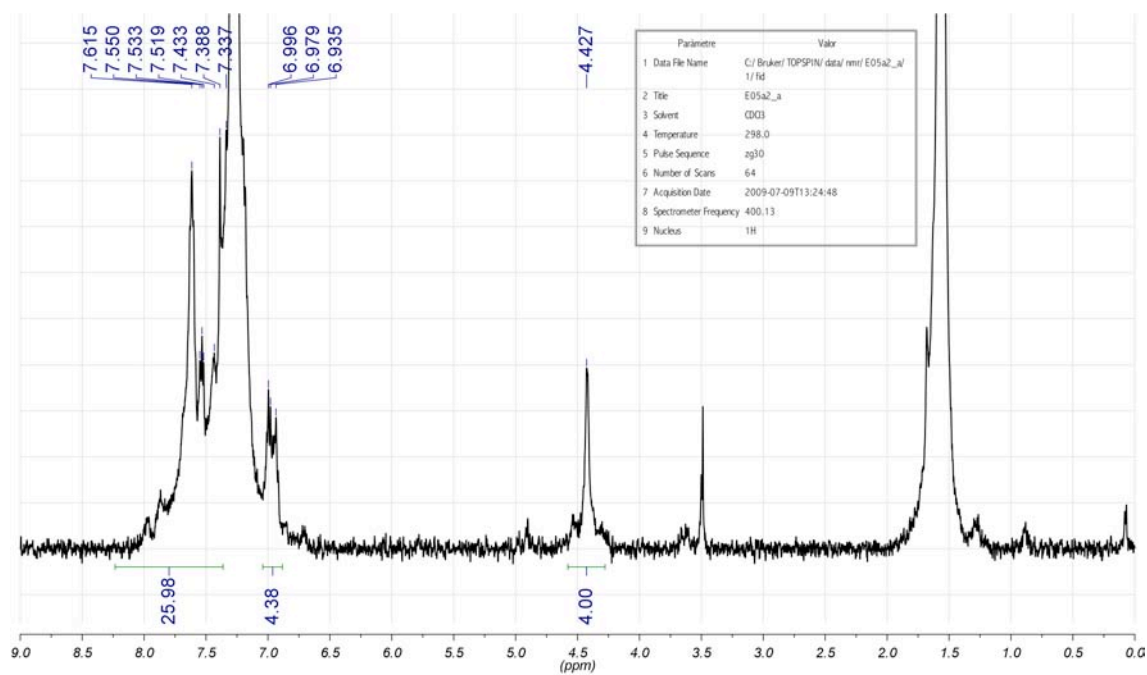
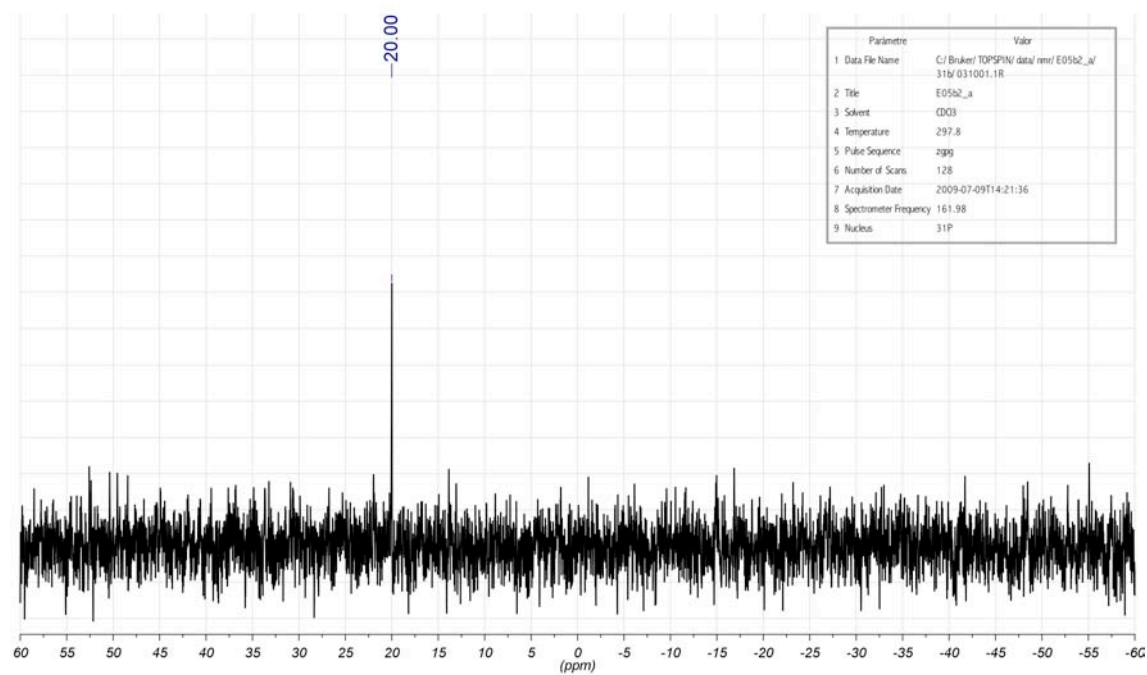
11.3 DBFMephos amb Pd i Pt

[PdCl₂(DBFMephos)] (C40)

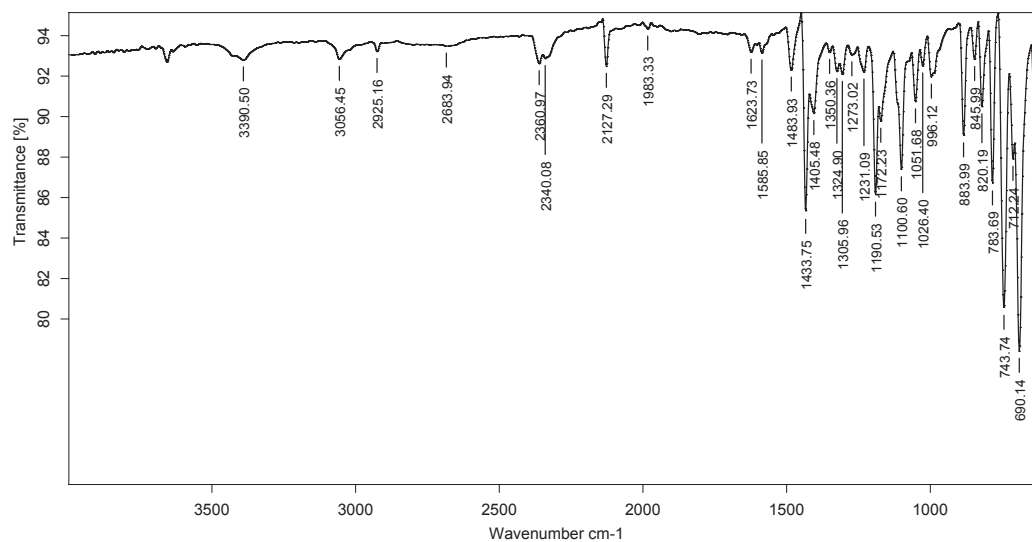


³¹P{¹H} RMN CP-MAS (162 MHz, rt, sòlid):



[Pd(CN)₂(DBFMephos)] (C42)¹H RMN (400 MHz, rt, CDCl₃):³¹P{¹H} RMN (162 MHz, rt, CDCl₃):

IR (ATR):



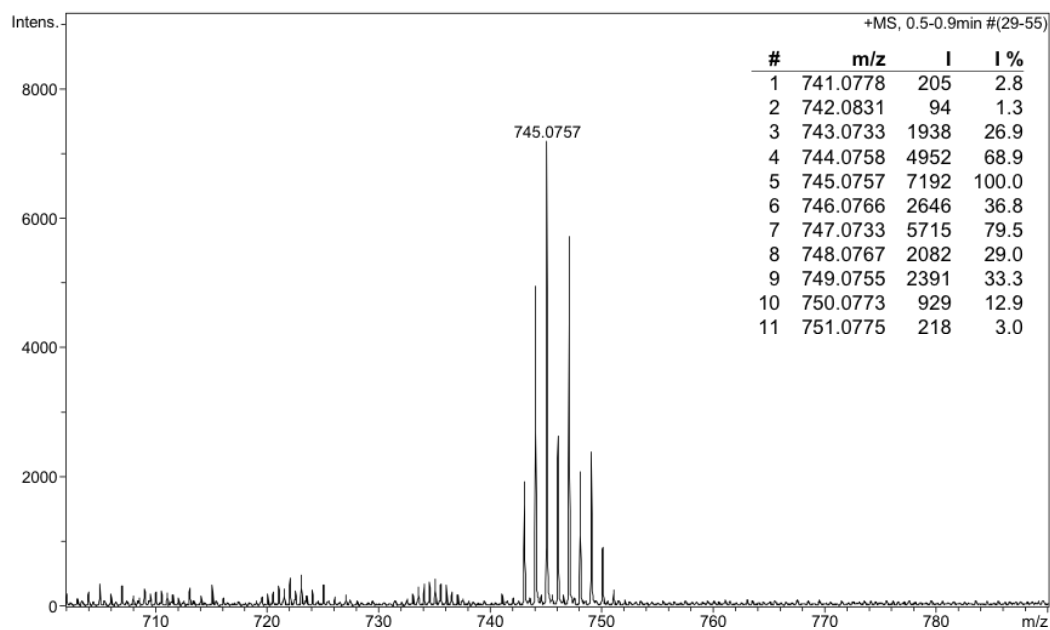
E05a2_a ; C:\MEASUSUARIS_IR\ORIOL_VIE05a2_a.0 ; 09/07/2009 ; MKII Golden Gate

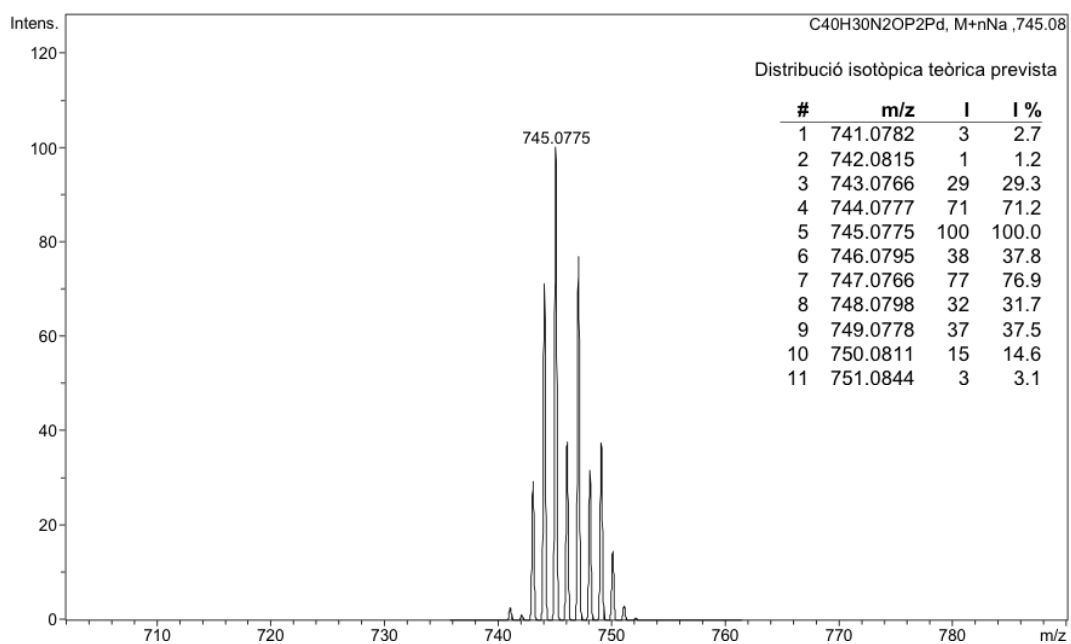
HRMS (ESI+):

Analysis Info

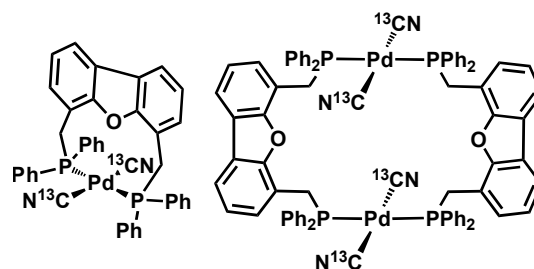
Analysis Name 09EM362(E05 b)_1-C,7_01_2869.d
 Method esipos622-2722_fi_11-02-09.m
 Sample Name 09EM362(E05 b)
 Comment MIE. ESI+. Dó ca. 18 ppm en CH₂Cl₂:MeOH (1:4)
 ORIOL VALLCORBA

Acquisition Date 15/07/2009 13:08:12
 Operator SAQ
 Instrument micrOTOF-Q

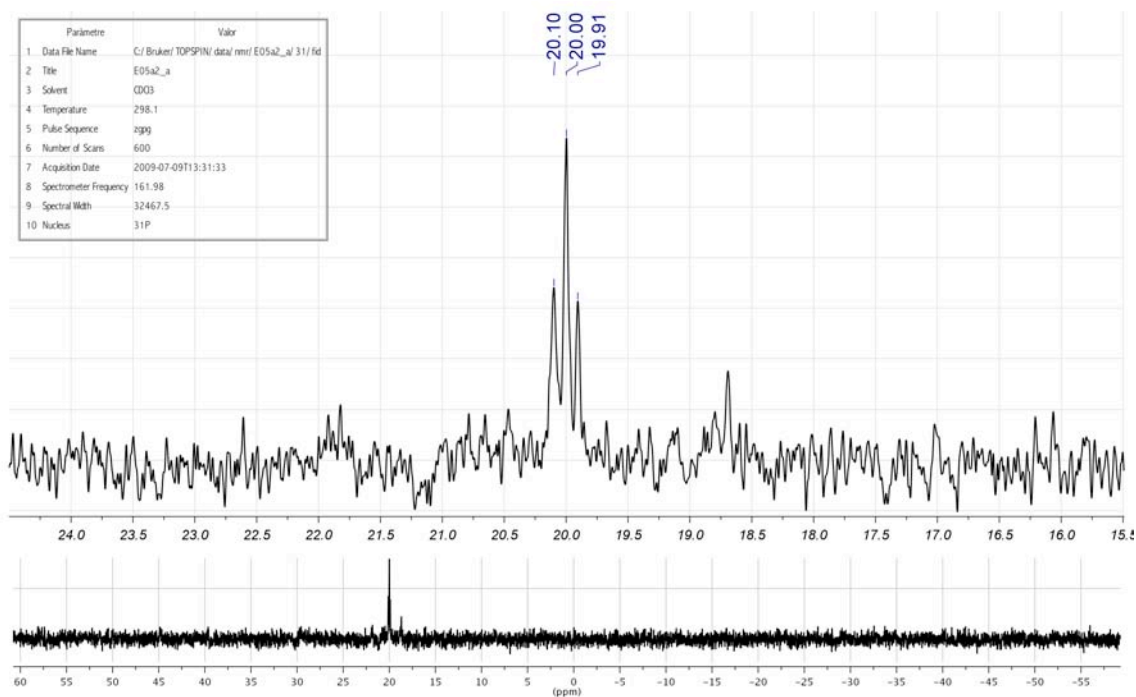




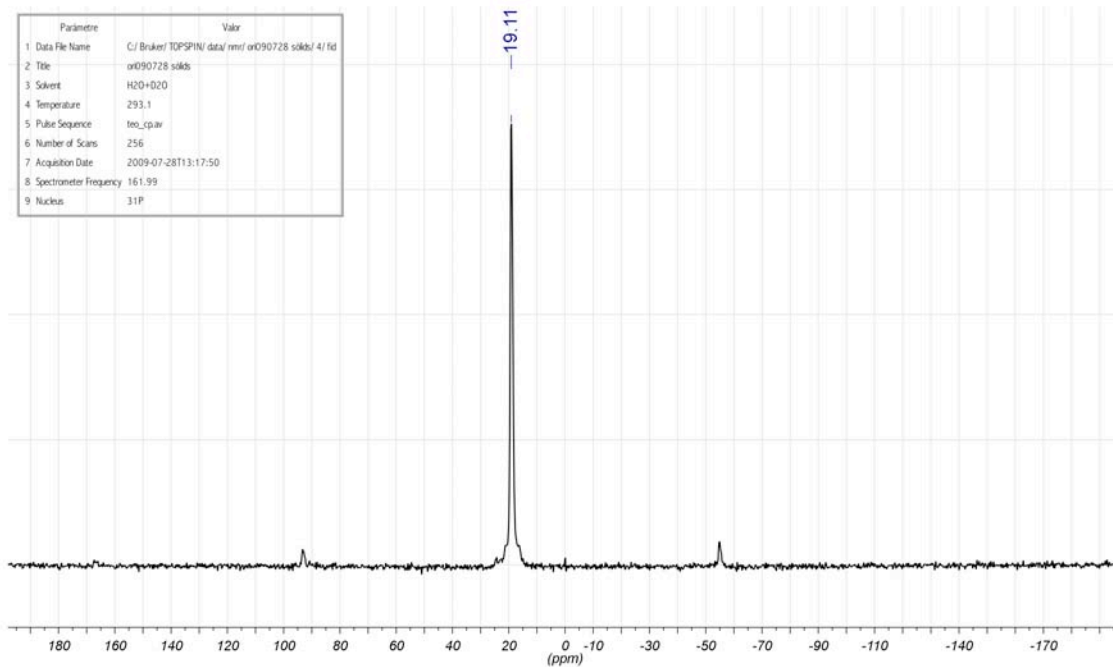
$[Pd(^{13}CN)_2(DBFMephos)]$ (C42m)



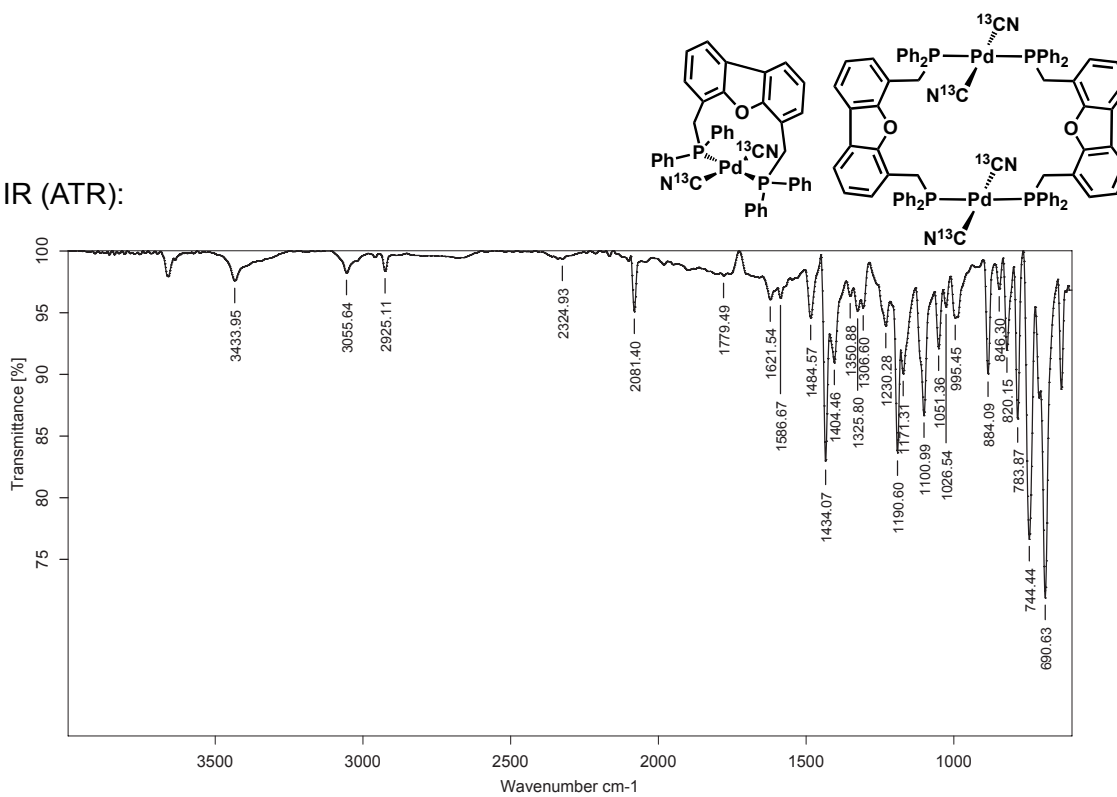
$^{31}P\{^1H\}$ RMN (162 MHz, rt, $CDCl_3$):



$^{31}\text{P}\{^1\text{H}\}$ RMN CP-MAS (162 MHz, rt, sòlid):

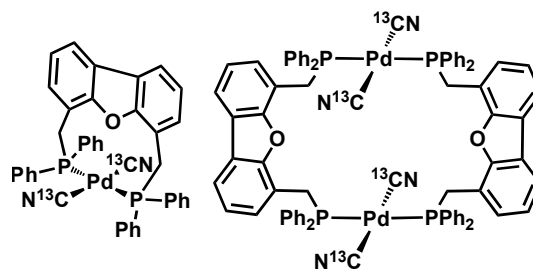


IR (ATR):

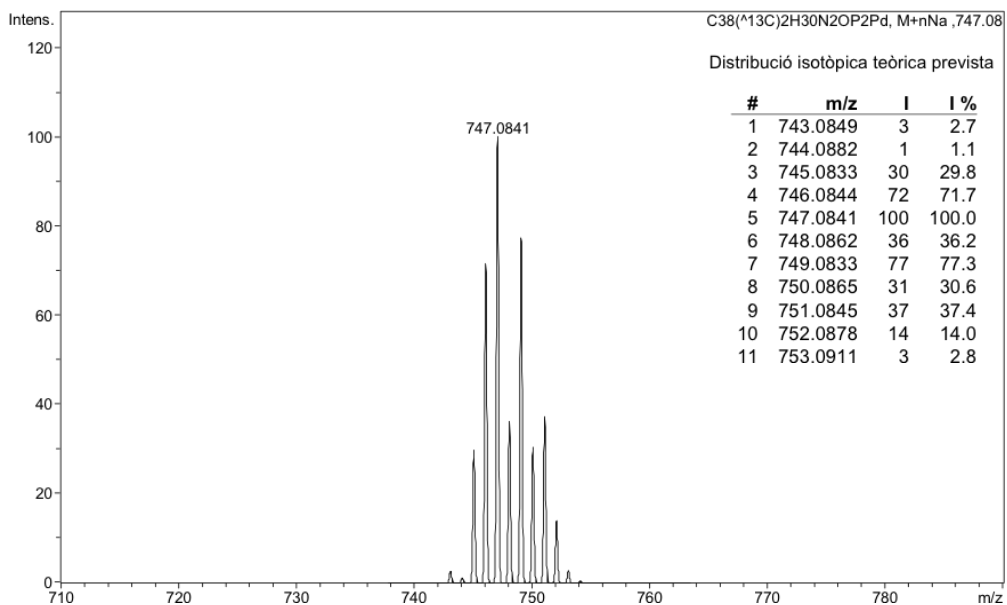
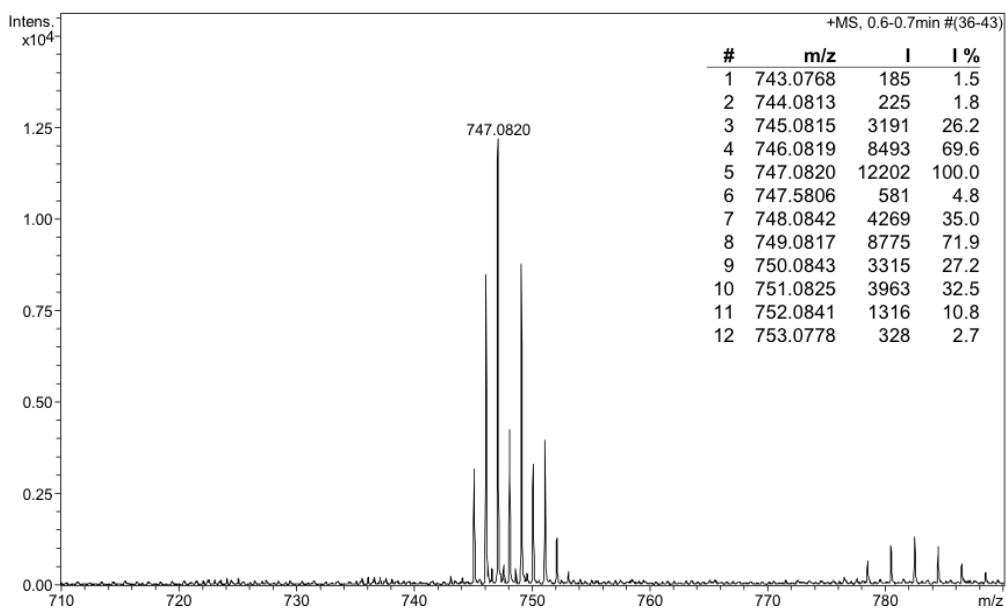


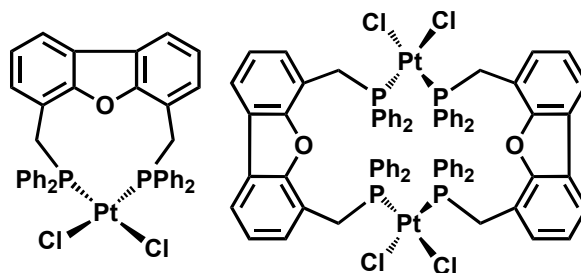
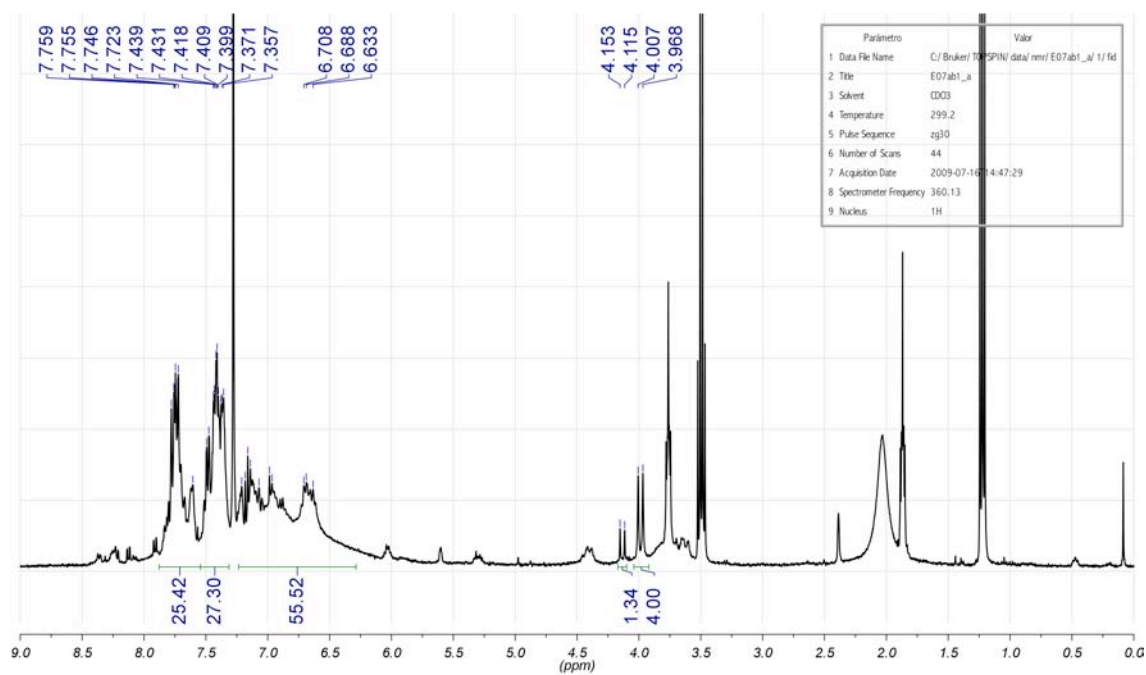
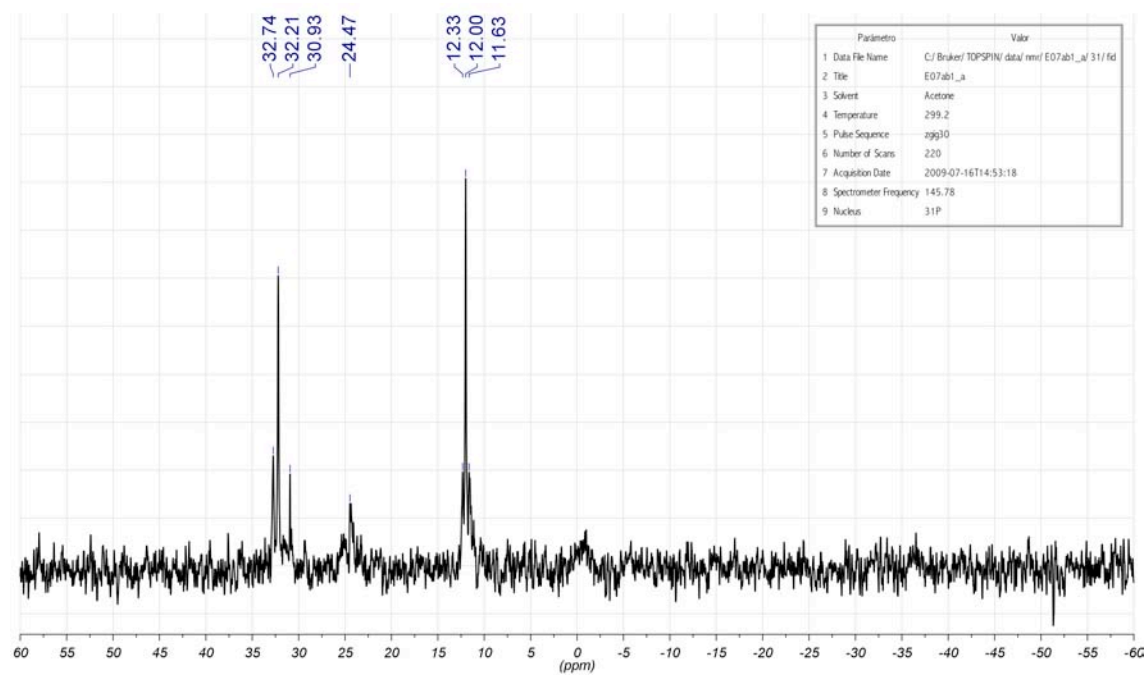
E05b2_a ; C:\MEAS\USUARIS_IR\ORIOIOL_V\E05b2_a.0 ; 09/07/2009 ; MKII Golden Gate

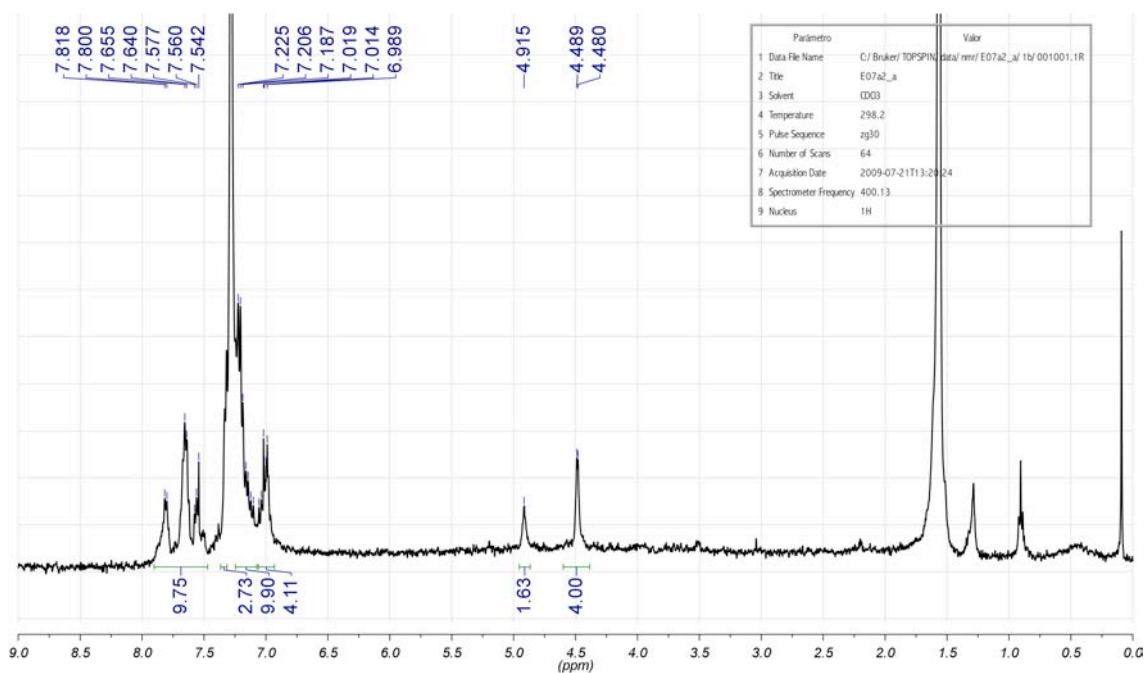
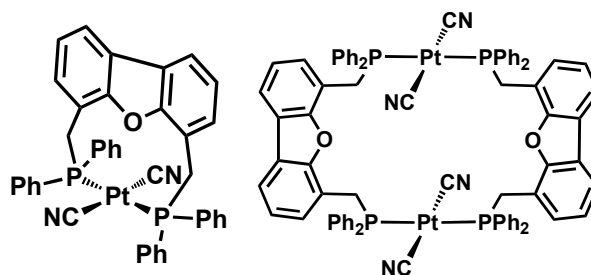
HRMS (ESI+):

**Analysis Info**

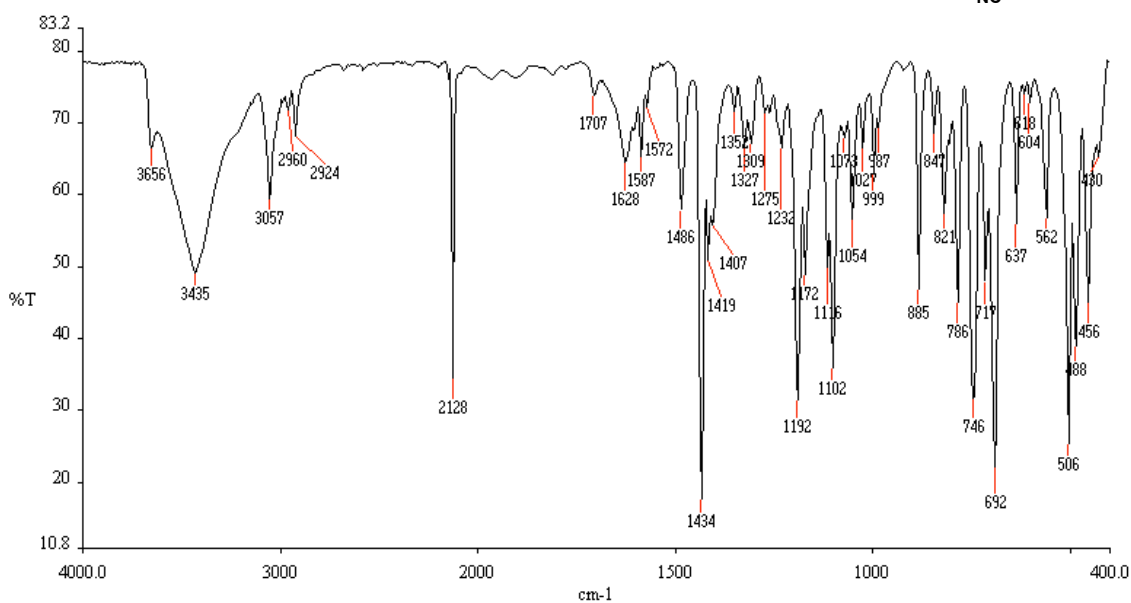
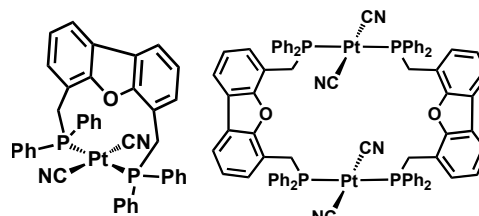
Analysis Name 09EM361 (E05 a)_1-C_6_01_2870.d Acquisition Date 15/07/2009 13:14:56
 Method esipos622-2722_fi_11-02-09.m Operator SAQ
 Sample Name 09EM361 (E05 a) Instrument micrOTOF-Q
 Comment MIE. ESI+. Dó ca 12 ppm en CH2Cl2:MeOH (1:4)
 ORIOL VALLCORBA



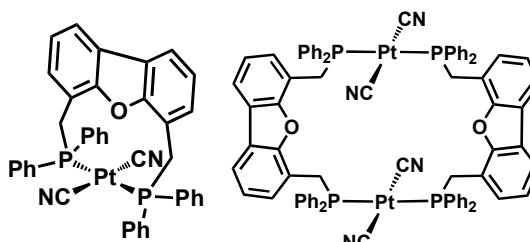
[PtCl₂(DBFMephos)] (C41)¹H RMN (400 MHz, rt, CDCl₃):³¹P{¹H} RMN (162 MHz, rt, CDCl₃):

[Pt(CN)₂(DBFMephos)] (C43)¹H RMN (400 MHz, rt, CDCl₃):

IR (KBr):

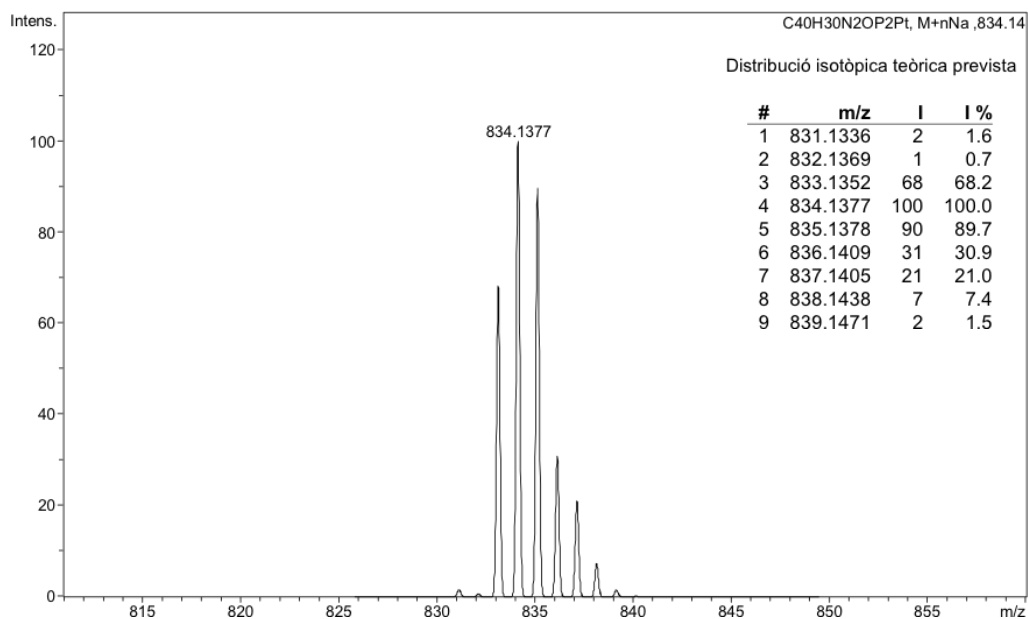
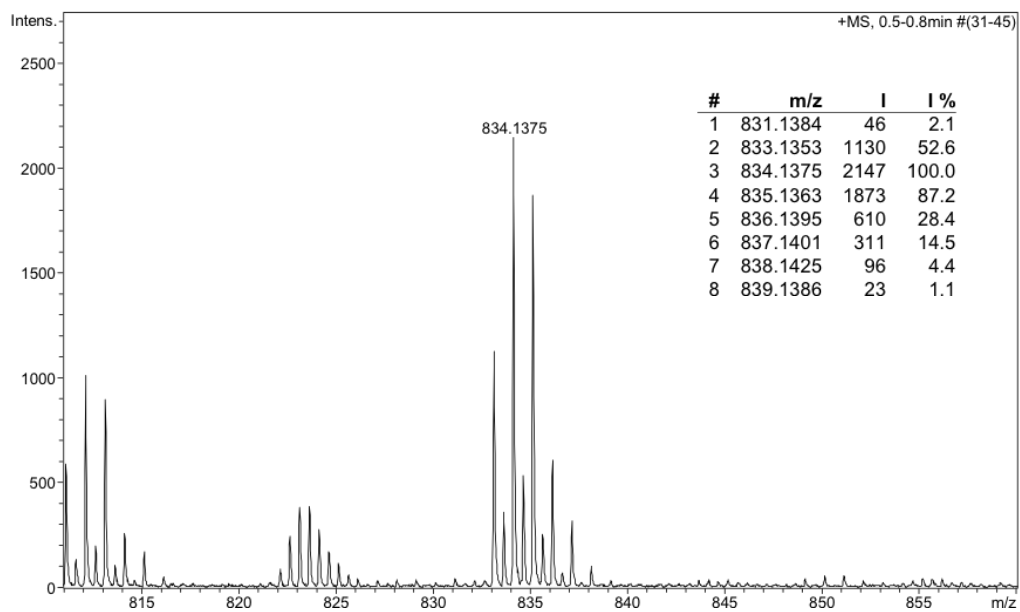


HRMS (ESI+):

**Analysis Info**

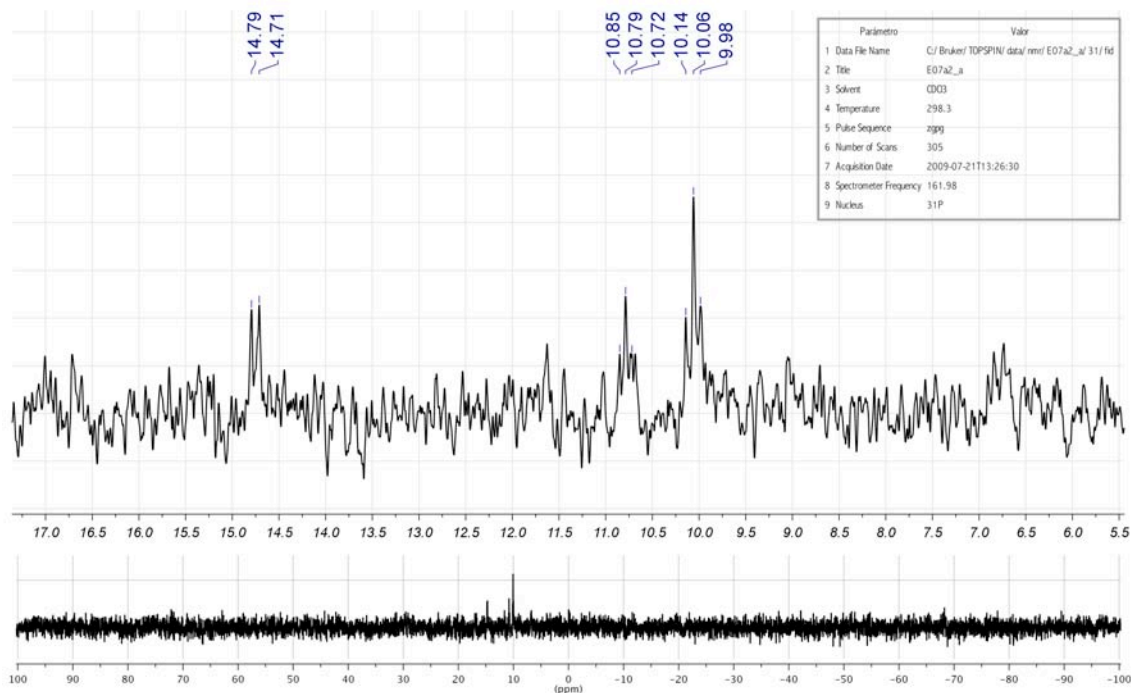
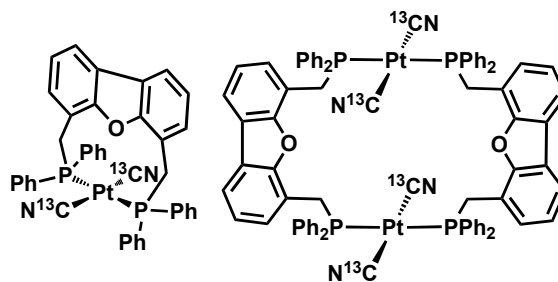
Analysis Name 09EM376 (E07 b)_1-c,3_01_3276.d
 Method esipos622-2722_fi_11-02-09.m
 Sample Name 09EM376 (E07 b)
 Comment MIE. ESI+. Dó ca. 10 ppm en CH₂Cl₂:MeOH (1:1)
 ORIOL VALLCORBA

Acquisition Date 29/07/2009 12:55:24
 Operator SAQ
 Instrument micrOTOF-Q

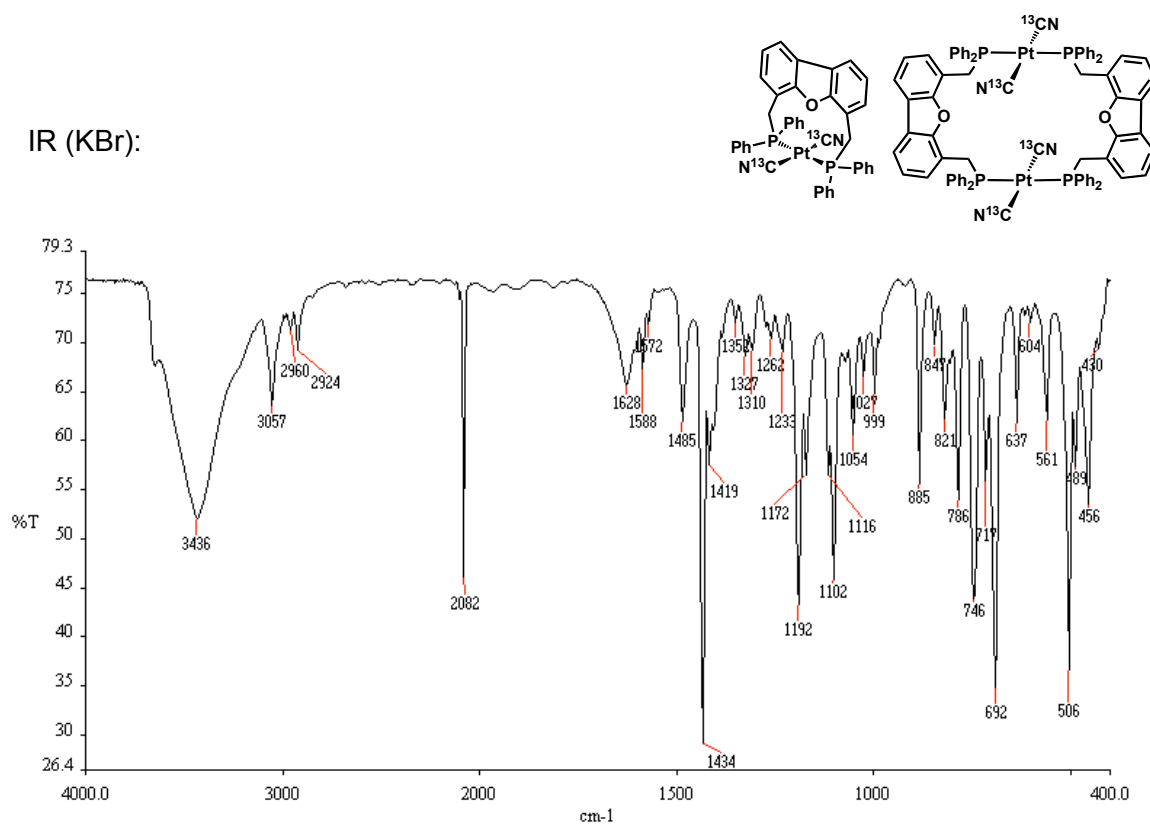


[Pt(¹³CN)₂(DBFMephos)] (C43m)

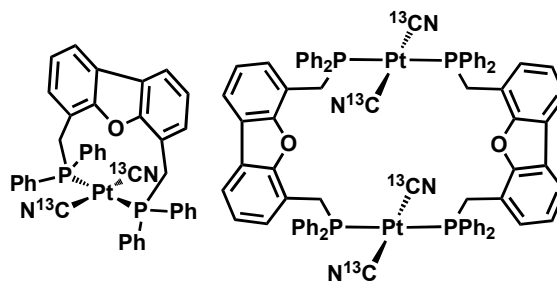
³¹P{¹H} RMN (162 MHz, rt, CDCl₃):



IR (KBr):

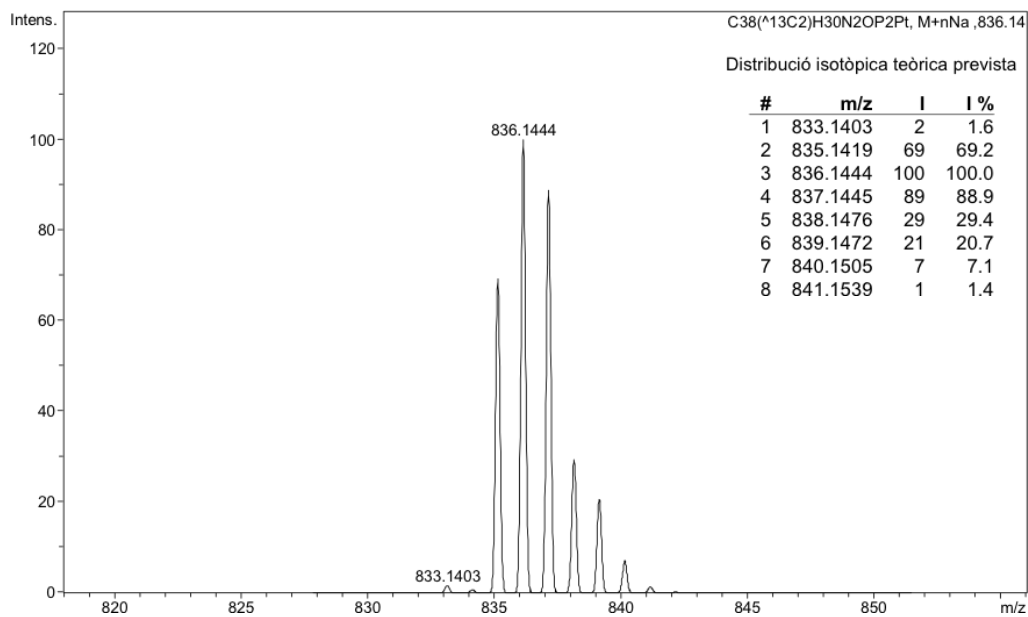
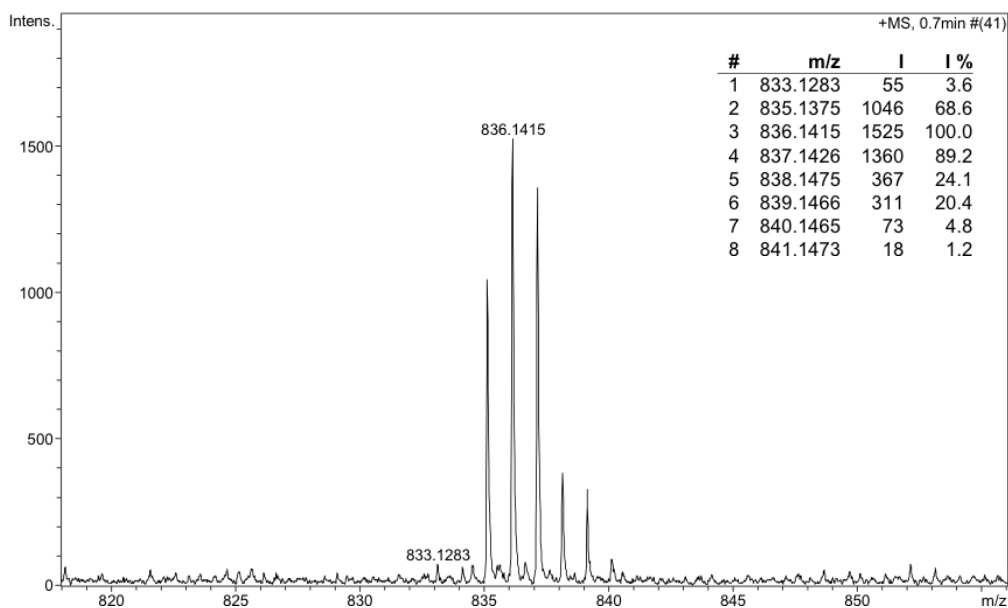


HRMS (ESI+):

**Analysis Info**

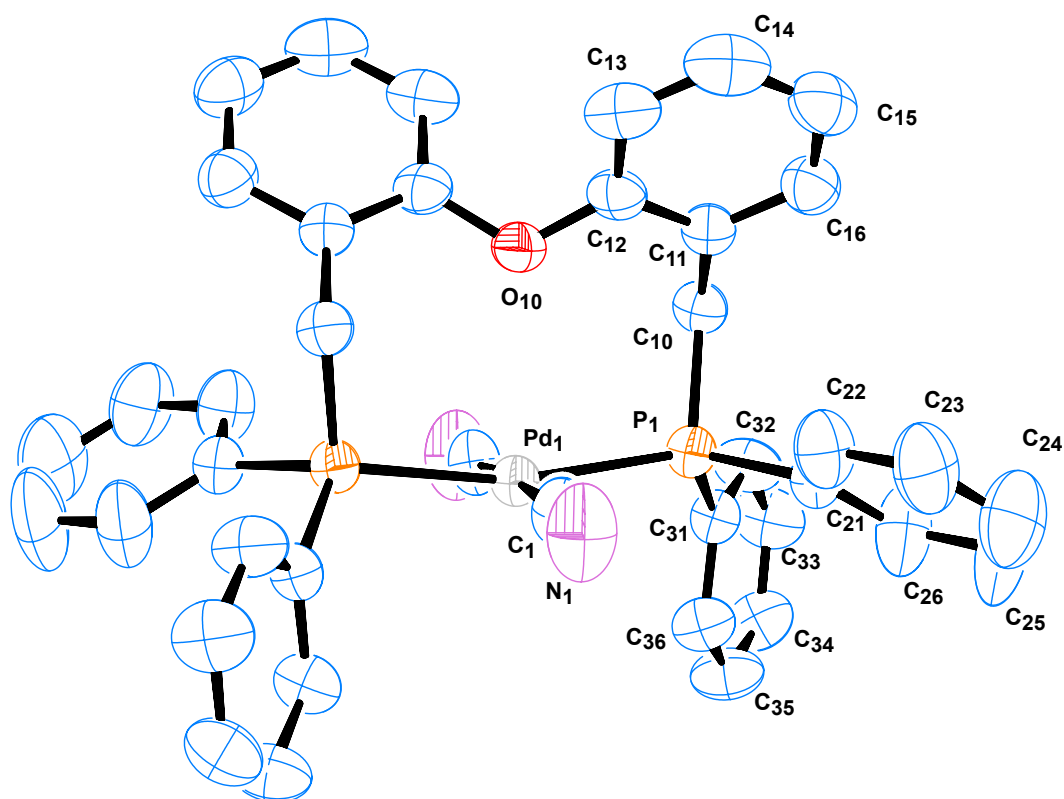
Analysis Name 09EM377 (E07 a)_1-d,6_01_3289.d
 Method esipos622-2722_fi_11-02-09.m
 Sample Name 09EM377 (E07 a)
 Comment MIE, ESI+, Dó ca. 20 ppm en CH₂Cl₂:MeOH (1:8)
 ORIOL VALLCORBA

Acquisition Date 29/07/2009 14:22:52
 Operator SAQ
 Instrument micrOTOF-Q



12 Dades cristal·logràfiques

12.1 CIF de la estructura cristal·lina de [(DPEMephos)Pd(CN)₂] (C34)



```

data_ov02
_audit_creation_method          SHELXL-97
_chemical_name_systematic
;
?
;
_chemical_name_common           ?
_chemical_melting_point         ?
_chemical_formula_moiety        ?
_chemical_formula_sum           'C42 H40 N2 O3 P2 Pd'
_chemical_formula_weight        789.10

loop_
_atom_type_symbol
_atom_type_description
_atom_type_scatter_dispersion_real
_atom_type_scatter_dispersion_imag
_atom_type_scatter_source
'C'  'C'    0.0033  0.0016
'International Tables Vol C Tables 4.2.6.8 and 6.1.1.4'
'H'  'H'    0.0000  0.0000
'International Tables Vol C Tables 4.2.6.8 and 6.1.1.4'
'N'  'N'    0.0061  0.0033
'International Tables Vol C Tables 4.2.6.8 and 6.1.1.4'
'O'  'O'    0.0106  0.0060
'International Tables Vol C Tables 4.2.6.8 and 6.1.1.4'
'P'  'P'    0.1023  0.0942
'International Tables Vol C Tables 4.2.6.8 and 6.1.1.4'

```

```

'Pd' 'Pd' -0.9988 1.0072
'International Tables Vol C Tables 4.2.6.8 and 6.1.1.4'

_symmetry_cell_setting ?
_symmetry_space_group_name_H-M ?

loop_
_symmetry_equiv_pos_as_xyz
  'x, y, z'
  'x, -y, z+1/2'
  'x+1/2, y+1/2, z'
  'x+1/2, -y+1/2, z+1/2'
  '-x, -y, -z'
  '-x, y, -z-1/2'
  '-x+1/2, -y+1/2, -z'
  '-x+1/2, y+1/2, -z-1/2'

_cell_length_a 24.3981(17)
_cell_length_b 8.4788(6)
_cell_length_c 19.0002(13)
_cell_angle_alpha 90.00
_cell_angle_beta 104.0970(10)
_cell_angle_gamma 90.00
_cell_volume 3812.1(5)
_cell_formula_units_Z 4
_cell_measurement_temperature 293(2)
_cell_measurement_reflns_used ?
_cell_measurement_theta_min ?
_cell_measurement_theta_max ?

_exptl_crystal_description ?
_exptl_crystal_colour ?
_exptl_crystal_size_max ?
_exptl_crystal_size_mid ?
_exptl_crystal_size_min ?
_exptl_crystal_density_meas ?
_exptl_crystal_density_diffn 1.375
_exptl_crystal_density_method 'not measured'
_exptl_crystal_F_000 1624
_exptl_absorpt_coefficient_mu 0.611
_exptl_absorpt_correction_type ?
_exptl_absorpt_correction_T_min ?
_exptl_absorpt_correction_T_max ?
_exptl_absorpt_process_details ?

_exptl_special_details
;
?
;

_diffn_ambient_temperature 293(2)
_diffn_radiation_wavelength 0.71073
_diffn_radiation_type MoK\alpha
_diffn_radiation_source 'fine-focus sealed tube'
_diffn_radiation_monochromator graphite
_diffn_measurement_device_type ?
_diffn_measurement_method ?
_diffn_detector_area_resol_mean ?
_diffn_standards_number ?
_diffn_standards_interval_count ?
_diffn_standards_interval_time ?
_diffn_standards_decay_% ?
_diffn_reflns_number 12834
_diffn_reflns_av_R_equivalents 0.0342
_diffn_reflns_av_sigmaI/netI 0.0479
_diffn_reflns_limit_h_min -31
_diffn_reflns_limit_h_max 30
_diffn_reflns_limit_k_min -11
_diffn_reflns_limit_k_max 10
_diffn_reflns_limit_l_min -25

```

```

_diffrn_reflms_limit_l_max      24
_diffrn_reflms_theta_min      2.21
_diffrn_reflms_theta_max      29.04
_reflms_number_total          4653
_reflms_number_gt              3657
_reflms_threshold_expression    >2sigma(I)

_computing_data_collection      ?
_computing_cell_refinement      ?
_computing_data_reduction      ?
_computing_structure_solution   'SHELXS-97 (Sheldrick, 1990)'
_computing_structure_refinement 'SHELXL-97 (Sheldrick, 1997)'
_computing_molecular_graphics  ?
_computing_publication_material ?

_refine_special_details
;
Refinement of F2 against ALL reflections. The weighted R-factor wR and
goodness of fit S are based on F2, conventional R-factors R are based
on F, with F set to zero for negative F2. The threshold expression of
F2 > 2sigma(F2) is used only for calculating R-factors(gt) etc. and is
not relevant to the choice of reflections for refinement. R-factors based
on F2 are statistically about twice as large as those based on F, and R-
factors based on ALL data will be even larger.
;

_refine_ls_structure_factor_coef Fsqd
_refine_ls_matrix_type          full
_refine_ls_weighting_scheme     calc
_refine_ls_weighting_details    'calc w=1/[\s^2^(Fo^2)+(0.0773P)^2+0.2304P] where P=(Fo^2+2Fc^2)/3'
_atom_sites_solution_primary    direct
_atom_sites_solution_secondary difmap
_atom_sites_solution_hydrogens  geom
_refine_ls_hydrogen_treatment   mixed
_refine_ls_extinction_method     none
_refine_ls_extinction_coef      ?
_refine_ls_number_reflms        4653
_refine_ls_number_parameters     235
_refine_ls_number_restraints    3
_refine_ls_R_factor_all         0.0657
_refine_ls_R_factor_gt          0.0479
_refine_ls_wR_factor_ref        0.1328
_refine_ls_wR_factor_gt         0.1225
_refine_ls_goodness_of_fit_ref  1.027
_refine_ls_restrained_S_all     1.029
_refine_ls_shift/su_max         0.408
_refine_ls_shift/su_mean        0.027

loop
_atom_site_label
_atom_site_type_symbol
_atom_site_fract_x
_atom_site_fract_y
_atom_site_fract_z
_atom_site_U_iso_or_equiv
_atom_site_adp_type
_atom_site_occupancy
_atom_site_symmetry_multiplicity
_atom_site_calc_flag
_atom_site_refinement_flags
_atom_site_disorder_assembly
_atom_site_disorder_group
Pd1 Pd 0.5000 0.13534(4) 0.2500 0.03643(13) Uani 1 2 d S . .
P1 P 0.42370(4) 0.10328(10) 0.14934(4) 0.0382(2) Uani 1 1 d . . .
C21 C 0.35011(15) 0.1222(4) 0.1553(2) 0.0473(8) Uani 1 1 d . . .
C1 C 0.45313(16) 0.1430(4) 0.3228(2) 0.0532(9) Uani 1 1 d . . .
C36 C 0.43082(17) 0.3871(4) 0.08340(19) 0.0515(9) Uani 1 1 d . . .
H36 H 0.4333 0.4283 0.1295 0.062 Uiso 1 1 calc R . .
C10 C 0.42788(15) -0.1011(4) 0.11826(18) 0.0437(7) Uani 1 1 d . . .

```

H10A H 0.4033 -0.1110 0.0700 0.052 Uiso 1 1 calc R . .
H10B H 0.4662 -0.1207 0.1144 0.052 Uiso 1 1 calc R . .
N1 N 0.42845(16) 0.1512(5) 0.3658(2) 0.0837(13) Uani 1 1 d . . .
C33 C 0.42490(19) 0.2686(5) -0.0532(2) 0.0677(11) Uani 1 1 d . . .
H33 H 0.4234 0.2284 -0.0991 0.081 Uiso 1 1 calc R . .
C32 C 0.42515(19) 0.1681(4) 0.0036(2) 0.0601(10) Uani 1 1 d . . .
H32 H 0.4236 0.0598 -0.0043 0.072 Uiso 1 1 calc R . .
C31 C 0.42774(13) 0.2265(4) 0.07220(16) 0.0410(7) Uani 1 1 d . . .
O10 O 0.5000 -0.2027(4) 0.2500 0.0620(10) Uani 1 2 d S . .
C11 C 0.41212(13) -0.2274(4) 0.16557(17) 0.0406(7) Uani 1 1 d . . .
C12 C 0.44945(15) -0.2823(4) 0.22726(17) 0.0459(8) Uani 1 1 d . . .
C16 C 0.35886(16) -0.2965(4) 0.1462(2) 0.0554(9) Uani 1 1 d . . .
H16 H 0.3325 -0.2597 0.1055 0.066 Uiso 1 1 calc R . .
C34 C 0.42688(19) 0.4290(5) -0.0418(2) 0.0642(11) Uani 1 1 d . . .
H34 H 0.4260 0.4974 -0.0803 0.077 Uiso 1 1 calc R . .
C35 C 0.43014(19) 0.4870(5) 0.0252(2) 0.0640(11) Uani 1 1 d . . .
H35 H 0.4319 0.5955 0.0326 0.077 Uiso 1 1 calc R . .
C22 C 0.33314(17) 0.0577(6) 0.2126(2) 0.0653(11) Uani 1 1 d . . .
H22 H 0.3594 0.0060 0.2490 0.078 Uiso 1 1 calc R . .
C26 C 0.31090(18) 0.2026(7) 0.1032(3) 0.0836(14) Uani 1 1 d . . .
H26 H 0.3217 0.2496 0.0644 0.100 Uiso 1 1 calc R . .
C24 C 0.2392(2) 0.1460(7) 0.1659(4) 0.100(2) Uani 1 1 d . . .
H24 H 0.2019 0.1540 0.1693 0.120 Uiso 1 1 calc R . .
C23 C 0.27688(19) 0.0684(7) 0.2172(3) 0.0826(14) Uani 1 1 d . . .
H23 H 0.2657 0.0217 0.2558 0.099 Uiso 1 1 calc R . .
C25 C 0.2548(2) 0.2135(9) 0.1086(4) 0.117(2) Uani 1 1 d . . .
H25 H 0.2282 0.2666 0.0731 0.141 Uiso 1 1 calc R . .
C13 C 0.4361(2) -0.4072(4) 0.2674(2) 0.0582(10) Uani 1 1 d . . .
H13 H 0.4625 -0.4444 0.3079 0.070 Uiso 1 1 calc R . .
C15 C 0.34420(19) -0.4195(5) 0.1864(3) 0.0661(11) Uani 1 1 d . . .
H15 H 0.3083 -0.4640 0.1729 0.079 Uiso 1 1 calc R . .
C14 C 0.3834(2) -0.4754(5) 0.2467(2) 0.0678(12) Uani 1 1 d . . .
H14 H 0.3741 -0.5591 0.2732 0.081 Uiso 1 1 calc R . .
C2A C 0.3022(8) 0.241(2) 0.4182(13) 0.072(5) Uiso 0.30 1 d PD A 1
H2A1 H 0.3280 0.3273 0.4335 0.107 Uiso 0.30 1 calc PR A 1
H2A2 H 0.2733 0.2441 0.4446 0.107 Uiso 0.30 1 calc PR A 1
H2A3 H 0.2852 0.2506 0.3672 0.107 Uiso 0.30 1 calc PR A 1
O2A O 0.3309(6) 0.1016(14) 0.4315(7) 0.078(3) Uiso 0.30 1 d PD A 1
O2B O 0.2973(16) 0.109(4) 0.4371(18) 0.071(8) Uiso 0.10 1 d PD B 2
C2B C 0.317(6) 0.081(16) 0.375(5) 0.22(5) Uiso 0.10 1 d PD B 2
C2C C 0.3064(6) 0.281(2) 0.4181(11) 0.155(7) Uiso 0.60 1 d PD C 3
H2C1 H 0.3017 0.3612 0.4519 0.232 Uiso 0.60 1 calc PR C 3
H2C2 H 0.2719 0.2226 0.4025 0.232 Uiso 0.60 1 calc PR C 3
H2C3 H 0.3157 0.3296 0.3768 0.232 Uiso 0.60 1 calc PR C 3
O2C O 0.3498(2) 0.1794(7) 0.4516(3) 0.0792(15) Uiso 0.60 1 d PD C 3

loop_
_atom_site_aniso_label
_atom_site_aniso_U_11
_atom_site_aniso_U_22
_atom_site_aniso_U_33
_atom_site_aniso_U_23
_atom_site_aniso_U_13
_atom_site_aniso_U_12
Pd1 0.0403(2) 0.0408(2) 0.02913(19) 0.000 0.01023(13) 0.000
P1 0.0413(5) 0.0442(4) 0.0297(4) 0.0013(3) 0.0099(3) 0.0005(3)
C21 0.0415(18) 0.054(2) 0.0451(19) -0.0007(15) 0.0090(15) -0.0009(15)
C1 0.047(2) 0.071(2) 0.0412(19) -0.0033(17) 0.0112(16) 0.0060(18)
C36 0.069(2) 0.052(2) 0.0371(18) 0.0005(14) 0.0207(17) 0.0070(17)
C10 0.0511(19) 0.0450(17) 0.0351(17) -0.0017(13) 0.0107(15) -0.0016(14)
N1 0.064(2) 0.142(4) 0.051(2) -0.008(2) 0.0256(19) 0.004(2)
C33 0.102(3) 0.072(3) 0.0341(19) -0.0024(18) 0.026(2) -0.006(2)
C32 0.091(3) 0.052(2) 0.0394(19) -0.0032(15) 0.020(2) -0.006(2)
C31 0.0424(17) 0.0502(18) 0.0319(16) 0.0032(13) 0.0122(13) 0.0021(14)
O10 0.064(2) 0.0376(17) 0.068(2) 0.000 -0.0161(19) 0.000
C11 0.0453(18) 0.0432(17) 0.0354(16) -0.0050(13) 0.0140(14) 0.0013(14)
C12 0.059(2) 0.0403(17) 0.0382(18) -0.0067(14) 0.0121(16) -0.0003(15)
C16 0.054(2) 0.054(2) 0.058(2) -0.0043(18) 0.0140(18) -0.0013(18)
C34 0.085(3) 0.066(2) 0.046(2) 0.0165(19) 0.026(2) 0.013(2)
C35 0.095(3) 0.048(2) 0.056(2) 0.0055(17) 0.032(2) 0.008(2)

```

C22 0.052(2) 0.092(3) 0.054(2) -0.002(2) 0.0182(19) -0.006(2)
C26 0.049(2) 0.130(4) 0.068(3) 0.029(3) 0.008(2) 0.000(3)
C24 0.052(3) 0.140(5) 0.118(5) 0.010(4) 0.037(3) 0.003(3)
C23 0.055(3) 0.120(4) 0.080(3) -0.005(3) 0.030(2) -0.014(3)
C25 0.044(3) 0.185(7) 0.115(5) 0.044(5) 0.004(3) 0.017(3)
C13 0.092(3) 0.0473(19) 0.0390(19) 0.0013(15) 0.022(2) 0.006(2)
C15 0.058(3) 0.060(2) 0.088(3) -0.007(2) 0.035(2) -0.010(2)
C14 0.097(3) 0.054(2) 0.069(3) 0.002(2) 0.052(3) -0.005(2)

```

```
_geom_special_details
```

```
;
```

All esds (except the esd in the dihedral angle between two l.s. planes) are estimated using the full covariance matrix. The cell esds are taken into account individually in the estimation of esds in distances, angles and torsion angles; correlations between esds in cell parameters are only used when they are defined by crystal symmetry. An approximate (isotropic) treatment of cell esds is used for estimating esds involving l.s. planes.

```
;
```

```
loop_
```

```

  _geom_bond_atom_site_label_1
  _geom_bond_atom_site_label_2
  _geom_bond_distance
  _geom_bond_site_symmetry_2
  _geom_bond_publ_flag

```

```

Pd1 C1 1.998(4) 6_656 ?
Pd1 C1 1.998(4) . ?
Pd1 P1 2.3372(8) . ?
Pd1 P1 2.3372(8) 6_656 ?
P1 C31 1.822(3) . ?
P1 C21 1.834(4) . ?
P1 C10 1.842(3) . ?
C21 C26 1.378(6) . ?
C21 C22 1.369(5) . ?
C1 N1 1.129(5) . ?
C36 C31 1.378(4) . ?
C36 C35 1.389(5) . ?
C10 C11 1.507(4) . ?
C33 C32 1.373(5) . ?
C33 C34 1.375(6) . ?
C32 C31 1.381(5) . ?
O10 C12 1.380(4) . ?
O10 C12 1.380(4) 6_656 ?
C11 C12 1.378(5) . ?
C11 C16 1.391(5) . ?
C12 C13 1.389(5) . ?
C16 C15 1.391(6) . ?
C34 C35 1.349(5) . ?
C22 C23 1.400(6) . ?
C26 C25 1.400(6) . ?
C24 C23 1.339(8) . ?
C24 C25 1.364(8) . ?
C13 C14 1.378(6) . ?
C15 C14 1.384(6) . ?
C2A O2A 1.368(9) . ?
O2B C2B 1.403(12) . ?
C2C O2C 1.393(9) . ?

```

```
loop_
```

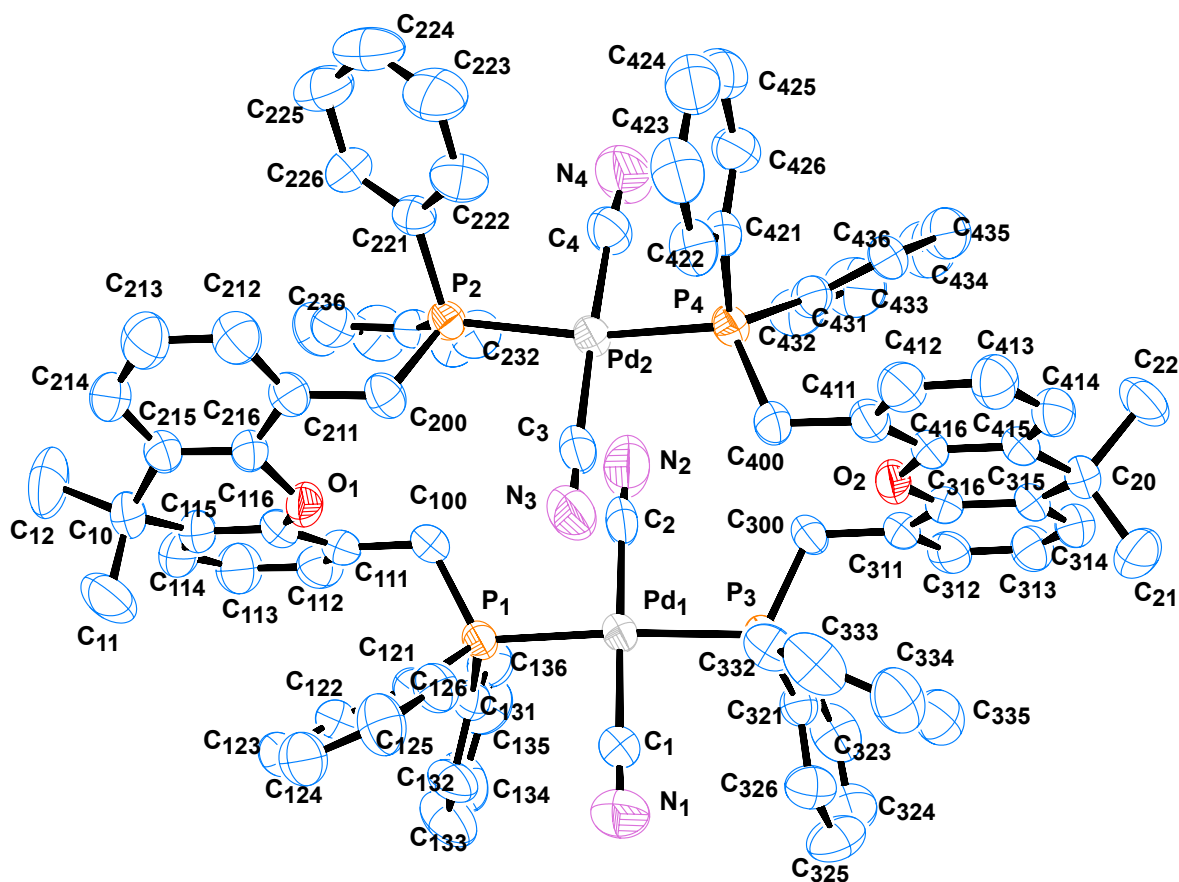
```

  _geom_angle_atom_site_label_1
  _geom_angle_atom_site_label_2
  _geom_angle_atom_site_label_3
  _geom_angle
  _geom_angle_site_symmetry_1
  _geom_angle_site_symmetry_3
  _geom_angle_publ_flag
C1 Pd1 C1 176.3(2) 6_656 . ?
C1 Pd1 P1 85.04(11) 6_656 . ?
C1 Pd1 P1 95.39(11) . . ?
C1 Pd1 P1 95.39(11) 6_656 6_656 ?

```

```
C1 Pd1 P1 85.04(11) . 6_656 ?
P1 Pd1 P1 166.64(4) . 6_656 ?
C31 P1 C21 104.20(16) . . ?
C31 P1 C10 105.28(15) . . ?
C21 P1 C10 103.51(16) . . ?
C31 P1 Pd1 113.79(11) . . ?
C21 P1 Pd1 122.41(12) . . ?
C10 P1 Pd1 106.05(12) . . ?
C26 C21 C22 118.5(4) . . ?
C26 C21 P1 121.2(3) . . ?
C22 C21 P1 120.3(3) . . ?
N1 C1 Pd1 177.0(4) . . ?
C31 C36 C35 119.3(3) . . ?
C11 C10 P1 115.8(2) . . ?
C32 C33 C34 119.8(4) . . ?
C33 C32 C31 120.6(4) . . ?
C36 C31 C32 119.2(3) . . ?
C36 C31 P1 117.0(2) . . ?
C32 C31 P1 123.7(3) . . ?
C12 O10 C12 121.4(4) . 6_656 ?
C12 C11 C16 117.7(3) . . ?
C12 C11 C10 122.4(3) . . ?
C16 C11 C10 119.9(3) . . ?
C11 C12 O10 117.1(3) . . ?
C11 C12 C13 122.0(4) . . ?
O10 C12 C13 120.8(3) . . ?
C11 C16 C15 121.3(4) . . ?
C35 C34 C33 120.0(4) . . ?
C34 C35 C36 121.0(4) . . ?
C21 C22 C23 121.0(4) . . ?
C21 C26 C25 120.0(5) . . ?
C23 C24 C25 120.8(5) . . ?
C24 C23 C22 119.7(5) . . ?
C24 C25 C26 120.0(5) . . ?
C14 C13 C12 119.3(4) . . ?
C14 C15 C16 119.6(4) . . ?
C13 C14 C15 120.1(4) . . ?

_diffrn_measured_fraction_theta_max 0.912
_diffrn_reflns_theta_full 29.04
_diffrn_measured_fraction_theta_full 0.912
_refine_diff_density_max 0.772
_refine_diff_density_min -0.366
_refine_diff_density_rms 0.083
```


12.2 CIF de la estructura cristalina de [(XantMephos)Pd(CN)₂]₂ (C38)

data_ov03

```

_audit_creation_method          SHELXL-97
_chemical_name_systematic
;
?
;
_chemical_name_common           ?
_chemical_melting_point         ?
_chemical_formula_moiety        ?
_chemical_formula_sum           'C43 H36 ClO N2 O P2 Pd'
_chemical_formula_weight        765.08

loop_
_atom_type_symbol
_atom_type_description
_atom_type_scatter_dispersion_real
_atom_type_scatter_dispersion_imag
_atom_type_scatter_source
'C' 'C' 0.0033 0.0016
'International Tables Vol C Tables 4.2.6.8 and 6.1.1.4'
'H' 'H' 0.0000 0.0000
'International Tables Vol C Tables 4.2.6.8 and 6.1.1.4'
'N' 'N' 0.0061 0.0033
'International Tables Vol C Tables 4.2.6.8 and 6.1.1.4'
'O' 'O' 0.0106 0.0060
'International Tables Vol C Tables 4.2.6.8 and 6.1.1.4'
'P' 'P' 0.1023 0.0942
'International Tables Vol C Tables 4.2.6.8 and 6.1.1.4'
'Pd' 'Pd' -0.9988 1.0072
'International Tables Vol C Tables 4.2.6.8 and 6.1.1.4'

```

```

'C1' 'C1' 0.1484 0.1585
'International Tables Vol C Tables 4.2.6.8 and 6.1.1.4'

_symmetry_cell_setting ?
_symmetry_space_group_name_H-M ?

loop_
_symmetry_equiv_pos_as_xyz
  'x, y, z'
  '-x, -y, -z'

_cell_length_a 16.3630(7)
_cell_length_b 16.3590(7)
_cell_length_c 18.1962(8)
_cell_angle_alpha 91.0030(10)
_cell_angle_beta 114.8160(10)
_cell_angle_gamma 102.7720(10)
_cell_volume 4278.0(3)
_cell_formula_units_Z 4
_cell_measurement_temperature 293(2)
_cell_measurement_reflns_used ?
_cell_measurement_theta_min ?
_cell_measurement_theta_max ?

_exptl_crystal_description ?
_exptl_crystal_colour ?
_exptl_crystal_size_max ?
_exptl_crystal_size_mid ?
_exptl_crystal_size_min ?
_exptl_crystal_density_meas ?
_exptl_crystal_density_diffn 1.188
_exptl_crystal_density_method 'not measured'
_exptl_crystal_F_000 1568
_exptl_absorpt_coefficient_mu 0.539
_exptl_absorpt_correction_type ?
_exptl_absorpt_correction_T_min ?
_exptl_absorpt_correction_T_max ?
_exptl_absorpt_process_details ?

_exptl_special_details
;
?
;

_diffn_ambient_temperature 293(2)
_diffn_radiation_wavelength 0.71073
_diffn_radiation_type MoK\a
_diffn_radiation_source 'fine-focus sealed tube'
_diffn_radiation_monochromator graphite
_diffn_measurement_device_type ?
_diffn_measurement_method ?
_diffn_detector_area_resol_mean ?
_diffn_standards_number ?
_diffn_standards_interval_count ?
_diffn_standards_interval_time ?
_diffn_standards_decay_% ?
_diffn_reflns_number 29248
_diffn_reflns_av_R_equivalents 0.0280
_diffn_reflns_av_sigmaI/netI 0.0699
_diffn_reflns_limit_h_min -22
_diffn_reflns_limit_h_max 13
_diffn_reflns_limit_k_min -16
_diffn_reflns_limit_k_max 21
_diffn_reflns_limit_l_min -24
_diffn_reflns_limit_l_max 24
_diffn_reflns_theta_min 1.24
_diffn_reflns_theta_max 29.49
_reflns_number_total 19671
_reflns_number_gt 12946
_reflns_threshold_expression >2sigma(I)

```

```

_computing_data_collection      ?
_computing_cell_refinement     ?
_computing_data_reduction      ?
_computing_structure_solution  ?
_computing_structure_refinement 'SHELXL-97 (Sheldrick, 1997)'
_computing_molecular_graphics  ?
_computing_publication_material ?

_refine_special_details
;
Refinement of F2 against ALL reflections. The weighted R-factor wR and
goodness of fit S are based on F2, conventional R-factors R are based
on F, with F set to zero for negative F2. The threshold expression of
F2 > 2sigma(F2) is used only for calculating R-factors(gt) etc. and is
not relevant to the choice of reflections for refinement. R-factors based
on F2 are statistically about twice as large as those based on F, and R-
factors based on ALL data will be even larger.
;

_refine_ls_structure_factor_coef Fsqd
_refine_ls_matrix_type         full
_refine_ls_weighting_scheme    calc
_refine_ls_weighting_details   'calc w=1/[sigma^2(Fo^2)+(0.1849P)^2+4.3921P] where P=(Fo^2+2Fc^2)/3'
_atom_sites_solution_primary   direct
_atom_sites_solution_secondary difmap
_atom_sites_solution_hydrogens geom
_refine_ls_hydrogen_treatment mixed
_refine_ls_extinction_method   none
_refine_ls_extinction_coef     ?
_refine_ls_number_reflns      19671
_refine_ls_number_parameters   919
_refine_ls_number_restraints   0
_refine_ls_R_factor_all        0.1086
_refine_ls_R_factor_gt         0.0760
_refine_ls_wR_factor_ref       0.2770
_refine_ls_wR_factor_gt        0.2445
_refine_ls_goodness_of_fit_ref 0.975
_refine_ls_restrained_S_all    0.975
_refine_ls_shift/su_max        7.174
_refine_ls_shift/su_mean       0.153

loop_
_atom_site_label
_atom_site_type_symbol
_atom_site_fract_x
_atom_site_fract_y
_atom_site_fract_z
_atom_site_U_iso_or_equiv
_atom_site_adp_type
_atom_site_occupancy
_atom_site_symmetry_multiplicity
_atom_site_calc_flag
_atom_site_refinement_flags
_atom_site_disorder_assembly
_atom_site_disorder_group
C1 C -0.1874(5) -0.2436(4) 0.1975(5) 0.0562(16) Uani 1 1 d . . .
C10 C 0.3009(5) -0.4170(4) 0.2472(5) 0.0591(17) Uani 1 1 d . . .
C100 C 0.1355(5) -0.2424(4) 0.3445(4) 0.0511(15) Uani 1 1 d . . .
C11 C 0.2187(7) -0.4806(5) 0.1788(6) 0.089(3) Uani 1 1 d . . .
C111 C 0.1864(4) -0.3122(4) 0.3578(4) 0.0482(14) Uani 1 1 d . . .
C112 C 0.2009(5) -0.3564(5) 0.4249(5) 0.0621(18) Uani 1 1 d . . .
C113 C 0.2500(6) -0.4204(5) 0.4361(5) 0.071(2) Uani 1 1 d . . .
C114 C 0.2812(5) -0.4406(5) 0.3801(5) 0.0617(18) Uani 1 1 d . . .
C115 C 0.2694(5) -0.3949(4) 0.3134(4) 0.0526(15) Uani 1 1 d . . .
C116 C 0.2227(5) -0.3317(4) 0.3039(4) 0.0473(14) Uani 1 1 d . . .
C12 C 0.3857(8) -0.4559(6) 0.2838(7) 0.099(3) Uani 1 1 d . . .
C121 C -0.0187(4) -0.3436(4) 0.2015(4) 0.0458(13) Uani 1 1 d . . .
C122 C -0.0033(5) -0.4242(4) 0.2081(4) 0.0503(15) Uani 1 1 d . . .

```

C123 C -0.0204(5) -0.4750(4) 0.1381(5) 0.0604(18) Uani 1 1 d
C124 C -0.0548(6) -0.4442(5) 0.0632(5) 0.068(2) Uani 1 1 d
C125 C -0.0688(7) -0.3633(5) 0.0567(5) 0.071(2) Uani 1 1 d
C126 C -0.0504(5) -0.3127(4) 0.1261(4) 0.0566(16) Uani 1 1 d
C131 C -0.0280(5) -0.3416(4) 0.3592(4) 0.0488(14) Uani 1 1 d
C132 C -0.0988(6) -0.4160(4) 0.3280(6) 0.073(2) Uani 1 1 d
C133 C -0.1207(9) -0.4636(5) 0.3851(7) 0.101(4) Uani 1 1 d
C134 C -0.0778(8) -0.4384(6) 0.4668(7) 0.091(3) Uani 1 1 d
C135 C -0.0111(7) -0.3617(7) 0.4974(6) 0.087(3) Uani 1 1 d
C136 C 0.0142(6) -0.3132(5) 0.4442(5) 0.0652(19) Uani 1 1 d
C2 C 0.0512(6) -0.0882(5) 0.3645(5) 0.065(2) Uani 1 1 d
C20 C -0.2035(5) 0.2791(4) 0.1795(4) 0.0521(15) Uani 1 1 d
C200 C 0.2377(5) -0.1346(4) 0.1753(4) 0.0463(14) Uani 1 1 d
C21 C -0.3080(5) 0.2626(5) 0.1238(6) 0.074(2) Uani 1 1 d
C211 C 0.2900(4) -0.1987(4) 0.1749(3) 0.0451(13) Uani 1 1 d
C212 C 0.3521(6) -0.1870(5) 0.1400(4) 0.0610(18) Uani 1 1 d
C213 C 0.3982(6) -0.2501(5) 0.1394(5) 0.073(2) Uani 1 1 d
C214 C 0.3849(5) -0.3230(5) 0.1765(5) 0.0619(18) Uani 1 1 d
C215 C 0.3234(4) -0.3357(4) 0.2117(4) 0.0484(14) Uani 1 1 d
C216 C 0.2759(4) -0.2746(4) 0.2092(4) 0.0457(13) Uani 1 1 d
C22 C -0.1639(7) 0.3747(4) 0.2161(6) 0.076(2) Uani 1 1 d
C221 C 0.3953(4) 0.0107(4) 0.2454(4) 0.0444(13) Uani 1 1 d
C222 C 0.3821(6) 0.0725(5) 0.1914(4) 0.0642(19) Uani 1 1 d
C223 C 0.4561(7) 0.1165(6) 0.1782(6) 0.083(3) Uani 1 1 d
C224 C 0.5436(7) 0.1026(6) 0.2185(6) 0.084(3) Uani 1 1 d
C225 C 0.5586(6) 0.0402(6) 0.2724(5) 0.077(2) Uani 1 1 d
C226 C 0.4837(5) -0.0041(5) 0.2859(5) 0.0602(17) Uani 1 1 d
C231 C 0.3391(4) -0.0866(4) 0.3582(3) 0.0422(12) Uani 1 1 d
C232 C 0.3185(5) -0.0523(5) 0.4183(4) 0.0606(18) Uani 1 1 d
C233 C 0.3527(7) -0.0777(6) 0.4964(5) 0.075(2) Uani 1 1 d
C234 C 0.4082(7) -0.1337(6) 0.5149(5) 0.078(2) Uani 1 1 d
C235 C 0.4278(6) -0.1688(5) 0.4565(5) 0.070(2) Uani 1 1 d
C236 C 0.3934(5) -0.1437(4) 0.3764(4) 0.0526(15) Uani 1 1 d
C3 C 0.0845(5) -0.0416(4) 0.1574(5) 0.0586(17) Uani 1 1 d
C30 C -0.4510(9) -0.3043(8) 0.0591(10) 0.121(5) Uani 1 1 d
C300 C -0.0759(5) 0.0404(3) 0.3281(4) 0.0485(14) Uani 1 1 d
C311 C -0.1255(4) 0.1098(3) 0.3216(4) 0.0448(13) Uani 1 1 d
C312 C -0.1618(5) 0.1248(4) 0.3779(4) 0.0537(16) Uani 1 1 d
C313 C -0.2065(5) 0.1879(4) 0.3724(5) 0.0589(17) Uani 1 1 d
C314 C -0.2204(5) 0.2373(4) 0.3076(5) 0.0574(17) Uani 1 1 d
C315 C -0.1857(4) 0.2256(3) 0.2497(4) 0.0466(14) Uani 1 1 d
C316 C -0.1384(4) 0.1620(3) 0.2590(4) 0.0434(13) Uani 1 1 d
C321 C -0.2276(4) -0.1006(4) 0.3258(4) 0.0441(13) Uani 1 1 d
C322 C -0.1943(5) -0.0803(4) 0.4100(4) 0.0584(17) Uani 1 1 d
C323 C -0.2561(8) -0.1095(5) 0.4466(5) 0.081(3) Uani 1 1 d
C324 C -0.3447(7) -0.1563(6) 0.4024(6) 0.084(3) Uani 1 1 d
C325 C -0.3761(6) -0.1790(6) 0.3178(6) 0.083(3) Uani 1 1 d
C326 C -0.3177(6) -0.1511(5) 0.2801(5) 0.0647(19) Uani 1 1 d
C331 C -0.2244(5) -0.0426(4) 0.1749(4) 0.0454(13) Uani 1 1 d
C332 C -0.1967(5) -0.0525(4) 0.1127(4) 0.0549(16) Uani 1 1 d
C333 C -0.2482(8) -0.0262(5) 0.0365(5) 0.080(3) Uani 1 1 d
C334 C -0.3244(7) 0.0040(5) 0.0221(5) 0.081(3) Uani 1 1 d
C335 C -0.3519(6) 0.0136(5) 0.0836(5) 0.073(2) Uani 1 1 d
C336 C -0.3030(5) -0.0104(4) 0.1605(4) 0.0583(17) Uani 1 1 d
C4 C 0.3031(5) 0.1291(4) 0.3252(5) 0.0600(17) Uani 1 1 d
C40 C 0.396(2) 0.3645(10) 0.4171(16) 0.269(12) Uani 1 1 d
C400 C -0.0063(4) 0.1110(4) 0.1203(4) 0.0462(14) Uani 1 1 d
C411 C -0.0599(4) 0.1782(3) 0.0999(4) 0.0447(13) Uani 1 1 d
C412 C -0.0643(5) 0.2240(4) 0.0336(4) 0.0555(16) Uani 1 1 d
C413 C -0.1107(5) 0.2869(4) 0.0169(4) 0.0588(17) Uani 1 1 d
C414 C -0.1555(5) 0.3044(4) 0.0641(4) 0.0547(16) Uani 1 1 d
C415 C -0.1537(4) 0.2595(3) 0.1293(4) 0.0479(14) Uani 1 1 d
C416 C -0.1056(4) 0.1962(3) 0.1446(4) 0.0431(13) Uani 1 1 d
C421 C 0.1826(4) 0.2100(3) 0.1455(4) 0.0426(13) Uani 1 1 d
C422 C 0.1621(5) 0.1839(4) 0.0652(4) 0.0578(17) Uani 1 1 d
C423 C 0.2191(7) 0.2262(5) 0.0305(5) 0.073(2) Uani 1 1 d
C424 C 0.2935(7) 0.2928(6) 0.0750(6) 0.080(2) Uani 1 1 d
C425 C 0.3152(7) 0.3184(5) 0.1544(6) 0.075(2) Uani 1 1 d
C426 C 0.2580(5) 0.2768(4) 0.1896(5) 0.0586(17) Uani 1 1 d
C431 C 0.1198(4) 0.2224(4) 0.2725(4) 0.0464(14) Uani 1 1 d

C432 C 0.1353(6) 0.1989(5) 0.3478(5) 0.067(2) Uani 1 1 d . . .
C433 C 0.1416(8) 0.2577(7) 0.4102(6) 0.098(3) Uani 1 1 d . . .
C434 C 0.1300(8) 0.3373(7) 0.3912(8) 0.102(4) Uani 1 1 d . . .
C435 C 0.1121(6) 0.3612(5) 0.3131(7) 0.082(3) Uani 1 1 d . . .
C436 C 0.1063(5) 0.3031(4) 0.2514(5) 0.0628(19) Uani 1 1 d . . .
N1 N -0.2555(6) -0.2870(5) 0.1525(5) 0.087(2) Uani 1 1 d . . .
N2 N 0.1098(7) -0.0459(6) 0.4094(6) 0.114(3) Uani 1 1 d . . .
N3 N 0.0229(6) -0.0874(4) 0.1134(5) 0.089(2) Uani 1 1 d . . .
N4 N 0.3601(6) 0.1790(5) 0.3752(5) 0.100(3) Uani 1 1 d . . .
O1 O 0.2100(3) -0.2833(3) 0.2400(3) 0.0512(10) Uani 1 1 d . . .
O2 O -0.1005(3) 0.1460(2) 0.2068(3) 0.0474(10) Uani 1 1 d . . .
O3 O -0.4461(9) -0.2334(13) 0.0226(10) 0.238(7) Uani 1 1 d . . .
O4 O 0.4185(17) 0.3693(14) 0.4844(11) 0.386(11) Uani 1 1 d . . .
P1 P 0.00695(11) -0.27505(9) 0.29301(10) 0.0417(3) Uani 1 1 d . . .
P2 P 0.29471(10) -0.04626(9) 0.25913(9) 0.0378(3) Uani 1 1 d . . .
P3 P -0.15092(11) -0.06561(9) 0.27577(9) 0.0398(3) Uani 1 1 d . . .
P4 P 0.11776(11) 0.14862(9) 0.19619(9) 0.0395(3) Uani 1 1 d . . .
Pd1 Pd -0.06864(3) -0.16618(3) 0.27775(3) 0.04138(15) Uani 1 1 d . . .
Pd2 Pd 0.19640(3) 0.04387(3) 0.24016(3) 0.04009(15) Uani 1 1 d . . .

loop_

_atom_site_aniso_label
_atom_site_aniso_U_11
_atom_site_aniso_U_22
_atom_site_aniso_U_33
_atom_site_aniso_U_23
_atom_site_aniso_U_13
_atom_site_aniso_U_12
C1 0.051(4) 0.045(3) 0.069(4) -0.002(3) 0.023(3) 0.011(3)
C10 0.061(4) 0.042(3) 0.085(5) 0.008(3) 0.036(4) 0.023(3)
C100 0.051(4) 0.035(3) 0.066(4) 0.001(3) 0.026(3) 0.007(3)
C11 0.107(7) 0.051(4) 0.105(7) -0.024(4) 0.056(6) -0.006(4)
C111 0.042(3) 0.036(3) 0.061(4) 0.003(3) 0.020(3) 0.005(2)
C112 0.059(5) 0.059(4) 0.064(4) 0.013(3) 0.023(4) 0.013(3)
C113 0.072(5) 0.068(5) 0.073(5) 0.022(4) 0.026(4) 0.029(4)
C114 0.054(4) 0.061(4) 0.072(5) 0.016(3) 0.023(4) 0.027(3)
C115 0.050(4) 0.044(3) 0.069(4) 0.009(3) 0.027(3) 0.018(3)
C116 0.050(4) 0.034(3) 0.059(4) 0.007(2) 0.026(3) 0.009(2)
C12 0.117(8) 0.096(7) 0.133(9) 0.047(6) 0.075(7) 0.078(7)
C121 0.046(3) 0.039(3) 0.057(4) 0.002(2) 0.029(3) 0.008(2)
C122 0.046(4) 0.042(3) 0.062(4) 0.000(3) 0.025(3) 0.007(3)
C123 0.061(4) 0.047(3) 0.073(5) -0.006(3) 0.032(4) 0.009(3)
C124 0.076(5) 0.071(5) 0.063(5) -0.011(4) 0.038(4) 0.016(4)
C125 0.099(6) 0.070(5) 0.062(5) 0.010(4) 0.048(5) 0.032(4)
C126 0.068(5) 0.051(4) 0.055(4) 0.010(3) 0.030(3) 0.017(3)
C131 0.051(4) 0.044(3) 0.060(4) 0.008(3) 0.031(3) 0.014(3)
C132 0.089(6) 0.047(4) 0.098(6) -0.005(4) 0.068(5) -0.006(4)
C133 0.151(10) 0.058(5) 0.133(9) 0.005(5) 0.111(8) 0.002(5)
C134 0.145(9) 0.069(5) 0.110(7) 0.026(5) 0.101(7) 0.030(6)
C135 0.096(7) 0.116(8) 0.075(6) 0.026(5) 0.058(5) 0.034(6)
C136 0.067(5) 0.073(5) 0.064(5) 0.009(4) 0.037(4) 0.017(4)
C2 0.063(5) 0.049(4) 0.085(5) -0.006(4) 0.027(4) 0.029(4)
C20 0.050(4) 0.035(3) 0.076(4) 0.008(3) 0.029(3) 0.016(3)
C200 0.054(4) 0.039(3) 0.040(3) 0.005(2) 0.014(3) 0.015(3)
C21 0.047(4) 0.074(5) 0.097(6) 0.027(4) 0.023(4) 0.024(4)
C211 0.052(4) 0.045(3) 0.038(3) 0.000(2) 0.020(3) 0.012(3)
C212 0.076(5) 0.063(4) 0.055(4) 0.008(3) 0.039(4) 0.018(4)
C213 0.087(6) 0.074(5) 0.080(6) 0.004(4) 0.055(5) 0.024(4)
C214 0.063(5) 0.060(4) 0.074(5) -0.004(3) 0.041(4) 0.017(3)
C215 0.046(3) 0.043(3) 0.054(4) -0.003(3) 0.019(3) 0.013(3)
C216 0.043(3) 0.043(3) 0.051(3) -0.002(2) 0.020(3) 0.013(3)
C22 0.096(6) 0.034(3) 0.118(7) -0.003(4) 0.070(6) 0.009(4)
C221 0.046(3) 0.043(3) 0.041(3) 0.002(2) 0.019(3) 0.006(2)
C222 0.072(5) 0.063(4) 0.055(4) 0.019(3) 0.029(4) 0.008(4)
C223 0.093(7) 0.081(6) 0.086(6) 0.025(5) 0.054(6) 0.010(5)
C224 0.075(6) 0.091(6) 0.074(5) -0.002(4) 0.042(5) -0.020(5)
C225 0.061(5) 0.089(6) 0.080(6) 0.003(4) 0.041(4) 0.000(4)
C226 0.048(4) 0.065(4) 0.072(5) 0.007(3) 0.031(4) 0.013(3)
C231 0.040(3) 0.044(3) 0.037(3) 0.011(2) 0.012(2) 0.010(2)
C232 0.066(5) 0.075(5) 0.043(4) 0.013(3) 0.027(3) 0.017(4)

C233 0.088(6) 0.104(6) 0.045(4) 0.022(4) 0.030(4) 0.040(5)
C234 0.093(7) 0.088(6) 0.048(4) 0.027(4) 0.022(4) 0.029(5)
C235 0.088(6) 0.063(4) 0.058(4) 0.022(3) 0.025(4) 0.029(4)
C236 0.048(4) 0.054(4) 0.046(3) 0.010(3) 0.010(3) 0.014(3)
C3 0.055(4) 0.040(3) 0.075(5) 0.001(3) 0.020(4) 0.021(3)
C30 0.070(7) 0.113(9) 0.166(13) 0.055(9) 0.041(8) 0.015(6)
C300 0.051(4) 0.031(3) 0.058(4) 0.004(2) 0.019(3) 0.011(2)
C311 0.041(3) 0.035(3) 0.053(3) -0.001(2) 0.016(3) 0.008(2)
C312 0.058(4) 0.049(3) 0.049(4) -0.007(3) 0.022(3) 0.008(3)
C313 0.062(4) 0.054(4) 0.062(4) -0.001(3) 0.027(4) 0.016(3)
C314 0.053(4) 0.048(3) 0.072(5) -0.002(3) 0.027(3) 0.015(3)
C315 0.043(3) 0.030(3) 0.065(4) -0.003(2) 0.022(3) 0.008(2)
C316 0.038(3) 0.037(3) 0.051(3) 0.001(2) 0.016(3) 0.008(2)
C321 0.050(4) 0.042(3) 0.044(3) 0.010(2) 0.022(3) 0.015(3)
C322 0.075(5) 0.052(4) 0.051(4) 0.012(3) 0.030(3) 0.016(3)
C323 0.127(8) 0.071(5) 0.070(5) 0.020(4) 0.064(6) 0.030(5)
C324 0.085(7) 0.086(6) 0.096(7) 0.021(5) 0.057(6) 0.014(5)
C325 0.059(5) 0.099(6) 0.092(7) 0.026(5) 0.039(5) 0.007(5)
C326 0.062(5) 0.062(4) 0.063(4) 0.010(3) 0.025(4) 0.006(3)
C331 0.052(4) 0.039(3) 0.041(3) 0.003(2) 0.018(3) 0.009(3)
C332 0.069(5) 0.050(3) 0.041(3) 0.002(3) 0.024(3) 0.007(3)
C333 0.120(8) 0.064(5) 0.051(4) 0.010(3) 0.036(5) 0.016(5)
C334 0.101(7) 0.073(5) 0.061(5) 0.015(4) 0.019(5) 0.036(5)
C335 0.074(5) 0.064(5) 0.063(5) 0.013(4) 0.009(4) 0.025(4)
C336 0.060(4) 0.053(4) 0.054(4) 0.003(3) 0.014(3) 0.022(3)
C4 0.057(4) 0.050(4) 0.059(4) 0.003(3) 0.011(3) 0.016(3)
C40 0.39(3) 0.069(10) 0.23(2) 0.042(13) 0.04(2) 0.009(13)
C400 0.045(3) 0.039(3) 0.053(3) -0.002(2) 0.019(3) 0.014(3)
C411 0.047(3) 0.036(3) 0.047(3) 0.005(2) 0.015(3) 0.012(2)
C412 0.055(4) 0.053(4) 0.050(4) 0.007(3) 0.013(3) 0.015(3)
C413 0.061(4) 0.058(4) 0.055(4) 0.010(3) 0.018(3) 0.023(3)
C414 0.051(4) 0.048(3) 0.060(4) 0.011(3) 0.016(3) 0.018(3)
C415 0.041(3) 0.031(3) 0.064(4) 0.001(2) 0.017(3) 0.008(2)
C416 0.041(3) 0.031(3) 0.054(3) 0.003(2) 0.017(3) 0.009(2)
C421 0.052(4) 0.041(3) 0.045(3) 0.011(2) 0.027(3) 0.020(3)
C422 0.074(5) 0.060(4) 0.046(4) 0.007(3) 0.029(3) 0.024(4)
C423 0.108(7) 0.071(5) 0.068(5) 0.024(4) 0.056(5) 0.038(5)
C424 0.100(7) 0.073(5) 0.101(7) 0.031(5) 0.072(6) 0.031(5)
C425 0.085(6) 0.057(4) 0.099(6) 0.011(4) 0.058(5) 0.012(4)
C426 0.061(4) 0.048(4) 0.067(4) 0.001(3) 0.032(4) 0.007(3)
C431 0.045(3) 0.048(3) 0.048(3) -0.006(2) 0.023(3) 0.010(3)
C432 0.073(5) 0.076(5) 0.054(4) -0.001(3) 0.037(4) 0.007(4)
C433 0.119(9) 0.107(7) 0.082(6) -0.018(5) 0.067(6) 0.014(6)
C434 0.110(8) 0.088(7) 0.121(9) -0.035(6) 0.074(7) 0.010(6)
C435 0.080(6) 0.065(5) 0.111(7) -0.030(5) 0.056(5) 0.010(4)
C436 0.057(4) 0.037(3) 0.093(5) -0.012(3) 0.034(4) 0.009(3)
N1 0.072(5) 0.077(5) 0.090(5) -0.006(4) 0.020(4) 0.005(4)
N2 0.082(6) 0.102(6) 0.131(8) -0.034(6) 0.012(6) 0.041(5)
N3 0.073(5) 0.056(4) 0.108(6) -0.016(4) 0.013(4) 0.018(4)
N4 0.079(5) 0.077(5) 0.101(6) -0.018(4) 0.000(5) 0.014(4)
O1 0.053(3) 0.044(2) 0.071(3) 0.017(2) 0.035(2) 0.022(2)
O2 0.053(3) 0.038(2) 0.063(3) 0.0137(18) 0.032(2) 0.0199(18)
O3 0.127(10) 0.34(2) 0.260(16) 0.050(16) 0.089(10) 0.078(13)
O4 0.37(2) 0.47(2) 0.172(15) -0.001(15) -0.016(18) 0.086(18)
P1 0.0480(9) 0.0333(7) 0.0485(8) 0.0038(6) 0.0249(7) 0.0110(6)
P2 0.0412(8) 0.0353(7) 0.0364(7) 0.0060(5) 0.0158(6) 0.0107(6)
P3 0.0448(8) 0.0354(7) 0.0396(7) 0.0034(5) 0.0178(6) 0.0118(6)
P4 0.0450(8) 0.0331(7) 0.0392(7) 0.0014(5) 0.0164(6) 0.0115(6)
Pd1 0.0455(3) 0.0347(2) 0.0449(3) 0.00268(17) 0.0198(2) 0.01174(18)
Pd2 0.0431(3) 0.0352(2) 0.0382(2) 0.00282(16) 0.01309(19) 0.01209(18)

_geom_special_details

;

All esds (except the esd in the dihedral angle between two l.s. planes) are estimated using the full covariance matrix. The cell esds are taken into account individually in the estimation of esds in distances, angles and torsion angles; correlations between esds in cell parameters are only used when they are defined by crystal symmetry. An approximate (isotropic) treatment of cell esds is used for estimating esds involving l.s. planes.

;

```
loop_
  _geom_bond_atom_site_label_1
  _geom_bond_atom_site_label_2
  _geom_bond_distance
  _geom_bond_site_symmetry_2
  _geom_bond_publ_flag
C1 N1 1.132(9) . ?
C1 Pd1 1.994(7) . ?
C10 C215 1.528(9) . ?
C10 C12 1.551(11) . ?
C10 C115 1.562(10) . ?
C10 C11 1.539(11) . ?
C100 C111 1.523(9) . ?
C100 P1 1.850(7) . ?
C111 C112 1.390(9) . ?
C111 C116 1.407(9) . ?
C112 C113 1.422(11) . ?
C113 C114 1.382(11) . ?
C114 C115 1.403(10) . ?
C115 C116 1.387(9) . ?
C116 O1 1.387(7) . ?
C121 C122 1.394(8) . ?
C121 C126 1.397(9) . ?
C121 P1 1.829(6) . ?
C122 C123 1.397(9) . ?
C123 C124 1.391(11) . ?
C124 C125 1.392(11) . ?
C125 C126 1.380(10) . ?
C131 C132 1.396(9) . ?
C131 C136 1.422(10) . ?
C131 P1 1.819(6) . ?
C132 C133 1.427(12) . ?
C133 C134 1.359(15) . ?
C134 C135 1.391(14) . ?
C135 C136 1.399(11) . ?
C2 N2 1.046(11) . ?
C2 Pd1 2.047(9) . ?
C20 C415 1.527(9) . ?
C20 C21 1.534(10) . ?
C20 C315 1.524(9) . ?
C20 C22 1.569(9) . ?
C200 C211 1.495(9) . ?
C200 P2 1.848(6) . ?
C211 C212 1.389(9) . ?
C211 C216 1.417(9) . ?
C212 C213 1.410(11) . ?
C213 C214 1.400(11) . ?
C214 C215 1.384(10) . ?
C215 C216 1.387(8) . ?
C216 O1 1.392(7) . ?
C221 C226 1.400(10) . ?
C221 C222 1.409(9) . ?
C221 P2 1.822(6) . ?
C222 C223 1.382(11) . ?
C223 C224 1.382(14) . ?
C224 C225 1.418(13) . ?
C225 C226 1.398(10) . ?
C231 C236 1.381(9) . ?
C231 C232 1.412(9) . ?
C231 P2 1.835(6) . ?
C232 C233 1.400(10) . ?
C233 C234 1.380(13) . ?
C234 C235 1.381(12) . ?
C235 C236 1.430(9) . ?
C3 N3 1.089(9) . ?
C3 Pd2 2.014(7) . ?
C30 O3 1.350(19) . ?
C300 C311 1.514(8) . ?
C300 P3 1.855(6) . ?
```

C311 C316 1.408(9) . ?
C311 C312 1.424(9) . ?
C312 C313 1.374(10) . ?
C313 C314 1.409(10) . ?
C314 C315 1.418(9) . ?
C315 C316 1.401(8) . ?
C316 O2 1.384(7) . ?
C321 C326 1.398(9) . ?
C321 C322 1.399(9) . ?
C321 P3 1.841(6) . ?
C322 C323 1.433(11) . ?
C323 C324 1.357(13) . ?
C324 C325 1.415(13) . ?
C325 C326 1.400(11) . ?
C331 C332 1.402(9) . ?
C331 C336 1.422(10) . ?
C331 P3 1.824(6) . ?
C332 C333 1.421(11) . ?
C333 C334 1.368(14) . ?
C334 C335 1.388(13) . ?
C335 C336 1.403(10) . ?
C4 N4 1.136(10) . ?
C4 Pd2 1.991(7) . ?
C40 O4 1.12(3) . ?
C400 C411 1.511(8) . ?
C400 P4 1.863(6) . ?
C411 C416 1.380(9) . ?
C411 C412 1.416(9) . ?
C412 C413 1.376(10) . ?
C413 C414 1.403(10) . ?
C414 C415 1.399(9) . ?
C415 C416 1.399(8) . ?
C416 O2 1.395(7) . ?
C421 C426 1.379(9) . ?
C421 C422 1.391(8) . ?
C421 P4 1.836(6) . ?
C422 C423 1.403(11) . ?
C423 C424 1.371(13) . ?
C424 C425 1.368(12) . ?
C425 C426 1.409(10) . ?
C431 C432 1.365(10) . ?
C431 C436 1.419(9) . ?
C431 P4 1.808(6) . ?
C432 C433 1.429(11) . ?
C433 C434 1.387(15) . ?
C434 C435 1.406(15) . ?
C435 C436 1.416(10) . ?
P1 Pd1 2.3415(15) . ?
P2 Pd2 2.3414(15) . ?
P3 Pd1 2.3369(15) . ?
P4 Pd2 2.3217(15) . ?

loop_
_geom_angle_atom_site_label_1
_geom_angle_atom_site_label_2
_geom_angle_atom_site_label_3
_geom_angle
_geom_angle_site_symmetry_1
_geom_angle_site_symmetry_3
_geom_angle_publ_flag
N1 C1 Pd1 178.9(8) . . ?
C215 C10 C12 111.5(6) . . ?
C215 C10 C115 107.4(5) . . ?
C12 C10 C115 111.2(7) . . ?
C215 C10 C11 108.6(7) . . ?
C12 C10 C11 109.7(7) . . ?
C115 C10 C11 108.3(6) . . ?
C111 C100 P1 116.9(4) . . ?
C112 C111 C116 118.3(6) . . ?
C112 C111 C100 121.0(6) . . ?

C116 C111 C100 120.7(6) . . ?
C111 C112 C113 119.4(7) . . ?
C114 C113 C112 120.9(7) . . ?
C115 C114 C113 120.2(7) . . ?
C116 C115 C114 118.3(6) . . ?
C116 C115 C10 119.5(6) . . ?
C114 C115 C10 122.1(6) . . ?
O1 C116 C115 121.1(6) . . ?
O1 C116 C111 116.1(5) . . ?
C115 C116 C111 122.8(6) . . ?
C122 C121 C126 120.9(6) . . ?
C122 C121 P1 120.0(5) . . ?
C126 C121 P1 119.0(5) . . ?
C121 C122 C123 119.6(7) . . ?
C124 C123 C122 118.7(6) . . ?
C123 C124 C125 121.8(6) . . ?
C126 C125 C124 119.3(7) . . ?
C125 C126 C121 119.6(6) . . ?
C132 C131 C136 119.7(6) . . ?
C132 C131 P1 121.7(6) . . ?
C136 C131 P1 118.4(5) . . ?
C131 C132 C133 117.3(8) . . ?
C134 C133 C132 123.0(8) . . ?
C133 C134 C135 119.7(8) . . ?
C134 C135 C136 119.6(8) . . ?
C135 C136 C131 120.5(8) . . ?
N2 C2 Pd1 176.2(8) . . ?
C415 C20 C21 109.3(6) . . ?
C415 C20 C315 110.2(5) . . ?
C21 C20 C315 111.0(6) . . ?
C415 C20 C22 108.7(5) . . ?
C21 C20 C22 109.2(6) . . ?
C315 C20 C22 108.5(6) . . ?
C211 C200 P2 118.1(4) . . ?
C212 C211 C216 118.0(6) . . ?
C212 C211 C200 121.7(6) . . ?
C216 C211 C200 120.3(5) . . ?
C211 C212 C213 119.7(7) . . ?
C214 C213 C212 120.7(7) . . ?
C215 C214 C213 120.5(7) . . ?
C214 C215 C216 118.3(6) . . ?
C214 C215 C10 122.6(6) . . ?
C216 C215 C10 119.0(6) . . ?
O1 C216 C215 122.5(6) . . ?
O1 C216 C211 114.7(5) . . ?
C215 C216 C211 122.8(6) . . ?
C226 C221 C222 119.6(6) . . ?
C226 C221 P2 123.0(5) . . ?
C222 C221 P2 117.4(5) . . ?
C223 C222 C221 119.5(8) . . ?
C222 C223 C224 121.2(8) . . ?
C223 C224 C225 120.4(7) . . ?
C224 C225 C226 118.3(8) . . ?
C221 C226 C225 121.0(7) . . ?
C236 C231 C232 120.5(6) . . ?
C236 C231 P2 123.4(5) . . ?
C232 C231 P2 116.0(5) . . ?
C233 C232 C231 119.4(7) . . ?
C234 C233 C232 120.2(7) . . ?
C233 C234 C235 121.1(7) . . ?
C234 C235 C236 119.5(7) . . ?
C231 C236 C235 119.3(7) . . ?
N3 C3 Pd2 178.5(8) . . ?
C311 C300 P3 116.1(4) . . ?
C316 C311 C312 117.0(6) . . ?
C316 C311 C300 121.3(6) . . ?
C312 C311 C300 121.7(6) . . ?
C313 C312 C311 121.8(6) . . ?
C312 C313 C314 119.5(6) . . ?
C315 C314 C313 121.3(6) . . ?

C316 C315 C314 117.1(6) . . ?
C316 C315 C20 122.9(6) . . ?
C314 C315 C20 119.9(6) . . ?
O2 C316 C315 122.0(5) . . ?
O2 C316 C311 114.9(5) . . ?
C315 C316 C311 123.1(6) . . ?
C326 C321 C322 120.0(6) . . ?
C326 C321 P3 119.8(5) . . ?
C322 C321 P3 120.1(5) . . ?
C321 C322 C323 118.3(7) . . ?
C324 C323 C322 122.2(8) . . ?
C323 C324 C325 118.8(8) . . ?
C326 C325 C324 120.4(8) . . ?
C321 C326 C325 120.2(7) . . ?
C332 C331 C336 120.8(6) . . ?
C332 C331 P3 117.2(5) . . ?
C336 C331 P3 121.8(5) . . ?
C331 C332 C333 117.3(7) . . ?
C334 C333 C332 122.1(8) . . ?
C333 C334 C335 120.5(8) . . ?
C334 C335 C336 119.8(8) . . ?
C335 C336 C331 119.4(7) . . ?
N4 C4 Pd2 175.8(8) . . ?
C411 C400 P4 115.0(4) . . ?
C416 C411 C412 118.7(6) . . ?
C416 C411 C400 121.4(5) . . ?
C412 C411 C400 119.9(6) . . ?
C413 C412 C411 119.7(7) . . ?
C412 C413 C414 120.2(6) . . ?
C415 C414 C413 121.5(6) . . ?
C414 C415 C416 116.6(6) . . ?
C414 C415 C20 120.7(5) . . ?
C416 C415 C20 122.7(6) . . ?
C411 C416 O2 114.8(5) . . ?
C411 C416 C415 123.2(6) . . ?
O2 C416 C415 122.0(6) . . ?
C426 C421 C422 119.8(6) . . ?
C426 C421 P4 119.8(5) . . ?
C422 C421 P4 120.0(5) . . ?
C421 C422 C423 119.1(7) . . ?
C424 C423 C422 120.5(7) . . ?
C425 C424 C423 121.0(7) . . ?
C424 C425 C426 119.0(8) . . ?
C421 C426 C425 120.6(7) . . ?
C432 C431 C436 122.7(6) . . ?
C432 C431 P4 119.0(5) . . ?
C436 C431 P4 118.2(5) . . ?
C431 C432 C433 119.9(8) . . ?
C434 C433 C432 118.2(9) . . ?
C433 C434 C435 122.1(8) . . ?
C434 C435 C436 119.7(8) . . ?
C435 C436 C431 117.3(8) . . ?
C216 O1 C116 116.0(5) . . ?
C316 O2 C416 119.8(4) . . ?
C131 P1 C121 107.2(3) . . ?
C131 P1 C100 105.8(3) . . ?
C121 P1 C100 103.7(3) . . ?
C131 P1 Pd1 105.3(2) . . ?
C121 P1 Pd1 118.2(2) . . ?
C100 P1 Pd1 115.84(19) . . ?
C221 P2 C231 107.1(3) . . ?
C221 P2 C200 103.9(3) . . ?
C231 P2 C200 110.4(3) . . ?
C221 P2 Pd2 107.9(2) . . ?
C231 P2 Pd2 117.2(2) . . ?
C200 P2 Pd2 109.5(2) . . ?
C331 P3 C321 106.5(3) . . ?
C331 P3 C300 102.6(3) . . ?
C321 P3 C300 107.3(3) . . ?
C331 P3 Pd1 115.7(2) . . ?

C321 P3 Pd1 109.96(19) . . ?
C300 P3 Pd1 114.1(2) . . ?
C431 P4 C421 106.3(3) . . ?
C431 P4 C400 106.1(3) . . ?
C421 P4 C400 108.0(3) . . ?
C431 P4 Pd2 118.2(2) . . ?
C421 P4 Pd2 101.88(19) . . ?
C400 P4 Pd2 115.51(19) . . ?
C1 Pd1 C2 177.2(3) . . ?
C1 Pd1 P3 88.7(2) . . ?
C2 Pd1 P3 90.65(19) . . ?
C1 Pd1 P1 90.3(2) . . ?
C2 Pd1 P1 89.89(19) . . ?
P3 Pd1 P1 172.04(6) . . ?
C4 Pd2 C3 177.0(3) . . ?
C4 Pd2 P4 89.6(2) . . ?
C3 Pd2 P4 89.27(19) . . ?
C4 Pd2 P2 88.9(2) . . ?
C3 Pd2 P2 93.07(19) . . ?
P4 Pd2 P2 163.28(6) . . ?

_diffirn_measured_fraction_theta_max 0.826
_diffirn_reflns_theta_full 29.49
_diffirn_measured_fraction_theta_full 0.826
_refine_diff_density_max 1.876
_refine_diff_density_min -0.998
_refine_diff_density_rms 0.155